

وزارت صنایع و معادن
سازمان زمین‌شناسی و اکتشافات معدنی کشور

گزارش اکتشافات ژئوشیمیایی سیستماتیک

در

حدوده برگه ۱:۱۰۰،۰۰۰ عباس آباد

ل

مجرى طرح

مهندس محمد تقی کره‌ای

مشاور

شرکت توسعه علوم زمین

با خانه سازمان زمین‌شناسی و
اکتشافات معدنی کشور

کتابخانه سازمان زمین‌شناسی و

اکتشافات معدنی کشور

تاریخ:

شهریور ۸۱

۱۳۸۱ بهار

فهرست مطالب

عنوان	صفحة
-------	------

راهنمای آلبوم نقشه‌ها

■ فصل اول : کلیات

۱- مقدمه.....	۱
۲- اهداف اکتشافات ژئوشیمیایی در مقیاس ناحیه‌ای	۱
۳- جمع آوری اطلاعات.....	۲
۴- موقعیت جغرافیایی و آب و هوای منطقه	۲
۵- زمین شناسی	۳
۶- واحدهای لیتواستراتیگرافی	۳
۷- ۱- واحدهای سنگی دگرگونی پیش از ژوراسیک	۴
۸- ۲- واحدهای سنگی مزوژوئیک	۸
۹- ۳- واحدهای سنگی سنوژوئیک	۱۰
۱۰- ۱-۳- واحدهای سنگی انوسن.....	۱۰
۱۱- ۲-۳- ۱- واحدهای زمین شناسی انوسن - الیگوسن	۲۲
۱۲- ۱-۳-۳- واحدهای میوسن	۲۳
۱۳- ۴-۳- ۱- واحدهای پلیوسن	۲۴
۱۴- ۱-۳-۵- واحدهای زمین شناسی کواترنری	۲۵
۱۵- ۴-۱-۵- واحدهای کپلکس انیولیتی	۲۶
۱۶- ۲- زمین شناسی ساختمانی و تکتونیک	۲۷
۱۷- ۳- ۵- زمین شناسی اقتصادی	۲۹
۱۸- بررسی رسوبات رودخانه‌ای در مناطق خشک	۳۱
۱۹- بررسی حوضه‌های آبریز	۳۲

■ فصل دوم : نمونه‌برداری

۲۰- مقدمه	۳۳
۲۱- عوامل مؤثر در طراحی نمونه برداری	۳۴

فهرست مطالب

عنوان	صفحه
۳-عملیات نمونه برداری	۳۵
۴-آماده سازی نمونه ها	۳۶
۵-آنالیز نمونه های ژئوشیمیایی	۳۷
 ■ فصل سوم: نقش سنگ بستر	
۱-جدایش جوامع سنگی	۳۹
۱-۱-رده بندی نمونه ها بر اساس تعداد سنگ های بالا دست	۳۹
۱-۲-رده بندی نمونه ها بر اساس نوع سنگ های بالا دست	۴۰
۲-نقش سنگ بستر در ارزیابی مقدار زمینه و حد آستانه ای	۴۶
۲-۱-نقش سنگ بستر در ایجاد آنومالی های کاذب	۴۶
۲-۲-تغییرپذیری سنگ بستر بالا دست	۴۶
۳-بررسی مقادیر کلارک سنگ های رخنمون دار در منطقه	۴۷
 ■ فصل چهارم: پردازش داده ها	
۱-مقدمه	۵۰
۲-پردازش داده های سنسورد	۵۰
۳-پردازش داده های جوامع تک سنگی	۵۳
۴-پردازش داده های جوامع دو سنگی	۵۶
۵-پردازش داده های جوامع سه سنگی و بیش از سه سنگی	۵۶
۶-به کارگیری آنالیز کلاستر بر اساس منطقه نازی به منظور رده بندی نمونه های با بیش از دو یا سه سنگ	۵۸
 ■ فصل پنجم: تخمین مقدار زمینه	
۱-تحلیل ناهیگنی ها	۵۹
۲-سیمای ژئوشیمیایی جوامع مختلف بر اساس سنگ بستر بالا دست	۵۹
۳-تخمین مقدار زمینه	۶۰

فهرست مطالب

عنوان	صفحة
■ فصل ششم: تخمین شبکه‌ای شاخص‌های غنی‌شدنی	
۱- تخمین شبکه‌ای.....	۶۴
۲- شاخص غنی‌شدنی	۶۶
۳- محاسبه احتمال رخداد هر یک از شاخص‌های غنی‌شدنی	۶۸
۴- معرفی متغیرهای تک عنصری و چند عنصری و رسم نقشه آنومالی‌های مقدماتی ...	۷۴
۵- رسم نقشه توزیع شاخص غنی‌شدنی هر یک از عناصر و معرفی مناطق آنومالی مقدماتی	۹۶
۹۶ ۱- نقشه امتیازات فاکتوری (چند متغیره)	۹۶
۹۶ ۲- نقشه امتیازات فاکتوری PCA	۹۶
۹۷ ۳- نقشه شاخص غنی‌شدنی	۹۷
۹۷ ۴- نقشه عکس حاصلضرب احتمال رخدادها در نمونه‌ها (1/PN)	۹۷
■ فصل هفتم: فاز کنترل آنومالی‌های زلزله‌یابی	
۱- مقدمه	۱۰۳
۲- ردیاب‌های کانی سنگین	۱۰۴
۳- بزرگی هاله‌های کانی سنگین	۱۰۵
۴- شرح موقعیت محدوده آنومالی‌های مقدماتی	۱۰۶
۵- محاسبه آنومالی در جامعه نمونه‌های آلوویوم	۱۳۷
۶- برداشت نمونه‌های کانی سنگین و میزالیزه	۱۳۷
۷- نکاتی در مورد محل، چگالی و وزن نمونه‌های کانی سنگین و آماده‌سازی و مطالعه آنها	۱۴۳
۸- ۱- شرح نمونه‌های کانی سنگین و میزالیزه برداشت شده از مناطق آنومال برگه ۱:۵۰,۰۰۰ عباس‌آباد	۱۴۴
۹- ۲- شرح نمونه‌های کانی سنگین و میزالیزه برداشت شده از مناطق آنومال برگه ۱:۵۰,۰۰۰ کوه‌دوشاخ	۱۵۲

فهرست مطالب

عنوان	صفحة
۳-۱-۶- شرح نمونه های کانی سنگین و مینرالیزه برداشت شده از مناطق آنومال برگه ۱:۵۰,۰۰۰ غزاران.....	۱۵۵
۴-۱-۶- شرح نمونه های کانی سنگین و مینرالیزه برداشت شده از مناطق آنومال برگه ۱:۵۰,۰۰۰ میاندشت.....	۱۵۹
۷- پردازش داده های کانی سنگین.....	۱۶۶
۷-۱- رسم هیستوگرام متغیرهای کانی سنگین	۱۶۶
۷-۲- آنالیز کلاستر متغیرهای کانی سنگین	۱۶۷
۸- تخمین شبکه ای و رسم نقشه متغیرهای کانی سنگین	۱۷۸
۹- ترتیب حاصل از نمونه های مینرالیزه	۱۷۹
۱۰- آنالیز ویژگی نمونه های مینرالیزه	۱۷۹
۱۱- بسطالعه تغییرپذیری دانسیتِ گسلها و امتداد آنها	۱۸۳
۱۱-۱- مقدمه	۱۸۳
۱۱-۲- روش بسطالعه	۱۸۵
۱۱-۳- داده های خام	۱۸۶
۱۱-۴- پارامترهای آماری مجموع طول گسلها	۱۸۶
۱۱-۵- پارامترهای آماری امتداد گسلها	۱۸۷
۱۱-۶- رسم نقشه دانسیتِ گسلها	۱۸۷
۱۱-۷- انتبطاق محدوده آنومالی های ژئوشیمیایی با محدوده زون های با شکستگی زیاد	۱۸۸

■ فصل هشتم: مدل سازی آنومالی های ژئوشیمیایی

۱- روش کار	۱۹۳
۲- مدل سازی	۱۹۴
۲-۱- مقدمه	۱۹۴
۲-۲- مدل های عددی	۱۹۶
۲-۳- مدل سازی آنومالی های ژئوشیمیایی در برگه عباس آباد	۱۹۷

فهرست مطالب

صفحه	عنوان
۲۰۴	۴-۲- اولویت بندی مناطق امیدبخش
۲۰۴	۱-۴-۲- منطق اولویت بندی
۲۰۵	۲-۴-۲- معرفی مناطق اولویت بندی شده
۲۰۵	۱-۲-۴-۲- معرفی اولویتهای اول
۲۰۵	۲-۲-۴-۲- معرفی اولویتهای دوم
۲۰۶	۳-۲-۴-۲- معرفی اولویتهای سوم
۲۰۷	۳-۴-۲- شرح مناطق با اولویت اول
۲۰۸	۴-۴-۲- شرح مناطق با اولویت دوم
۲۰۹	۵-۴-۲- شرح مناطق با اولویت سوم
۲۱۰	۶-۴-۲- شرح مناطق بدون اولویت
۲۱۳	فهرست منابع

راهنمای آلبوم نقشه‌ها

شماره نقشه	شرح نقشه
۱	نقشه نمونه برداری: محل برداشت نمونه های ژئوشیمیابی و کانی سنگین از رسوبات آبراهه‌ای و محیط‌های آبرفتی و محل نمونه های میترالیزه و سیستم پلمنینگ.
۲	نقشه توزیع شاخص غنی‌شدگی متغیر ($Au+Ag$): فراوانی های معادل ۱٪ بالای جامعه به عنوان مناطق امیدبخش احتمالی انتخاب شده‌اند.
۳	نقشه توزیع شاخص غنی‌شدگی متغیر ($As+Sb+Hg$): فراوانی معادل ۱٪ بالای جامعه به عنوان مناطق امیدبخش احتمالی انتخاب شده‌اند.
۴	نقشه توزیع شاخص غنی‌شدگی متغیر ($Cu+Pb+Zn$): فراوانی معادل ۱٪ بالای جامعه به عنوان مناطق امیدبخش احتمالی انتخاب شده‌اند.
۵	نقشه توزیع شاخص غنی‌شدگی متغیر ($Sn+W+Be$): فراوانی های معادل ۱٪ بالای جامعه به عنوان مناطق امیدبخش احتمالی انتخاب شده‌اند.
۶	نقشه توزیع شاخص غنی‌شدگی متغیر ($Ni+Cr$): فراوانی های معادل ۱٪ بالای جامعه به عنوان مناطق امیدبخش احتمالی انتخاب شده‌اند.
۷	نقشه کل توزیع فراوانی مجموع کانه‌های فلزی (مالاکیت، اپیسمت، شستلیت، کالکوپیریت، اسمیت زونیت و دیپیتان)، باریت و ۲۵٪ بالای توزیع فراوانی کانی پیریت.
۸	نقشه کل توزیع فراوانی کانی های منیتیت، هماتیت و اپیدوت و ۲۵٪ بالای توزیع فراوانی کانی های گارنت، سیلیمانیت و اولیثیست.
۹	نقشه ۳۳٪ بالای توزیع دانسیته گسلها و مناطق امیدبخش نهایی (اولویت‌های اول، دوم و سوم).

فصل اول

کلیات

۱- مقدمه

اکتشافات ناحیه‌ای در مقیاس $1:100,000$ در زمرة عملیات اکتشافی زیر بنائی بحساب می‌آید که هدف آن شناخت نواحی با پتانسیل معدنی است. برای نیل به این اهداف، از روش‌های مختلف ژئوفیزیکی، ژئوشیمیایی و اطلاعات ماهواره‌ای می‌توان بهره برد. نقشه برداری ژئوشیمیایی در مقیاس ناحیه‌ای نیز یکی از این روش‌هاست که می‌تواند با نمونه برداری از رسوبات رودخانه‌ای انجام بذیرد. پروژه حاده $1:100,000$ عباس‌آباد انجام ژئوشیمیایی سیستماتیک می‌باشد که در $1:250,000$ بروزگردشان اول عملیات تاریخ نقشه می‌پذیرد. اجرای این پروژه در دو بخش طراحی شده است. بخش اول عملیات شامل عملیات آنومالی‌های ژئوشیمیایی و تعیین مناطق با پتانسیل ادامه می‌یابد. بخش دوم شامل عملیات کنترل آنومالی‌هاست که از طریق مطالعات کانی سنگین، آلتراسیون، مناطق کانی‌سازی و شکستگی‌های پر شده (Plumbing system) تعییب خواهد شد و در نهایت پس از کنترل آنومالی‌ها هر یک از آنها مدل سازی شده و مناطق امیدبخش معرفی خواهند شد.

۲- اهداف اکتشافات ژئوشیمیائی در مقیاس ناحیه‌ای

بطور تجربی ثابت شده است که رسوبات آبراهه‌ای (عموماً جزء $80\text{-}100$ مش) می‌تواند در اکتشافات کوچک مقیاس ناحیه‌ای ($1:100,000$ تا $1:250,000$) بسیار مفید واقع شود. نتایج حاصل از این نوع بررسی‌های اکتشافی می‌تواند در تحلیل ایالات ژئوشیمیایی و شناخت الگوهای ژئوشیمیایی ناحیه‌ای و همچنین نواحی که در آنها احتمال کشف نهشته‌های کانساری بیشتر می‌باشد، بسیار مؤثر واقع شود. علاوه بر کاربردهای مستقیم نکر شده، نقشه‌های ژئوشیمیایی رسوبات آبراهه‌ای می‌تواند کاربردهایی در زمینه کشاورزی و محیط زیست نیز داشته باشد. بدیهی است که اهداف اکتشافی این نوع بررسی‌ها با اهدافی

نظیر تشخیص الگوهای ناحیه‌ای برای توزیع عناصر، متفاوت است و بدین جهت باید برای نیل به هر منظوری، از روش مناسب با آن استفاده کرد.

در مورد اول، که هدف کشف آنومالی در هاله‌های ثانوی است، باید از تکنیک‌های آماری که اختلاف بین مقادیر آنومالی و روندهای ناحیه‌ای را به حداقل مقدار خود برساند بهره گرفت، و در نتیجه از طریق شدت بخشی آنومالیها، به شناسائی هر چه دقیق‌تر آنها پرداخت. در حالت دوم چون هدف دستیابی به روندهای ناحیه‌ای است، باید از تکنیک‌های آماری ای که تأثیر آنومالیها را در روندهای ناحیه‌ای به حداقل مقدار خود می‌رسانند، استفاده کرد. چگالی نمونه برداری در این حالت یک نمونه برای چند کیلومتر مربع است که بوسیله سقف بودجه کنترل می‌شود.

۳- جمع‌آوری اطلاعات (موضوع بند ۱ شرح خدمات)

در این مرحله استناد و مدارک مربوط به منطقه تحت پوشش به شرح زیر تهیه و مورد مطالعه قرار گرفت:

۱- نقشه‌های توپوگرافی ۱:۵۰،۰۰۰ منطقه مورد مطالعه شامل چهارگوشهای عباس‌آباد (شمال شرق)، کوه دوشاخ (جنوب شرق)، غازان (جنوب غرب) و میاندشت (شمال غرب)

۲- نقشه زمین‌شناسی ۱:۱۰۰،۰۰۰ عباس‌آباد

۳- نقشه زئوفیزیک هوائی (مغناطیس هوائی) با مقیاس ۱:۲۵۰،۰۰۰ منطقه جاجرم با توجه به اطلاعات حاصل از مدارک فوق الذکر، برنامه عملیات صحراوی جهت نمونه برداری پی‌ریزی گردید و در هر مورد نقش پارامترهای مؤثر در برنامه ریزی اکتشافی (خصوصی در نمونه برداری) مورد بررسی قرار گرفت که خلاصه آن در بخش‌های بعدی گزارش آورده شده است.

۴- موقعیت جغرافیایی و آب و هوای منطقه*

ورقه زمین‌شناسی عباس‌آباد در باختر شهرستان سبزوار جای دارد و دارای مختصات $۳۶^{\circ} - ۵۶^{\circ}$ طول‌های خاوری و $۳۰^{\circ} - ۳۰^{\circ}$ عرض‌های شمالی

*- از مرجع گزارش نقشه سازمان زمین‌شناسی کشور

است.

آب و هوای ناحیه مورد مطالعه به طور کلی گرم و خشک است و بارش سالانه آن کم است آن چنان که میانگین آن $150 - 200$ میلی متر در سال اندازه گیری شده است. تأمین آب آشامیدنی و آبیاری در مناطق کشاورزی از کاریزها، سدهای محلی، چاههای عمیق و نیمه عمیق انجام می‌گیرد.

بطور کلی، پراکنده‌گی جمعیت ساکن در ناحیه از محدودیتی ویژه برخوردار است و تنها در کوهپایه و نواحی دشت، متمرکز می‌شود. پوشش گیاهی طبیعی ناحیه تنها به بوته‌ها و درختچه‌های کوتاه محدود می‌شود. بهر حال، افزون بر کشاورزی، دامپروری نیز از اهمیتی بسیار برخوردار است. در نواحی کوهستانی کشاورزی بطور معمول به کاشت گندم، جو و انگور اختصاص دارد. در حالیکه در نواحی دشت گندم و چمنر قند بویژه به روش مکانیزه، برای تأمین مواد اولیه تولید در کارخانه قند و شکر از گسترشی شایان توجه برخوردار است. عوارض زمین ریخت شناسی ناحیه، به گونه‌ای فراگیر، توسط عناصر ساختمانی ر ماقماقانیزم کنترل می‌شوند آن چنان که بلندترین نقطه در ناحیه با ارتفاع 1584 متر از دریا در شمال ورقه و پست ترین نقطه موجود در ورقه با بلندای 765 متر از سطح دریا در شرق ورقه جای دارد. بلندترین ارتفاعات به گونه‌ای فراگیر در امتداد رشته‌های کوههای شمال شرقی - جنوب غربی ورقه جای دارند.

از دیدگاه ریخت شناسی، ناحیه از شرق به غرب تناوبی از دشت و بلندی‌ها دارد. مناطق دشت به وسیله آبرفت‌های جوان و پهنه‌های رسی و نمکی پوشیده می‌شود.

۵-زمین‌شناسی

۱-وحده‌های لیتواستراتیگرافی

در منطقه مورد بررسی سنگهای دگرگونی با سن پیش از ژوراسیک، سری افیولیتی کرتاسه، سنگهای آتشفشاری ائوسن زیرین تا بالایی، سنگهای رسوبی - آتشفشاری ائوسن بالایی - الیگوسن، سنگهای رسوبی میوسن و پلیوسن و نهشته‌های کواترنری رخنمون دارند. شرح این واحدها از قدیم به جدید چنین است:

۱-۱-۵- واحدهای سنگی دگرگونی پیش از ژوراسیک

در محدوده جنوبی منطقه، واحدهای دگرگونی بروزند دارند که درجات دگرگونی آنها از شیست سبز تا آمفیبولیت متغیر است. گرچه با وجود بررسی های دیرینه شناختی، پاسخ سنی مشخص درباره سن سنگ مادر بدست نیامده است، ولی وجود قطعات این سنگها در کنگلومراي واحد ^{گل}(ژوراسیک زیرین) می تواند نشانگر سن دگرگونی پیش از ژوراسیک این سنگها باشد. این سنگها و همچنین سنگ های واحد ^{گل} دچار دگرگونی تهرانی شده اند. از آنجاکه این دگرگونی در آهک اریتولین دار کرتاسه زیرین دیده نشده است، از این رو می توان آنرا به عملکرد فاز کوهزاری سیمیرین پسین نسبت داد. شرح واحدهای دگرگونی پیش از ژوراسیک منطقه عبارتست از:

واحد gm

این واحد در جنوب منطقه، پیرامون کوه کلاته علاءالدین رخمنون دارد و شامل گارنت - بیوتیت گنیس، بیوتیت شیست و میکاشیست است. بخشهای شیستی دارای بافت های ماکروسکوپی شیستوز و بافت های میکروسکوپی لپیدوپلاستیک و دیابلاستیک اند و کوارتز، بیوتیت و در مواردی گارنت کانی ای اصلی سنگ را پدید آورده اند. بخش گنیسی نیز دارای بافت پرنیروپلاستیک است که پرنیروپلاست های اصلی آن شامل گارنت، پلاژیوکلاز و در مواردی فلدسپات الکالن است. کانی های مسکویت، آپاتیت و در مواردی زیرکن و در موارد کم تری کلریتوئید کانی های فرعی این سنگها را پدید می آورند. بدین سان این سنگها در رخساره شیست سبز - آمفیبولیت دگرگون شده است. در شمال باخته چشم سیر، در کوه کلاته علاءالدین شواهدی از تفرقه دگرگونی بصورت تجمع نواری و لایه ای شکل از کانیهای کوارتز و فلدسپات و کانی های میکانی دیده می شود. افزون بر آن، در مناطقی بگونه ای ناچیز آثاری از ذوب بخشی نیز دیده می شود.

این واحد توسط دایکهایی فراوان (از واحد ^{گل} و واحد ^{گل}) قطع شده است که اثرات حرارتی آنها بصورت تجمع هایی از کانیهای اپیدوت و کلریت دیده می شود. این واحد دارای همیری کم و بیش تکتونیکی با واحدهای ^{گل} و ^{گل} است و همانگونه که گفته شد کهن ترین واحد سنگی منطقه است و می توان آن را پی سنگ منطقه به شمار آورد.

واحد gg

این واحد در محدوده میان چشم میان، کوه کلاته علاءالدین و چاه تقی رخمنون دارد و شامل گنیس کوارتزیتی، گارنت - مسکویت گنیس و بگونه ای فرعی شیست است. ریخت شناسی بر جسته ای دارد. در صحراء شاد فراوان از ذوب این سنگها دیده می شود که بصورت شیره های این واحد را قطع کرده اند. بافت میکروسکوپی آن پرفیروپلاستیک - میلونیتی است و پرفیروپلاستهای آن، گارنت، الکالی فلدسپات و گاهی پلائزروکلاز است. سه کانی یاد شده همراه با مسکویت کانی های اصلی سنگ را پدید می آورند. این سنگها در مقایسه با گنیس های واحد gm از فراوانی بیشتر مسکویت و کمبود بیوتیت بهره مندند. در مواردی اپیدوت، کلریت و کانی های رسی در خلاف جهت فولیاسیون پدید آمده اند و پداش آنها را می توان به دگرگونی تهقیرایی نوشیمرین وابسته دانست. این سنگها در حد رخساره آمفیبولیت دگرگونه اند.

واحد Sm

این واحد در محدوده خاوری چاه تقی تا نزدیکی های کال دستجرد رخمنون دارد. در برگیرنده و شامل بیوتیت، بیوتیت - مسکویت شیست، ماسه سنگ دگرگونی و مواردی کلریت - بیوتیت شیست است. در زیر میکروسکوپ بافت لپیدوپلاستیک - دیپلاستیک دارد و کانی های کوارتز، بیوتیت، مسکویت و کلریت پارازیتها اصلی سنگ اند. گارنت نیز بگونه ای فرعی قابل ملاحظه است. در مواردی این سنگ ها دچار دگرگونی تهقیرایی شده اند و گاهی به دلیل تأثیر حرارتی دایک های واحد dm اپیدوت زایی و کلریتی شدن شدید در آنها دیده می شود. این سنگها در حد رخساره شیست سبز دگرگون شده اند.

واحد dq

این واحد بصورت برونزدهای پراکنده در باخته نازکه دیده می شود. شامل مجموعه غیر قابل تفکیک و در هم از دولومیت، بیوتیت - مسکویت شیست و کوارتزیت است. با نگرش به کانی های پدید آورنده، این سنگها در حد رخساره شیست سبز دگرگون شده است.

SS واحد

این واحد بصورت بروونزدهای جدا از هم در قله سرخ و شمال نازکوه رخمنون دارد.

بطور عمد، در برگیرنده مسکویت، سریسیت شیست و ماسه سنگ دگرگونی همراه با میان لایه های دولومیتی قهوه ای رنگ در بخش بالائی واحد است. سبزای این واحد در قله سرخ به ۵۰ متر می رسد. بشدت فرسایش یافته است و به سوی بخش بالائی واحد بر مقدار میان لایه های دولومیتی آن افزوده می شود. در شمال نازکوه میان لایه هایی از متاندزیت - بازالت بشدت دگرسان شده نیز دیده می شود. این سنگ ها در حد رخساره شیست سبز دگرگون شده اند.

dl واحد

این واحد بصورت بروونزدهای کوچک در قله سرخ و شمال نازکوه رخمنون دارد.

شامل دولومیت ضخیم لایه تا توده ای و سنگ آهک بلورین است. برنگ قهوه ای تا خاکستری و دارای چرت است. نزدیک به ۲۰ متر سبزای دارد و در مواردی دارای رگچه هایی از الیزیست است و مرفلوبژی بر جسته ای را ساخته اند.

gg واحد

این واحد، بیشتر در جنوب ورقه گسترده شده است و از شمال خاور به نزدیکی چاه عبدال... و بسوی جنوب باخته، به بیرون منطقه، گسترده شده است. در برگیرنده گیس های غنی از کوارتز، فلدسپات آکالان و در مواردی به سمت انواع غنی از پلازیوکلاز گسترش می یابد. در نمونه دستی دارای بافت گنیسی است و در مواردی پرفیروبلاستهای ارتوزلگی رنگ همراه سایر کانیها در آن دیده می شود. کانی های مافیک در این سنگها ناچیز است. در بررسی مقاطع میکروسکوپی دارای بافت گرانوبلاستیک و پرفیروبلاستیک است. بطور عمد پرفیروبلاست های آن شامل پلازیوکلاز، کوارتز و فلدسپات آکالان است. فلدسپات آکالان عمدتاً پرتیتی شده است. بیوتیت عمد ترین کانی مافیک است که کمتر از ۱۰ درصد سنگ را تشکیل داده است. در مواردی بلورهای آمنیبول سدیک در سنگ دیده می شود. آپاتیت و زیرکن در شمار کانی های فرعی اند. سریسیت، کلریت، اپیدوت و کانی های رسی از کانی های ثانوی هستند. با نگرش به انکلاوهای تیره در شمال چاه تدقی و منطقه بنده

پلازیوکلازها و سایر ویژگی های سنگ شناختی، گمان می رود که این سنگها گرانیت هایی بوده باشند که بعداً گنیسی شده اند. بر پایه تابع تجزیه شیمیایی Δ نمونه از این سنگها، در نمودار پلوتونیک اینتریپ در قلمروهای گرانیت، گرانودیبوریت و آداملیت جای گرفته اند. جز یک نمونه، بقیه در سری ماقمایی الکالن جای می گیرند و بطور عمد، گراش پناسیک دارند. شواهد کانی شناسی دال بر تحمل دگرگونی دینامیکی در این سنگها است. احتمالاً دگرگونی دینامیکی همزمان با دگرگونی ناحیه ای انجام گرفته و نمی توان فاز دگرگونی دیگری را تصور کرد.

u.d واحد

این واحد بصورت دایک های پراکنده در نزدیک های چاه تقی رخمنون دارد. شامل دایک ها و رخمنون های کوچک الترامافیک با ترکیب پیروکسینیت تا هارزبورژیت است. کلینوپیروکسن به شدت دگرسان شده در پیروکسینیت و الیوین و ارتوپیروکسن در هارزبورژیت کانی های اصلی را پذیرد آورده است. این سنگها شیستوزیت خنثی دارند و کانی های ثانوی و دوباره تبلور یافته از نوع کلریت و ترمولیت - اکتینولیت بوده و هزاره داری اپیدوت نیز در آنها دیده می شود.

g.d واحد

این واحد بصورت دایک های موازی و گاه دایک های انبوه (*Swarm dikes*) در جنوب ورقه در محدوده میان چاه عبدالله تا کوه کلاته علاءالدین رخمنون دارند. شامل میکروگابرو، میکروگابرودیبوریت، میکرومونزدیبوریت - میکرودیبوریت اند و واحدهای gg ، gm و ggm را قطع کرده اند. این دایکها در واحد gg حالتی شبیه بودیناژ دارد. در حالیکه در سایر واحدها بصورت دایک های طویل دیده می شوند. بر پایه بررسی های میکروسکوپی، این سنگها دارای بافت های اینترگرانولار، دیبازی، پرفیریک با زمینه اینترگرانولار و افیتیک هستند. پلازیوکلاز بگونه ای فراگیر از نوع لاپرادور تا آندزیت است و در مواردی هاله ای از فلدسپات الکالن گردیده آنها را گرفته است. آنها گاه سالم و در مواردی به سریسیت، مسکویت، کلریت و کانی های رسی دگرسان شده اند. پیروکسن از نوع اوژیت است که به ترمولیت - اکتینولیت، بیوتیت و آمفیبول سبز تبدیل شده است. آمفیبول از نوع هورنبلاند سبز است. یک

نمونه از آنها از سری تولیتی و یک نمونه از سری کالکوالکالان است و بقیه در محدوده کالان قرار گرفته و عموماً گرایش سدیک دارند.

واحد ag

این واحد بصورت دایک ها و مجموعه رگچه ها و رگ ها در کوه کلاته علاءالدین و شمال چشمہ سیر بروزند دارد. در برگیرنده مجموعه ای غیر قابل تفکیک (در مقیاس ۱:۱۰۰، ۱:۱۰۰) از گرانیت سفید رنگ و آپلیت اند. چنین به نظر می رسد که مه بخش گرانیتی با رنگ سفید فراورده ذوب بخشی واحد gm باشد و بخش آپلیتی منتج از گرانیت گنیسی شده واحد gg است. این سنگها گنیسی شده و شیستوزیت در آنها بطور کامل هویدا است. بر پایه بررسی های سنگ شناختی، گرانیت دارای بافت گرانولار جهت یافته و گرانوبلاستیک است. فلدسپات کالان، بشدت پرتیتی شده و در مواردی به کانیهای رسی، سریسیت - مسکویت و اپیدوت دگرسان شده اند. پلاژیوکلاز و کوارتز از دیگر کانیهای اصلی سنگ هستند. زیرکن و آپاتیت از کانی های فرعی سنگ است و در صد کانی های مانیک آن ناچیز است. بخش آپلیتی، بافت کاتاکلاستیک و شیستوز دارد و کوارتز با خاموشی موجی بیش از ۵۰ درصد سنگ را پدید می آورد. فلدسپات کالان نیز به کانی های رسی تبدیل شده و مسکویت، بیوتیت و اپیدوت در جهت شیستوزیت جهت یافتنگی پیدا کرده اند و نمادی شیستی به سنگ داده اند. بر پایه تجزیه شیمیایی ۲ نمونه گرانیت و ۱ نمونه آپلیت گنیسی شده در نمودار پلوتونیک، آپلیت یاد شده در قلمرو آکالالی فلدسپات گرانیت و گرانیت در قلمروهای گرانیت و گرانوبلوریت جای گرفته اند. آپلیت یاد شده دارای روند کالان و با گرایش سدیک است. در حالیکه گرانیت مورد نظر در سری های کالان سدیک و تولیتی واقع شده اند. واحدهای اختلاف ناچیز رنگ این دو واحد، تفکیک واحد ag امکان پذیر نیست.

۱-۵-۲- واحدهای سنگی مزووزوئیک

شامل واحدهای J^3 و J^4 اربا سن ژوراسیک و K^1 با سن کرتاسه زیرین است. شرح سنگ

شناختی این واحدها به قرار زیر است.

واحد J^3

این واحد در جنوب ورقه در خاور روستای بزدو رخمنون دارد. شامل تناوبی از ماسه سنگ، شیل، سیلتستون همراه با میان لایه های متاندزیتی - بازانی است. کنگلو مرانیز همراه با مجموعه فوق دیده می شود. قطعات آن از دایک های گابروئی، شیستی، گنیسی و همچنین بلورهای کم و بیش گرد شده کوارتز و پلازیوکلاز است. جور شدگی و گردشگی ضعیفی دارند. این سنگها در مواردی شیستوزیت خفیفی دارند و وجود کانی های تازه تشکیل یافته، کلریت، اپیدوت و در مواردی کانیهای رسی، اپیدوت و ترمولیت می تواند گواهی بر تحمل یک دگرگونی قهقهه ای باشد که می توان آن را به فاز کوهزایی ثوسیمیرین نسبت داد. این واحد برنگ خاکستری تا تیره دیده می شود و ریخت شناسی کم ارتفاعی دارد. واحد از با دگر شیبی زاویه ای بر روی آنها جای گرفته است:

واحد A^1

این واحد در جنوب ورقه، در جنوب و جنوب شرق روستای بزدو و اطراف چشممه سیر، رخمنون دارد. در برگیرنده آهک کم و بیش متبلاور و نازک لایه، آهک شیلی و آهک مارنی به رنگ کرم همراه با میان لایه های آهکی نازک لایه خاکستری رنگ است که به سوی بخش بالایی واحد بر حجم آهک افزوده شده است. این سنگ ها فرسایش شدید یافته و بصورت ورقه هایی نازک دیده می شوند. در مواردی دگریختی سنگ به صورت شیستوزیت همراه با ساخت شکلاتی در آنها دیده می شود. بر پایه بررسی های دیرینه شناختی سن این واحد مزوزوئیک (ژوراسیک) تشخیص داده شده است.

در بیشتر مناطق این واحد دارای همبری تکتونیکی با واحدهای g^m ، g^g و K^1 است ولی در شمال باخته کوه، کلاته علاء الدین واحد K^1 بگونه ای هم شبیب بر روی این واحد جای گرفته است. یادآوری می شود که در نزدیکی چشممه سیر و شمال عاشق پشت نیز بروزدهایی از واحد K^1 بر روی از جای گرفته اند.

واحد K^1

این واحد بطور کلی، در جنوب ورقه در کوه دوشاخ، نازکوه و ارتفاعات بزدو رخمنون دارد. بطور عمده در برگیرنده آهک ضخیم لایه تا توده ای با رنگ خاکستری است. در مواردی بخش زیرین آنها از آهک نازک لایه پدید آمده است. بر پایه بررسی های دیرینه شناختی سن

این واحد کرتاسه زیرین (آپسین - آلبین) تشخیص داده شده است.

این واحد بطور عمدۀ بصورت بروزنهای جدا از هم اند، ولی در جنوب بزدو بصورت ورقه راندگی بزرگی بر روی واحدهای E^{gl} و E^{tb} در شمال چاه شور بصورت ورقه راندگی کوچکی بر روی واحدهای E^{gl} و E^{tb} در شمال باخته ورقه بصورت بروزند دراز با گسل میامی و بصورت معکوس در کنار واحد M^{cc} جای گرفته است.

۱-۳-۳- واحدهای سنگی سفزوئیک

در محدوده ورقه عباس آباد، گستره در خور توجه از واحدهای آتششانی ائوسن، واحدهای آتششانی - رسوبی ائوسن بالایی - الیگوسن، واحدهای رسوبی میوسن و پلیوسن و نهشته های کواترترنی دیده می شوند.

۱-۳-۱- واحدهای سنگی ائوسن

در این محدوده سلکهای آتششانی و آتششانی رسوبی با سن ائوسن زیرین تا ائوسن میانی بالایی، بروزند دارند که با توجه به خصوصیات سنگ شناسی، فسیل شناسی و چینه شناسی و شرایط حوضه رسوبی در ردیف هایی از $E1$ تا $E6$ جدا تشرح شده است.

واحد $E1$ (ائوسن آغازین)

این واحد در شمال ورقه و بگونه ای محدود رخمنون دارد. شامل کنگلومرا، ماسه سنگ، شیل قرمز نگ و سنگ آمک ماسه ای نومولیت دارد. که در بخش بالایی، به مجموعه ای از توف اسیدی سفیدرنگ و گلازه هورنبلاند تراکی آندزیتی تا داسیت آندزیتی تبدیل شده است. بر پایه بررسی های میکروسکوپی، بخش گلازه ای دارای بافت پر فیریتیک با زمینه میکرولیتی است. فنوریست های پلازیوکلاز با بافت کم و بیش غربالی، کوارتز و هورنبلاند تههه ای با هاله ای اکسیدی و بیوتیت شده توسط زمینه ای از میکرولیت های پلازیوکلاز و شیشه تبلور دوباره یافته (*devetrified*) به کوارتز و فلدسپات الکالن احاطه شده است. بخش های آذرآواری دارای بافت کلاستیک است و دارای قطعات سنگی و خرد های بلور است. همچنین این سنگ ها گرایش الکالن سدیک، کالکوالکالن و تولیتی از خود نشان می دهند.

آنها نازک تا متوسط لایه اند و رنگ همگانی واحد قرمز است که از فاصله دور نیز قابل مشاهده است. سطحی این واحد نزدیک به ۱۰۰ متر است.

E2 واحد

این واحد در شمال ورقه رخمنون دارد. بطور عمدۀ در برگیرنده گلازه های الیوین بازالتی، تراکی بازالتی و تراکی آندزیتی بازالتی و در بخش های بالائی تراکی آندزیتی است. در مقاطع میکروسکوپی، این سنگها دارای بافت میکروسکوپی پرفیبریتیک با خمیره میکرولیتی اند. در انواع الیوین بازالتی و تراکی بازالتی دارای فنوکریست های الیوین، پلازیوکلار و پیروکسن اند که الیوین آنها بطور عمدۀ به سرباتین، کلریت، لوکوکسن و گاهی تالک دگرسان شده اند. پلازیوکلاز (از نوع لابرادور) دارای ساختمان منطقه ای و ماکل های آبیت و آبیت - کارلسbad و پیروکسن بطور عمدۀ از نوع اوژیت تیتان دار است. در مواردی فنوکریست ها نزدیک به ۴۰ درصد سنگ را می سازند. گاهی در داخل بلورهای پیروکسن، بلورهای الیوین بگونه پوئی کیلیتیک، دیده می شود. خمیره در برگیرنده میکرولیت های پلازیوکلاز، بلورهای ریز پیروکسن و الیوین و در مواردی شیشه اکسیده و فلدسپات الکالان است.

این سنگها در قلمروهای بازالت آندزیتی، تراکی آندزیتی بازالتی، تراکی آندزیتی و آندزیتی هستند. این سنگها در سری ماقمائي الکالن جای دارند و دارای دو گرایش پتاسیک و سدیک هستند. این واحد برنگ تیره دیده می شود و سطحی آن به ۲۵۰ متر می رسد. در بخش های بالائی این واحد، سیل موزو دیبوریتی رخمنون دارد که آمفیبول های آن بطور کامل جهت یافته هستند. این توده، بدليل رخمنون ناچیز در مقیاس ۱:۱۰۰،۰۰۰ نقشه زمین شناسی نبوده است. واحد E3 بر روی این واحد جای گرفته است.

E₂¹ (با سن لوتسین)

این واحد درون واحد E2 رخمنون دارد. شامل سنگ آهک ماسه ای میکراتی همراه با آهک مارنی است. این سنگها متوسط تا سبز لایه اند و به رنگ کرم دیده می شوند. در نمونه دستی دارای نومولیت های درشت و دوکنه ای است. آن چنان که تجمع فسیلی به سنگ حالت لوماشل داده است.

بر روی این واحد به سمترای چند متر کنگلومرا و ماسه سنگ جای گرفته که قطعات گرد شده آن بطور عمده از جنس آهک و سنگهای آتشفشاری واحدهای پیشین است و بر روی آنها گذازهای آتشفشاری واحد E2 جای گرفته اند.

E3 واحد

این واحد در شمال ورقه بروزند دارد. در برگیرنده تناوبی از توف داسیتی سبز رنگ، شیل، سیلتستون، ماسه سنگ و توف آهکی نومولیت دار است. توف داسیتی در مقاطع میکروسکوپی بافت کلاستیک ریز متبلور دارد و قطعات بلورین آن بطور عمده از پلازیوکلاز پدید آمده اند که به سریست، مسکویت و کلیست دگرسان شده اند. خمیره در برگیرنده شیشه دوباره بلور یافته، کانی های رسی، کلریت و سریست است. رنگ عمومی واحد سبز است و سمترای آن به ۱۰ متر می رسد. مرفلوژی کم ارتفاعی را تشکیل داده است. گذازهای واحد
بر روی این واحد فوران کرده اند. E4

E4 واحد

این واحد در شمال ورقه بروزند دارد و در برگیرنده گذازهای تراکی بازالتی - تراکی آندزیتی است. در نمونه دستی بلورهای درشت پیروکسن و الیوین دگرسان شده در زمینه ای ریز بلور دیده می شوند. در مقاطع میکروسکوپی، بافت پر فیریتیک با زمینه میکروولیتی دارند. گرایش به گلوموپیرفیریتیک در شماری از نمونه ها دیده می شود. گاهی پلازیوکلازهای با منطقه بندی نوسانی و بافت غربالی دیده می شود که می توانند نشاندهنده آلودگی و آسیختگی مانگما و ناپایداری در حجره مانگما بباشد. در عین حال بافت غربالی فرون بر ویژگی یاد شده می توانند نشانگر کاهش فشار وارد برمانگما به هنگام بالا آمدن آن به سطح زمین باشد. الیوین در راستای شکستگی ها به ایدنگریت تبدیل شده و در مواردی نیز به کلریت و سرپاتین دگرسان شده است.

این سنگ ها در سری الکالن بوده دارای گرایش های پتاسیک و سدیک هستند. دایک های تغذیه کننده همین واحد (Feeder dikes) آن را قطع کرده اند. سمترای این واحد نزدیک به ۲۰۰ متر می رسد. ریخت شناسی بر جسته و تیره رنگی را پدید آورده اند. واحد E5 با همبری عادی و یا تکتونیکی در روی واحد E4 جای گرفته است.

E5 (اُنسن میانی)

این واحد بگونه‌ای گسترد، در شمال ورقه رخمنون دارد. در برگیرنده تناوبی از ماسه سنگ خاکستری - قهوه‌ای رنگ، شیل، مارن کرم رنگ، توف سبز رنگ همراه با میان لایه‌ها و عدسی‌های سنگ آهک نومولیت دار و سیلتستون است. این سنگها بطور عمده نازک لایه‌اند و با رنگ همگانی سبز تاکرم دیده می‌شوند. سبزهای این واحد به تزدیک ۹۰۰ متر می‌رسد. با نگرش به جنس واحد، ریخت شناسی کم ارتفاعی را پدید آورده، اند و در مواردی بشدت فرسایش یافته‌اند.

در جنوب خاور چاه شور درون بخش‌های مارنی این واحد، شکم پایان فراوان یافت شده است، همچنین در همین منطقه کنگلومرای با گردشگی خوب و جورشگی متوسط، با قطعات آهکی به چشم می‌خورد. این واحد بطور عمده دارای همیری تکتونیکی با واحد E.5 است.

E^V₅ (واحد)

این واحد بگونه‌ای محدود در هسته تاقدیس کال آبدار و بصورت برونزدهایی کوچک در جنوب خاور چاه شور رخمنون دارد. بگونه‌ای فراگیر در چهره‌ای هیالولاستیک با ترکیب تراکی بازالتی تا آندزیتی بازالتی است و بطور عمده تا پالاگونیتی شده‌اند. در هسته کال آبدار کمی سالم ترند ولی در بیشتر برونزدها بشدت دگرسان شده‌اند. در مقاطع میکروسکوپی باقی پرفیریتیک با زمینه میکرولیتی دارند و فنوکریست‌های اوژیت و الیوین به مجموعه‌ای از کلریت سرپائین و پلازیوکلاز به کانیهای رسی دگرمان شده‌اند. خمیره سنگ در برگیرنده میکرولیت‌های ظرفیت پلازیوکلاز، شیشه با تبلور دوباره و فلدسپات‌الکالن، پیروکسن و الیوین است. بطور تقریبی بیشتر کانیهای خمیره دگرسان شده‌اند. این سنگها با گرایش الکالن و پتاسیک هستند.

E^T₅ (واحد)

این واحد بطور عمده در یال باختری تاقدیس کال آبدار رخمنون دارد. در برگیرنده توف ریولیتی سفید رنگ است. در مقاطع میکروسکوپی باقی کلاستیک دارد و قطعات بلورین آن از کوارتز، فلدسپات‌الکالن، پلازیوکلاز و بیوتیت پدید آمده است. قطعات سنگی

نیز بطور عمدۀ کوارتز - فلدسپاتیک هستند که در زمینه‌ای از شیشه با تبلور دوباره و شیشه رسی شده جای گرفته‌اند.

E₅^c واحد

این واحد در جنوب چاه عبدالا... و چاه غفاری رخنمون دارد. شامل کنگلومرای با جورشدنگی و گردشدنگی ضعیف است و قطعات تشکیل دهنده آن بطور عمدۀ از واحدهای دگرگونه و سنگ آهک کرتاسه زیرین پدید آمده است. ضخیم لایه تا توده‌ای است و به رنگ قرمز تیره از فاصله دور قابل تعقیب است. سطح‌ای این واحد به ۱۰۰ متر می‌رسد. این واحد هم ارز واحدهای E₆^{II} و E₆^{br} است و برخلاف دیگر مناطق ورقه عباس آباد، در این محدوده (جنوب چاه عبدالا...) با کنگلومرا آغاز شده است.

E₆^{br} واحد

این واحد بگونه‌ای گسترده در شمال عباس آباد رخنمون دارد و گسترش آن از باخترا تا نزدیکی کال آبدار و از خاور بسوی بیرون منطقه گسترده است. در برگیرنده برش‌ها و توف‌های تراکی آندرزیتی بازالتی تا تراکی آندرزیتی است. این واحد در برگیرنده مجموعه‌ای در هم از قطعات با ابعاد و اندازه‌های متفاوت چند میلی متری تا چندین دسی متری است که توسط خردۀ‌های سنگی و بلورین به یکدیگر چسبیده‌اند. نکته جالب توجه اینکه این واحد در برداشت‌های صحرایی، ویژگی‌های برش ولکانولکلاستیک دارد ولی در بررسی مقاطع میکروسکوپی قطعات، ویژگی‌های سنگهای گذازه‌ای را نشان می‌دهد. از این رو گمان می‌رود که فوران گذازه تراکی آندرزیتی بازالتی در محیطی به نسبت کم ژرف و سپس قطعه شدن همان گذازه به پیدایش واحد باد شده انجامیده باشد. در مواردی این قطعات گرد شده‌اند که نشان می‌دهد در حوضه مورد نظر حمل و نقل نیز رخ داده است از این رو می‌توان گفت بخشی از این سنگ‌ها خاستگاه اپی ترمال کلاستیک نیز دارند. در بررسی مقاطع میکروسکوپی، قطعات این واحد، دارای بافت پرفیریتیک با خمیره میکروولیتی جریانی تا اینترسرتال و در مواردی زمینه تراکیتی و اینترگرانولار نیز دارند. فنوکریست‌های پلازیوکلاز (لابرادور - آندرزین) دارای ساختمانی منطقه‌ای و ماکل‌های آلیت و آلیت - کارلسbad و در مواردی دارای بافت غربالی هستند. فنوکریست‌های اوژیت تیتان دار و الیوین نیز در

خمیره‌ای از شیشه یا میکرولیت‌های پلازیوکلار و فلنسپات آکالان همراه با کانی‌های ریز بلور الیوین، پیروکسن و در مواردی آنالسیم و سودالیت دیده می‌شوند. بخش توفی دارای بافت کلاستیک است و خرده‌های بلورین پلازیوکلار، پیروکسن همراه با قطعات سنگی در زمینه‌ای شیشه‌ای و اکسید شده پراکنده‌اند، در مواردی شیشه، به شدت دگرسان شده است. دایک‌ها تغذیه کننده (*Feeder dikes*) فراوانی با ترکیب تراکی بازالتی-آندرزیتی نیز این واحد را قطع کرده‌اند که در حاشیه بشدت خرد شده و برشی شده‌اند. این سنگها در سری ماگماهی آکالان بوده و گرایش سدیک دارند. بخش‌های توفی این واحد لایه‌بندی خفیفی نشان می‌دهند. ستبرای این واحد در شمال عباس‌آباد به بیش از ۱۰۰۰ متر می‌رسد. این واحد بر روی واحد E_6^{bl} است و واحد E_6^T بر روی آنها جای گرفته است.

واحد E_6^{bl}

این واحد در یال باختری تاقدیس کال آبدار رخنمون دارد. در برگیرنده گذازه مگاپریزیک با ترکیب تراکی آندزیتی تا بازالتی است. درشت بلورهای پلازیوکلار با ابعاد چند سانتی‌متر در نمونه دستی شایان توجه است. در مقاطع میکروسکوپی دارای بافت مگاپریزیک با زمینه میکرولیتی تا شیشه‌ای نشان می‌هد. مگانوکریست‌ها بطور غیره پلازیوکلاز (آندرزین تا لاپرادور) است و بشدت دگرسان شده‌اند. فنوکریست‌های الیوین سرباتینی و کلریتی شده همراه با اوژیت (در مواردی تیتان‌دار) سالم در زمینه‌ای از میکرولیت‌های الیگوکلاز و ریز بلورهای پیروکسن و الیوین جای گرفته‌اند. این سنگها در سری ماگماهی آکالان ردیف می‌شوند. این واحد بر روی واحد E_6^T فوران کرده و واحد E_6^{bl} بر روی آن جای گرفته است.

واحد E_6^T

این واحد بگونه‌ای گسترد़ه در شمال عباس‌آباد رخنمون دارد و گسترش آن از خاور بسوی بیرون منطقه ادامه می‌یابد. در باختر هسته تاقدیس سیاه کوه و یال باختری تاقدیس کال آبدار را پدید آورده است. در جنوب رخنمون آنها از چاه عبدال... تا نزدیکی های روستای یزدو و در شمال هسته تاقدیس قلعه سرخ را پدید آورده است. در برگیرنده مجموعه‌ای از گذازه‌های تراکی بازالتی است که در مواردی ناچیز به گذازه‌های تراکی آندزیتی پایان

می پذیرد. در برگیرنده دایک های پر شمار تراکی بازالتی - الکالی بازالتی و در مواردی الکالی پیکریتی بازالتی است. در بررسیهای میکروسکوپی این سنگ ها دارای بافت پرفیریتیک با زمینه میکروولیتی اند. فنوکریست ها در برگیرنده الیوین، پلازیوکلаз و پیروکسن است. پیروکسن که خود گاه ۲۰ تا ۴۰ درصد از حجم سنگ را پدید می آورد، از نوع اوژیت تیتان دار است. ماکل ساعت شنی دارد و در بیشتر موارد سالم است. پلازیوکلاز (از نوع لابرادور) در برخی از نمونه ها سالم ولی در برخی دیگر بطور کامل به کانی های رسی، سریسیت و کربنات دگرسان شده است. بطور تقریبی همه فنوکریست های الیوین از اطراف به ایندگریت و یا کانی اپاک و در درون به کلریت و سرپاتین و گاهی تالک تعزیه شده اند. این سنگها در سری ماگماهی الکالن جای می گیرند. و بیشتر موارد گرایش سدیک دارند این واحد بطور کامل پرنگ تیره دیده می شود و مستبرای آن به ۶۰۰ متر می رسد. در مواردی بشدت فرسایش یافته اند و تشکیل تپه های کم ارتفاعی داده اند. از ویزگی های آشکار این واحد بودن زیولیت به مقدار شایان توجه و بگونه ای پراکنده در این سنگهاست. این واحد بر روی واحدهای E^{br}_6 و E^{lv}_6 ریخته شده و واحدهای E^{l2}_6 و E^{b1}_6 بر روی آن جای گرفته اند.

واحد E^{ll}_6

این واحد بصورت عدسی هایی در دو یال تاقدیس سیاه کوه و بصورت عدسی های کوچک و بگونه ای پراکنده رخمنون دارد. از جنس سنگ آهک ماسه ای است و نومولیت های درشت در آنها به فراوانی دیده می شوند. بر پایه بررسی های دیرینه شناختی، سن این واحد اوسن میانی تشخیص داده شده است. این واحد درون واحد E^{b1}_6 جای دارد.

واحد E^{l2}_6

این واحد در شمال چاه عبدالا... و چاه غفاری و در دو یال تاقدیس سیاه کوه رخمنون دارد و بسوی شمال شرقی در بیرون منطقه گسترش یافته است. در برگیرنده گذازه های تراکی آندزیتی، الیوین تراکی آندزیتی، تراکی آندزیتی بازالتی، لاتیتی، آندزیتی بازالتی و تراکی بازالتی است. بافت این سنگها همگی پرفیریتیک - مگاپرفیریتیک اند. در بررسیهای میکروسکوپی این سنگها دارای بافت مگاپرفیریتیک - پرفیریتیک اند و پلازیوکلاز (لابرادور- آندزین) مگافنوکریست تا فنوکریست اصلی را پدید می آورند. خمیره نیز از میکروولیت های

پلازیوکلاز، ریز بلورهای الیوین و پیروکسن و فلدسپات آلکالن پدید آمده است. این سنگها در مواردی سالم و در مواردی بشدت دگرسان شده اند. این سنگها در سری ماقمانی آلکالن جای دارند و گرایش پتاسیک دارند. در مواردی (اطراف تاقدیس سیاه کوه) مرغولوزی برجسته ای را تشکیل داده اند. ستبرای این واحد در شمال چاه عبدال... نزدیک به ۷۰۰ متر نیز می رسد.

E_6^{12} واحد

این واحد بصورت عدسی های کوچک در جنوب چاه غفاری و درون واحد E_6^{12} رخمنون دارد. سنگ آهک ماسه ای است و برپایه بررسی های دیرینه شناختی، سن این واحد لوتسین است.

E_6^{ab} واحد

این واحد بصورت بروزندهای ناچیز در خاور تاقدیس سیاه کوه در درون واحد E_6^{12} رخمنون دارد. در برگیرنده گازهای الیوین بازالتی تا آلکالی الیوین بازالتی است. در بررسی های میکروسکوپی دارای بافت پرفیریتیک با زمینه میکرولیتی اند که فنوکریست اصلی آنها الیوین کم و بیش سرباتین شده و آپاسیتی شده است. زمینه از میکرولیت های پلازیوکلاز، ریز بلورهای الیوین و پیروکسن و فلدسپات آلکالن پدید آمده است.

E_6^{iv} واحد

این واحد بگونه ای گستردۀ در میانه ورقه رخمنون دارد و در دویال تاقدیس سیاه کوه، ناودیس گورخون و شمال باختر عباس آباد دیده می شود. در برگیرنده تناوبی از گذازه و برش ولکانوکلاستیک است که در مواردی آثار حمل و نقل در آنها دیده می شود. از این رو خاستگاه اپی کلاستیک دارند. دایک های تغذیه کننده فراوانی به ستبرای نزدیک به چند متر در همه واحد دیده می شود. این سنگها ترکیب آندزیتی بازالتی، تراکی آندزیتی بازالتی، آلکالی الیوین بازالتی، تراکی بازالتی سودالیت - آنالیسم دار و تراکی آندزیتی دارد. دایک های تغذیه کننده نیز کم و بیش دارای همین ترکیب اند. اما در مواردی تمایل آلکالی پیکریتی بازالتی را نیز یافته اند. یک نهضه در سری ماقمانی آلکالن با گرایش پتاسیک و بقیه در سری ماقمانی آلکالن با گرایش سدیک جای گرفته اند. این واحد در چاه گودال بر روى واحد E_6^{ab} و در جنوب سیاه

کوه و جنوب چاه غفاری بر روی واحد E_6^{12} و در شمال باختر عباس آباد بصورت جانبی به واحد و در شمال عباس آباد با واسطه عدسي های سنگ آهک نومولیت دار (E_6^{14}) واحد E_6^c بصورت هم شیب بر روی این واحد جای گرفته است.

واحد (E_6^{vb})

این واحد در خاور مزرعه سفید سنگ در درون واحد E_6^{17} رخمنون دارد. در برگیرنده برش آنذریتی - تراکی آنذریتی است و به علت فرسایش برنگ روشن دیده می شود. ستبرای آن نزدیک به ۳۰ متر می رسد و مرغولوژی برجسته ای را پدید آورده است.

واحد (E_6^{b2})

این واحد بگونه ای گستردگی در مرکز ورقه و شمال باختر غرب ورقه رخمنون دارد و هسته تاقدیس های میاندشت و چاه گودال را پدید آورده است. در برگیرنده گذاره های تراکی بازالتی، الیوین تراکی بازالتی و تراکی آنذریتی - بازالتی است. در مواردی، این گذاره ها بصورت هیالوکلاستیک فوران کرده و در مواردی کاکوک دارند که توسط کانی های سبز و زوئیت پر شده اند. در مقاطع میکروسکوپی دارای بافت پر زیرینیت با زمینه میکرولیتی تا اینترسال انداز و در برگیرنده مقادیر نامحسان از فنوکریست های پلازیوکلاز، الیوین و پیروکسن اند. در مواردی مانیک بیش از ۸۰ درصد سنگ را پدید آورده اند و گراش پیکریتی بازالتی یافته اند. خمیره در برگیرنده میکرولیت های پلازیوکلاز، آلکالی فلدسپات، ریز بلورهای پیروکسن، الیوین و گاه بیوتیت و در مواردی نیز خمیره بشدت اکسیده شده است. دایک های تفذیه کننده فراوانی این واحد را قطع کرده اند. ترکیب آنها همسان و شبیه ترکیب واحد است. تنها یک نمونه در سری ماغماهی آلکالن با گرایش پتاسیک و بقیه در سری ماغماهی آلکالن با گرایش سدیک جای دارند. در باختر عباس آباد واحد E_6^{13} و در شمال عباس آباد واحد E_6^c بگونه ای هم شیب بر روی این واحد قرار گرفته است.

واحد E_6^{fl}

این واحد در شمال مزرعه الهاک رخمنون دارد. در برگیرنده توف فروزن قمز رنگ است. ستبرای آن از چند متر تا حداقل ۲۰ متر است. به رنگ قمز تبره دیده می شود. این

واحد درون واحد E_6^{b2} دیده می شود.

واحد E_6^{l3}

این واحد بطور عمدۀ در شمال و باختر عباس آباد بروزد دارد. در برگیرنده، گدازه های مگاپرفیریتیک - پرفیریتیک تراکی آندزیتی - بازالتی، آندزیتی - بازالتی و تراکی آندزیتی و به صورت محلی تفریتی است. در بررسی مقاطع میکروسکوپی دارای بافت مگاپرفیریتیک تا پرفیریتیک با خمیره میکرولیتی (کم و بیش جهت یافته) و در مواردی ایسترگرانولار تا اینترسرتال است. در برگیرنده فنوکریست های پلازیوکلاز (ابرادور - آندزین). الیوین ایلنگریتی و سرباتینی شده و اوژیت (در مواردی تیتان دار) است. درصد فنوکریست ها در موقعیت های محلی مختلف، متفاوت است ولی پلازیوکلاز فنوکریست غالب را تشکیل می دهد. از نکات شایان توجه در مقاطع میکروسکوپی، بودن فنوکریست های پلازیوکلاز است که در مواردی، بیشتر به کانی (ای) رسی و سریست دگرمان شده، اند در حالیکه فنوکریست های پیروکسن، پیشتر، سالم اند، بسته به موقعیت محلی، خمیره (دارای) مقداربر ناهمسان از میکرولیت های پلازیوکلاز (الیگوکلاز، الیوین)، پیروکسن، شیشه (در مواردی اکسیده شده) و بیوتیت است. این سنگها در بیشتر موارد در سری ماگماتیک الکالن با گراش سدیک و در چند مورد با گراش پتاسیک جای دارند. در عباس آباد دو انق عدسی سنگ آهک نومولیت دار (E_6^{l3} و E_6^{l4}) بالای واحد دیده می شود. در شمال عباس آباد و در بالای این واحد چند متر برش و توف و لکانوکلاستیک دیده می شود که سرانجام به سنگ آهک نومولیت دار (E_6^{l4}) پایان پذیرفته است. واحد Eo^{c4} در مواردی با واسطه و گاهی بدون واسطه E_6^{l4} هم شبیه بر روی این واحد جای گرفته است.

واحد E_6^{l3} (اُوسن میانی)

این واحد بصورت عدسی هایی در درون واحد E_6^{l3} رخمنون دارد. در برگیرنده توف آهکی نومولیت دار است، بر پایه بررسی های دیرینه شناسی سن این واحد اُوسن میانی است.

واحد E_6^{ms} (اُوسن بالایی)

این واحد در یال شمال باختری تاقدیس کال آبدار رخمنون دارد و گسترش آن از چاه

گودال تا نزدیکی های مزرعه سفید سنگ است. در برگیرنده مارن، سنگ آهک ماسه ای، ماسه سنگ شیلی، آهک متبلور (خاکستری تا سبز) و آهک نومولیت دار است. ستبرای این واحد به گونه ای تقریبی به ۱۹۰ متر میرسد. بخش های مارنی این واحد گاهی دارای ماکروفیل های درشت استرا (*Ostrea*) می باشد. بر پایه بررسی های دیرینه شناختی - سن این واحد اتوسن بالایی تشخیص داده شده است. این واحد بشدت فرسایش یافته و تپه های کم بلند و سفید - کم رنگی را پدید آورده است. این واحد بر روی واحد E^{lb} و در زیر واحد E^{br} جای گرفته است.

واحد E_6^{bt}

این واحد بطور عمده در دو بال ناویدیس های میاندشت و سفید سنگ و تاقدیس های میاندشت و چاه گودال رخنمون دارد و در برگیرنده برش و توف برش با ترکیب بازالتی تا تراکی آندزیتی است و اندازه قطعات آن گاه به چند دسی متر نیز می رسد. در بررسی مقاطع میکرو-سکوپی، این قطعات دارای بافت پر فیرینیک با خمیره میکرولیتی و بصورت بخشی دارای خمیره فلستیک تا میکروگرانولار است. توف ها نیز دارای بافت کلاستیک هستند و بطور عمده از نوع کریستال توف اند. بگونه ای محلی، عدسی هایی از سنگ آهک نومولیت داریز در این واحد دیده می شود که بررسی دیرینه شناختی سن اتوسن میانی - بالائی را نشان داده است.

این واحد بگونه ای توده ای با مرفلوژی برجسته ای بروند دارد. در شمال چاه شور ستبرای ناچیزی دارد ولی در جنوب میاندشت، در یال خاوری تاقدیس میاندشت، ستبرای آن نزدیک به ۷۰۰ متر می رسد. در بیشتر مناطق این واحد بگونه ای تدریجی به واحد E^{lb} تبدیل شده اما در هسته ناویدیس میاندشت به واحد E^{lt} تبدیل شده است.

واحد E_6^{bb}

این واحد در یال شمال باختری تاقدیس چاه گودال در مزرعه میان دو واحد E_6^{bt} و E_6^{bl} رخنمون دارد. در برگیرنده برش و توف ماسه ای ستبر لایه به رنگ سبز تا صورتی است. مرفلوژی برجسته ای نیز دارد.

E_6^{bt}

این واحد در دو یال ناودیس های سفید رنگ و میاندشت رخمنون دارد. در برگیرنده توف و توف برش همراه با میان لایه هایی از گذازه های آندزیتی - تراکی آندزیتی است. بخش های آذراوری این واحد دارای بافت کلاستیک و بگونه ای فراگیر از نوع کریستال توف اند. بخش های گذازه ای دارای بافت پرفیریتیک با زمینه شیشه ای اند که در اثر تبلور دوباره بافت میکروکریستالین یافته اند. متوسط تا نازک لایه هستند و در اثر فرسایش مرفلوژی پشت گوسفنندی یافته اند. ستبرای این واحد نزدیک به ۲۰۰ متر است و به دلیل چین خوردگی در مناطق گوناگون تغییرات ستبرای آن بطور کامل محسوس است. در مسیر جاده میاندشت به غزاران در محل بریدگی جاده، بگونه ای محلی قاعده، این واحد با مجموعه ای از توف سیلتی آهن زادی (فرزوژن) نازک لایه و توف شیلی قرمز رنگ به ستبرای ۱۰ الی ۱۵ متر آغاز شده است. این واحد در هسته ناودیس های سفید رنگ و میاندشت بگونه ای تدریجی به واحد E_6^{bt} و در جنوب چشمeh سرخ به واحد E_6^r تبدیل شده است.

 E_6^{bt}

این واحد در هسته ناودیس های سفید رنگ و میاندشت بروزد دارد و بروزدهای آن تا نزدیکی های مزرعه تلغی آب امتداد می یابد. در برگیرنده تناوبی از توف (توف سبز، لیتیک توف، سیلتی توف)، توفیت قهوه ای و ماسه سنگ همراه با توف آهکی است. نازک لایه است و مرفلوژی کم ارتفاعی را پدید آورده است.

 E_6^r

این واحد در دو یال ناودیس های میاندشت و سفیدرنگ دیده می شود. در برگیرنده توف رویلیتی سفید رنگ است. از نوع ویتریک کریستال توف و در مقاطع میکروسکوپی، تراشه های شیشه ای همراه با تکه های بلورین کوارتز و در زمینه ای از شیشه بشدت رسی و کائولینیتی شده شناورند. این واحد نازک لایه است و به رنگ کرم - سفید دیده می شود. ستبرای آن از چند متر فراتر نیست.

E₆¹³ واحد

این واحد در نزدیکی های چشمه سرخ رخمنون دارد. از خاور تا شمال چاه شور و از باخته بسمت بیرون منطقه گسترده است. در برگیرنده توف ماسه ای، توف شیلی، و لیتیک توف برنگ سبز و ماسه سنگ و شیل است. نازک لایه است و مرغولوزی کم ارتفاع و فرسایش یافته ای دارد. سطح این واحد نزدیک به ۱۳۰ متر است. این واحد هم ارز واحد E_6^{13} است و واحد M^C با ذگر شیبی زاویه ای بر روی آن نشسته است.

E₆¹⁴ واحد

این واحد در بالای واحد E_6^{13} و در نزدیکی های عباس آباد رخمنون دارد. در برگیرنده توف آهکی نومولیت دار است. برپایه بررسی های دیرینه شناختی سن این واحد اثوسن میانی بالائی تشخیص داده شده است. سطح این واحد به یک متر می رسد به صورت عدسی هایی دیده شده و واحد Eo^C به گونه ای هم شبیه بر روی آن جای گرفته است.

۵-۳-۲- واحدهای زمین شناسی اثوسن - الیکرسن (E-0)

این واحدها در قالب های Eo^g , Eo^{ms} , Eo^c و Eo^{ss} معروفی می شوند.

Eo^c واحد

این واحد در شمال عباس آباد رخمنون دارد. در برگیرنده کنگلومرا با جور شدگی ضعیف و گردشگی متوسط است و بگونه ای هم شبیه بر روی واحدهای E_6^{13} , E_6^{14} و E_6^{15} جای گرفته و بگونه ای تدریجی به واحد Eo^{ss} تبدیل شده است.

Eo^c واحد

این واحد در شمال عباس آباد رخمنون دارد و در برگیرنده تناوبی از ماسه سنگ و شیل خاکستری تا تیره است. نازک لایه است و برنگ تیره دیده می شود. سطح این واحد به ۳۵۰ متر می رسد. مرغولوزی کم ارتفاعی دارد و بگونه ای تدریجی به واحد Eo^{ms} تبدیل شده است.

E₀^{ms} واحد

این واحد بگونه‌ای گسترده در اطراف عباس‌آباد رخمنون دارد. در برگیرنده تناوبی از مارن قهوه‌ای رنگ، ماسه سنگ، شیل و سیلتستون و بگونه‌ای محلی همراه با میان لایه‌های کنگلومرا است. مرتفولوژی نرم فرسا دارد و تپه ماورهای بیشماری ساخته است. نازک لایه است و به صورت چین خورده دیده می‌شود.

E₀^g واحد

این واحد در شمال خاور عباس‌آباد رخمنون دارد. در برگیرنده ژیپس و بندرت مارن است. در شمال عباس‌آباد به گونه‌ای نزدیک به هم شبی درون واحد E₀^{ms} رخمنون دارد در حالیکه در خاور عباس‌آباد بشدت در هم ریخته و خرد شده است.

E₀^s واحد

این واحد در دو یال ناویدیس و عباس‌آباد رخمنون دارد. در برگیرنده ماسه سنگ متواضع - ستبر لایه است. ستبرای آن به چند متر می‌رسد.

۵-۱-۳-۳- واحدهای میوسن

این واحدها به در بخش M^{cs} و M^m تقسیم می‌شوند.

M^{cs} واحد

این واحد در شمال باخته ورقه رخمنون دارد. در برگیرنده کنگلومرای ستبر لایه و ماسه سنگ است که سوی بالای واحد بر مقدار مارن در مناطقی بر مقدار ماسه سنگ و شیل آن افزوده می‌شود بگونه‌ای محلی دارای طبقات ژیپس نیز هست. بخش‌های کنگلومرائی مرتفولوژی برجسته دارند حال آنکه بخش‌های مارنی مرتفولوژی پست و تپه ماوره مانند را پدید آورده‌اند. این واحد پس از فرسایش به رنگ قرمز دیده می‌شود. فسیلی مشخص در این واحد پیدا نشده است. این واحد با دگرشیبی زاویه‌ای بر روی واحد E₀^g جای گرفته و واحد P₆^c با دگرشیبی زاویه‌ای بر روی آنها نشسته است. نیاز به یادآوری است که این واحد می‌تواند قابل مقایسه با واحدهای طبقات قرمز (Red beds) باشد ولی با نگرش به اینکه

نهشته های کربناته هم ارز سازند قم در این ورقه و محدوده های پیرامون شناخته نشده است، با توجه به نوع لیتولوژی و همبری این واحد با واحد P^C_1 ، می توان سن میوسن را با احتیاط پیشنهاد کرد. این واحد به شدت چین خورده است و در پایانی ترین نقطه شمال باختり پیشنهاد کرد. این واحد با همبری گسل میامی بر روی این واحد جای گرفته است.

M^M واحد

این واحد بطور عمد در باختر ورقه رخنمون دارد و بروزد کوچکتر در جنوب خاور ورقه در شکست بند زینب دیده می شود. شامل مارن کرم رنگ، شیل و ماسه سنگ قرمز است. نازک لایه است و در اثر فرسایش بصورت په ماهورهایی کم ارتفاع دیده می شود. فسیل مشخصی در این واحد دیده نشده ولی از دیدگاه لیتولوژیکی قابل مقایسه با طبقات قرمز است و سن میوسن را می توان با احتیاط برای آن پیشنهاد کرد.

۱-۳-۴-۵ واحدهای پلیوسن

P^C_1 واحد

این واحد بگونه ای گسترده در شمال باختر و جنوب خاور ورقه، در شمال روستای دستجرد رخنمون دارد. شامل کنگلومرا و در مواردی ماسه سنگ است. در شمال روستای غزاران دارای جورشدگی خوب و گردشگی متوسط است و بیشتر قطعات آن از سنگ های آتششانی انومن پدید آمده اند. در حالیکه در دیگر مناطق دارای جورشدگی متوسط و گردشگی ضعیف است. این واحد در شمال باختر ورقه مرفلوژی برجسته ای را تشکیل داده در حالیکه در دیگر مناطق بشدت فرسایش یافته است. این واحد با دگرشیبی زاویه ای بر روی واحدهای E^B_6 ، M^M و M^{CS} قرار گرفته و واحدهای Q^{11} و Q^{12} بر روی آنها نشسته اند.

PQ^{MC} واحد

این واحد در پیرامون روستاهای غزاران و دستجرد رخنمون دارد. شامل مارن و مواد رسی برنگ کرم تا روشن همراه با میان لایه هایی از سنگ آهک است. این واحد بشدت خرد شده و درهم ریخته است و بصورت په ماهورهایی از فاصله دور قابل رویت است. بر روی واحد M^M جای می گیرد و واحد Q^{11} بر روی آن می نشیند.

۱-۳-۵- واحدهای زمین شناختی کواترنری

این واحدها با نشانه های Q^{11} , Q^m , Q^c , Q^{12} و Q^{cs} شناسانده شده اند.

واحد Q^{11}

این واحد در برگیرنده تراس ها و پادگانه های آبرفتی بلند است.

واحد Q^{12}

بگونه ای گستردہ در مرکز و جنوب ورقه رخنمون دارد. در برگیرنده پادگانه های آبرفتی کم ارتفاع است.

واحد Q^c

در برگیرنده تپه های شنی با بلندای ناچیز است و در اثر تغییر سوی وزش باد، جهت حرکت این تپه ها نیز متفاوت است. بگونه ای گستردہ در باخته و شمال کوه دوشاخ و در شمال یزد رخنمون دارد.

واحد Q^m

بگونه ای گستردہ در خاور و جنوب خاور ورقه رخنمون دارد. در برگیرنده گسترهای رسی خشک شده و مسطح است که توسط ترکهای فراوان بریده شده اند. بخش سطحی آنها سفت شده است.

واحد Q^{mc}

در برگیرنده گسترهای رسی نم دار و مسطح است. بخشهای سطحی آنها در مواردی پف کرده و توسط کانال های فراوان بریده شده است.

واحد Q^{cs}

این واحد بگونه ای گستردہ در جنوب خاور عباس آباد و شمال کوه دوشاخ رخنمون دارد. در برگیرنده سفره های رسی همراه با سفره های نمکی روی آنها است.

۴-۱-۵- واحدهای کمپلکس افیولیتی

واحدهای افیولیتی بطور عمده در شمال خاور ورقه و بصورت برونزدهای تکتونیزه در شمال منطقه دیده می شوند. این مجموعه در واقع پایانی ترین بخش باختری مجموعه افیولیتی سبزوار است. این واحدها در قالب های mv و sh تشریح شده اند.

واحد sh

این واحد بگونه ای در شمال ورقه، در باختر روستای مسیح آباد رخنمون دارد. در برگیرنده سرپاتینیت، هارزبورزیت سرپاتینیتی شده و بگونه ای ناچیز و محلی همراه با گابرودیوریت لایه ای و متساماتیت ها (لیسونیت و روونگیت) است. در بررسی مقاطع میکروسکوپی، سرپاتینیت و هارزبورزیت سرپاتینیتی شده دارای بافتی توری مانند است و الیون و ارتپیروکسن سرپاتینیتی شده همراه با کلریت و اکسید آهن و مقدار ناچیزی اسپینل دیده می شوند. گابرو دیوریت نیز دارای بافت یکسان دانه (equigranular) است و بیش از ۶٪ سنگ از هورنبلاند سبز و اوژیت و بقیه از پلازیوکلاز (لابرادور - آندزین) پدیده است. این واحد بطور عمده بگونه راندگی بر روی واحد E و گاهی با همبry تکتونیک در کنار واحدهای E^{lb} و M^{cs} جای گرفته است. واحد mv بر روی این واحد جای دارد.

واحد mv

این واحد بگونه ای محدود در شمال ورقه رخنمون دارد. در برگیرنده متاتراکسی آندزیت - بازالت و متاتراکسی آندزیت همراه با میان لایه های نازک و ناچیز توف آهکی قهوه ای رنگ است. در میکروسکوپ این سنگها دارای بافت میکروسکوپی پرفیریتیک با زمینه تراکیتی تا میکرولیتی جریانی است. دارای مقادیر ناهمسان از فنوکریست های الیون و اوژیت کم و بیش سرپاتینی و کلریتی و اکسیده شده و پلازیوکلاز کم و بیش کلریتی شده است که در زمینه ای از الیون، پلازیوکلاز، پروکسن، کلریت و فلدسپات آکالان جای گرفته اند. بر پایه تنازع تجزیه شیمیایی یک نمونه، این سنگها در محدوده تراکسی آندزیتی - بازالتی و موژآربتی جای می گیرد و گرایش آکالان دارند و تحت اشعه از سیلیس اند.

جدول (۱-۱): رخمنونهای سنگی رسوبی، آذرین و دگرگونی در برکه ۱:۱۰۰،۰۰۰ عباس‌آباد

نام سنگها	ولحد	سن
کنگلومرا	رسوبی	پیروسن
کنگلومرا، ماسه سنگ، مارن	رسوبی	پیروسن
کنگلومرا، ماسه سنگ، شیل، مارن، رسوبات تغیری	رسوبی	اتونس - اولیگوسن
کنگلومرا، ماسه سنگ، شیل، مارن، سنگ آهک، توف، بازالت، تراکی آندزیت، آندزیت بازالت، توف رویلش، مگاپریزی، توف دامپیتی	رسوبی - ولکانیکی	اتونس
سنگ آهک ماسپر	رسوبی	کرتاسه
کنگلومرا، ماسه سنگ، شیل، سنگ آهک و مارن همراه با میان لایه های آندزیت و بازالت دگرگون شده	رسوبی - ولکانیکی	ژوراسیک
واحدهای اولترامافیک سرباتینی شده، گاتیس (انواع مختلف)، شبست (انواع گوتانگون)، مرمرهای دولوبینی - آهکی و ماسه سنگ دگرگون شده	کپلکس دگرگونی	بلل از ژوراسیک

۵- زمین‌شناسی ساختمانی و تکتونیک

نقشه ۱:۱۰۰،۰۰۰ عباس‌آباد در محدوده شمال خاوری پهنه ساختاری ایران مرکزی جای گرفته است. دیدگاه تنوع لیتولوژیکی، سنگ‌های این منطقه را می‌توان در سه دسته بزرگ انبیولیتی در شمال، آتشفسانی و آتشفسانی - رسوبی اتونس در مرکز و غرب، و دگرگونه در جنوب و جنوب باختری بخش کرد. کهن واحدهای سنگی منطقه در جنوب ورقه در نزدیکی های چشمه سیر رخمنون دارند و در برگیرنده پاراگنیس ها با خاستگاه های گریواکی تا پلیتی و کوارتزیتی و ارتوگنیس ها همراه با دایک های اولترامافیک و گابروئی اند. همراه با این سنگ ها انواع شبست با درجه دگرگونی شبست سبز دیده می‌شوند. این سنگ ها را می‌توان بعنوان پی سنگ منطقه بشمار آورد. شواهد سنگ‌شناسی و پترولوجی نشان از ذوب بخشی پوسته در اثر جایگیری توده های گابروئی برخاسته از گوشته دارند، که دایک های بی شمار گابروئی و اولترامافیک آنها را بریده اند. سن دقیق سنگ مادر نخستین و زمان دگرگونی آنها مشخص نیست ولی همراه بودن قلوه هایی از این سنگها در کنگلومرای ژوراسیک زیرین در جنوب منطقه نشانه سن دگرگونی بیش از ژوراسیک این مجموعه است.

پیدایش نهشته های ژوراسیک و سپس دگرگونی تفهیرانی این سنگها و مجموعه دگرگونه کهن تر را می توان به جنبش های کوهزائی سیمیرین پسین نسبت داد که پامدهای آن وقته و باز ایستادن نهشته گذاری نهشته های ژوراسیک زیرین (واحد E^1) و نهشته های ژوراسیک میانی - بالانی (واحد E^2) بوده است. پامدهای بعدی این جنبش ها نهشته شدن نهشته های کربناته اریتولین دار واحد (E^3) بوده است. عملکرد جنبش های کششی و پیدایش حوضه های باریک اقیانوسی سبب جایگیری مجموعه افیولیتی در کرتاسه شده است. در گامهای پایانی و آغازین سنوزوئیک فاز لارامید باعث بسته شدن حوضه های ژرف اقیانوسی و در هم ریختگی تکتونیکی ردیف های لیتوسفر اقیانوسی و تشکیل آمیزه افیولیتی را فراهم آورده است. بدنبال فاز فشارشی، انساط پوسته در ائوسن سبب ایجاد شکستگی های کششی در دوره ائوسن و فوران های آتشفسانی بطور عمدۀ بازیک شده است. این تکاپو بطور عمدۀ آلکالن بوده اند و در شرایطی بطور کلی، قاره ای تاکم عمق بیرون ریخته شده اند. فراورده این تکاپو پیدایش حجم هایی شایان توجه از گذازه ها و سنگ های آذراواری بوده است. آرامش نسبی این تکاپوها سبب نهشته شدن نهشته های آتشفسانی رسوی (واحدهای E^4 و E^5) و یا باز ایستادن نهشته گذاری (بالای واحد E^2 در لوتسین و واحد E^3 ، به گمان در پایان لوتسین) شده است. جنبش های زمین ساختی آپی پایانی در میوسن و پیلوسن سبب ایجاد تغییر در محیط رسویگذاری و نهشته شدن نهشته های آواری مولاس و تاره ای و چین خوردگی و گسلش آنها شده است. حاصل عملکرد این جنبش ها، گذازه های تراکیتی پس از ائوسن نزدیکی های مزرعه سفید سنگ بوده است. گسل میانی در پایانی ترین گستره باختر ورقه، مهمترین عنصر ساختمانی است که در پایانی ترین گستره شمال ورقه بصورت پهنه ای گسل خورده، محدوده ورقه عباس آباد را نیز زیر تأثیر خود برده است. شکستگی های منطقه را می توان به سه دسته گروه بندی کرد:

- ۱- شکستگی های باروند شمال باختری - جنوب خاوری که بطور عمدۀ گسل هایی عادی و یا راستا لغز هستند که عملکردهای راست گرد دارند و برخی چپ گرد بوده اند.
- ۲- شکستگی های با روند شمال خاوری - جنوب باختری و یا خاوری - باختری با مؤلفه های راست گرد و چپ گرد، و در مواردی (نظیر محدوده تاقدیس سیاه کوه) گسل های دسته نخست را قطع کرده اند. این شکستگی ها از مهم ترین گسل های منطقه اند و در شمال منطقه به صورت راندگی عمل کرده و سبب راندگی مجموعه

افیولیتی بر روی واحدهای اثوسن شده‌اند. در جنوب ورقه، همگام با جابجاگی واحدهای دگرگونه، همیری تکتونیکی آنها را با واحدهای هم ارز ژوراسیک فراهم کرده‌اند.

این گسل‌ها در شمال منطقه، با زاویه کمی به گسل میامی می‌پیوندد. از گسل‌های نوع دوم می‌توان به گسل چاه حاجی در شمال، گسل سیاه کوه در مرکز و گسل چشمه سیر اشاره کرد.

-۳- گسل‌های با روند شمال خاوری - جنوب باختری تا شمالی - جنوبی که عملکرد عادی یا معکوس دارند و مهم ترین آنها گسل کال آبدار است که سبب حذف یا خواری تاقدیس کال آبدار شده است.

در این منطقه چین خوردگی هایی فراوان به صورت تاقدیس و ناودیس (که در مواردی پلانچ نیز دارند) دیده می‌شود که اندازه زاویه محور آنها با گسل میامی بسوی شمال کم می‌شود و به هوازات نزدیک شدن به این گسل، تمایل موازی واضح تر می‌شود. چین خوردگی های مدخلی فراوانی نیز در منطقه دیده می‌شود که نتیجه آنها زاویه کمی با گسل‌های منطقه می‌سازد.

۵-زمین‌شناسی اقتصادی

پتانسیل‌های اقتصادی منطقه عباس‌آباد، در برگیرنده نشانه‌ها و کانسارهایی است که می‌توان آنها را به انواع فلزی و غیرفلزی تقسیم کرد. کانه‌های فلزی شامل مس و آهن و انواع غیرفلزی شامل منیزیت و زنولیت است.

مس (Cu)

وجود سرباره‌های مس در ورقه ۱۰۰، ۱۰۰: عباس‌آباد، نشانگر توجه کاوش گران فلز در این منطقه است. بطوريکه جهت نشان دادن محل تجمع این سرباره‌ها به توصیف دقیق تری دارد. در منطقه عباس‌آباد شاید بتوان دهانه نشانه پراکنده مس را معرفی نمود اما تجمع رگچه‌های پرشده با ترکیبات مس بطور عمدی در واحدهای E^{l3} و E^{l4} دیده می‌شوند. در جنوب تاقدیس میان‌نشست، در شمال چاه گودال، در داخل واحد E^{l5} نیز در محدوده‌ای شایان توجه، انباستگی‌هایی از کانه‌های مس بچشم می‌خورد. کانسارهای مس

در واحدهای E_6^{13} و E_6^{14} در گذشته بهره برداری شده اند و بر پایه شنیده ها فعالیت های معدنی در سال ۱۳۵۹ پایان پذیرفته است.

کانسارهای عمدۀ مس در منطقه عباس آباد، بطور عمدۀ در معدن بزرگ، دامن جلا، حمامی (شمال خاوری عباس آباد) و در جنوب باختری عباس آباد، بطور عمدۀ، در مناطق چغندز سر، قلعه، قلعه گریک و گورخون رخمنو دارند. بهره برداری از آنها به گذشته های دور بر می گردد، زیرا گواه آن تونل ها، کنده کاریها و حفاری های بی شمار در مناطق یاد شده است. وجود نشانه های فراوان و پراکنده مس، بصورت پرشدگی های ثانوی، سبب شده تا واحد E_6^{13} را بتوان بعنوان واحدی شایسته برای بی جوئیهای دقیق تر معدنی پیشنهاد کرد. در همه مناطق نامبرده شده کالکوزین کانی اصلی است و در مواردی با مالاکیت و کوولین همراه است. در مواردی نیز همراه مجموعه یاد شده، منیزیت و هماتیت نیز دیده می شود که بطور عمدۀ رگچه های سنگ میزان را پر کرده اند. جهت کسب اطلاعات دقیق تر و بیشتر پیامون این کانسارها می توان به گزارش تحت عنوان طرح اکتشاف مس در استان سمنان که بوسی شرکت توسعه علوم زمین و توسط عابدیان و دری (۱۳۷۵) تدوین گردید اشاره کرد.

آهن (Fe)

بصورت رگچه های پر شده با آلیژیست در درون واحد A_1^1 و در باختر نازکوه دیده می شود و گمان می رود منشاء هیدروترمالی داشته باشد.

منیزیت (Mg)

در شمال عباس آباد، در درون واحد A_1^1 رگه ها و رگچه هایی از منیزیت به طول چند متر دیده شده که، در بیشتر کانی استخراج شده و تراشه های فراوانی در اطراف محل مورد نظر حفر شده است. منیزیت همراه با کلسیت اصلی بوده است که همراه با آن سرپاتین و مقدار ناچیزی تالک نیز دیده می شود.

زئولیت

بگونه ای پراکنده، در تمامی سنگهای آتشفسانی، گدازه ای و آذرآواری انسن منطقه دیده می شود ولی بیشترین تمرکز این کانی درون واحد A_1^1 بطور عمدۀ در همبی این واحد

با واحد E^{12} است. این کانی بطور عمدۀ از نوع ناترولیت است و بگونه‌ای انشان و پراکنده دیده می‌شوند.

۶- بررسی رسوبات رودخانه‌ای در مناطق خشک

در بررسی رسوبات آبراهه‌ای در مناطق خشک شرایط آب و هوایی و ژئومرفلوژیکی خاصی حاکم است که باعث ناهمگنی ژئوشیمیابی محیط می‌گردد و در تفسیر نتایج این محیط‌ها نگران مزاحمت‌های حاصل از آن شرایط می‌باشیم. شرایطی که در بالا بحث شد عبارتند از [۲]:

الف - ناهمگنی در ریزش‌های جوی در مناطق خشک، که می‌تواند منشأ خطای ارزیابی پتانسیل معدنی این مناطق گردد. در این مناطق بخش قابل ملاحظه‌ای از ریزش‌های جوی، به صورت رگبارهای پراکنده صورت می‌پذیرد که ممکن است همه یک حوضه آبریز را باشد یکسان نپردازند. در این صورت فوچانی ترین رسوبات کف آبراهه بیشتر سهکس کنندۀ ترکیب شیمیابی آن بخش از حوضه آبریز است که محصولات حاصل از فرسایش آن در آخرین فاز بارندگی از طریق چنین رگبارهایی به بخش‌های پایین تر حوضه حمل و روی رسوبات قبلی را پوشانده است. بدیهی است اگر چنین بخشی از حوضه آبریز محل توسعه هاله‌های ژئوشیمیابی اولیه باشد، آنومالی‌های ثانوی مشتق شده از آن‌ها قوی خواهد بود (زیرا مواد باطله کمتری با آن مخلوط می‌شود). ولی اگر چنین بخشی از حوضه آبریز، از مناطق عقیم (بدون هاله اولیه) باشد، که عموماً چنین است در این صورت شدت آنومالی‌ها در رسوبات سطحی حوضه آبریز کاهش یافته و ممکن است مقدار عنصر وابسته به کانی سازی تا حد مقدار آستانه‌ای و یا مقدار زمینه تنزل یابد.

ب - ناهمگنی در اندازه ذرات تخریبی که خود معلول تغییر مقدار شدت شستشوی شیمیابی (فرسایش شیمیابی) ذرات سازنده رسوب رودخانه‌ای از بخش‌های مرتفع حوضه آبریز به بخش‌های میانی و بخش‌های کم ارتفاع نزدیک دشت‌هاست. نتیجه چنین ناهمگنی احتمال ثبت آنومالی‌های ژئوشیمیابی در بخش‌های مرتفع تر با فرسایش مکانیکی شدیدتر (تحت شرایط یکسان) بیشتر می‌باشد.

ج - اختلاف در احتمال رقیق شدگی رسوبات حاصل از تخریب مناطق کانی سازی شده از

طريق اختلاط با رسوبات حاصل از فرسایش مناطق عقیم در دو بخش فوقانی و تحتانی یک حوضه آبریز نیز می تواند موجب خطا در ارزیابی مناطق امیدبخش گردد، بدینه است احتمال چنین اختلاطی در بخش های فوقانی یک حوضه آبریز کمتر و در بخش های تحتانی آن بیشتر است.

برای برطرف کردن اثر سوه پدیده های فوق، به موازات بررسی های ژئوشیمیایی رسوبات آبراهه ای از روش های دیگر مانند برداشت نمونه های کانی سنگین، برداشت نمونه از زون مینرالیزه و زونهای آلترا شده، نیز اقدام گردید زیرا چنین پدیده هایی ممکن است نسبت به بعضی از فلزات کانساری غنی شدگی نشان دهند و یا نشانه ای برای کانی سازی احتمالی باشند. در پروره حاضر چنین اقدامات احتیاطی منظور گردیده است تا احتمال وقوع چنین مواردی به حداقل برسد. تنها مشکل حاضر عدم استقلال روش کانی سنگین نسبت به روش ژئوشیمیایی است، زیرا به علت محدودیتهای موجود نمونه های کانی سنگین فقط از محل توسعه آنومالی های ژئوشیمیایی ($2/5\%$ بالای جامعه) برداشت می شود. همان طوری که ذکر شد در پروره حاضر علاوه بر بررسی های ژئوشیمیایی رسوبات آبراهه ای، برداشت نمونه های کانی سنگین، مینرالیزه (از زون های کانی سازی احتمالی) در برنامه قرار گرفته است تا از مقایسه تایج حاصل از آنها بتوان به تایج مناسبتری دست یافت.

۷- بررسی حوضه های آبریز

به منظور سهولت بخشیدن به طراحی محل نمونه ها و اجرای عملیات مربوطه لازم است در هر حوضه آبریز محدوده آن حوضه روی برگه های توبوگرافی $1:50,000$ منطقه تعیین و مشخص گردد. همچنین تعیین محدوده حوضه های آبریز بر روی هر برگه می تواند در تحلیل داده های مربوط به آن و محدود کردن مناطق آنومالی مفید واقع شود. در برگه $1:100,000$ عباس آباد یک حوضه آبریز بزرگ از قسمت غربی به بخش شرقی که کنه ای است وارد می شوند. حوضه آبریز دیگری در کنج شمال شرق نقشه وجود دارد. سایر حوضه های آبریز درون برگه شروع و پایان می یابند.

جهت سهولت در مشخص نمودن محل آنومالی های احتمالی، که پس از تجزیه و تحلیل داده های حاصل از آنالیز نمونه ها به دست خواهد آمد، محدوده حوضه های آبریز در هر یک از برگه های $1:100,000$ لازم است مورد بررسی قرار گرد.

فصل دوم

نمونه برداری

(موضوع بند ۲ شرح خدمات)

۱- مقدمه

به منظور تشخیص آنومالیهای واقعی و تمیز انواعی که به نهشته‌های کانساری مرتبط می‌باشند از سایر انواع آن لازم است تا جزء ثابتی از رسوبات آبراهه‌ای (برای مثال جزء ۸۰-مش) و یا کانی سنگین (جزء ۲۰-مش) مورد آزمایش قرار گیرد. در مواردی که هاله‌های ثانوی اکسیدهای آهن و منگنز توسعه یافته‌اند، برداشت نمونه از چنین هاله‌هایی ممکن است موجب شدت بخشی به هاله‌های هیدرومفریکی شود که در این صورت باید احتیاط‌های لازم جهت تفسیر اطلاعات بدست آمده، صورت پذیرد. علاوه بر موارد فوق، در بررسی رسوبات آبراهه‌ای برداشت نمونه‌هایی همچون قطعات کانی سازی شده کف آبراهه، قطعات پوشیده شده از اکسیدهای آهن و منگنز، قطعات حاوی سیلیس برای آنالیز یک یا چند عنصر یا کانی خاص، می‌تواند مفید واقع شود. البته هر یک از محیط‌های نمونه برداری فوق تحت شرایط خاصی می‌تواند بیشتر مفید واقع شوند. عواملی که باید در این خصوص در نظر گرفته شوند شامل تیپ کانسار مورد انتظار، سنگ درونگیر، محیط تکتونیکی و دامنه سنی واحدهای زمین‌شناسی می‌باشد. از ترکیب نتایج بدست آمده از محیط‌های مختلف نمونه برداری در حوضه‌های آبریز، می‌توان به نتایج مناسبتری دست یافت. در پژوهه حاضر نتایج حاصل از سه نوع بررسی با یکدیگر ترکیب و سپس مدل سازی شده‌اند و بدین دلیل نتایج نهایی بدست آمده چه در جهت مشتب و چه در جهت متفق می‌تواند معتبرتر باشد. کلیه نتایج بدست آمده از هر یک از روش‌های فوق تشکیل یک سیستم اطلاعاتی با امکانات حذف و انتخاب مکرر مناطق امیدبخش را می‌دهد که براساس سازگاری و ناسازگاری خواص مشاهده شده در مدل انجام می‌پذیرد و این روش امکان بروز خطاهای ناهمجارت در آن کمتر است.

بطور کلی چگالی نمونه برداری از رسوبات آبراهه‌ای، تابع دانسیته، آبراهه‌ها در حوضه آبریز است. برای مناطق نیمه معتمد و خشک مانند منطقه تحت پوشش پروره

حاضر این مقدار می تواند یک نمونه برای هر ۱ تا چند کیلومتر مربع در نظر گرفته شود. در این برگه ۱:۱۰۰،۰۰۰ با توجه به مساحت رخمنوتها تعداد ۶۷۱ نمونه در نظر گرفته شده است که مساحت تحت پوشش یک نمونه تقریباً حدود ۴ کیلومتر مربع می باشد. برای استفاده بهینه از داده های حاصل از هر نمونه سعی شده است تا توزیع نمونه ها در نواحی کوهستانی حتی الامکان به روش مرکز ثقل حوضه های آبریز باشد. البته اینکه قطاع تحت پوشش هر نمونه وضعیت مناسبی برای تخمین شبکه ای داشته باشد نیز در انتخاب محل نمونه ها مؤثر بوده است.

۲- عوامل مؤثر در طراحی نمونه برداری (موضوع بند ۱-۲ شرح خدمات)

طراحی نمونه برداری طوری صورت گرفته است که ۶۷۱ نمونه این برگه حداکثر سازگاری را با روش مرکز ثقل داشته باشد (۳/۲)، درجه مرکز ثقل را عواملی نظری چینه شناسی، سنگ شناسی و تکتونیک کنترل می کند. معمولاً در طراحی به روش مرکز ثقل چگالی نمونه برداری در اطراف توده های نفوذی و خروجی و نواحی مجاور آنها (کنتاكت ها)، نواحی اطراف گسلها و تقاطع آنها، زونهای دگرسان شده بعد از مانگماهی و مناطقی که در بخش فوقانی توده های نفوذی نیمه عمیق قرار دارند (این توده ها از روی نقشه ژئوفیزیک هوایی مشخص می شوند) به علت پتانسیل معدنی بالاتر، از مقدار بالاتری برخوردار می باشند. معمولاً آبراهه هایی که بوسیله گسلهای عمیق مشخص شده به روش ژئوفیزیک هوایی، قطع می شوند، ۵۰۰ متر پائین تر از محل تلاقی آبراهه با گسل مورد نمونه برداری قرار می گیرند. در مواردی که آلتراسیونهای شدید مشاهده شده است، بخصوص در اطراف سنگهای نفوذی یا خروجی موجود در نواحی کم ارتفاع (این نواحی بیشترین مقدار آلتراسیون را چه از نظر وسعت و چه از نظر شدت نشان می دهند)، درجه مرکز ثقل آبراهه ها باید به طور محلی افزایش یابد. این امر به دلیل اهمیت چنین مناطقی می باشد. به دلیل فعال بودن پدیده رقیق شدگی و اثر سرشنک شدگی در حوضه های آبریز وسیع (با بیش از ۳۰ سر شاخه) و کاهش شدت آنومالیهای احتمالی در محل اتصال آبراهه ها به یکدیگر لازم است چنین حوضه های آبریزی بخصوص در مواردی که آبراهه سنگ بستر را قطع نمی کند به حوضه های کوچکتر تقسیم گردند. این امر موجب می گردد تا اختلاط رسوبات از آبراهه های مرتبط با کانی سازی احتمالی با آبراهه های بدون کانی سازی موجب تضعیف بیش از حد شدت آنومالیها و ارزیابی

منفی آنها نگردد. به علاوه این امر موجب می‌گردد تا احتمال قطع سنگ بستر در آبراهه افزایش یابد و این امر خود موجب افزایش ارزش داده‌ها می‌گردد. علاوه بر عوامل فوق، یکی دیگر از عوامل مؤثر در تصمیم‌گیری تقسیم یک حوضه آبریز بزرگ به حوضه‌های کوچکتر، احتمال وجود آلودگیهای ناشی از فعالیتهای کشاورزی در حاشیه رودخانه هایی است که نواحی با تپوگرافی آرام (قابل کشت) در اطراف آنها وجود داشته است. بدینهی است مصرف کودهای شیمیایی و سومون بنا بر احتمال وجود آلودگی به عناصر کمیاب را در رسوبات پائین دست آنها افزایش می‌دهد. در چنین مواردی فقط مرکز نقل بخش‌های فوقانی آنها، که از آلودگی مصون می‌باشد، می‌تواند محاسبه گردد. محدوده مورد بررسی را از نظر تپوگرافی می‌توان به دو بخش شامل نواحی با ارتفاع متوسط ۱۵۰۰ متر تا ۱۱۰۰ متر و نواحی کم ارتفاع (کمتر از ۱۰۰۰ متر) تقسیم کرد.

۳- عملیات نمونه برداری (موضوع بند ۲-۲ شرح عملیات)

نحوه پوشش فوق العاده زیاد منطقه تحت اکتشاف ژئوشیمیایی در مقیاس ۱:۱۰۰،۰۰۰ لازم است محیط‌های ثانوی تحت پوشش نمونه برداری قرار گیرند. اساس این مطالعات بر نحوه توزیع عناصر در هاله‌های ثانوی سطحی به خصوص رسوبات رودخانه‌ای و خاکها قرار دارد. در این بخش تنها به تشریح عملیات صحرایی در این پروژه اشاره می‌گردد. در خلال این عملیات ۱۵ اکیپ کارشناس در یک کمپ واقع در عباس آباد شرکت داشته‌اند. در این عملیات هر اکیپ عموماً دارای وسیله نقیله مخصوص به خود، نقشه‌های تپوگرافی با محل نمونه‌های از پیش تعیین شده، نقشه زمین‌شناسی ۱:۲۵۰،۰۰۰ محل و دستگاه موقعیت یاب جغرافیایی (GPS) بوده است. هر نمونه ژئوشیمیایی مشکل از حدود ۱۰۰ تا ۲۰۰ گرم جزء ۸۰-مش رسوبات آبراهه‌ای می‌باشد که پس از الک‌کردن رسوب خشک در محل، درون کیسه‌های پلاستیکی نو ریخته شده و شماره گذاری گردیده است. لازم به تذکر است که در هر محلی که نمونه برداری می‌شد، در جایی که به آسانی بتوان آن را پیدا کرد و عوامل آب و هوایی نتواند روی آن تأثیر زیادی داشته باشد، شماره نمونه با رنگ روی سنگ نوشته می‌شد تا امکان کنترل محل وجود داشته باشد.

هر اکیپ نمونه برداری برای نمونه‌های برداشت شده، شماره مسلسلی انتخاب و در کمپ با هماهنگی با اکیپ‌های دیگر شماره نمونه‌های خود را به یک سیستم شماره گذاری

واحد با شماره سریال منفرد تبدیل می نموده اند که روی نقشه نمونه برداری (۱:۱۰۰،۰۰۰) مشخص گردیده است. محل نمونه های برداشت شده به همراه شماره مسلسل نهایی در کمپ، بر روی یک نقشه واحد پیاده می شده است. نقاط نمونه برداری شده در برگه ۱:۱۰۰،۰۰۰ عباس آباد در نقشه شماره ۱ نشان داده شده است. راهنمای نقشه، علامت بکار رفته در نقشه را تعریف می کند. نمونه های برداشت شده (محل و شماره آن ها) در کمپ دویاره کترول می شده است. این عمل از طریق مقایسه کردن با لیست هایی که قبل از گردیده بود انجام می شده است. این کار یک مرتبه پس از حمل نمونه ها به کمپ و بطور روزانه انجام می شده و باز دیگر در خاتمه عملیات انجام گردیده است. لازم به توضیح است که ۶۷۱ نمونه در این برگه ۱:۱۰۰،۰۰۰ برداشت شده است. در شماره گذاری نمونه ها از یک کد پنج رقمی استفاده گردیده است. این کد مشکل از دو حرف و یک عدد حداکثر سه رقمی است. اولین حرف از سمت چپ هر کد معرف اولین حرف از برگه ۱:۱۰۰،۰۰۰ مربوطه می باشد (حرف A برای عباس آباد) دویمن حرف نمایانگر حرف اول برگه ۱:۵۰،۰۰۰ مربوطه می باشد. هر برگه ۱:۱۰۰،۰۰۰ شامل چهار برگه ۱:۵۰،۰۰۰ است که در این عملیات از حروف زیر برآورده می شوند که آنها استفاده شده است. برگه ۱:۱۰۰،۰۰۰ عباس آباد؛ عباس آباد (AA)، میاندشت (AM)، غزاران (AG) و کوه دوشاخ (AK). در این برگه ۱:۱۰۰،۰۰۰ از ترکیبات H دو حرفی فوق در اول کد پنج رقمی هر نمونه استفاده شده است. نمونه هایی که به حرف M ختم می شوند، معرف نمونه های کانی سنگین می باشند. نمونه هایی که به حرف M ختم می شوند معرف نمونه های میزبانیزه احتمالی می باشند که در مرحله کترول آنومالی ها در محل مناطق آنومال برداشت شده اند.

۴- آماده سازی نمونه ها (موضوع بند ۳ شرح خدمات)

کلیه ۶۷۱ نمونه برداشت شده ژئوشیمیابی تحويل آزمایشگاه شرکت توسعه علوم زمین گردید تا آماده سازی آنها صورت گیرد. وزن نمونه ها بیش از ۱۰۰ گرم بوده است و با توجه به این که قطر ذرات نمونه کمتر از ۸۰ میلیمتر بوده است حدود ۲۳۸۶۹ ذره در هر گرم آن موجود است. لذا تقسیم نمونه ها و برداشت زیر نمونه های آزمایشگاهی به وزن ۳۰۰ میلی گرم از آن با کمتر از ۸۰۰ ذره بدون خطای نمی باشد، زیرا دارای کمتر از ۱۰۰۰۰ ذره است. مشاه این خطای احتمال وجود ناهمگنی بین ذره ای (ترکیبی) و درون ذره ای

(توزیعی) ذرات تشکیل دهنده نمونه است. بنابراین مناسب تر آن است که برای کاهش خطاهای احتمالی در جدایش یک زیر نمونه ۳۰۰ میلی‌گرمی از نمونه اصلی تعداد ذرات موجود در آن را از طریق خردایش افزایش دهیم.

اگر قطر ذرات نمونه را تا ۲۰۰-مش کاهش دهیم در هر گرم آن بیش از ۳۷۲۹۵۳ ذره موجود خواهد بود و بنابراین در برداشت زیر نمونه های ۳۰۰ میلی‌گرمی (که در آن بیش از ۱۰۰،۰۰۰ ذره وجود دارد) با خطای قابل قبولی روپرتو خواهیم بود.

۵- آنالیز نمونه های ژئوشیمیایی (موضوع بند ۴ شرح خدمات)

کلیه نمونه های ژئوشیمیایی برداشت شده پس از آماده سازی و تبدیل به ۲۰۰-مش، در آزمایشگاه شرکت توسعه علوم زمین برای ۲۰ عنصر مورد تجزیه قرار گرفته اند. لیست عناصر مورد تجزیه همراه با حد قابل ثبت آزمایشگاه در روش تجزیه به کار رفته در جدول ۱-۲) ارائه می‌گردد.

جدول (۱-۲): روش تجزیه عناصر نمونه‌های عباس‌آباد همراه با حد قابل ثبت آزمایشگاه
(مقادیر بر حسب گرم در تن است).

ردیف	عنصر	روش تجزیه	حد قابل ثبت	ردیف	عنصر	روش تجزیه	حد قابل ثبت
	Ti	اسپکترومتری نشری	۵۰۰		Cu	اسپکترومتری نشری	۵
	Mn	اسپکترومتری نشری	۱۰۰		Pb	اسپکترومتری نشری	۲
	Ba	اسپکترومتری نشری	۵۰		Zn	اسپکترومتری نشری	۲۰
۱	As	جذب انتی	۱	۰/۰۵	Ag	اسپکترومتری نشری	۰/۰۵
۰/۵	Sb	جذب انتی	۰/۵	۲	Sn	اسپکترومتری نشری	۲
۰/۱	Bi	جذب انتی	۰/۱	۱۰	B	اسپکترومتری نشری	۱۰
۰/۰۵	Hg	جذب انتی	۰/۰۵	۵	Co	اسپکترومتری نشری	۵
۰/۵	W	پلاروگرافی	۰/۵	۵	Ni	اسپکترومتری نشری	۵
۰/۵	Mo	پلاروگرافی	۰/۵	۲۰	Cr	اسپکترومتری نشری	۲۰
۰/۰۰۳	Au ^(۱)	اسیداً تحلیل شیمیایی بعد اسپکترومتری نشری	۰/۰۰۳	۱	Be	اسپکترومتری نشری	۱

۱ - نمونه‌های دارای مقدار بیش از ppb طلا با روش جذب انتی مجدداً مورد اندازه‌گیری قرار گرفته‌اند در
همن وزن زیر نمونه‌های طلا ۱۰ گرم می‌باشد.

فصل سوم

نقش سنگ بستر

۱- جدایش جوامع سنگی (موضوع بند ۵ شرح خدمات)

یکی از اساسی ترین فرضهای لازم برای تحلیل صحیح مقدار متغیرها در جوامع ژئوشیمیائی، همگن بودن آنهاست (یک جامعه بودن) و هرگونه انحراف در صحت چنین فرضی می‌تواند کم و بیش موجب انحرافاتی در تحلیل داده‌ها گردد و نهایتاً به نتایج ناصحیح منجر شود. یکی از متغیرهای محیط‌های سطحی که می‌تواند موجب ناهمگنی در جامعه ژئوشیمیائی گردد، نوع سنگ بستر رخمنوendar است که نقش منشأ را برای رسوبات حاصل از فرایش آنها بازی می‌کند. از آنجاکه تغییرات لیتلولژی در ناحیه منشأ آبراهه‌ای می‌تواند زیاد باشد و از طرفی مقادیر زیینه عناصر مورد بررسی در این چندین برابر ممکن است تغییر کند، بنابراین بمنظور می‌رسد تغییرات لیتلولژی در ناحیه منشأ رسوبات، بمنظور می‌رسد یکی از مهمترین عوامل ایجاد ناهمگنی در جامعه نمونه‌های ژئوشیمیائی باشد. بدین لحاظ در این گزارش سعی شده تا پردازش داده‌ها برای جوامع مختلف نمونه‌های ژئوشیمیائی، صورت پذیرد. از آنجاکه هر رسوب آبراهه‌ای فقط از سنگهای بالا دست مشتق می‌شود، تقسیم بندی این جوامع براساس نوع یا انواع سنگ بسترها رخمنوendar موجود در بخش بالا دست محل هر نمونه صورت پذیرفته است. با توجه به نقشه زمین‌شناسی ۱:۱۰۰،۰۰۰ در زیر جوامع زیر تقسیم شده است:

۱- رده‌بندی نمونه‌ها براساس تعداد سنگ‌های بالا دست

(موضوع بند ۱-۵ شرح خدمات)

در زیر رده‌بندی نمونه‌های برگه ۱:۱۰۰،۰۰۰: عباس آباد بر حسب تعداد سنگ بالا دست، آورده شده است:

الف - زیر جامعه تک سنگی: ۱۳۹ نمونه (شامل ۸ تیپ سنگ مختلف)

ب - زیر جامعه دو سنگی: ۱۶۶ نمونه (شامل ۱۴ تیپ مجموعه دو سنگی)

ج - زیر جامعه سه سنگی: ۸۴ نمونه (شامل ۱۵ تیپ مجموعه سه سنگی)

د - زیر جامعه بیش از سه سنگی: ۹۷ نمونه (شامل ۱۲ تیپ مجموعه چهار سنگی و پنج سنگی)

۵- زیر جامعه نمونه های آبرفتی: ۱۸۵ نمونه

زیر جامعه تک سنگی شامل آن دسته از نمونه های ژئوشیمیائی است که در بالا دست محل برداشت نمونه در حوضه آبریز مربوطه، فقط یک نوع سنگ بستر رخمنون داشته است. عبارت دیگر منشأ این رسوبات آبراهه ای فقط یک نوع سنگ است. زیر جامعه دو سنگی دو نوع مجموع نمونه های ژئوشیمیائی تشکیل یافته است که در بالا دست محل برداشت آنها، دو نوع سنگ بستر در حوضه آبریز مربوطه رخمنون داشته است. زیر جامعه سه سنگی از مجموع نمونه های ژئوشیمیائی تشکیل یافته است که در بالا دست محل برداشت آنها، سه نوع سنگ بستر در حوضه آبریز مربوطه رخمنون داشته است. در زیر جامعه بیش از سه سنگی تعداد جوامع سنگی رخمنون دار در بالا دست محل یک نمونه حداقل بیشتر به عدد پنج می رسد. لازم به توضیح است علت این که تعداد سنگ بسترهای رخمنون دار در بالا دست محل بعضی از نمونه ها حتی به عدد پنج رسیده است این است که این نمونه ها از رودخانه های اصلی برداشت شده اند که وسیع بوده و دارای سرشاخه های زیادی هستند. زیر جامعه نمونه های آبرفتی شامل آن دسته از نمونه های ژئوشیمیائی است که از آبرفت ها یا از آبراهه هایی که در محل برداشت نمونه کم عمق بوده و سنگ بستر را قطع ننموده اند برداشت شده اند.

۱- ردیفه بندی نمونه ها براساس نوع سنگ های بالا دست

(موضوع بند ۲-۵ شرح خدمات)

تقسیم بندی براساس نوع سنگ بالا دست هر نمونه در حوضه های آبریز در پردازش داده ها از آن جهت اهمیت دارد که به ما اجازه می دهد تا در هنگام محاسبه مقدار زمینه و حد آستانه ای برای هر محیط مشابه از نقطه نظر سنگ بالا دست هر نمونه که نقش منشأ آنها را به عهده دارد به طور جداگانه عمل کرده و از این طریق به درجه همگنی جامعه مورد بررسی کمک شود. از آن جا که مقدار هر عنصر در نمونه برداری، دو مؤلفه سنتزیتیک (مرتبط با پدیده های

سنگ زایی) و اپی ژنتیک (مرتبط با پدیده های کانی سازی) را دارا می باشد، از این طریق می توان به خشی سازی اثر مؤلفه سترنوتیک کمک کرد. علامت اختصاری به کار برده شده برای تعیین جنس سنگ ها براساس نقشه زمین شناسی ۱:۱۰۰،۰۰۰ عباس آباد بوده و معادل آن ها در جدول (۳-۱) آورده شده است.

جدول (۳-۱): علامت اختصاری و خلاصه سازی مرحله اول نوع سنگ های بالادست نمونه های زنوبیتی بروداشت شده از رسوبات آبراهه ای در برقه ۱:۱۰۰،۰۰۰ عباس آباد

علامت اختصاری شده	توصیف ولدهای سنگی نقشه	علامت ولدهای سنگی در نقشه
METFEL	گابن (گرانیشن، آکالای فلدسپات، گرانودورین، آپیتن، گرانوپیریک)	g
METSCH	ثیست (بکالیست، گروناشیست)، ماسه سنگ دگرگون شده	gm , qg , sm , ss
METCAR	دولومیت ها، سنگ آهکهای مرمری شده	dl , dq
SS	کنگلومرا، ماسه سنگ، شیل، سلسیون	M ^{C3} , PL ^C , J ^S , Eo ^S , E ^C ₆ , E ^{gl} ₆ , Eo ^C , E ^S
SLIM	سنگ آهک و دولومیت ماسیو، مارن و ماسه های گچ دار	E ^{L1} ₆ , J ^L , K ^L , E ^{L2} ₆ , E ^{ms} ₆ , Eo ^{ss} , Eo ^{ms} , PQ ^{mc} , Eo ^g , M ^m
VOLSAT	بازالت، تراکی بازالت، آندزیت، آندزی بازالت، توف، رویلت، گذازه و سنگهای مکاپرفری، البرین، بازالت و گذازه های پیکربندی	E ₂ , E ₄ , E ^v ₅ , E ^{tl} ₆ , E ^{bl} ₆ , E ^{l2} ₆ , E ^{ob} ₆ , E ^{b2} ₆ , E ^{l3} ₆ , mv , tr
VOLCLS	نوف (بازالتی و تراکی بازالتی)، گذازه و برشن و لکانوکلاسیتی نوف (رویلتی، آهکی، ماسه ای)	E ^{br} ₆ , E ^{lv} ₆ , E ^{vb} ₆ , E ^{lb} ₆ , E ^{gb} ₆ , E ₁
VOLACD	نوف داسپینی، گذازه تراکی آندزیت، نوف رویلتی، نوف فروزن	E ₃ , E ^t ₅ , E ^r ₅ , E ^{bt} ₆ , E ^{ls} ₆ , E ^{rt} ₆ , E ^{l4} ₆ , E ^{ft} ₆ , E ^{l3} ₆
ULT	هارزبورگیت، سرپانتینت، پروکسبیت	ud , gd , sh

شکل (۱-۳) هیستوگرام توزیع فراوانی نمونه های ژئوشیمیائی را براساس تعداد سنگ بالادست آنها برای برگه ۱:۱۰۰،۰۰۰ عباس آباد نشان می دهد، چنانچه ملاحظه می شود حدود نیمی از نمونه های برداشت شده دارای یک نوع سنگ بالا دست است که این امر معروف آن است که به ظاهر یک همگنی لیتولوژیکی در منطقه ای که آبراهه ها چندان طویل نبوده، اند، وجود دارد. حدود یک چهارم نمونه ها دارای سنگی است یعنی در بالا دست نمونه دو سنگ مختلف رخمنون دارد و بالاخره بقیه نمونه ها دارای بیش از دو نوع سنگ بالا دست می باشند. شکل (۲-۳) هیستوگرام توزیع فراوانی نمونه های تک سنگی را با نمایش نوع سنگ بالادست آنها برای برگه ۱:۱۰۰،۰۰۰ عباس آباد نشان می دهد. چنانچه ملاحظه می گردد در بین جوامع تک سنگی واحد لیتولوژیکی VOLCLS (توف، گذازه و برش ولکانوکلاستیک) از سایر واحد ها گسترش بیشتری دارد و حدود یک ۳۹٪ از آنها را تشکیل می دهد. بعد از آن واحد لیتولوژیکی SLIM (شامل سنگ آهک و دولومیت ماسیو، مارن و ماسه های گچ دار) از سایر واحد ها گسترش بیشتری دارد و حدود ۲۶٪ از آنها را تشکیل می دهد. بعد از آن واحد لیتولوژیکی SS (شامل کنگلومرا، ماسه سنگ و شیل) از سایر واحد ها گسترش بیشتری دارد و حدود ۲۲٪ از آنها را تشکیل می دهد. کمترین گسترش را واحد METSCH (شامل شیست، میکاشیست، گروناشیست و ماسه سنگ دگرگون شده) دارا می باشد.

شکل (۳-۳) هیستوگرام توزیع فراوانی نمونه های وابسته به محیط های دو سنگی را (با نمایش نوع سنگ بالادست آنها) برای این برگه نشان می دهد. چنانچه ملاحظه می گردد جامعه دو سنگی VOLCLS-VOLSAT شامل بازالت، تراکی بازالت، آندزیت، آندزی بازالت، توف، رویلت، گذازه و سنگهای مگاپورفیری می باشد) بیشترین گسترش ۵۹٪ (جامعه دو سنگی) و بعد از آن جامعه دو سنگی VOLACD - VOLSAT (شامل ماسه سنگ، شیل، توف، سنگ آهک، گذازه تراکی آندزیت، سیلستون و برش می باشد) بیشترین گسترش را دارد. جوامع دو سنگی METFEL - MESCH (گنایس، شیست و ماسه سنگ دگرگون شده)، SLIM-SS (سنگ آهک، دولومیت، مارن، کنگلومرا، ماسه سنگ و شیل)، ULT-VOLCLS (هارزبورگیت، سرپاتیت، پیروکسینیت، توف، گذازه و برش ولکانوکلاستیک) و ULT - VOLSAT (هارزبورگیت، سرپاتیت، پیروکسینیت، بازالت، تراکی بازالت، آندزیت، آندزی بازالت، توف، رویلت، گذازه و سنگهای مگاپورفیری) کمترین گسترش را دارا می باشند.

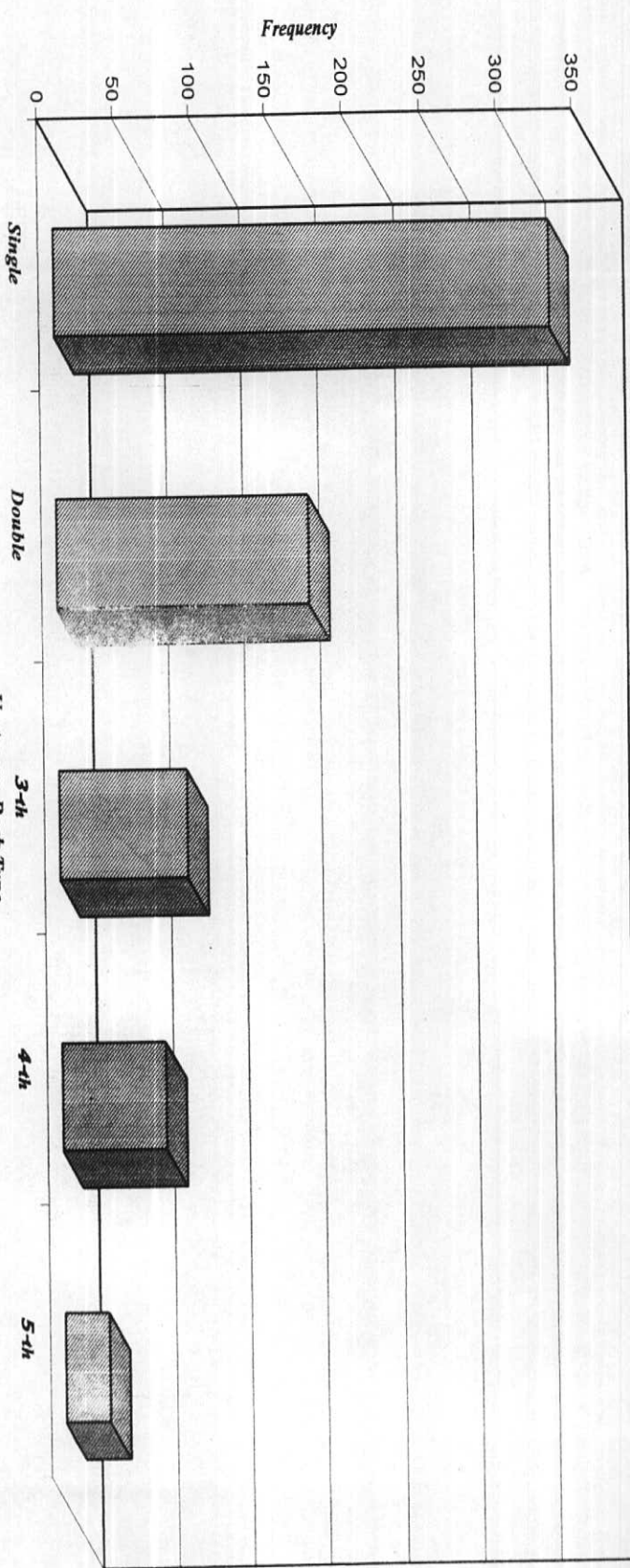


Fig. (3-1) : Histogram of Distribution of the Total Rock Types for the Stream Sediment Samples in Abas abad 1:100,000 sheet.

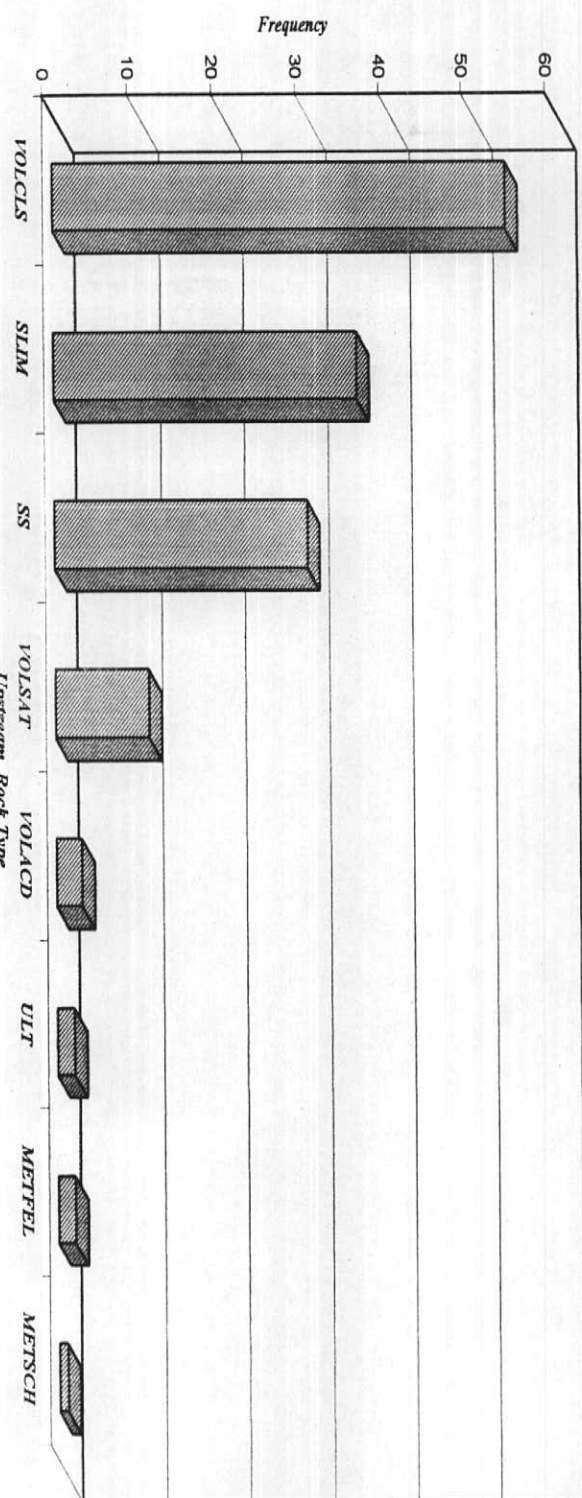


Fig.(3-2) :Histogram of Distribution of the Upstream Single Rock Type for the Stream Sediment Samples in Abas abad 1/100,000 Sheet.

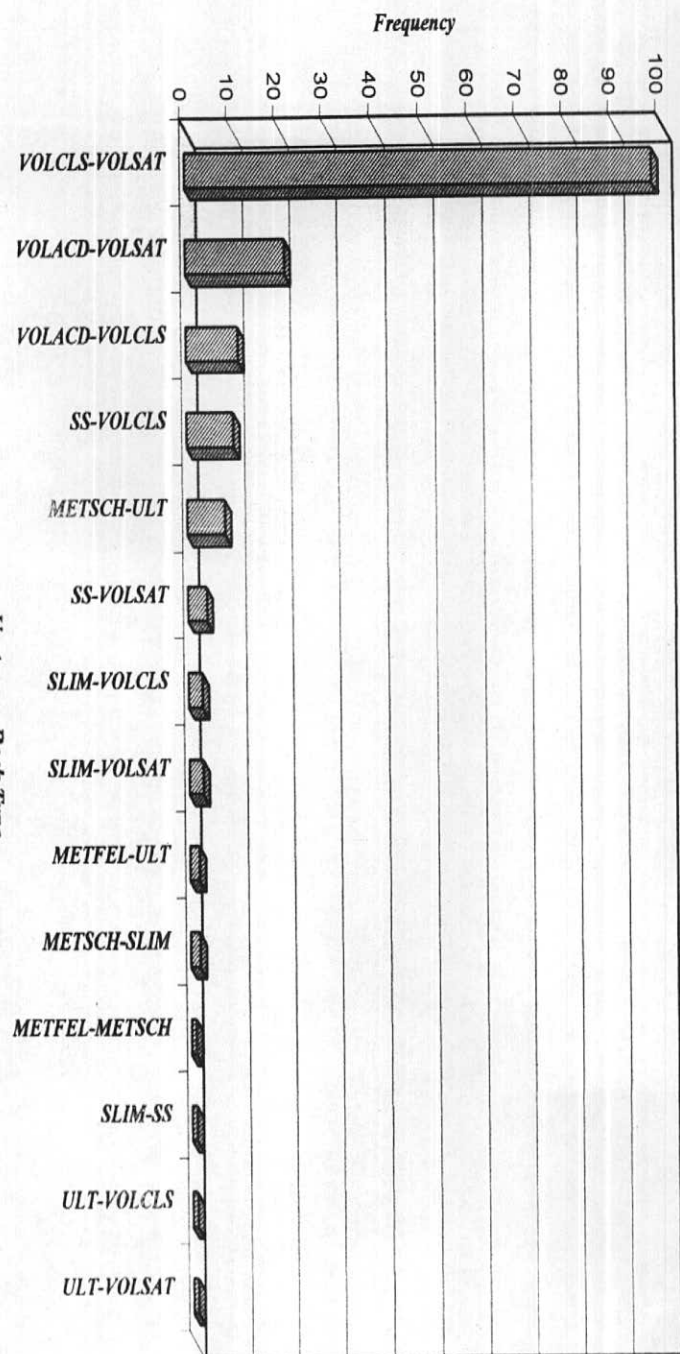


Fig.(3-3): Histogram of Distribution of the Upstream Double Rock Types for the Stream Sediment Samples in Abas abad 1/100,000 Sheet.

Samples in Abas abad 1/100,000 Sheet.

۲- نقش سنگ بستر در ارزیابی مقدار زمینه و حد آستانه‌ای

۱-۲- نقش سنگ بستر در ایجاد آنومالیهای کاذب

از آنجاکه مقدار اندازه‌گیری شده هر عنصر در سنگ و یا رسوب آبراهه را می‌توان به دو مؤلفه سنتزتیک (وابسته به زایش سنگ) و آپی ژنتیک (وابسته به کانی‌سازی احتمالی) تقسیم کرد، لذا بعضی از آنومالیهای زئوژنیکی در ارتباط با کانی‌سازی نبوده، بلکه تغییرات لیتوژوژی آنها را ایجاد می‌کند. عناصری که با سنگهای مانیک و اولترامانیک بیشتر همراه می‌باشند و مؤلفه‌های سنتزتیک بزرگتری دارند و از این رو ممکن است آنومالیهای دروغین ایجاد کنند، شامل Cr و Ni می‌باشد که به صورت محلول جامد در کانی‌های سازنده سنگ مانند اوپیلیون و ارتوبیروکسن جای می‌گیرند.

در مورد سنگهای رسوبی باید توجه داشت که در حوضه‌های آبریز دو نوع سنگ رسوبی ایجاد مشکل می‌کنند. یکی سنگهای آهکی و دولومیتی است که در آنها جزء کانی سنگین ممکن است از باریت، سلسیئن و آپاتیت غنی باشد در حالیکه سایر کانیهای سنگین آنقدر کم یافته می‌شوند که ممکن است: دور استفاده ای نداشته باشند. مورد دوم شیلها هستند که آنقدر مقدار زمینه تعداد زیادی از عناصر کائساری بالاست و در نتیجه پتانسیل زیادی برای تولید آنومالیهای دروغین دارند.

۲-۲- تغییرپذیری سنگ بستر بالادست

از آنجاکه طبق شرح خدمات می‌باشی سنگ بستر رخمنون دار واقع در بالادست نمونه‌های برداشت شده از رسوبات آبراهه‌ای در محدوده هر یک از گره‌های ۱:۱۰۰،۰۰۰ مورد بررسی قرار گیرد، به تفکیک نوع سنگها در مسیر آبراهه‌های بالادست در حوضه آبریز، مطابق آنچه که در نقشه زمین‌شناسی ۱:۱۰۰،۰۰۰ عباس آباد گزارش گردیده است، اقدام گردید. تفکیک نوع سنگ‌ها در مسیر آبراهه‌ها موجب می‌گردد تا نمونه‌های متعلق به هر جامعه از سنگ‌های بالادست در حد امکان ممکن و از نظر آماری امکان بررسی آنها تحت عنوان یک جامعه بوجود آید. البته یک امکان نیز وجود دارد که از طریق آنالیز فاکتوری بتوان اثرات نامطلوب سنگ بالادست را ختشی کرد ولی ترجیح داده می‌شود که جدایش جوامع سنگی و خشی سازی اثر سنگ بالادست که همان مؤلفه سنتزتیک تغییرپذیری است از طریق نقشه‌های زمین‌شناسی انجام گردد تا امکان کنترل آن با روش‌های فاکتوری فراهم گردد.

۲-۳-بررسی مقادیر کلارک سنگهای رخمنوندار در منطقه

(موضوع بند ۳-۵ شرح خدمات)

تیپ سنگهای موجود در منطقه تحت پوشش در دو مرحله مورد مشابه سازی قرار گرفته اند. در مرحله اول عمدتاً عامل زمانی مؤثر نمی باشد. بدین معنی که اگر سنگ بالا دست رخمنون دار در آبراهه از جنس آهک است، این که آهک متعلق به پالئزوئیک و یا کرتاسه باشد، اثربخشی در طبقه بندي نداشته و هر دو بعنوان یک جامعه سنگ بالا دست مورد بررسی قرار می گیرند. علت آنکه گاهی نمی توان تفکیکهای زمانی روی سنگهای مشابه انجام داد آن است که در نهایت تعداد جوامع سنگی بالا دست آنقدر افزایش خواهد یافت که در هر جامعه فقط چند نمونه ممکن است یافت شود که تحلیل آماری روی آنها خطای بیشتری تولید خواهد کرد و این امر موجب کاهش شدید دقت تخمينهای بعدی خواهد شد.

مرحله دوم شامل نسبت دادن هر یک از کلاسهاي فوق به رده معين از سنگهاي آذرين، دگرگونی و یا رسوبی است که حتی الامكان داده های جهانی آنها مورد مطالعه قرار گرفته و در دسترس می باشد. جدول (۳-۴) تابع این کار را نشان می دهد.

جدول (۳-۳) مقدار فراوانی عناصر مورد بررسی را در تیپ سنگ، رسوبی و ذره چهار تیپ سنگ آذرين باگترش نسبتاً زياد در منطقه نشان می دهد. تاون آخر این جدول برای هر عنصر معين نسبت مقدار حداکثر به حداقل مقادير کلارک را نشان می دهد. از اين نقطه نظر، اکثر عناصر نسبت به سنگ بستر رخمنون دار در حوضه آبريز، حساسیت نشان می دهد. بيشترین حساسیت از آن باریوم با ضربه ۲۱۰۰ (ماکریم مقدار آن در سنگهاي فلزیک و حداقل آن در سنگهاي اولترامافیک است) و سپس کبات (۱۵۰۰)، نیکل (۱۰۰۰)، کروم (۱۶۰)، مس (۸۷)، بر (۳۳/۳)، آتیومان (۳۰)، تنگستن (۲۲) و سرب (۲۰) می باشد. حداقل تغییرپذیری را عنصر جیوه (با ضربه ۱/۶۶) نشان می دهد. این ارقام نشان می دهد که مقدار يك عنصر در حوضه آبريز، تا آنجایی که به لیتولوژی حوضه آبريز مربوط می شود، بشدت تغییرپذیر بوده و بدون نرمالایز کردن مقدار عنصر نسبت به جنس سنگهاي بالا دست در حوضه آبريز، امکان دستیابي به يك جامعه همگن که بتوان براساس آن مقادير زمینه، حد آستانه ای و آنومالي را در آنها مشخص نمود، غير ممکن می باشد.

جدول (۲-۳): خلاصه شده سنگهای رخنمون دار در حوضه‌های آبریز در محدوده برگه ۱:۱۰۰،۰۰۰
عباس‌آباد

نوع سنگ	سکانس
سنگ آهک	سنگهای رسوبی
کنگلومرا	
ماسه سنگ، ماسه سنگ گچ دار	
شل	
مارن	
سپلشون	
فلسبک؛ زیولیت	سنگهای آذرین
حد واسطه؛ آندزیت، آندزیت مگاگپر فیری	
حد واسطه - ماقیک؛ تراکی بازالت، آندزیت بازالت	
ماقیک؛ بازالت	
اولتراماقیک؛ هارزبورگیت، سرباتبیت، پروکسبیت	سنگهای دگرگونی
گابس (گرانیت، آکالی فلدسپات، گرانودورینی، آلبینی، گرانوفریک)	
شیست (میکاشیست، گروناشیست)	
ماسه سنگ دگرگون شده	
دربویت، سنگ آهک مرمر شده	سنگهای آذآواری
توف بازالتی - توف روپلینی، توف تراکی بازالتی، برش ولکانوکلاسیبک	
توف ماسه ای	
توف آهکی	ولکانیک رسوبی

جدول (۳-۳): مقدیر کلرک و نسبت Max/Min مقدیار کلرک در سنگهای رخمنو دار پرگه ۱:۱۰۰۰۰ عباس آباد

variable	sedimentary Rocks			Igneous Rocks				Max/Min
	limstone and Dolomite	shale (schist)	Sandstone	Acidic	Intermediate	Basic	Ultrabasic	
Ag (ppm)	0.0n	0.07	0.0n	0.04	0.07	0.11	0.06	2.75
As (ppm)	1	13	1	1.5	2	2	1	13
Au (ppb)	-	-	-	0.8	2.8	3.6	6	7.5
B (ppm)	20	100	35	15	9	5	3	33.33
Ba (ppm)	10	580	-	840	380	330	0.4	2100
Be (ppm)	0.n	3	0.n	3.5	1.8	0.4	0.2	17.5
Bi (ppm)	-	-	-	0.01	0.008	0.007	0.001	10
Co (ppm)	0.1	19	0.3	1	9	48	150	1500
Cr (ppm)	11	90	35	10	55	170	1600	160
Cu (ppm)	4	45	1	10	40	87	10	87
Hg (ppb)	45	66	74	67	75	65	64	1.67
Mn (ppm)	400	800	400	400	1200	1200	1000	3
Mo (ppm)	0.4	2.6	0.2	1.3	1.1	1.5	0.3	13
Ni (ppm)	2	68	2	4.5	50	130	2000	1000
Pb (ppm)	9	20	7	19	12	6	1	20
Sb (ppm)	20	150	n	20	20	20	10	30
Sn (ppm)	0.n	6	0.n	3	1.6	1.5	0.5	12
Ti (ppm)	1200	3800	3000	1700	6000	8000	3500	6.67
W (ppm)	0.6	1.8	1.6	2.2	1.2	0.7	0.1	22
Zn (ppm)	20	95	16	39	75	105	50	6.56

فصل چهارم

پردازش داده‌ها

(موضوع بند ۶ شرح خدمات)

۱- مقدمه

نحوه پردازش داده‌ها در این پژوهه به ترتیب زیر یوده است: ابتدا داده‌های حاصل از آنالیز شیمیائی رسوبات آبراهه‌ای در یک بانک اطلاعاتی وارد گردید. (این داده‌ها پس از اخذ، از طریق تایپ کامپیوتری و قرانت دولی و کنترل خطاهای مربوطه در بانک اطلاعاتی وارد گردید). علاوه بر داده‌های ژئوشیمیایی، شماره نمونه، اطلاعات لیتوارژی (بر مبنای Zn^{+2}) $1:100,000$ زمین شناسی عباس آباد مربوط به سنتگهای بالادستی (نمودار ۲) نیز در این بانک ذخیره شده است. داده‌های خام مذکور در جدول ۱ ضمیمه (بر روی CD آورده شده) است.

بعد از این مرحله برای بخشی از داده‌ها، که به صورت سنسورد گزارش شده بود مقادیر جاوشینی محاسبه و جایگزین مقادیر سنسورد گردید (جدول ۲-۴). در مرحله بعدی برای هر کدام از جوامع سنگی تعیین شده بر اساس نقشه زمین شناسی $1:100,000$ عباس آباد که دارای بیش از ۷ نمونه بوده‌اند، و نیز جوامعی که از طریق آنالیز کلستر تفکیک شده‌اند ضرایب غنی شدگی محاسبه گردید و در نهایت جامعه کلی ضرایب غنی شدگی از اختلاط جوامع مذکور تشکیل شد و این جامعه کلی برای انجام عملیات آماری و رسم نقشه‌ها مورد استفاده قرار گرفت.

۲- پردازش داده‌های سنسورد (موضوع بند ۶ شرح خدمات)

داده‌های ژئوشیمیایی معمولاً دارای مقادیر سنسورد هستند. یک مقدار سنسورد، داده‌ای است که بصورت کوچکتر و یا بزرگتر از یک مقدار معین گزارش می‌شود. برای داده‌های ژئوشیمیایی، مقدار سنسورد بطور تیپیک در حد قابل ثبت آنالیزهای شیمیایی قرار

دارد. داده‌های سنسورد زمانی ایجاد می‌شوند که یا تکنیکهای آنالیز شیمیایی برای ثبت مقادیر کوچک یک عنصر باندازه کافی حساس نیستند و یا تکنیک‌ها بسیار حساس بوده و قابلیت ثبت تمرکزهای بالای عناصر را در نمونه‌ها ندارد. داده‌های سنسورد در کار آنالیزهای آماری اختلال ایجاد می‌نمایند، چرا که اغلب تکنیکهای آماری مهم نیازمند یک مجموعه کامل از داده‌های غیر سنسورد می‌باشند. در مورد تخمین مقادیر سنسورد روش‌های مختلفی بکار می‌رود. از جمله این روش‌ها قراردادن $\frac{3}{4}$ حد قابل ثبت برای "مقادیر کوچک‌تر از حد قابل ثبت" و $\frac{4}{3}$ حد بالاتر برای "مقادیر بزرگ‌تر از حد قابل ثبت" می‌باشد. در بعضی موارد بجای این مقادیر عدد صفر قرار می‌دهند. مسئله‌ای که تصمیم‌گیرنده با آن مواجه است آن است که چه درصدی از جانشینی‌ها، بدون ایجاد خطاهای معنی دار، قابل توجیه است؟ در اینجا یک روش علمی برای تعیین مقدار جانشینی را نشان می‌دهیم. فرض بر این است که مقدار جانشینی باید برابر باشد با میانگین مقادیر واقعی داده‌های که به صورت سنسورد گزارش شده است. در این پژوهه روش بیشترین درستنمایی جهت تخمین این میانگین استفاده شده است.

گرایش داده‌های رئوشهیمیایی به پیروی از توزیع لاغ نرمال امری شناخته شده است. دو حقیقت این روش شامل تخمین میانگین جامعه لاغ نرمال با استفاده از روش بیشترین درستنمایی است. سپس این میانگین تخمینی، برای محاسبه یک مقدار جانشینی تخمینی برای مقادیر سنسورد بکار می‌رود. برای روشن شدن بحث، ما چند عبارت و علائم مربوطه را بکار می‌بریم. در اینجا غلظت بوسیله X و حد قابل ثبت یا نقطه سنسورد بوسیله X_d نمایش داده می‌شود. مقدار جانشینی R_x عددی است که باید جانشین هر مقدار سنسورد گردد. فاکتور جانشینی R_x نسبت مقدار جانشینی به حد قابل ثبت برای یک عنصر مشخص است:

$$R_x \equiv \frac{X_r}{X_d} \quad (1)$$

بعنوان مثال $\frac{3}{4}$ یک فاکتور جانشینی و $\frac{4}{3}$ حد قابل ثبت، مقدار جانشینی مربوطه است. پس از تعیین اینکه لگاریتم غلظتها توزیع نرمالتری نسبت به داده‌های اولیه دارند، داده‌ها را برای عناصر انتخاب شده به \log_{10} تبدیل می‌کنیم. تبدیلات بین داده‌های لگاریتمی (Y) و داده‌های اولیه (X) بصورت زیر است:

$$X = \log_{10} Y, X = 10^Y \quad (2)$$

$$X_r = \log_{10} Y_r, X_r = 10^{Y_r} \quad (3)$$

$$X_d = \log_{10} Y_d, X_d = 10^{Y_d} \quad (4)$$

گرفتن لگاریتم از طرفین معادله (۱) فاکتور جانشینی تبدیل شده y را بدست می‌دهد:

$$r_y \equiv \log_{10} x_r - \log_{10} x_d = y_r - y_d, r_x = 10^{Y_y} \quad (5)$$

تبدیلات مختلف دیگری نیز می‌تواند به جای \log_{10} بکار رود ولی در اینجا بعلت سهولت در محاسبه و مزیت آن نسبت به روش‌های جانشینی ساده قراردادی از آن استفاده شده است. از روش بیشترین درستنمایی کوهن (Cohen) جهت تخمین میانگین واقعی مجموعه داده‌ها استفاده کرده و سپس از نتیجه آن برای تخمین میانگین واقعی داده‌های سنسورد استفاده می‌شود. با استفاده از این روش میانگین کل مجموعه داده‌ها (μ) و میانگین داده‌های غیرسنسورد (μ_u) تخمین زده می‌شود. حاصلضرب میانگین کل مجموعه داده‌ها (μ) در کل تعداد نمونه‌ها (n)، برابر است با حاصلضرب میانگین داده‌های سنسورد (μ_q ، که نامشخص است)، در تعداد نمونه‌های سنسورد (n_q)، بعلاوه حاصلضرب میانگین داده‌های غیرسنسورد (μ_u ، که مشخص است)، در تعداد نمونه‌های غیرسنسورد (n_u) یعنی:

$$n\mu = n_q \mu_q + n_u \mu_u \quad (6)$$

از حل معادله فوق مقدار μ که تخمینی برای میانگین داده‌های سنسورد می‌باشد، بصورت زیر بدست می‌آید:

$$\mu_q = \frac{n\mu - n_u \mu_u}{n_q} \quad (7)$$

فرض اولیه ما این بوده است که میانگین تخمینی داده‌های سنسورد بهترین مقدار جانشینی می‌باشد یعنی:

$$y_r = \mu_q \quad (8)$$

با استفاده از معادله (۳) و جایگزینی مقادیر با واحد اصلی آنها خواهیم داشت:

$$X_r = 10^{\mu_q} \quad (9)$$

تنهای مجهول در معادله (۷) مقدار μ است که با استفاده از روش بیشترین درستنمایی کوهن بدست می‌آید. در این محاسبات N تعداد کل داده‌ها، n_u تعداد داده‌های غیرسنسورد و n_q حد قابل ثبت و یا مقدار سنسورد می‌باشد. مقدار میانگین کل و واریانس کل از روابط زیر

محاسبه می‌شود:

$$\mu = x \cdot \lambda(x-x_0) \quad (10)$$

$$\sigma^2 = S^2 + \lambda(x-x_0)^2 \quad (11)$$

در معادلات بالا S^2 به ترتیب میانگین و پراش داده‌های غیر سنسورد هستند و λ

تابع تخمینی کمکی است که از جدول مربوطه (جدول ۴-۱) با در دست داشتن γ و h بدست

می‌آید. مقادیر γ و h از روابط زیر بدست می‌آیند:

$$\gamma = S^2 / (x-x_0)^2 \quad (12)$$

$$h = (N-n)/N \quad (13)$$

با جایگزینی این مقدار در معادله (۱۰) مقدار میانگین کل (μ) و سپس با استفاده از

رابطه (۷) مقدار μ و سپس مقدار جانشینی بدست می‌آید.

در این پژوهه عملیات فوق بر روی عناصر Hg , Be , Sb , Mo , Sn , W و Be که بخشی از

داده‌های آنها بصورت سنسورد (۵)، Mn (۵)، Sn (۲)، W (۵)، Hg (۵) و Be (۵)

گزارش شده بود، انجام گردید و مقدار جانشینی برای آنها بدست آمد. مقادیر

بدست آمده و مقدار جانشینی برای هر یک از این عناصر به شرح جدول (۴-۲) می‌باشد. در

این جدول X_0 مقدار سنسورد (حد قابل ثبت)، n تعداد داده‌های سنسورد، n_t تعداد کل

نمونه‌ها، m_{μ} میانگین بخش غیر سنسورد جامعه، $\log S$ انحراف معيار داده‌های لگاریتمی، λ و

h مقادیر لازم برای بدست آوردن λ که طبق فرمول محاسبه می‌گردد، λ تابع تخمینی کمکی،

میانگین کل، m_t میانگین بخش سنسورد و x مقدار جانشینی می‌باشد.

مقدار جانشینی X در جدول (۴) یک مقدار عددی است که پس از تبدیل بدست

آمده است. تابع نشان داده اندک مجموعه ای که دارای ۴۰٪ جانشینی است، تابع صحیحی

با ۹۰٪ حدود اطمینان و مجموعه با ۸۰٪ جانشینی، تابعی با حدود اطمینان ۶۰٪ بدست

می‌دهند.

۳- پردازش داده‌های جوامع تک سنگی (موضوع بند ۲-۶ شرح خدمات)

در محدوده برگه ۱:۱۰۰،۰۰۰ عباس آباد از مجموع ۶۷۱ نمونه رسوب ابراهه‌ای

تعداد ۱۳۹ نمونه را آنها را تشکیل می‌دهد که در بالادست آنها فقط یک نوع سنگ بستر (در ۸

تیپ سنگ مختلف) رخمنون دارد، در بین این تیپ سنگهای بالادست، سنگهای تیپ

جدول ۱-۳- مقادیر تابع کمکی $\lambda(h, \gamma)$ بر حسب متغیرهای h و γ (نقل از کوهن ۱۹۶۱)

γ	0.01	0.02	0.03	0.04	0.05	0.06	0.07	0.08	0.09	0.10	0.15	0.20	h
0.00	0.010100	0.020400	0.030500	0.041583	0.052507	0.063627	0.074593	0.086488	0.09824	0.11020	0.17342	0.24268	0.00
0.05	0.010551	0.021294	0.032225	0.043350	0.054670	0.066189	0.077909	0.089834	0.10197	0.11431	0.17935	0.25033	0.05
0.10	0.010950	0.022082	0.033398	0.044902	0.056596	0.068483	0.080568	0.092852	0.10534	0.11804	0.18479	0.25741	0.10
0.15	0.011310	0.022798	0.034166	0.046315	0.059356	0.070288	0.083009	0.095529	0.10845	0.12143	0.18925	0.26105	0.15
0.20	0.011642	0.023459	0.035453	0.047629	0.059990	0.072539	0.085280	0.098216	0.11135	0.12469	0.19460	0.27031	0.20
0.25	0.011952	0.024076	0.036377	0.048858	0.061522	0.074372	0.087413	0.10045	0.11408	0.12772	0.19910	0.27626	0.25
0.30	0.012243	0.024658	0.037249	0.050018	0.062969	0.076106	0.089433	0.10295	0.11667	0.13059	0.20338	0.29193	0.30
0.35	0.012520	0.025211	0.038077	0.051120	0.064345	0.077755	0.091355	0.10515	0.11914	0.13333	0.20747	0.29737	0.35
0.40	0.012784	0.025738	0.038866	0.052173	0.065660	0.079332	0.093193	0.10725	0.12150	0.13595	0.21139	0.29260	0.40
0.45	0.013036	0.026243	0.039624	0.053182	0.066921	0.080845	0.094958	0.10926	0.12377	0.13847	0.21517	0.29765	0.45
0.50	0.013279	0.026728	0.040352	0.054153	0.068135	0.082301	0.096657	0.11121	0.12595	0.14090	0.21882	0.30253	0.50
0.55	0.013513	0.027196	0.041054	0.055089	0.069306	0.083708	0.098298	0.11308	0.12906	0.14725	0.22225	0.30725	0.55
0.60	0.013739	0.027649	0.041733	0.055995	0.070439	0.085068	0.099887	0.11490	0.13011	0.14552	0.22578	0.31184	0.60
0.65	0.013958	0.028087	0.042391	0.056874	0.071538	0.086388	0.10143	0.11666	0.13209	0.14773	0.22910	0.31630	0.65
0.70	0.014171	0.028513	0.043030	0.057726	0.072605	0.087670	0.10292	0.11837	0.13402	0.14987	0.23234	0.32065	0.70
0.75	0.014378	0.028927	0.043652	0.058256	0.072643	0.088917	0.10428	0.12094	0.13590	0.15196	0.23550	0.32459	0.75
0.80	0.014579	0.029330	0.044258	0.059364	0.074655	0.090133	0.10580	0.12167	0.13773	0.15400	0.23858	0.32603	0.80
0.85	0.014775	0.029723	0.044848	0.060153	0.075642	0.091319	0.10719	0.12325	0.13952	0.15599	0.24158	0.33307	0.85
0.90	0.014967	0.030107	0.045425	0.060923	0.076606	0.092477	0.10854	0.12480	0.14126	0.15793	0.24452	0.33703	0.90
0.95	0.015154	0.030483	0.045929	0.061676	0.077519	0.093611	0.10987	0.12432	0.14297	0.15923	0.24740	0.34291	0.95
1.00	0.015338	0.030850	0.046540	0.062413	0.078471	0.094720	0.11116	0.12780	0.14465	0.16170	0.25022	0.34471	1.00
γ	0.01	0.02	0.03	0.04	0.05	0.06	0.07	0.08	0.09	0.10	0.15	0.20	h

γ	0.25	0.30	0.35	0.40	0.45	0.50	0.55	0.60	0.65	0.70	0.80	0.90	h
0.00	0.31562	0.4021	0.4911	0.5961	0.7096	0.8363	0.9203	1.145	1.336	1.561	2.176	2.292	0.00
0.05	0.32793	0.4130	0.5066	0.6101	0.7252	0.8540	0.9994	1.166	1.358	1.583	2.203	3.314	0.05
0.10	0.33662	0.4233	0.5184	0.6234	0.7400	0.8703	1.017	1.185	1.379	1.648	2.229	3.345	0.10
0.15	0.34480	0.4330	0.5296	0.6361	0.7542	0.8860	1.035	1.204	1.400	1.630	2.255	3.376	0.15
0.20	0.35255	0.4422	0.5403	0.6423	0.7678	0.9012	1.051	1.222	1.419	1.651	2.280	3.405	0.20
0.25	0.35993	0.4510	0.5506	0.6600	0.7810	0.9158	1.067	1.240	1.439	1.672	2.305	3.435	0.25
0.30	0.36700	0.4595	0.5604	0.6713	0.7937	0.9300	1.083	1.257	1.457	1.693	2.329	3.464	0.30
0.35	0.37379	0.4676	0.5699	0.6821	0.8060	0.9437	1.098	1.274	1.476	1.713	2.353	3.492	0.35
0.40	0.38033	0.4755	0.5791	0.6927	0.8179	0.9570	1.113	1.290	1.494	1.732	2.376	3.520	0.40
0.45	0.38665	0.4831	0.5880	0.7029	0.8295	0.9700	1.127	1.306	1.511	1.751	2.399	3.547	0.45
0.50	0.39276	0.4904	0.5967	0.7129	0.8408	0.9826	1.141	1.321	1.528	1.770	2.421	3.575	0.50
0.55	0.39870	0.4976	0.6051	0.7225	0.8517	0.9950	1.155	1.337	1.543	1.788	2.443	3.601	0.55
0.60	0.40417	0.5015	0.6133	0.7320	0.8625	1.0070	1.169	1.351	1.551	1.806	2.465	3.628	0.60
0.65	0.41008	0.5114	0.6213	0.7412	0.8729	1.0190	1.182	1.366	1.577	1.824	2.486	3.654	0.65
0.70	0.41555	0.5180	0.6291	0.7502	0.8832	1.0300	1.195	1.380	1.593	1.841	2.507	3.679	0.70
0.75	0.42090	0.5245	0.6367	0.7590	0.8932	1.0420	1.207	1.394	1.608	1.858	2.528	3.705	0.75
0.80	0.42512	0.5303	0.6441	0.7676	0.9031	1.0530	1.220	1.408	1.624	1.875	2.549	3.730	0.80
0.85	0.43122	0.5370	0.6515	0.7761	0.9127	1.0640	1.232	1.422	1.639	1.892	2.568	3.754	0.85
0.90	0.43622	0.5430	0.6586	0.7844	0.9222	1.0740	1.244	1.435	1.653	1.908	2.588	3.779	0.90
0.95	0.44112	0.5490	0.6656	0.7925	0.9314	1.0850	1.255	1.448	1.668	1.924	2.607	3.803	0.95
1.00	0.44592	0.5548	0.6724	0.9005	0.9406	1.0950	1.267	1.461	1.692	1.940	2.626	3.827	1.00
γ	0.25	0.30	0.35	0.40	0.45	0.50	0.55	0.60	0.65	0.70	0.80	0.90	h

جدول (۲-۴) : مقادیر استاندارد تخلیق زده شده به وسیله روش پیشترین درستنمای کوئن برای عناصر (Mo, Sn, W, Hg, Be, Sb) در درجه ۱۰۰...۱۱۰ سلسیوس

<i>varname</i>	<i>Mo</i>	<i>Sn</i>	<i>W</i>	<i>Hg</i>	<i>Be</i>	<i>Sb</i>
<i>x0</i>	0.5	2	0.5	0.05	1	0.5
<i>nc</i>	171	359	626	641	351	506
<i>nu</i>	500	312	45	30	320	163
<i>nt</i>	671	671	671	671	671	669
<i>mu</i>	-0.097	0.383	-0.217	-0.895	0.11	0.104
<i>slog</i>	0.018	0.003	0.002	0.182	0.004	0.236
<i>h</i>	0.2548	0.535	0.9329	0.9553	0.5231	0.7564
<i>gama</i>	0.4248	0.3821	0.3372	1.1013	0.3203	1.4426
<i>landa</i>	0.3926	1.0587	4.1166	-0.58	1.0044	2.2774
<i>mt</i>	-0.177	0.2962	-0.564	-0.659	-5E-04	-0.818
<i>mc</i>	-0.411	0.2213	-0.589	-0.648	-0.101	-1.115
<i>xr</i>	0.388	1.664	0.258	0.225	0.792	0.077

VOLCLS (توف بازالتی و تراکی بازالتی، برش ولکانوکلاستیک) از نظر فراوانی مقام اول را دارا می باشد و بعد از آن به ترتیب از فراوانی زیاد به کم شامل سنگهای تیپ *SLIM* (سنگ آهک و دولومیت ماسیو، مارن و ماسه های گچ دار)، سنگهای تیپ *SS* (کنگلومرا، ماسه سنگ، شیل)، سنگهای تیپ *VOLSAT* (بازالت، تراکی بازالت، آندزیت، آندزیت بازالت، توف، رویلت، گذازه و سنگهای مگاپرفیری)، سنگهای تیپ *VOLACD* (ماسه سنگ، سیلتستون، شیل، توف رویلتی و آهکی و ماسه ای، سنگ آهک، گذازه؛ تراکی آندزیتی، برش)، *ULT* (هارزبورژیت، سرباتینیت، پیروکسینت)، سنگهای تیپ *METFEL* (گنایس (گرانیتی، آلکالی فلدسپات، گرانودیوریتی، آپلتی، گرانوفیریک))، سنگهای تیپ *METSCH* (شیست (مکاشیست و گروناشیست)، ماسه سنگ دگرگون شده) می باشد. برای هر یک از جوامع فوق که تعداد نمونه های موجود در آنها بیشتر از ۷ مورد است (شکل ۲-۳)، پارامترهای آماری محاسبه گردیده تا بتوان از طریق تقسیم مقادیر هر عنصر خاص در آن جامعه به مقدار میانه آن، ضریب غنی شدگی عنصر مربوطه را محاسبه نمود (جدول ۴-۳).

۴-پردازش داده های جوامع دوسنگی (موضوع بند ۲-۶ شرح خدمات) در محدوده برگه عباس آباد تعداد ۱۶۶ نمونه (شامل ۱۴ تیپ مجموعه دوسنگی) در حوضه آبریز رخمنون داشته است. در بین این تیپ سنگهای بالادست، فراوانی جامعه سنگهای تیپ *VOLCLS-VOLSAT* بیشتر از گروه های دیگر است. جوامع دیگر به ترتیب فراوانی نزولی آنها عبارتند از:

VOLACD-VOLSAT ، *VOLACD-VOLCLS* ، *SS-VOLCLS* ، *METSCH-ULT* ،
SS-VOLSAT ، *SLIM-VOLCLS* ، *SLIM-VOLSAT* ، *METFEL-ULT* ،
METSCH-SLIM ، *METFEL-METSCH* ، *SLIM-SS* ، *ULT-VOLCLS* ،
ULT-VOLSAT

۵-پردازش داده های جوامع سه سنگی و بیش از سه سنگی (موضوع بند ۳-۶ شرح خدمات)

در محدوده برگه عباس آباد تعداد ۸۴ نمونه برداشت گردیده است که در بالادست آنها سه نوع سنگ بستر (در ۱۵ تیپ مجموعه سه سنگی) در حوضه آبریز بالادست رخمنون داشته است.

جدول (۴-۳) : ماتریس مقادیر میدانه فراوانی عناصر به عنوان تابعی از جوامع سنگ پالست در برج ۱۱۱ علیاً (کلیه مقادیر بر حسب ppm است) .

Variable	Au	B	Cu	Pb	Zn	Ag	Sn	W	Mo	Hg	Co	Ni	Be	Mn	Ti	Ba	Cr	As	Co	Bi
USR																				
Q	0.00094	20	42	13	90	0.098	2	0.5	0.74	0.05	21	60	1	550	4450	430	230	6.7	0.5	0.2
VOLCLS	0.00105	15	61.5	12.25	87.5	0.092	2	0.5	0.57	0.05	24.5	59	1.1	680	5100	350	250	4.88	0.5	0.2
SLIM	0.0011	14.5	62	12	88	0.0915	2	0.5	0.52	0.05	24.5	58.5	1	680	5100	340	295	5.37	0.5	0.2
SS	0.00078	18.5	40	15	90	0.088	2	0.5	0.545	0.05	20.25	58	1.3	615	4600	432.5	275	6.65	0.5	0.2
VOLSAT	0.0011	16	54	13	92	0.1	2.3	0.5	0.83	0.05	22	52	1	570	4400	310	330	5.98	0.51	0.22
VOLCLS-VOLSAT	0.00097	21	46	12.5	78	0.086	2	0.5	0.82	0.05	20	66	1	610	4750	460	345	6.61	0.5	0.21
VOLACD-VOLSAT	0.00076	15	48	12	82	0.086	2	0.5	0.56	0.05	23	57	1	590	4900	370	255	4.93	0.5	0.2
VOLACD-VOLCLS	0.0012	17	57.5	14	93	0.1	2.1	0.5	0.86	0.05	23	59	1	680	4400	330	210	6.18	0.63	0.23
SS-VOLCLS	0.00092	17	64	12	94	0.086	2.1	0.5	0.56	0.05	22.5	62	1	700	6000	370	360	4.81	0.5	0.2
METSCH-ULT	0.0004	18	36	15	88	0.08	2	0.5	0.76	0.05	21	55	1.05	550	5600	440	185	5.94	0.5	0.2
VOLACD-VOLCLS-VOLSAT	0.0016	26	52.5	14.5	89	0.088	2.4	0.5	1.4	0.05	17.75	69.5	1	4650	670	300	230	6.875	5.205	0.16
METFEL-METSCH-ULT	0.00054	18	42	11	78	0.08	2	0.5	0.64	0.05	20	59	1	560	4900	380	290	5.65	0.5	0.2
SLIM-VOLCLS-VOLSAT	0.0016	18	56	16	82	0.094	2.1	0.5	0.9	0.05	20.5	81	1	640	4200	270	225	7.08	0.54	0.2
SS-ULT-VOLCLS	0.00092	18	68.25	13	87	0.096	2	0.5	0.615	0.05	24.5	67.5	1.25	560	4950	320	215	4.98	0.5	0.225
SS-VOLACD-VOLCLS-VOLSAT	0.0015	17.5	52	12.5	95	0.105	2.65	0.5	0.8	0.05	20.5	67	1	645	3750	325	460	5.64	0.5	0.2
SLIM-SS-VOLACD-VOLSAT	0.00062	24	40	15	98	0.0795	2.25	0.5	0.8	0.05	20.5	77.5	1.15	520	4350	405	160	7.735	0.5	0.235
SLIM-SS-VOLACD-VOLCLS-VOLSAT	0.001	15	51	10	90	0.1	2.05	0.5	0.05	22.5	95	1	630	3800	320	700	5.2	0.5	0.17	

در بین این تیپ سنگ‌های بالادست، در جوامع METFEL-METSCH-ULT، SS-ULT-VOLCLS، SLIM-VOLCLS-VOLSAT، VOLACD-VOLCLS-VOLSAT تعداد نمونه‌ها به بیش از ۷ مورد می‌رسد، که در این جوامع مقدار میانه (جدول ۳-۴) تعیین شده و با توجه به آن، شاخص غنی شدگی محاسبه گردیده است. بقیه جوامع سه سنگی که تعداد نمونه‌ها در آنها به حد نصاب (۷ نمونه) جهت محاسبات آماری نرسیده است، به جامعه‌ای که بایستی مورد آنالیز کلاستر [۵] قرار گیرد، وارد شده‌اند.

۶- به کارگیری آنالیز کلاستر بر اساس منطق فازی به منظور رده‌بندی نمونه‌های با بیش از دو یا سه سنگ (موضوع بند ۶-۴ شرح خدمات)

در مواردی که تعداد نمونه‌ها در جامعه آماری سنگ‌های بالادست، کمتر از ۷ نمونه بود، آن جامعه به علت کمی تعداد اchant نمی‌توانست مورد محاسبه آماری قرار گیرد. در این حالت چنین بیوامعی ابتدا متحمل می‌شود: تابع صورت یک جامعه مرکب (را آید و سپس این جامعه از طریق آنالیز کلاستر به تعداد محدودی جوامع همگن تر که در هر یک، از آن‌ها نمونه کافی برای تحلیل آماری وجود داشته باشد تقسیم می‌شود. آنگاه از طریق محاسبات مشابه، ضرایب غنی شدگی هر یک از آنها محاسبه شده است. این موضوع در مورد جوامع با یک نوع سنگ بالادست، و نیز جوامع با بیش از یک نوع سنگ بالادست اعمال گردید.

در مجموع ۷۰ نمونه از طریق آنالیز کلاستر گروه‌بندی شده‌اند. این نمونه‌ها در دو گروه ۲۷ و ۲۳ تابع قرار گرفتند، که برای هر گروه میانه مربوط به هر عنصر تعیین و ضرایب غنی شدگی نسبت به آنها محاسبه گردیده است.

فصل پنجم

تخمین مقدار زمینه

۱- تحلیل ناهمگنی‌ها (موضوع بند ۱-۷ شرح خدمات)

مانظور که قبل از آنکه شد، یکی از عوامل مهم در ایجاد ناهمگنی آماری در جوامع ژئوشیمیایی نمونه‌های برداشت شده از رسوبات آبراهه‌ای، تنوع و تغییرات لیتلولژی در سنگهای بالادست است. برای از بین بردن این عامل ناهمگن ساز و دستیابی به جوامع همگنی که بتوان از طریق آنها به مقدار زمینه واقعی تری دست یافت، به جداسازی نمونه‌ها بر اساس سنگ بستر رخمنون دار در محدوده حوضه آبریز بالادست هر نمونه اقدام گردید. این پیش‌نیاز حاصل از هر جامعه با برگردانیدگر مقایسه شده و تشابهات و یا تضادهای ژئوشیمیایی مربوط به هر یک بدست آمد. داده‌های جدول نشان می‌دهد که سنگهای بالادست شامل ۴ گروه تک سنگی، ۵ گروه دو سنگی و ۴ گروه سه سنگی، ۳ گروه بیش از سه سنگی است که در هر یک بیش از ۷ نمونه وجود داشته است و از این‌رو امکان محاسبه پارامترهای آماری تا حدی وجود داشته است. گروههایی که تعداد نمونه‌های آنها کمتر از ۷ نمونه بوده است از طریق آنالیز کلاستر به سه جامعه با تعداد کافی نمونه در هر یک از آنها تقسیم شده‌اند.

۲- سیمای ژئوشیمیایی جوامع مختلف براساس سنگ بستر بالادست (موضوع بند ۲-۷ شرح خدمات)

برای تعیین سیمای ژئوشیمیایی جوامع مختلف نمونه‌های برداشت شده از حوضه‌های آبریز براساس سنگ بالادست آنها بصورت زیر عمل گردیده است:

الف: مقدار میانگین هر عنصر در هر کلاس از سنگهای بالادست (تک سنگی)، محاسبه شد.

ب: ردیف بندی عناصر در یک سری متواالی بر اساس کاهش مقدار فراوانی آنها صورت

گرفت.

ج: مقایسه مکان قرارگیری هر عنصر در یک سری با سنگ بالا دست معین نسبت به مکان

قرارگیری همان عنصر در سری کلی مربوط به ۶۷۱ نمونه انجام گرفت.

جدول (۱-۵) تابع عملیات فوق را برای کل جامعه نمونه های برداشت شده از برجه

۱:۱۰۰، ۱:۱۰۰، ۱:۱۰۰ عباس آباد که به عنوان ملاک مقایسه برای جوامع دیگر بکار برد شده است،

همراه با مقادیر مشابه برای ۴ تیپ سنگ بستر بالادست (تک سنگی) نشان می دهد. این

جوامع عبارتند از: VOLCLS (توف بازالتی و تراکی بازالتی، گذازه و برش ولکانولکلاست)،

SLIM (سنگ آهک و دولومیت ماسیو، مارن و ماسه های گچ دار)، SS (کنگلومرا، ماسه سنگ،

شیل)، VOLSAT (بازالت، تراکی بازالت، آندزیت، آندزی بازالت، توف، رویولیت، گذازه و

سنگهای مگاپرفری).

داده های این جدول دلالت بر آن دارد که میانگین مقادیر عناصر مختلف در جوامع

سنگی VOLCLS، SS، SLIM و VOLSAT تقریباً منطبق، بر میانگین مقادیر مربوط به

جامعه کلی است. جامعه سنگی SLIM همچنان که نشان داده شده، جامعه کلی نشان

نداشته است، سه مورد عدم انطباق در جوامع سنگی نسبت به جامعه کلی ملاحظه می شود که به

ترتیب زیر معرفی می گردد:

۱- جامعه سنگی VOLCLS نسبت به عنصر Cu غنی شدگی و نسبت به عنصر Ni تهی شدگی نشان می دهد.

۲- جامعه سنگی SS نسبت به عنصر B غنی شدگی و نسبت به عنصر Co تهی شدگی دارد.

۳- جامعه سنگی VOLSAT نسبت به عنصر Sb غنی شدگی و نسبت به عنصر W تهی شدگی نشان داده است.

۳- تخمین مقدار زمینه (موضوع بند ۳-۷ شرح خدمات)

پس از همگن سازی جوامع مختلف نمونه های ژئوشیمیایی برداشت شده از رسوبات

آبراهه ای براساس نوع سنگ یا سنگهای بالادست اقدام به محاسبه مقدار زمینه برای هر یک

شده است. در این خصوص چون مقدار میانگین، خود تابع مقادیر حدی در تابع چگالی

احتمال است، و از طرفی داده های ژئوشیمیایی اکثرًا چولگی مثبت داشته و مقادیر حد بالا در

جدول (۵-۱) : سیمانی ژیو شیمیایی و طبله بندی عناصر مختلف در محیط های سنجی مقادیر برابر حسب ppm می باشد (کلیه مقادیر آباد ۱:۱۰۰۰۰ عباس آباد در برگه های از عناصر هر کدام از فراوانی های متفاوت بر اساس فراوانی هر کدام از عناصر در رسوبات آبراهه ای)

	Ti	Mn	Ba	Cr	Zn	Ni	Cu	Co	B	Pb	As	Sn	Be	Mo	W	Sb	Bi	Ag	Hg	Au
TOTAL	4700	620	380	255	88	60	51	22	27.5	1.3	5.8	2	1	0.68	0.5	0.5	0.2	0.092	0.05	0.001
VOLCLS	Ti	Mn	Ba	Cr	Zn	Cu	Ni	Co	B	Pb	As	Sn	Be	Mo	W	Sb	Bi	Ag	Hg	Au
	5100	680	340	295	88	62	58.5	24.5	14.5	12	5.37	2	1	0.52	0.5	0.5	0.2	0.0915	0.05	0.0011
SLIM	Ti	Mn	Ba	Cr	Zn	Ni	Cu	Co	B	Pb	As	Sn	Be	Mo	W	Sb	Bi	Ag	Hg	Au
	4500	615	432.5	275	90	58	40	20.25	18.5	15	6.65	2	1.3	0.545	0.5	0.5	0.2	0.088	0.05	0.00078
SS	Ti	Mn	Ba	Cr	Zn	Ni	Cu	Co	Pb	As	Sn	Be	Mo	W	Sb	Bi	Ag	Hg	Au	
	4750	610	460	345	78	66	46	21	20	12.5	6.61	2	1	0.82	0.5	0.5	0.21	0.086	0.05	0.00097
VOLSAT	Ti	Mn	Ba	Cr	Zn	Ni	Cu	Co	B	Pb	As	Sn	Be	Mo	Sb	W	Bi	Ag	Hg	Au
	4200	640	270	225	82	81	56	20.5	18	16	7.08	2.1	1	0.9	0.54	0.5	0.2	0.094	0.05	0.0016

تابع چگالی احتمال آنها، روی مقدار میانگین اثر می‌گذارد لذا از مقدار میانه که مستقل از تغییرات فوق است، استفاده شده است. در این خصوص مقدار میانه بعنوان زمینه انتخاب گردیده است و سپس مقدار هر عنصر در هر نمونه از یک جامعه به مقادیر میانه آن تقسیم شده، تا نسبت غنی شدگی یا تهی شدگی آن عنصر در هر نمونه محاسبه گردد. بدیهی است عناصری که مقدار نسبت فوق در آنها بیشتر از واحد باشد غنی شده و آنها که کمتر از واحد باشد تهی شده تلقی می‌شوند.

جدول (۲-۵) پارامترهای آماری مربوط به لگاریتم توزیع شاخص غنی شدگی نسبی هر یک از متغیرهای بیست گانه را نشان میدهد. علاوه بر مقدار میانه در این جدول، مقدار میانگین، انحراف معیار، مقدار چوگانی و کشیدگی نیز نشان داده است. براساس این داده‌هاست که نقشه توزیع هر عنصر (به عنوان یک متغیر) رسم گردیده است. لازم به یادآوری است، عناصری که میانه فراوانی آنها در غلظت‌های کمتر از چند ده ppm ظاهر می‌شوند می‌توانند بعضاً ضریب غنی شدگی بسیار بالایی از خود نشان دهنده تا حدودی غیرواقعی است. علت این امر می‌تواند به افزایش خطاهای مطلق اندازه گیری در غلظت‌های کم بروز گردد. بنابراین در انتخاب مناطق امیدبخش و تحلیل آنها باید از هر دو معیار مقدار مطلق و غنی شدگی آنها مورد توجه قرار گیرد. البته عوامل دیگر و پارامترهای دیگری نیز در تعیین مناطق امیدبخش در نظر گرفته می‌شود که در فصول بعد ذکر خواهد شد.

جدول (۲-۵) : آماره های شاخص غنی شدگی متغیر های زئوپسیمایی در برگه ۱۱۰۰۰۰۰۰۰ عباس آباد

Parameter	LN(Au)	LN(B)	LN(Cu)	LN(Pb)	LN(Zn)	LN(Ag)	LN(Sn)	LN(W)	LN(Mo)	LN(Hg)
N.used	671	671	671	671	671	671	671	671	671	671
N.missing	0	0	0	0	0	0	0	0	0	0
N.LE.0	0	0	0	0	0	0	0	0	0	0
Mean	0.032	0.063	0.023	0.01	-0.002	0.012	0.064	0.013	0.041	0.042
Variance	0.518	0.168	0.085	0.039	0.03	0.049	0.016	0.003	0.084	0.081
Std. Dev	0.72	0.398	0.292	0.198	0.173	0.222	0.122	0.067	0.308	0.284
Coef. Var	—	—	—	—	—	—	—	—	—	—
Skewness	0.633	1.365	2.593	-0.054	0.28	1.135	1.173	5.107	1.001	8.406
Kurtosis	6.138	6.837	29.323	3.818	4.044	7.832	4.742	32.632	5.695	80.449
Minimum	-2.303	-0.86	-0.965	-0.878	-0.511	-0.818	-0.281	0	-1.03	0
25th %tile	-0.424	-0.189	-0.141	-0.108	-0.108	0	0	-0.131	0	0
Median	0	0	0	0	0	0	0	0	0	0
75th %tile	0.428	0.223	0.175	0.143	0.105	0.118	0.14	0	0.192	0
Maximum	3.807	2.398	3.32	0.869	0.77	1.828	0.842	0.888	1.57	3.36
Parameter	LN(Co)	Ln(Ni)	Ln(Be)	LN(Mn)	LN(Ti)	LN(Ba)	LN(Cr)	LN(As)	LN(Sb)	LN(Bi)
N.used	671	671	671	671	671	671	671	671	671	671
N.missing	0	0	0	0	0	0	0	0	0	0
N.LE.0	0	0	0	0	0	0	0	0	0	0
Mean	-0.002	0.039	0.078	0.029	-0.026	-0.031	0.018	0.028	0.177	0.086
Variance	0.031	0.128	0.026	0.133	0.145	0.08	0.214	0.113	0.471	0.048
Std. Dev	0.176	0.357	0.162	0.365	0.381	0.282	0.463	0.336	0.687	0.212
Coef. Var	—	—	—	—	—	—	—	—	—	—
Skewness	-0.131	1.782	0.994	2.012	-1.89	-0.807	0.778	0.92	4.435	0.44
Kurtosis	8.602	10.862	3.659	20.417	18.936	6.372	5.434	6.761	31.676	3.613
Minimum	-1.986	-0.71	-0.262	-2.018	-2.227	-1.468	-1.386	-0.978	-2.342	-0.598
25th %tile	-0.091	-0.182	0	-0.136	-0.149	-0.178	-0.273	-0.189	0	-0.051
Median	0	0	0	0	0	0	0	0	0	0
75th %tile	0.109	0.201	0.167	0.137	0.14	0.145	0.285	0.197	0	0.182
Maximum	1.211	2.424	0.888	2.342	2.049	1.376	2.345	1.837	6.451	0.833

فصل ششم

تخمین شبکه‌ای شاخص‌های غنی‌شده

(موضوع بند ۸ شرح خدمات)

۱- تخمین شبکه‌ای (موضوع بند ۸-۱ شرح خدمات)

باگذشت زمان و افزایش مخارج پروژه‌های اکتشافی، سعی برآن است که با بکارگیری تکنیکهای آماری پیچیده‌تر، دامنه تخمین را از نظر مساحت تحت پوشش هر نمونه افزایش داد. از این رهگذر می‌توان تعداد نمونه‌های لازم را برای تخمین در سطح اعتماد معین کاهش داد. این کاهش تعداد نمونه‌ها (البته بدون پایین آوردن سطح اعتماد تخمین) خود موجب کاهش مخارج اکتشافی می‌گردد، زیرا مخارج سایر فازهای اکتشافی (از قبیل آماده‌سازی، آنالیز و پردازش) ارتباط مستقیمی با تعداد نمونه‌ها دارد. معمولاً برگه‌های ۱:۱۰۰، ۱:۲۰۰ زمین‌شناسی در کشور ما مساحتی حدود ۲۵۰۰ کیلومتر مربع را شامل می‌شود که اگر دانسته یک نمونه برای هر ۳ کیلومتر مربع را در نظر بگیریم، برای هر برگه حدود ۸۰۰ نمونه باید برداشت شود. در چنین شرایطی اگر نقشه ۱:۱۰۰، ۱:۲۰۰ زمین‌شناسی را به ۴۰، ۰۰۰ سلوی با مساحت $\frac{1}{16}$ کیلومتر مربع تقسیم نماییم، کل ۸۰۰ نمونه برداشت شده احتمالاً در حدود ۸۰۰ سلوی توزیع خواهد شد و از بقیه ۳۹۲۰ سلوی باقیمانده نمونه‌ای برداشت نمی‌شود. بدین ترتیب هیچ تخمین مستقیمی نمی‌تواند برای حدود ۹۸٪ از مساحت نقشه صورت پذیرد. این تحلیل ساده نشان می‌دهد که تا چه اندازه تکنیکهای آماری که بتواند دامنه تخمین مقدار متغیرها را به بخش عمدۀ ای از هر نقشه افزایش دهد نیاز می‌باشد. این تکنیک که در این گزارش تحت عنوان تخمین شبکه‌ای از آن نام برده می‌شود به ما اجازه میدهد تا با داشتن اطلاعات مستقیم از حدود ۸۰۰ سلوی شبکه بتوانیم تخمین‌های لازم از فراوانی عناصر و شاخص‌های غنی‌شده مربوط به آنها را به حدود ۳۹۲۰ سلوی دیگر موجود در محدوده، برگه افزایش دهیم. در چنین حالتی افزایش تعداد سلویها که در مورد آنها داده ای بدست می‌آید موجب می‌گردد تا ارتباط منطقی بین فراوانی یک عنصر در سلویها ظاهر

گشته و امکان ارزیابی منطقه بندی های موجود در نقشه توزیع یک عنصر (ساختمان ژئوشیمیایی) و ساختارهای مرتبط با آن فراهم گردد. برای مثال هرگاه یک مقدار آنومالی در بین تعداد زیادی از مقادیر زمینه محصور گردد، ارزش و اعتبار آن مقدار آنومالی زیر سؤال خواهد بود. ولی اگر یک مقدار آنومالی بوسیله چندین سلول با مقدار حد آستانه ای محصور گردد و این سلولها خود توسط سلولهای دارای مقدار زمینه نیز محاط گرددند در اینصورت این مدل تغییرات تدریجی از اطراف به مرکز آنومالی، موجب افزایش اعتبار مقدار آنومالی می گردد. چنین ارزیابیهایی در صورتی میسر است که از تکنیک تخمین شبکه ای استفاده گردد. از دیگر امتیازات این روش تخمین، آن است که یک شبکه نامنظم نمونه برداری را به یک شبکه منظم تخمین تبدیل می کند. مهمترین ویژگی بررسی رسوبات رودخانه ای به منظور ارزیابی پتانسیل کانی سازی، می تواند ناشی از این واقعیت باشد که مقدار هر متغیر در رسوب رودخانه ای دارای خاصیت برداری است. جهت این بردار بطریقی است که همواره فقط برای بالادست خود صادق است. عبارت دیگر ارقام حاصل از بررسی رسوبات رودخانه ای برخلاف سایر روشهای ژئوشیمیایی خاصیت جهت یافتنگی دارند و همواره انوکاس دهنده تغییرات در ناحیه بالادست خود می باشند. الگوریتم کنونی به نحوی طراحی شده که این اثر مهم در تخمین را بحساب آورد. این روش اولین بار توسط گروهی از ژئوشیمیست های اکتشافی اسپریال کالج لندن بکار گرفته شد و سپس با تأیید الگوریتم موردنظر، این روش [۵] بعنوان روشی برای نقشه برداری ژئوشیمیایی رسوبات آبراهه ای پیشنهاد گردید.

تکنیک تخمین شبکه ای شامل چند بخش بشرح زیر است:

الف - انتخاب یک شکل هندسی که بتواند حتی الامکان ناحیه حوضه آبریز بالادست هر نمونه را مشخص کند. این شکل هندسی میتواند به صورت های مختلفی انتخاب گردد. برای مثال ناحیه بالادست هر نمونه در حوضه آبریز را میتوان بصورت مثلث، یکضی، چند ضلعی و یا قطاعی از یک دایره در نظر گرفت که محل نمونه در یکی از رئوس این اشکال هندسی قرار خواهد گرفت. بنظر می رسد که انتخاب چند ضلعی تا آنجا که به انطباق فیزیکی بیشتر با حوضه آبریز مربوط می شود از دیگر اشکال هندسی مناسب تر است ولی محاسبات و عملیات مربوط به آن بسیار پیچیده تر و پر حجم است. در مقابل انتخاب قطاع اگرچه ممکن است از نظر هندسی انطباق کمتری با طبیعت حوضه آبریز داشته باشد و نتوان صد درصد مساحت تحت پوشش یک

حوضه آبریز را در آن محصور نمود و لی بعلت کمی تعداد پارامترهای لازم برای مشخص نمودن آن از امتیاز بالای نسبت به سایر اشکال پرخوردار است. در این مطالعه برای مشخص کردن محدوده هر حوضه آبریز از این شکل هندسی استفاده شده است.

ب - زاویه مرکزی هر قطاع که بخشی از حوضه آبریز را می‌پوشاند، در محل نمونه قرار داده می‌شود و کمان انتهایی قطاع بالاترین قسمت حوضه آبریز مربوطه را می‌پوشاند و دو ضلع قطاع باید حتی الامکان منطبق بر رأس خط الرأسهای دو طرف حوضه آبریز بالاست نمونه مربوطه باشد. پارامترهایی که برای هر قطاع باید اندازه‌گیری و در محاسبات وارد شود عبارتند از:

- مختصات X و Y ، نقطه رأس قطاع که همان نقطه نمونه برداری است.

- زاویه مرکزی قطاع (θ).

- مختصات نقطه انتهایی حوضه آبریز مربوطه که حتی الامکان منطبق بر نقطه وسط کمان قطاع خواهد بود.

در این پژوهه برای کلیه ۶۷۱ نمونه برداشت شده در محدوده این برگه که محل و موقعیت آنها در نقشه‌های نمونه برداری قبل از آن گردیده است مطابق دستور العمل فوق قطاع‌های مربوطه رسم و مختصات رأس قطاع و نقطه انتهایی آبراهه و زاویه θ دوبار اندازه‌گیری شده است. تتابع این اندازه‌گیری‌ها پس از خطای‌گیری آنها که حدود ۷٪ بوده است در جدول ۲ ضمیمه (روی CD) آورده شده است.

۲-شاخص غنی‌شدنی

با تعریف شاخص غنی‌شدنی یک عنصر خاص در یک نمونه معین عبارت است از نسبت غلظت آن عنصر در آن نمونه به غلظت میانگین یا میانه همان عنصر در آن جامعه‌ای که نمونه مربوط متعلق به آن است. با این تعریف عوامل مؤثر در شاخص غنی‌شدنی یک عنصر خاص در یک نمونه معین نه فقط تابع مقدار آن عنصر در آن نمونه می‌باشد بلکه به فراوانی همان عنصر در جامعه وابسته به آن نیز بستگی دارد. بنابراین اگر فراوانی نقطه‌ای و منطقه‌ای یک عنصر،^۵ را با شبیث ثابتی افزایش و یا کاهش باید آنچه که ثابت باقی خواهد ماند شاخص غنی‌شدنی است، زیرا صورت و مخرج این کسر به یک نسبت افزایش و یا

کاهش می‌یابند. بدین ترتیب شاخص غنی‌شدنگی تا حدود زیادی مستقل از فاکتور لیتلولوژی و یا مؤلفه سن ژنتیک فراوانی یک عنصر در ناحیه منشاء رسوبات آبراهه‌ای می‌باشد، برای مثال دو رسوت آبراهه‌ای A و B را در نظر می‌گیریم که اولی حاصل فرسایش یک واحد پریدوتیتی و دومی حاصل فرسایش یک واحد دولومیتی است، بدینهی است مقدار Ni در واحد پریدوتیتی و رسوت حاصل از فرسایش آن است. چنانچه رسوت حاصل از فرسایش دولومیت با رسوت حاصل از فرسایش پریدوتیت از نظر فراوانی نیکل مورد معاینه قرار گیرد، ملاحظه می‌گردد که تا چه اندازه نوع اخیر از نیکل غنی‌تر است. حال آنکه اگر مقدار نیکل یک نمونه رسوت حاصل از فرسایش دولومیت صورت گیرد و آنگاه مقادیر نرمالایز شده با هم مقایسه شوند، ملاحظه خواهد شد که در صورت نبود مؤلفه اپی ژنتیک، اختلاف در جامعه آماری ممکن است بی‌اهمیت باشد. در حالتی که رسوت حاصل از فرسایش پریدوتیت به دلیل وجود کانی سازی (مؤلفه اپی ژنتیک) دارای مقادیر بسیار بالایی از نیکل باشد، در این صورت ممکن است مقادیر نرمالایز شده اختلاف فاحشی را نشان دهند. این اختلاف از نوع ممکنی دار تلقی شده و بر خلاف اختلاف بین دو مقدار نرمالایز شده، باشد، در جستجوی هامل ایجاد کننده آن بود.

نظر به اینکه شاخص غنی‌شدنگی میتواند داده‌های ژئوشیمیایی را از تغییرات لیتلولوژی (مؤلفه سن ژنتیک) در ناحیه منشاء مستقل سازد در این پروژه مبنای محاسبات قرار گرفته است. برای محاسبه شاخص غنی‌شدنگی متغیرهای تک عنصری در هر نمونه از رابطه زیر استفاده می‌شود:

$$EI = \frac{C^j}{(C_{med})}$$

در این رابطه EI شاخص غنی‌شدنگی، C^j مقدار فراوانی عنصر زدرا یک نمونه معین و (C_{med}) مقدار زمینه همان عنصر در جامعه مربوط به آن نمونه می‌باشد. این مقدار زمینه میتواند معادل مقدار میانه و یا معادل مقدار میانگین انتخاب گردد. در پروژه حاضر بعلت مستقل بودن مقدار میانه از تغییرات حدی، این پارامتر به میانگین ترجیح داده شده است.

۳- محاسبه احتمال رخداد هر یک از شاخص‌های غنی‌شده

(موضوع بند ۲-۸ شرح خدمات)

از آنجا که نقشه برداری ژئوشیمیایی از رسوبات آبراهه‌ای به دو منظور مختلف شامل: ارزیابی پتانسیل معدنی واحدهای لیتولوژیکی و ساختمانی و نهایتاً تهیه نقشه متالوژی این واحدها از طریق رسم نقشه توزیع فراوانی عناصر و ارزیابی آنومالیهای ژئوشیمیایی امیدبخش جهت انجام عملیات اکتشافی تفصیلی تر صورت می‌گیرد، برای آنکه در پروژه حاضر هر دو منظور رعایت شده باشد، علاوه بر رسم نقشه توزیع ژئوشیمیایی عناصر در مقیاس ناحیه‌ای که در آن منظور اول ملحوظ می‌شود، اقدام به محاسبه احتمال رخداد هر یک از مقادیر آنومال نیزگردد: است تا بتوان از این طریق به ملاکی جهت دسترسی به منظور دوم دست یافت. پس از آنکه مقدار هر عنصر در هر یک از جوامع به میانه همان عنصر در همان جامعه تقسیم شد (نمایانه اثر لیتولوژیهای مختلف)، حال میتوان با تابع حاصل از نمونه‌های متعلق به جوامع مختلف، تشکیل یک جامعه کلی داد و پس از نرمال کردن این جامعه، تحلیل آماری روی آن به اینچنان وسائط از آنجا که تابع حاصل از فاز قبل، شاخص غنی‌شده‌ی هر عنصر را نشان میدهد، جامعه کلی بدست آمده، تحت عنوان جامعه شاخص غنی‌شده‌ی نامیده می‌شود که در صورت دقت کافی در نقشه زمین‌شناسی می‌تواند تا حدود زیادی مستقل از فاکتور لیتولوژی در ناحیه منشاء رسوبات آبراهه‌ای باشد.

علاوه بر محاسبه پارامترهای آماری هر یک از جوامع، پس از نرمال‌سازی دقیق آن، احتمال رخداد هر مقدار از یک عنصر در هر نمونه نیز محاسبه گردیده است. لازم به یادآوری است که محاسبه احتمال رخداد هر یک از شاخص‌های غنی‌شده نسبت به نرمال بودن تابع توزیع بسیار حساس است.

برای محاسبه احتمالات مربوطه مطابق زیر عمل شده است:

- (۱) ابتدا مقادیر خارج از دامنه (*Outlier*) ضریب غنی‌شده بر اساس شکل تابع توزیع تجمعی مقادیر آن تعیین و کنار گذاشته شد. (۲) برای باقی مانده جامعه که هیچ گونه مقادیر خارج از دامنه در آن وجود ندارد داده‌ها با تبدیل کاکس و باکس [۶] نرمال شده‌اند (۳) بر اساس داده‌های نرمال مقادیر $P.N$ هر نمونه محاسبه شده است. (۴) حداقل احتمال مقادیر $P.N$ جامعه برای احتمال پیدایش مقادیر خارج از دامنه جایگزین شده است. احتمالات حاصل بعنوان ملاکی جهت ارزیابی مقادیر بظاهر آنومال مورد استفاده قرار گرفته است.

جدول (۱-۶) مناطق امیدبخش انتخاب شده براساس روش $P.N$ را نشان می‌دهد.
چنانچه ملاحظه می‌گردد، شدت آنومالیها با معیاری احتمال پذیر محاسبه گردیده است. این شدت برابر است با عکس حاصلضرب احتمال رخداد یک مقدار معین از یک عنصر در تعداد نمونه‌های مورد بررسی در برگه ۱۰۰، ۱۰۰: عباس آباد.

اگر $\frac{1}{PN}$ را معیار قرار دهیم که معادل ۵ خواهد شد، در این صورت تعدادی نمونه آنومال برای هر یک از عناصر حاصل می‌گردد که برای برگه عباس آباد به شرح زیر است:

۱) برای عنصر طلا شش محل آنومالی درجه یک در محل نمونه‌های شماره $AM547$ ، $AG551$ ، $AG552$ ، $AG553$ و $AM533$ وجود دارد.

۲) برای عنصر برپنج محل آنومالی درجه یک در محل نمونه‌های شماره $AA58$ ، $AK246$ ، $AK193$ ، $AK197$ و $AK230$ وجود دارد. همچنین دو آنومالی درجه دوم در محل نمونه‌های شماره $AA107$ و $AA109$ موجود می‌باشد.

۳) برای عنصر سرب سه محل آنومالی درجه اول در محل نمونه‌های به شماره $AA36$ ، $AA23$ و $AA140$ وجود دارد.

۴) برای عنصر سرب سه محل آنومالی درجه اول در محل نمونه‌های شماره $AA36$ ، $AA95$ و $AA120$ وجود دارد.

۵) برای عنصر روی شش محل آنومالی درجه اول در محل نمونه‌های شماره $AM663$ ، $AA129$ ، $AA131$ ، $AK215$ ، $AK185$ و $AG381$ وجود دارد. همچنین سه آنومالی درجه دوم در محل نمونه‌های شماره $AM338$ ، $AA120$ و $AG319$ موجود می‌باشد.

۶) برای عنصر نقره چهار محل آنومالی درجه اول در محل نمونه‌های شماره $AA8$ ، $AA36$ ، $AA33$ و $AK215$ وجود دارد.

۷) برای عنصر قلع هفت محل آنومالی درجه اول در محل نمونه‌های شماره $AG234$ ، $AA55$ ، $AA117$ ، $AA67$ ، $AA56$ ، $AA78$ و $AK268$ وجود دارد.

۸) برای عنصر تنگستن بیست محل آنومالی درجه اول در محل نمونه‌های شماره $AA1$ ، $AM623$ ، $AM589$ ، $AM602$ ، $AA152$ ، $AG324$ ، $AM339$ ، $AM337$ ، $AM338$ ، $AM607$ ، $AK251$ ، $AM606$ ، $AM611$ ، $AG488$ ، $AM603$ ، $AM401$ ، $AM609$ و $AM620$ وجود دارد. همچنین دو آنومالی درجه دوم در محل

نمونه‌های شماره AA35 و AA28 موجود می‌باشد.

۹) برای عنصر مولیبدن شش محل آنومالی درجه اول در محل نمونه‌های شماره AA3، AK271، AK274، AM331، AM439 و AK203 وجود دارد.

۱۰) برای عنصر جیوه ده محل آنومالی درجه اول در محل نمونه‌های شماره AA1، AA3، AA4، AK272، AM439، AK271، AA2 و AM440 وجود دارد.

همچنین یک آنومالی درجه دوم در محل نمونه شماره AM443 موجود می‌باشد.

۱۱) برای عنصر کبالت یک محل آنومالی درجه اول در محل نمونه شماره AK223 وجود دارد.

۱۲) برای عنصر نیکل هفت محل آنومالی درجه اول در محل نمونه‌های شماره AA134، AA32، AA121، AA34، AA26، AA135 و AA31 وجود دارد.

۱۳) برای عنصر منگنز سیزده محل آنومالی درجه اول در محل نمونه‌های شماره AA1، AA17، AA16، AA24، AA25، AA23، AA18، AA20، AA21، AA22 و AA19 وجود دارد.

۱۴) برای عنصر تیتان چهار محل آنومالی درجه اول در محل نمونه‌های شماره AA59، AK196، AA35 و AA46 وجود دارد.

۱۵) برای عنصر باریوم یک محل آنومالی درجه اول در محل نمونه‌های شماره AK216 وجود دارد. همچنین یک آنومالی درجه دوم در محل نمونه شماره AM587 موجود می‌باشد.

۱۶) برای عنصر کروم چهار محل آنومالی درجه اول در محل نمونه‌های شماره AA59، AA127، AK216 و AA128 وجود دارد.

۱۷) برای عنصر آرسنیک هفت محل آنومالی درجه اول در محل نمونه‌های شماره AA1، AG295، AM339، AM337، AM331، AM338 و AM336 وجود دارد.

همچنین یک آنومالی درجه دوم در محل نمونه شماره AG285 موجود می‌باشد.

۱۸) برای عنصر آنتیموان دوازده محل آنومالی درجه اول در محل نمونه‌های شماره AA1، AM445، AK273، AM443، AA4، AK272، AA8، AK274، AK271، AA3 و AM442 وجود دارد.

۱۹) برای عنصر بیسموت چهار محل آنومالی درجه اول در محل نمونه‌های شماره AA446

جدول (۱-۱) : انتخاب مناطق امید بخش بر اساس روش PN در بر که عباس آباد.

Code No.	Au	B	Cu	Pb	Zn	Ag	Sn	W	Mo	Hg	Co	Ni	Be	Mn	Tl	Ba	Cr	As	Sb	Bi	Sum-Pn
AA 1								14.90		14.90			14.90						14.90		59.60
AA 3								14.90		14.90			14.90						14.90		59.60
AA 36								14.90		4.95											49.65
AK 271								14.90		14.90											44.70
AK 274								14.90		14.90											44.70
AA 8								10.86													40.66
AA 4													14.90								29.80
AA 23								14.90													29.80
AA 46													14.90								29.80
AA 59													14.90								29.80
AK 216																					29.80
AK 272																					29.80
AG 324																					29.80
AM 331																					29.80
AM 337																					29.80
AM 338																					29.80
AM 339																					29.80
AM 439																					29.80
AA 2																					29.80
AA 16																					29.80
AA 17																					29.80
AA 18																					29.80
AA 19																					29.80
AA 20																					29.80
AA 21																					29.80
AA 22																					29.80
AA 24																					29.80
AA 25																					29.80
AA 26																					29.80
AA 31																					29.80
AA 33																					29.80
AA 34																					29.80
AA 35																					29.80
AA 55																					29.80
AA 56																					29.80
AA 58								14.90													29.80
AA 61																					29.80
AA 67																					29.80

جدول (۱۶) : انتخاب مناطق اسید بخش بر اساس روش PN در برگه ۱۰۰۰۰۰۱ عباس آبدار

Code No.	Au	B	Cu	Pb	Zn	Ag	Sn	W	Mo	Hg	Co	Ni	Be	Mn	Tl	Ba	Cr	As	Sb	Bi	Sum-Pn
AA 78						14.90															14.90
AA 117						14.90															14.90
AA 120					14.90																14.90
AA 121																					14.90
AA 127																					14.90
AA 128																					14.90
AA 129																					14.90
AA 131																					14.90
AA 134																					14.90
AA 135																					14.90
AA 140																					14.90
AA 152																					14.90
AK 196																					14.90
AK 203																					14.90
AK 223																					14.90
AK 230																					14.90
AK 246																					14.90
AK 251																					14.90
AK 268																					14.90
AK 273																					14.90
AG 295																					14.90
AM 401																					14.90
AG 422																					14.90
AM 440																					14.90
AM 442																					14.90
AM 443																					14.90
AM 445																					14.90
AG 446																					14.90
AG 488																					14.90
AM 547																					14.90
AG 551																					14.90
AG 553																					14.90
AM 589																					14.90
AM 602																					14.90
AM 603																					14.90
AM 606																					14.90
AM 607																					14.90
AM 608																					14.90

جدول (۱-۶) : انتخاب مناطق امید بخش بر اساس روش PN در برکه ۱۰۰۰۰ دریا

Code No.	Au	B	Cu	Pb	Zn	Ag	Sn	W	Mo	Hg	Co	Ni	Be	Mn	Tl	Ba	Cr	As	Sb	Bi	Sum-Pn
AM 609							14.90													14.90	
AM 611							14.90													14.90	
AM 618							14.90													14.90	
AM 620							14.90													14.90	
AM 623							14.90													14.90	
AM 663							14.90													12.56	
AK 193							12.56													12.28	
AG 552																				11.93	
AA 32																				11.27	
AK 197							8.90													8.90	
AK 185							8.90													8.90	
AK 215							8.90													8.90	
AG 381																				8.77	
AK 187																				7.68	
AA 27																				7.68	
AA 28																				7.68	
AM 336																				7.19	
AA 95							5.75													5.75	
AM 533																				5.34	
AM 535																				5.34	

مقدار زیر (۵) در جدول نمیتوان داده نشده است

، AG422 و AA28 وجود دارد. همچنین دو آنومالی درجه دوم در محل نمونه‌های شماره AA35 و AG300 موجود می‌باشد.

۴- معرفی متغیرهای تک عنصری و چند عنصری و رسم نقشه آنومالی‌های مقدماتی (موضوع بند ۳-۸ شرح خدمات)

متغیرهای تک عنصری و چند عنصری که بتوانند پتانسیلهای کانساری را در این منطقه به طور مناسب تری منعکس نمایند، از طریق بکارگیری روش آنالیز فاکتوری و رسم موقعیت متغیرها در مختصات فاکتوری معرفی می‌شوند. این امر پس از خشتم سازی مؤلفه‌های سنتزیک (بطور عام) از طریق اثر دادن سنج بالادست، صورت گرفته است. در این صورت چنانچه مجموعه ای از متغیرها در امتداد محور معینی (فاکتور معینی) از مبدأ دور شده باشند، می‌توانند بعنوان متغیرهایی که ارتباط پارازنی با یکدیگر دارند، بحساب آیند. بنابراین با استفاده از این روش می‌توان با تغییر محورهای مختصات (فاکتورهای مختلف) موقعیت عناصر را واضح تر بر روی مطالعه قرار داد. در مطالعه حاضر، یک مدل هشت فاکتور^۶ توانسته است حدود ۶۵٪ از تغییرپذیری را توجیه کند. اشکال (۱-۶) تا (۷-۶) وضعیت متغیرهای مختلف را در مختصات‌های مختلف معرفی می‌کند. مطالعه این اشکال معرف آن است که:

۱- در فاکتور اول بار عناصر B ، Mo و As قابل ملاحظه می‌باشد. این مجموعه می‌تواند به عنوان ردیاب احتمالی کانی سازی اسکارنی معرفی شود.

۲- در فاکتور دوم دو عنصر Hg و Sb بالا می‌باشد که می‌تواند معرف کانی سازی اپی ترمال در منطقه باشد. جالب اینکه بار این دو عنصر در مجموع از همه عناصر در فاکتورهای دیگر بالاتر است. بنابراین منطقه از این نظر دارای پتانسیل قابل ملاحظه‌ای باید باشد. آنچه که مایوس کننده است این است که بار فاکتوری طلا در فاکتور دوم قابل ملاحظه نمی‌باشد.

۳- در فاکتور سوم تنها بار فاکتوری Mn قابل ملاحظه می‌باشد. البته Au در بین همه فاکتورهای دیگر در این فاکتور از بار بیشتری برخوردار است ولی با ردیاب‌های اپی ترمال و مزوترمال آن همگی در این فاکتور کم می‌باشند بنابراین فاکتور دوم و سوم در مجموع تصویر روشنی از کانی سازی طلا بدست نمی‌دهند.

۴- در فاکتور چهارم بار عناصر Zn , Cl و Ag بالا می باشند. این مجموعه ممکن است

معرف کانی سازی پلی متال یا ماسیو سولفاید باشد. طلا در این مجموعه از بار فاکتوری قابل ملاحظه ای برخوردار نیست.

۵- در دو فاکتور پنجم و ششم بار فاکتوری عناصر Co , Ni و Cr بالاست. این مجموعه ها

ممکن است در ارتباط با اثرات لیتلولژیک خشند شده سنگ بالا دست به خاطر بکارگیری نقشه های کوچک مقیاس باشد.

۶- در فاکتور هفتم و هشتم به ترتیب بار فاکتوری Pb و W قابل ملاحظه است که ممکن

است عنوان ردبای کانی سازی های احتمالی باشد. جالب آنکه در فاکتور هشتم که عنصر W از بار قابل ملاحظه ای برخوردار است طلا بار فاکتوری متوسطی دارد. این

مجموعه نیز ممکن است بتواند معرف کانی سازی طلا باشد.

در جدول (۱-۶) نقاط نمونه برداری امیدبخش متعلق به هر حوضه آبریز همراه با

مقدار $\Sigma I/PN$ آن و آن آورده شده است. برای همین نمونه ها در روی مختصات فاکتوری نیاز به آنالیز همزمان $C-mode$ و $R-mode$ دارند. این آنالیز تحت عنوان آنالیز

فاکتوری انطباقی انجام گردید و نتایج مورد مقایسه واقع شد (اشکال ۸-۶ تا ۱۷-۶). از

مقایسه داده های این جدول با اشکال (۸-۶) تا (۱۷-۶) مشخص می گردد که مناطق امیدبخش از دو روش بکار برده شده در مورد آنتیموان (۷۷٪)، طلا (۵۰٪)، کروم (۳۶٪)، مس

(۳٪)، بر (۴۵٪)، جیوه (۶٪)، و منگنز (۹۲٪) / ۳٪ انطباق دارد. به عنوان یک نتیجه کلی از مقایسه این دو روش مشخص می گردد که روش آنالیز فاکتوری تعداد نقاط امیدبخش را حدود

۱/۵ برابر بیشتر از روش PN نشان می دهد.

در جدول (۲-۶) نمونه های آنومالی تعیین شده به روش آنالیز انطباقی در محورهای

مختصات مختلف F_1-F_2 , F_1-F_3 , F_1-F_4 و F_1-F_5 همراه با مقادیر I/PN آنها و پارامترهای

مرتبه در ستونهای مختلف این جدول به ترتیب از چپ به راست نشان داده شده اند. مقایسه آنها دلالت بر آن دارد که روش PN فقط حدود ۸/۶۸٪ از نمونه های به دست آمده از روش آنالیز انطباقی را تأیید می کند.

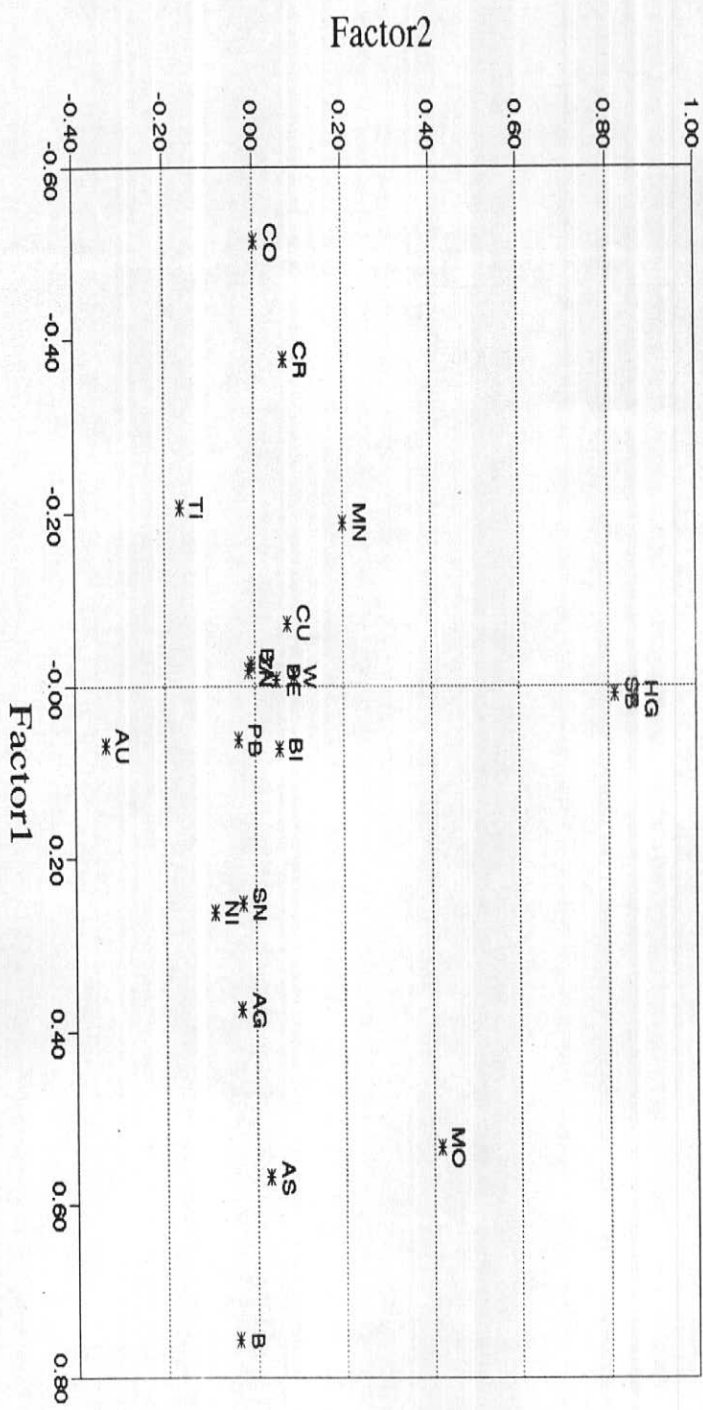


Fig.6-1: Graphical Representation of Factor Analysis for Geochemical Variables in Abas A₃ed 1/100,000 Sheet.

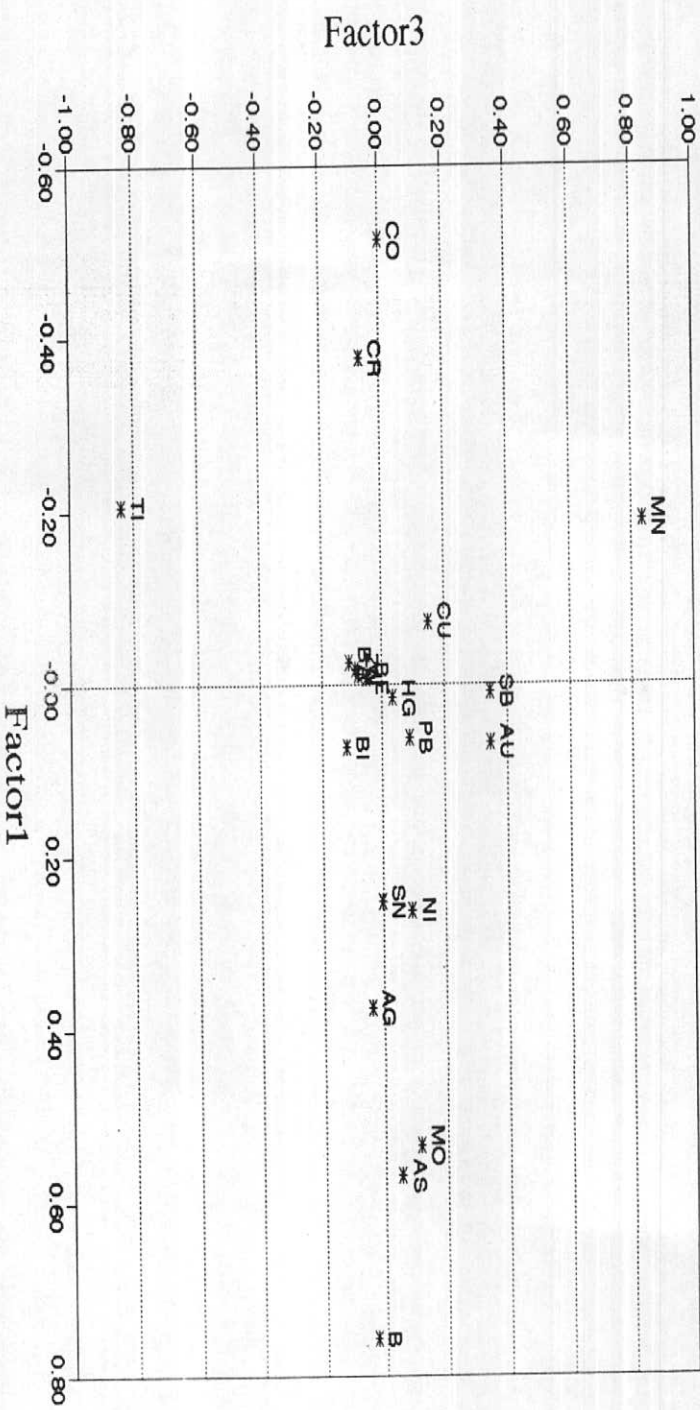


Fig.6-2:Graphical Representation of Factor Analysis for Geochemical Variables in Abas Abad 1/100,000 Sheet.

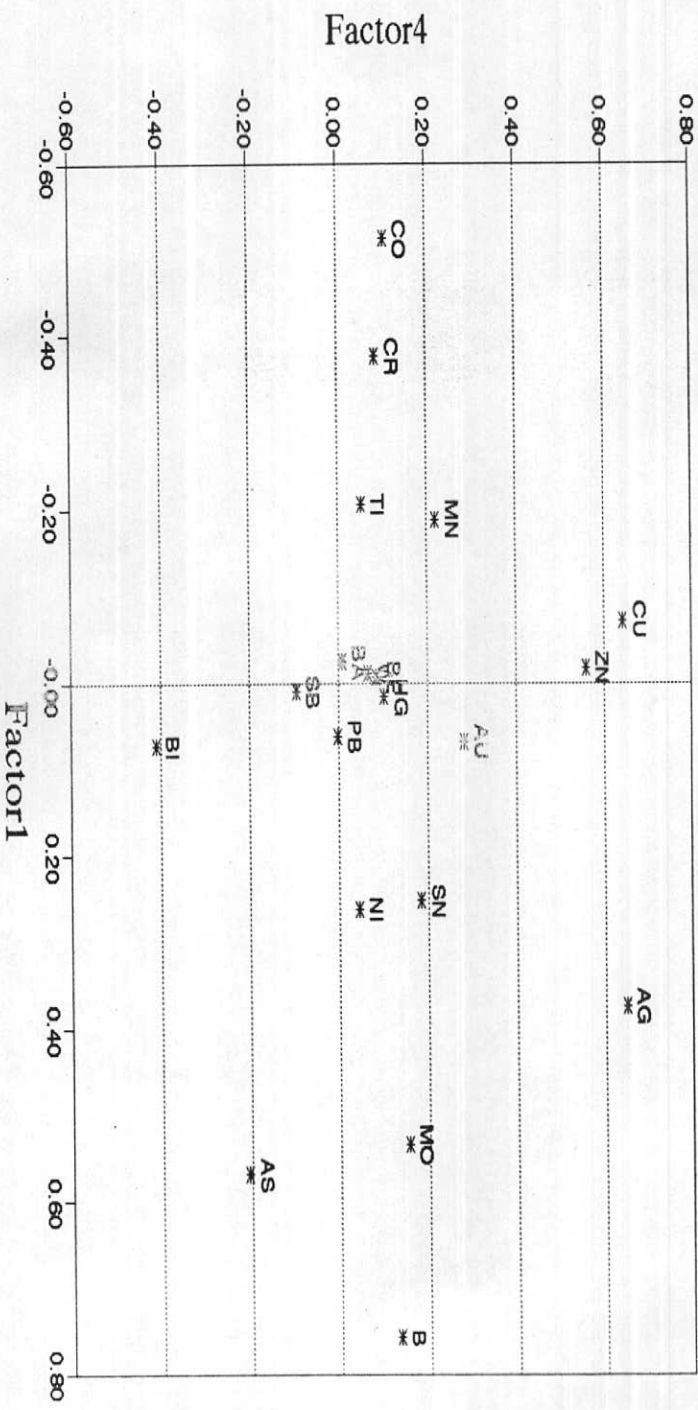


Fig.6-3: Graphical Representation of Factor Analysis for Geochemical Variables in Abas Abad 1/100,000 Sheet.

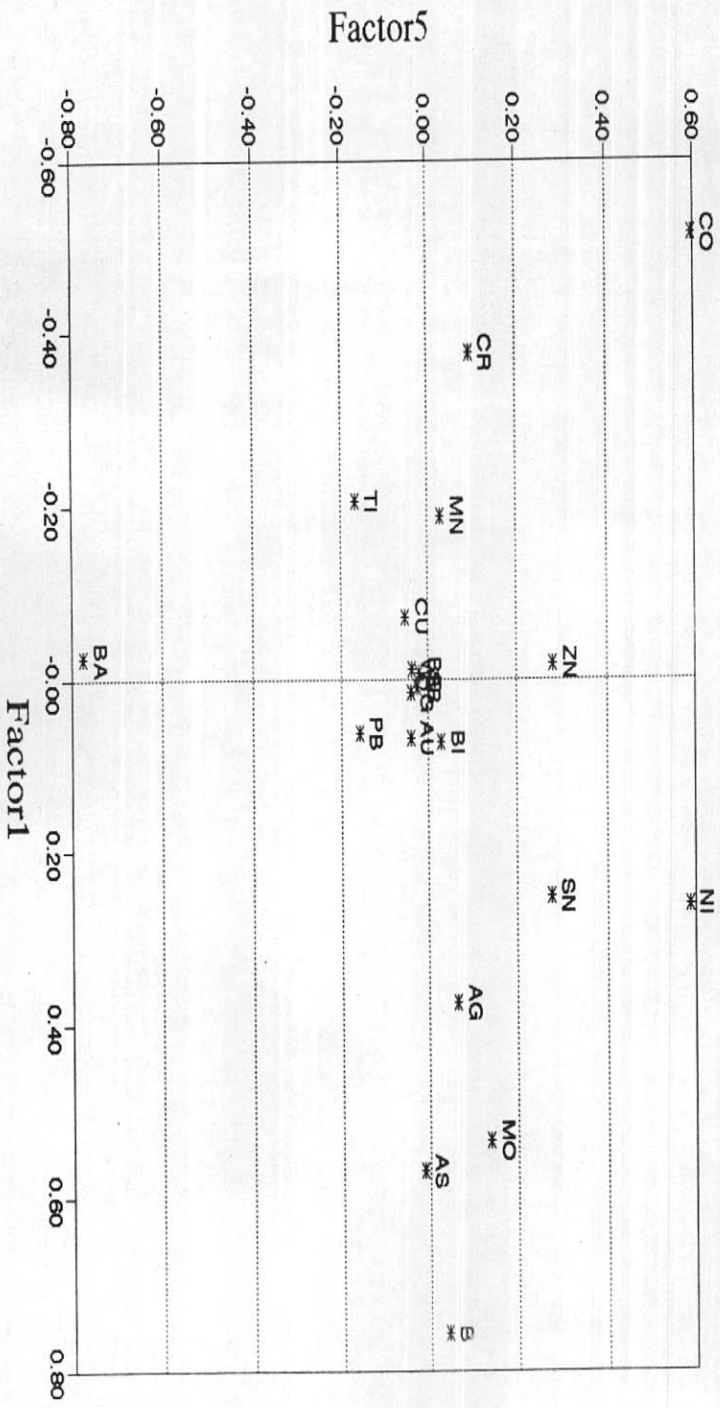


Fig.6-4:Graphical Representation of Factor Analysis for Geochemical Variables in Abas Abad 1/100,000 Sheet.

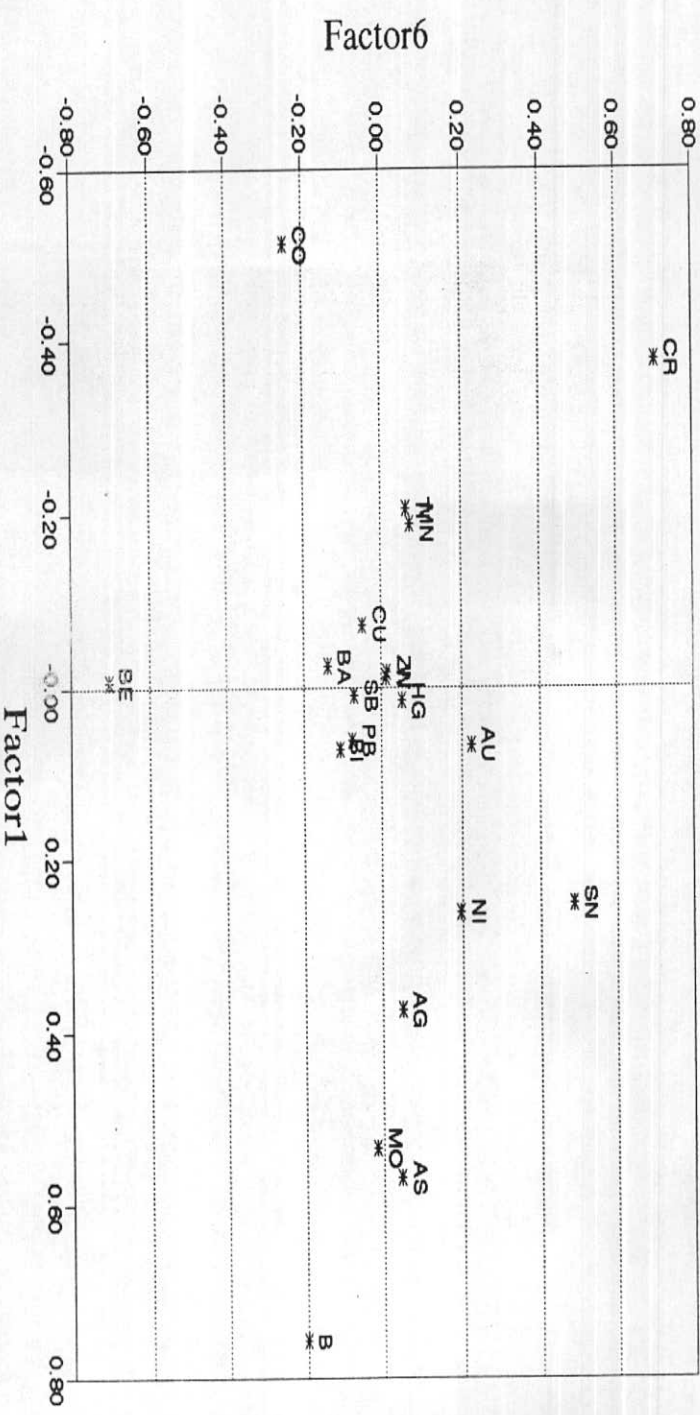


Fig.6-5:Graphical Representation of Factor Analysis for Geochemical Variables in Abas Abad 1/100,000 Sheet.

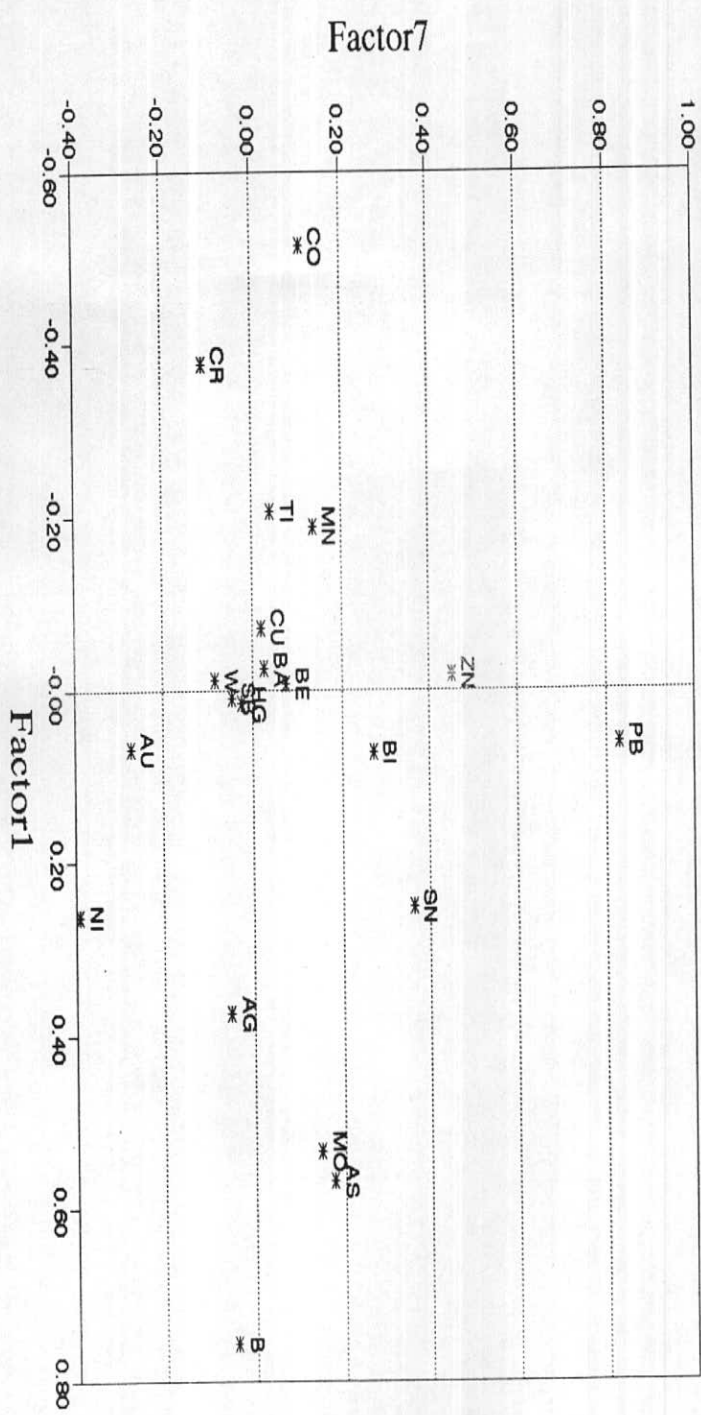


Fig.6-6:Graphical Representation of Factor Analysis for Geochemical Variables in Abas Abad 1/100,000 Sheet.

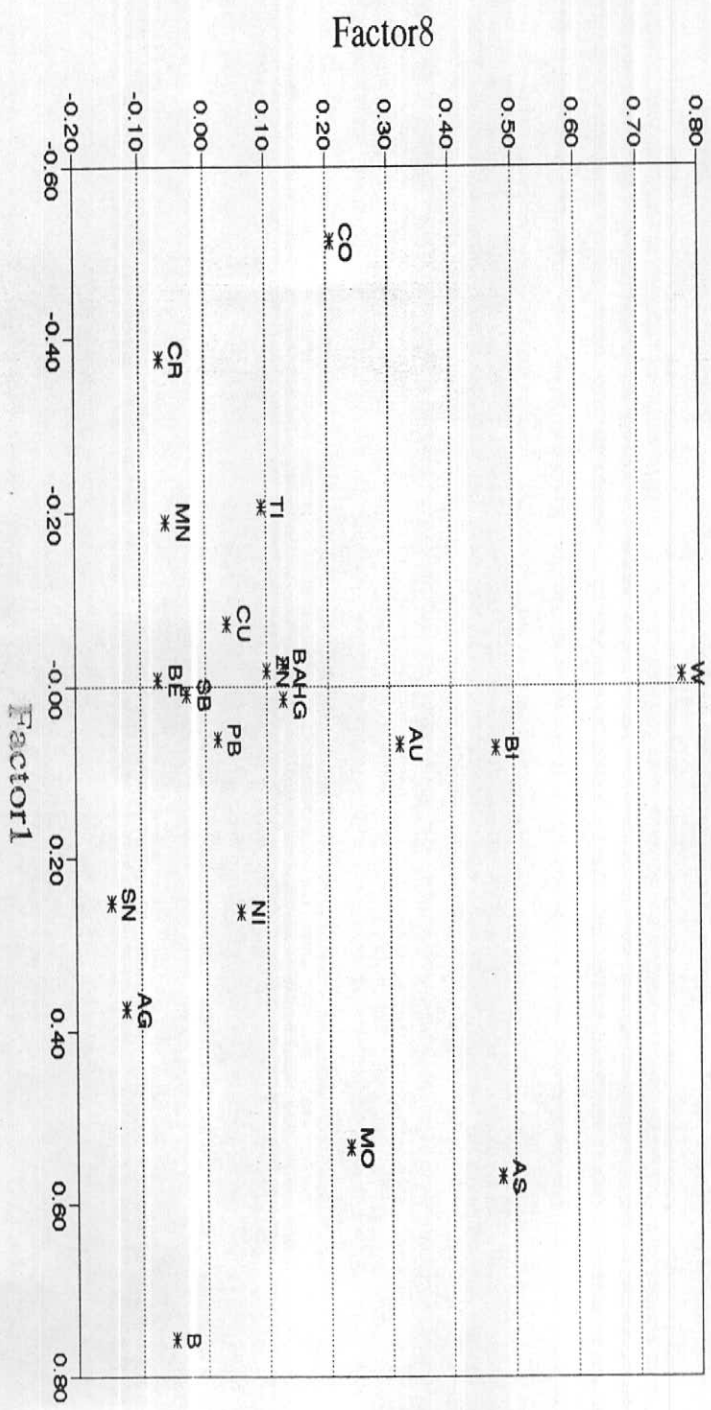


Fig.6-7:Graphical Representation of Factor Analysis for Geochemical Variables in Abas Abad 1/100,000 Sheet.

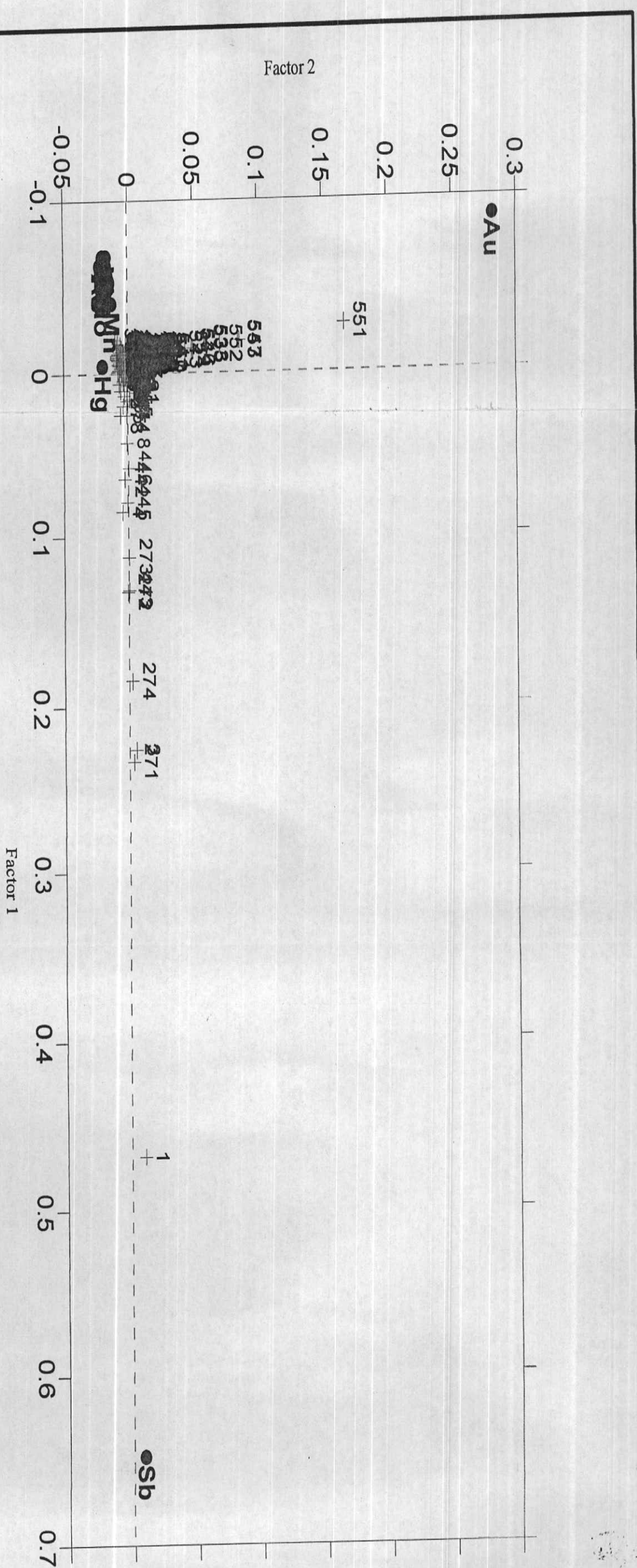


Fig. 6-8 :Graphical Representation of the Results of Correspondance Analysis for Geochemical Variables and Associated Samples in Abas abad 1/100,000 Sheet.

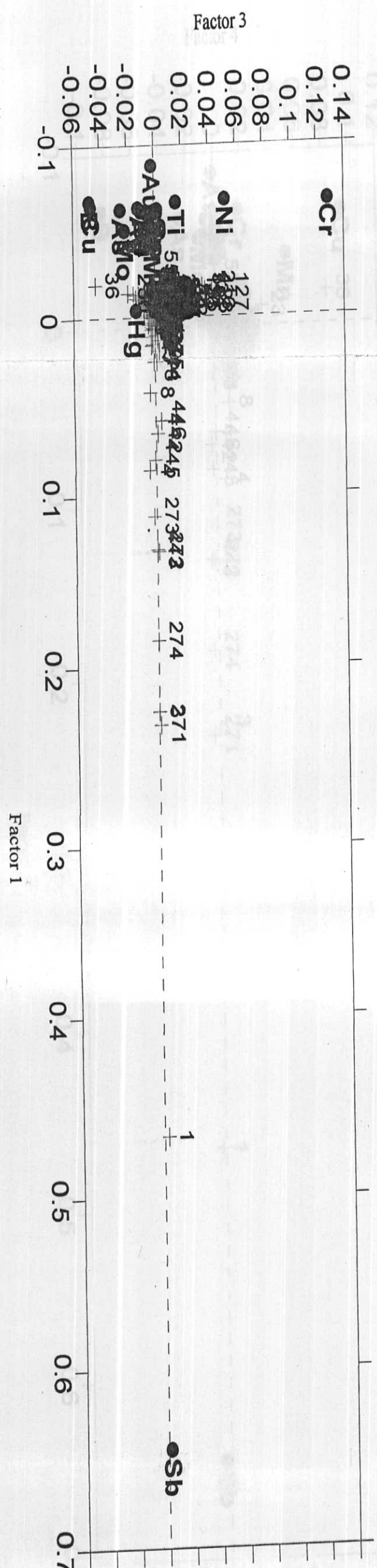


Fig. 6-9 :Graphical Representation of the Results of Correspondance Analysis for Geochemical Variables and Associated Samples in Abas abad 1/100,000 Sheet.

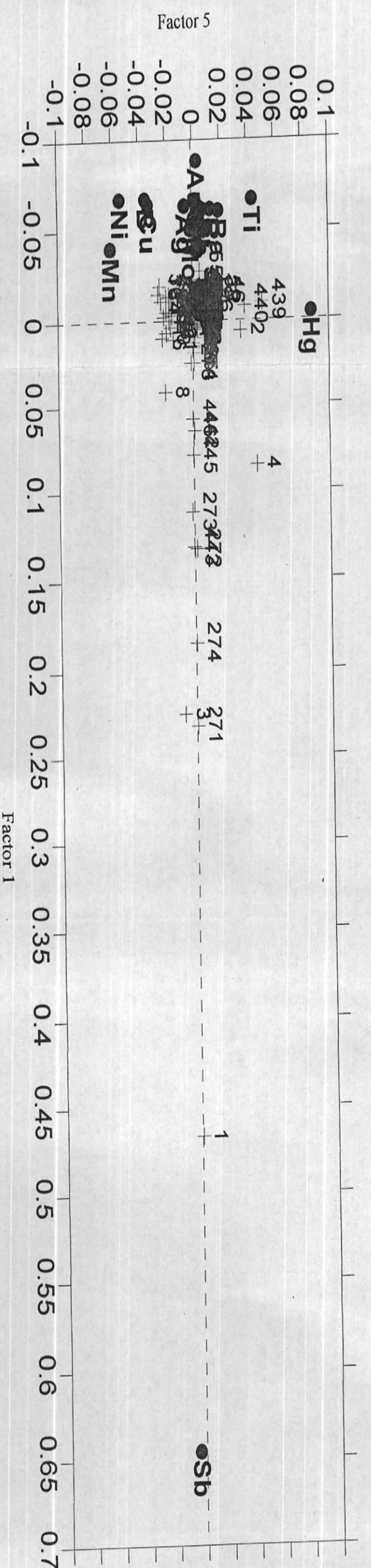


Fig.6-11:Graphical Representation of the Results of Correspondance Analysis for
Geochemical Variables and Associated Samples in Abas abad 1/100,000 Sheet.

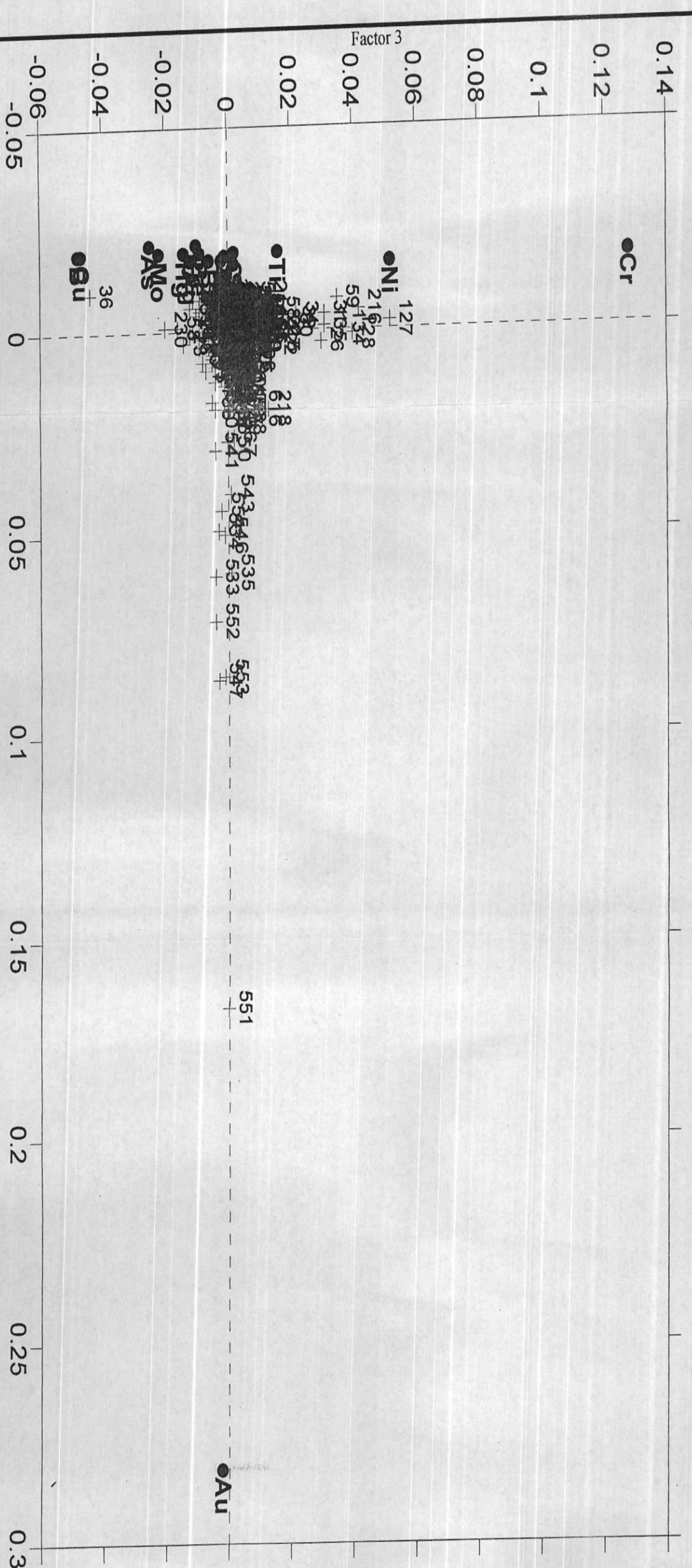


Fig.6-12:Graphical Representation of the Results of Correspondance Analysis for Geochemical Variables and Associated Samples in Abas abad 1/100,000 Sheet.

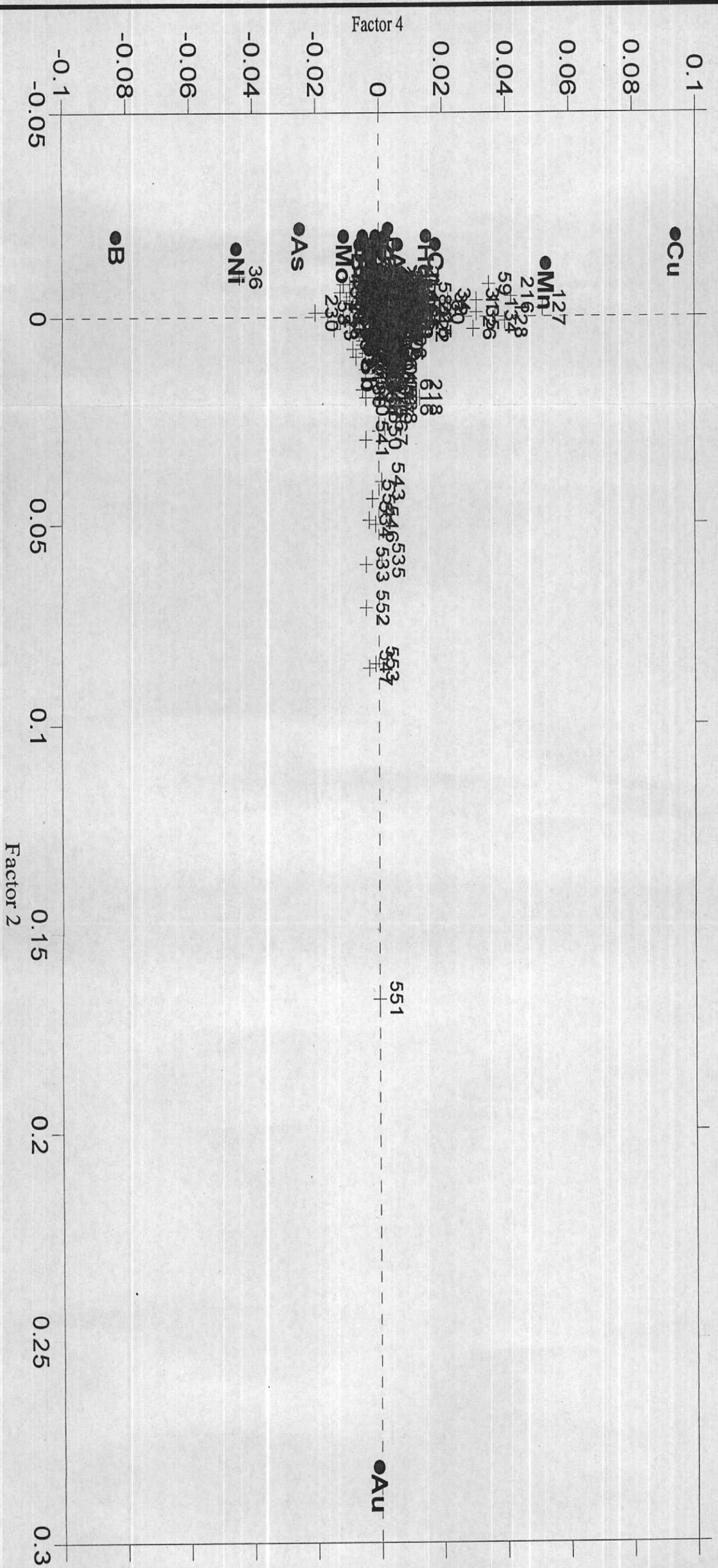


Fig.6-13:Graphical Representation of the Results of Correspondance Analysis for Geochemical Variables and Associated Samples in Abas abad 1/100,000 Sheet.

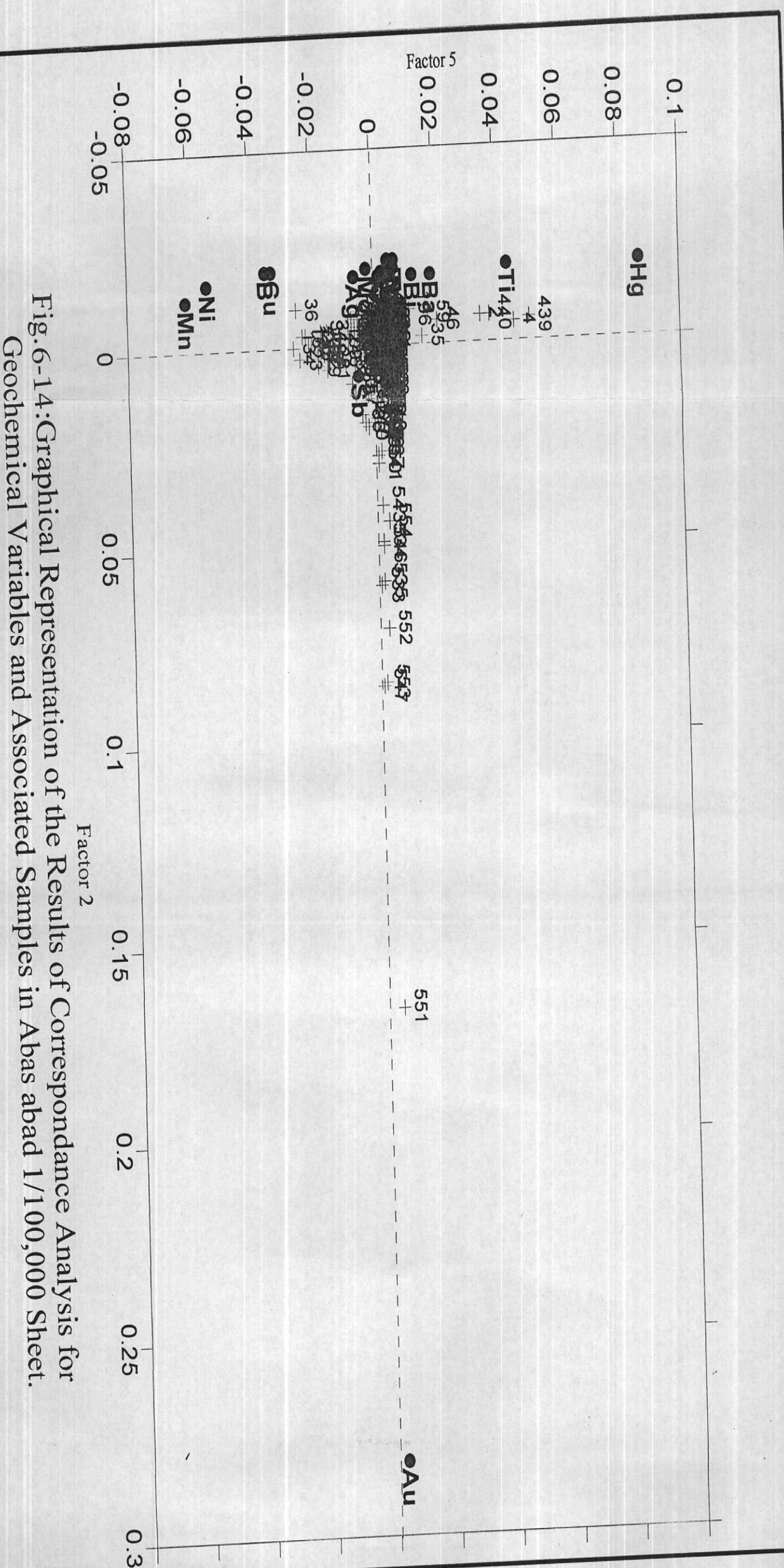


Fig.6-14:Graphical Representation of the Results of Correspondance Analysis for Geochimical Variables and Associated Samples in Abas abad 1/100,000 Sheet.

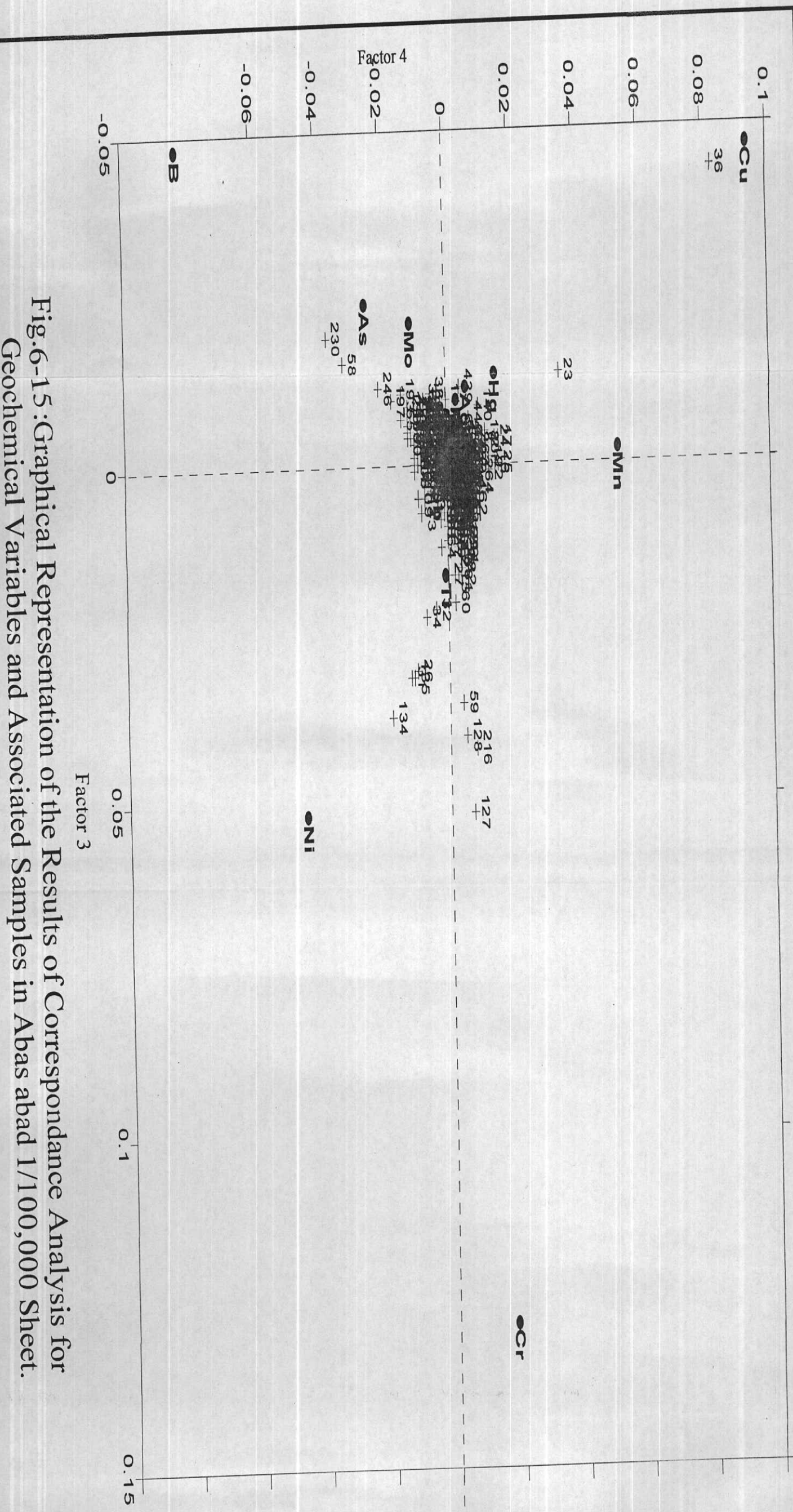


Fig.6-15 :Graphical Representation of the Results of Correspondance Analysis for
Geochimical Variables and Associated Samples in Abas abad 1/100,000 Sheet.

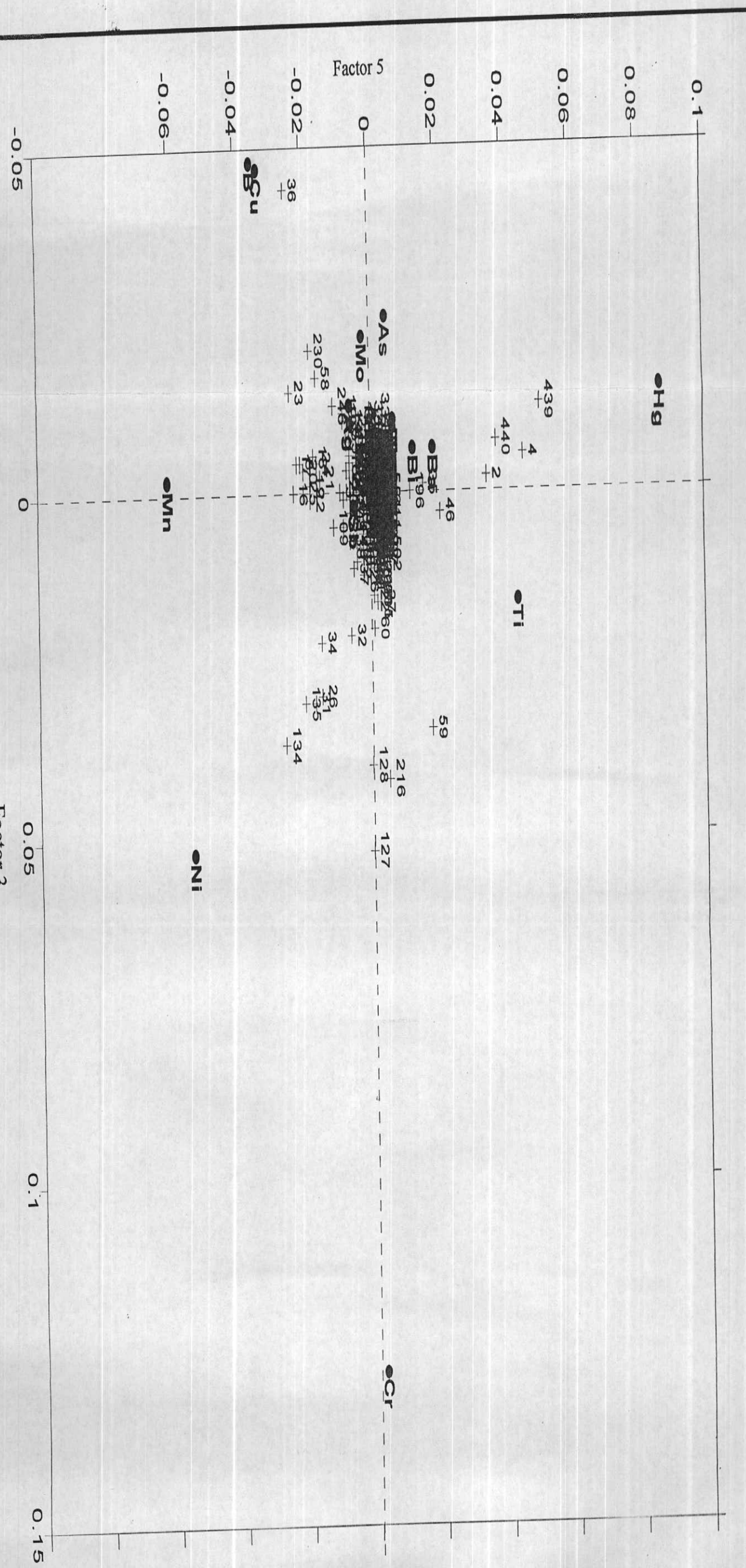


Fig.6-16: Graphical Representation of the Results of Correspondance Analysis for Geochimical Variables and Associated Samples in Abas abad 1/100,000 Sheet.

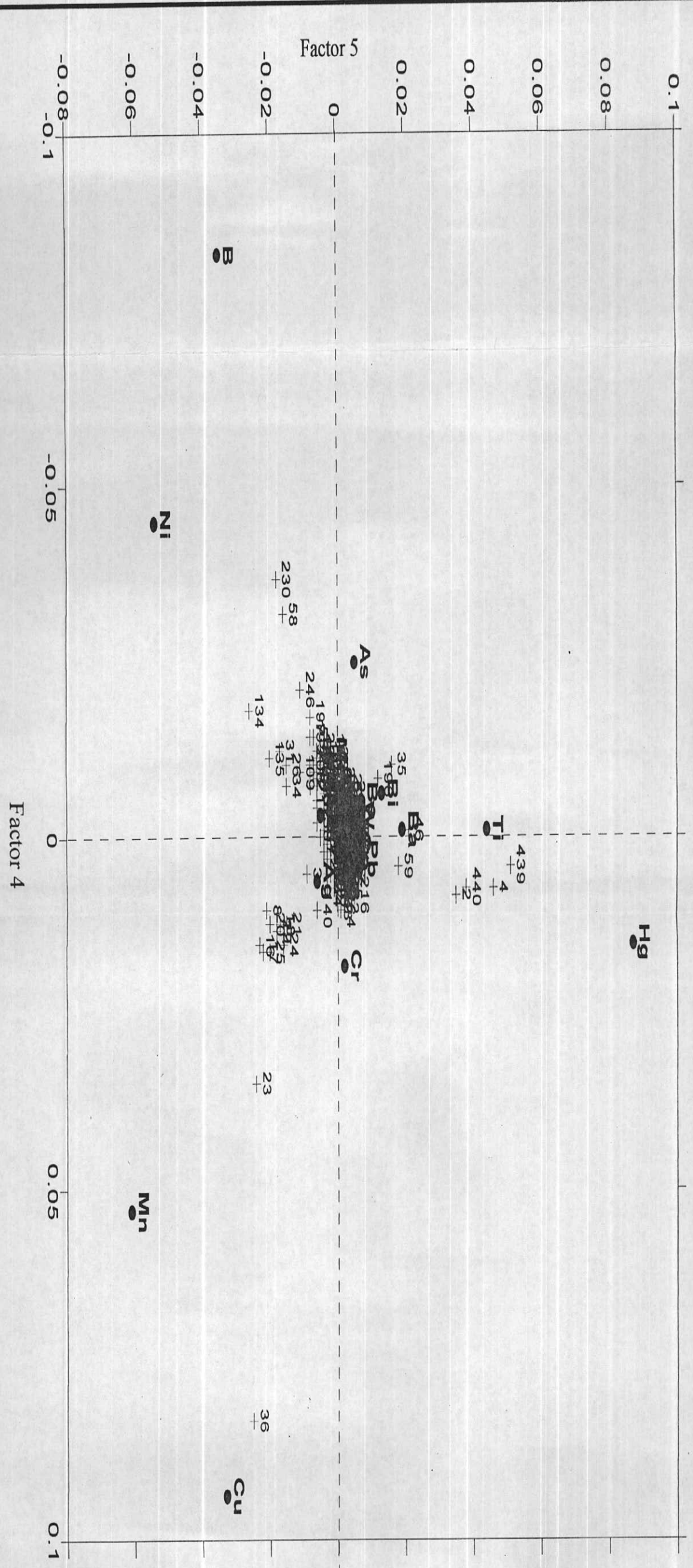


Fig.6-17: Graphical Representation of the Results of Correspondance Analysis for Geochemical Variables and Associated Samples in Abas abad 1/100,000 Sheet.

جدول (۲-۱) : مقایسه نمونه های بدست آمده PN و آنالیز انتطباقی (R مد و Q مد)

Factor1-Factor2					
Anomal Variable : Sb					
Row	Sample No.	Anomaly	EI	1/PN	Paragenesis
1	AA-1	Sb(1)	633.333	14.9	Bi(2), Hg(1), Mn(1), W(1)
2	AK-271	Sb(1)	171.120	14.9	Hg(1), Mo(1)
3	AA-3	Sb(1)	173.5	14.9	Cu(2), Hg(1), Mn(1), Mo(1), Zn(2)
4	AK-274	Sb(1)	115.080	14.9	Hg(2), Mo(1), Mo(2)
5	AK-272	Sb(1)	67.3	14.9	Hg(2), Mo(2)
6	AM-443	Sb(1)	65.725	14.9	Hg(2)
7	AK-273	Sb(2)	51.560	14.9	Mo(2)
8	AA-4	Sb(2)	42.651	14.9	Hg(1)
9	AM-445	Sb(2)	32.3	14.9	
10	AM-442	Sb(2)	24.56	14.9	
11	AM-446		22.64	14.9	
12	AA-8		19.14	14.9	Ag(1), Mn(1), Mo(1)
13	AM-444	Sb(2)	9.920	1.462	
Anomal Variable : Au					
Row	Sample No.	Anomaly	EI	1/PN	Paragenesis
1	AG-551	Au(1)	45	14.9	
2	AM-547	Au(1)	18.841	14.9	
3	AG-553	Au(1)	18.085	14.9	
4	AG-552	Au(1)	14.493	12.281	
5	AM-533	Au(1)	12.381	5.338	Cu(2), Hg(2), Mo(2), Sb(1)
6	AM-535		12.381	5.338	
7	AM-546	Au(1)	10.106	1.949	
8	AM-534		10	1.853	
9	AG-554	Au(2)	8.511	0.880	
10	AM-543	Au(2)	8.298	0.787	
11	AM-541		6.364	0.259	
12	AG-550		5.750	0.175	
13	AG-567	Au(2)	5.761	0.176	
14	AM-538		4.857	0.095	
15	AA-77	Au(2)	4.787	0.090	
16	AK-210		4.574	0.077	
17	AK-218	Au(2)	5.106	0.113	Cr(2)
18	AM-616		4.742	0.087	
19	AM-540	Au(2)	4.545	0.075	
20	AM-545		4.255	0.061	

جدول (۲-۶) : مقایسه نمونه های بدست آمده PN و تالیز انبطباقی (R مد و Q مد)

Factor1-Factor3					
Anomalous Variable : Cr					
Row	Sample No.	Anomaly	EI	1/PN	Paragenesis
1	AA-127	Cr(1)	10.435	14.9	Ba(1)
2	AK-216	Cr(1)	9.348	14.9	
3	AA-128	Cr(1)	7.826	14.9	
4	AA-59	Cr(1)	6.087	12.281	Ti(1)
5	AA-134	Cr(2)	4.174	5.338	Ni(1)
6	AA-135		3.783	5.338	
7	AA-31	Cr(2)	4.068	1.949	Ni(1)
8	AA-26		3.729	1.853	Ni(1)
9	AA-60	Cr(2)	4.394	0.88	
10	AA-34		2.826	0.787	Ni(2)
11	AA-32	Cr(2)	3.559	0.259	Ni(1)
12	AM-581		3.435	0.175	Ti(2)
13	AK-215	Cr(2)	3.304	0.176	Zn(1)
14	AK-222	Cr(2)	3.435	0.095	
15	AK-211	Cr(2)	3	0.09	Zn(2)
16	AA-27		3.729	0.077	
17	AA-120		3.03	0.113	Mn(2), Ti(2), Zn(2), Pb(1)

Factor1-Factor4					
Anomalous Variable : Cu					
Row	Sample No.	Anomaly	EI	1/PN	Paragenesis
1	AA-36	Cu(1)	27.652	14.9	Ag(1), Hg(2), Mo(1), Pb(1)
2	AA-23	Cu(1)	6.783	14.9	Mn(1), Pb(1)
3	AA-17		1.214	0.005	Mn(1)
4	AA-25		1	0.003	Mn(2)
5	AA-140	Cu(1)	3.571	14.9	
6	AA-24		1.148	0.004	Mn(1)
7	AA-19	Cu(1)	1.073	0.003	Mn(1)
8	AK-263	Cu(2)	1.905	0.09	
9	AA-22		0.748	0.002	
10	AG-316	Cu(2)	1.857	0.073	Co(2), Zn(1)
11	AK-264	Cu(1)	1.952	0.111	Co(1), Ti(2)
12	AA-18		1.554	0.020	Mn(1)
13	AG-480	Cu(1)	2.095	0.212	Ti(2)
14	AK-262		1.524	0.017	Co(2)
15	AM-665		1.957	0.113	
16	AM-664		1.804	0.057	
17	AM-404	Cu(2)	1.783	0.052	Pb(1)
18	AG-473		1.643	0.028	
19	AA-141	Cu(2)	1.905	0.090	Ag(2), Be(2)
20	AG-483	Cu(2)	1.929	0.1	

جدول (۲-۶) : مقایسه نمونه های بدست آمده PN و تالیز نطباقی (R مدو مد و Q مدو مد)

Factor1-Factor4					
Anomal Variable : B					
Row	Sample No.	Anomaly	EI	1/PN	Paragenesis
1	AK-230	B(1)	11	14.9	
2	AA-58	B(1)	8.5	14.9	
3	AK-246	B(1)	6	14.9	
4	AK-197	B(2)	4.5	11.265	
5	AK-193	B(1)	4.55	12.556	Ag(2)
6	AA-55	B(2)	3.5	1.163	Sn(1)
7	AK-237	B(2)	3.7	1.861	
8	AK-165	B(2)	3.35	0.813	
9	AA-156	B(2)	3.2	0.566	Be(2)
10	AK-183		2.85	0.239	Be(2)
11	AK-224		3	0.347	
12	AA-56		2.95	0.307	Sn(1)
13	AK-185	B(2)	3.25	0.639	Pb(1), Zn(1)
14	AK-188		2.8	0.211	
15	AK-190	B(2)	3.3	0.721	

Factor1-Factor5					
Anomal Variable : Hg					
Row	Sample No.	Anomaly	EI	1/PN	Paragenesis
1	AM-439	Hg(1)	14.76	14.9	Mo(2)
2	AM-440	Hg(2)	10.42	14.9	
3	AA-2	Hg(1)	10.32	14.9	
4	AA-46		1	0.003	Ti(1)
5	AA-35		1	0.003	Bi(1), W(2)
6	AK-196		1	0.003	Ba(2), Ti(1)
7	AM-418		1	0.003	Bi(2), Pb(1)
8	AA-4	Hg(1)	21	14.900	Sb(1)

Anomal Variable : Mn					
Row	Sample No.	Anomaly	EI	1/PN	Paragenesis
1	AA-23	Mn(1)	6.471	14.9	Cu(1), Pb(1)
2	AA-36		1.235	0.005	Ag(1), Hg(2), Mo(1)
3	AA-25	Mn(2)	7.188	14.9	
4	AA-17	Mn(1)	7.656	14.9	
5	AA-24	Mn(1)	6.324	14.9	
6	AA-19	Mn(1)	5.735	14.9	
7	AA-22		6.324	14.9	
8	AA-16	Mn(2)	7.647	14.9	
9	AA-20	Mn(1)	6.912	14.9	
10	AA-18	Mn(1)	5.938	14.9	
11	AA-140		1.455	0.009	Cu(1)
12	AM-664		1.517	0.010	
13	AA-147	Mn(2)	1.709	0.018	
14	AK-263		1.327	0.006	Cu(2)
15	AK-264		1.455	0.009	Cu(1), Co(1)
16	AG-316		1.191	0.004	Co(2), Cu(2), Zn(1)
17	AM-647		1.255	0.005	
18	AA-21	Mn(1)	5.588	14.900	
19	AM-665		1.197	0.004	
20	AG-480		1.455	0.009	Cu(1), Ti(2)

۵- رسم نقشه توزیع شاخص غنی‌شدنگی هر یک از عناصر و معرفی مناطق آنومالی مقدماتی (موضوع بخشی از بند ۵-۸ شرح خدمات)

نقشه تک متغیره توزیع شاخص غنی‌شدنگی کلیه متغیرهای ژئوشیمیابی با توجه به اهمیت آنها رسم گردیده تا به همراه نقشه‌های چند متغیره در کنترل آنومالی‌ها به کار رود.

برای رسم نقشه توزیع متغیرهای مختلف قبل از مرحله کنترل آنومالی‌ها، محدوده‌های یک درصد بالای فراوانی به عنوان مناطق درجه اول و بین ۱ تا ۲/۵ درصد فراوانی، به عنوان مناطق درجه دوم انتخاب گردیده تا از کنترل آنومالی‌ها روی آنها انجام شود. در شروع مرحله کنترل آنومالی‌ها پس از پردازش داده‌ها و آنالیز چند متغیره اقدام به رسم چهار تیپ نقشه شده است که شامل موارد زیر است (این نقشه‌ها اساس انتخاب مناطق امیدبخش مقدماتی را تشکیل می‌دهند):

الف) نقشه امتیازات فاکتوری (چند متغیره)

ب) نقشه امتیازات فاکتوری PCA

ج) نقشه شاخص غنی‌شدنگی

د) نقشه عکس حاصل‌ضرب احتمال رخدادها در تعداد نمونه‌ها ($\frac{1}{PN}$)

۵- نقشه امتیازات فاکتوری (چند متغیره) (شکل ۱۸-۶)

(مطابق بند ۳-۸ شرح خدمات)

برای رسم این نقشه، (۱) روی مقادیر شاخص غنی‌شدنگی آنالیز فاکتوری انطباقی (R) و (۲) مدد (۵) فاکتور انجام گرفت. (۲) با مقادیر بدست آمده از این آنالیز (امتیازات فاکتوری)، تشکیل یک ماتریس داده و روی آن‌ها پس از آنالیز ویژگی [۸] تخمین شبکه‌ای صورت گرفت (۳) مقادیر ۱٪ و ۲/۵٪ بالا به عنوان نقاط امیدبخش مقدماتی انتخاب گردید.

۶- نقشه امتیازات فاکتوری PCA (شکل ۱۹-۶)

برای رسم این نقشه ابتدا روی مقادیر شاخص غنی‌شدنگی آنالیز فاکتوری PCA انجام داده و ۸ فاکتور انتخاب گردید. سپس روی داده‌های بدست آمده از این آنالیز تخمین شبکه‌ای صورت گرفت. مقادیر ۱٪ و ۲/۵٪ بالا به عنوان نقاط امیدبخش مقدماتی انتخاب گردید. جدول (۳-۶) نتایج آنالیز فاکتوری PCA را نشان می‌دهد. مدل ۸ فاکتوری بدست آمده از این

آنالیز توانسته است ۶۴٪ تغییرپذیری را توجیه کند. در این جدول ضریب مربوط به هر متغیر که میزان تأثیرگذاری آن متغیر در هر فاکتور را نشان می دهد، مشخص شده است. در هر فاکتور بعضی عناصر نقش بازتری دارند. برای مثال در فاکتور یک عناصر As، B و Mo شاخص ترمی باشند. به همین ترتیب در فاکتور دو عناصر Sb و Hg، در فاکتور سه عنصر Mn، در فاکتور چهار عناصر Cu، Ag و Zn، در فاکتور پنج عناصر Ni و Co، در فاکتور شش عنصر Cr، در فاکتور هفت عنصر Pb در فاکتور هشت عنصر W شاخص می باشند. در فاز کتترلی آنومالی ها مناطق امیدبخش معروفی شده در نقشه بدست آمده از این فاکتورها، کترل گردید.

۳-۵- نقشه شاخص غنی شدگی (شکل ۲۰-۶)

برای رسم این نقشه ابتدا مقادیر شاخص غنی شدگی مورد تخمین شبکه ای قرار گرفت، سپس مقادیر نظیر ۱٪ بالا به عنوان مناطق امیدبخش مقدماتی معرفی گردید.

۴-۵- نقشه عکس حاصل ضرب احتمال رخدادها در تعداد نمونه ها (شکل ۲۱-۶) (۱/PN)

برای رسم این نقشه الف: برای هر متغیر، جامعه مربوط به آن نرمال استاندارد شد. ب: احتمال پیدایش هر مقدار در آن جامعه محاسبه و براساس آن مقادیر $1/PN$ هر عنصر در هر نمونه بدست آمد. ج: براساس مقادیر $1/PN$ و بوسیله تکنیک تخمین شبکه ای، نقشه مربوطه ترسیم گردید. مقادیر ۱٪ و ۲٪ بالا به عنوان مناطق امیدبخش مقدماتی انتخاب گردید. در مجموع مناطق آنومالی امیدبخشی که توجیه کترل در این فاز را دارند مساحتی حدود ۴۲ کیلومتر مربع را می پوشانند که مساحت های آنها به ترتیب در هر یک از بزرگهای ۱/۵۰، ۱۰، ۲۳، ۵ و ۱ کیلومتر مربع می باشد.

جدول (۳-۶) : نتایج آنالیز فلکتوری بر اساس مقادیر نرمال شلخض غنی‌شده در برآمده ۱/۱۰۰۰۰۰ علی‌آباد.

Variable	Component							
	Factor1	Factor2	Factor3	Factor4	Factor5	Factor6	Factor7	Factor8
Au	0.0691	-0.333	0.348	0.281	-0.04254	0.224	-0.273	0.317
B	0.759	-0.04095	-0.03275	0.13	0.04059	-0.199	-0.03982	-0.04932
Cu	-0.07066	0.07288	0.151	0.643	-0.05215	-0.04894	0.01999	0.03499
Pb	0.06247	-0.03749	0.08867	-0.00209	-0.157	-0.07558	0.831	0.0194
Zn	-0.0173	-0.01445	-0.08775	0.561	0.281	0.01307	0.45	0.09896
Ag	0.374	-0.03102	-0.04047	0.65	0.06399	0.04842	-0.05209	-0.123
Sn	0.252	-0.02936	-0.00535	0.182	0.276	0.486	0.361	-0.146
W	-0.01018	0.08688	-0.07861	0.06692	-0.03902	0.01125	-0.0835	0.77
Mo	0.535	0.414	0.115	0.154	0.137	-0.01764	0.147	0.234
Hg	0.01649	0.86	0.03275	0.102	-0.04291	0.05267	-0.02557	0.126
Co	-0.513	0.003323	-0.00119	0.104	0.592	-0.245	0.109	0.208
Ni	0.261	-0.0922	0.08952	0.0443	0.585	0.196	-0.393	0.05769
Be	-0.00637	0.04911	-0.05275	0.0847	-0.02208	-0.705	0.07321	-0.07337
Mn	-0.188	0.202	0.837	0.218	0.02958	0.07189	0.135	-0.05865
Ti	-0.205	-0.165	-0.841	0.05386	-0.167	0.06259	0.04125	0.09198
Ba	-0.02382	-0.00887	-0.111	0.008623	-0.778	-0.139	0.02464	0.127
Cr	-0.378	0.06931	-0.06602	0.08401	0.09523	0.702	-0.107	-0.06983
As	0.57	0.02908	0.05422	-0.204	-0.01484	0.04452	0.176	0.479
Sb	0.01139	0.818	0.346	-0.0939	-0.02656	-0.07117	-0.0452	-0.02914
Bi	0.07242	0.0553	-0.118	-0.412	0.0279	-0.107	0.272	0.472

Abas Abad (7262)

AM

55° 45'

AA

56° 00'



LEGEND

Min. <	< 9.50
9.50 <	< 9.64
9.64 <	< 9.73
9.73 <	< 9.89
9.89 <	< Max.



0 5000 10000 m

Scale 1/100,000

Coordinate System UTM (Hayford 1959)

MINISTRY OF MINES & METALS
GEOLOGICAL SURVEY AND MINERAL
EXPLORATION OF IRAN

Distribution Grid Map of Characteristic Scores

Based on Correspondence Analysis of El

Coastal Co: Towsheh Ghame Zamini

Scale=1:100,000 Date April 2002

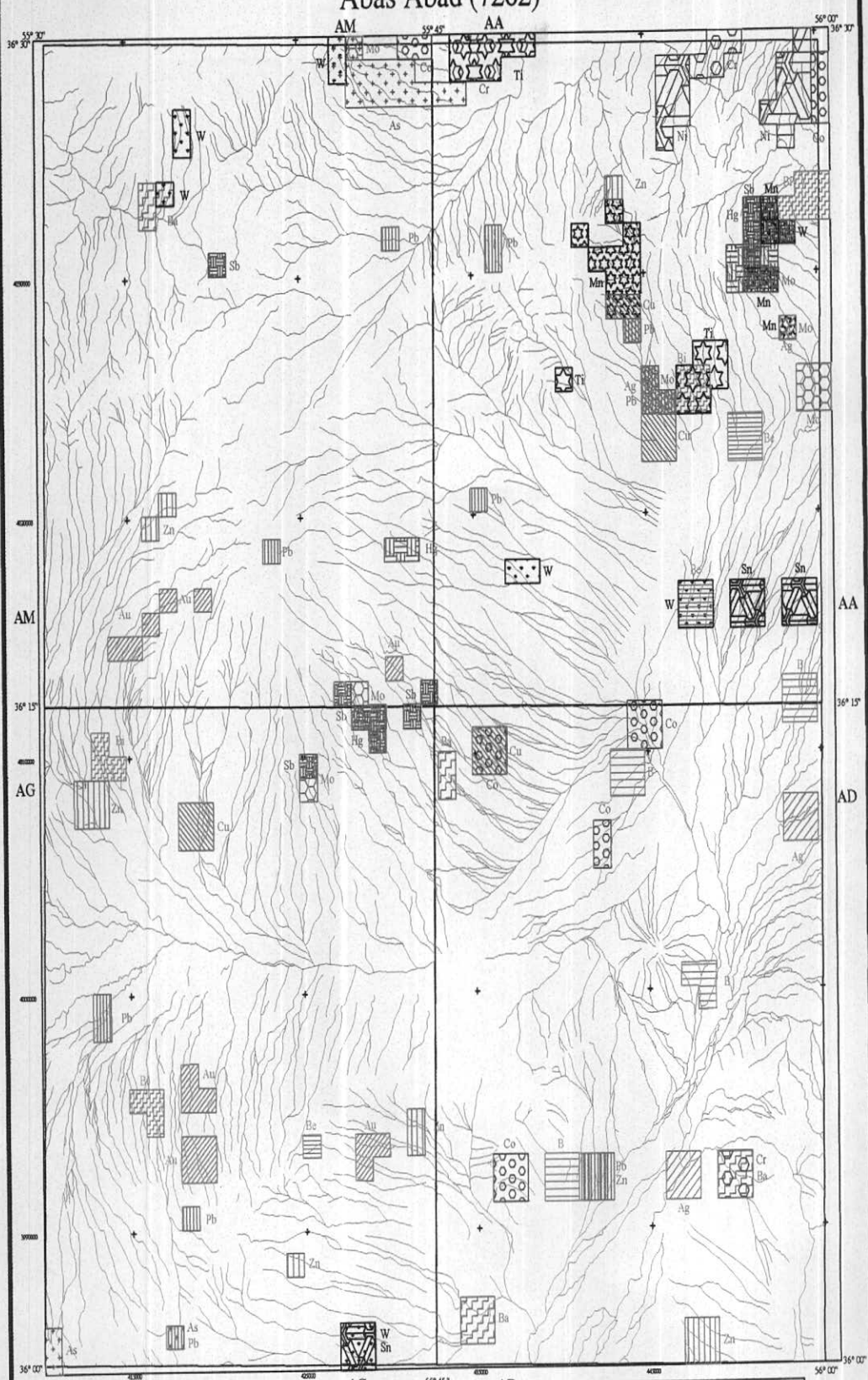
Fig. 6 - 18

Abas Abad (7262)



Fig. 6 - 19

Abas Abad (7262)



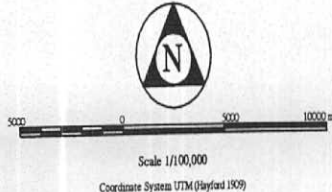
LEGEND

Geochemical Variables

As	Cr	Pb	Sb	Se
Ag	Mn	Zn	Sn	Si
Ba	Hg	Co	V	Al
Bi	Mo	Cr	Ni	W
Cu	Pb	As	W	Sn

Road
Populated Area

Drainge



Scale 1/100,000
Coordinate System UTM (Hayford 1909)

MINISTRY OF MINES & METALS
GEOLOGICAL SURVEY AND MINERAL EXPLORATION OF IRAN

Distribution Grid Map of All Enrichment Index of (> 99% f.)

Consul. Co: Towseh Olume Zamim

Scale 1:100,000 Date April 2002

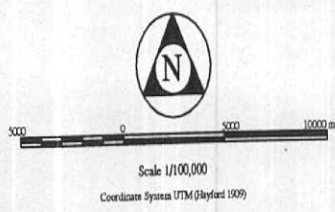
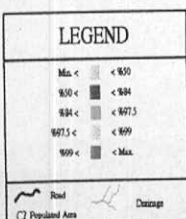
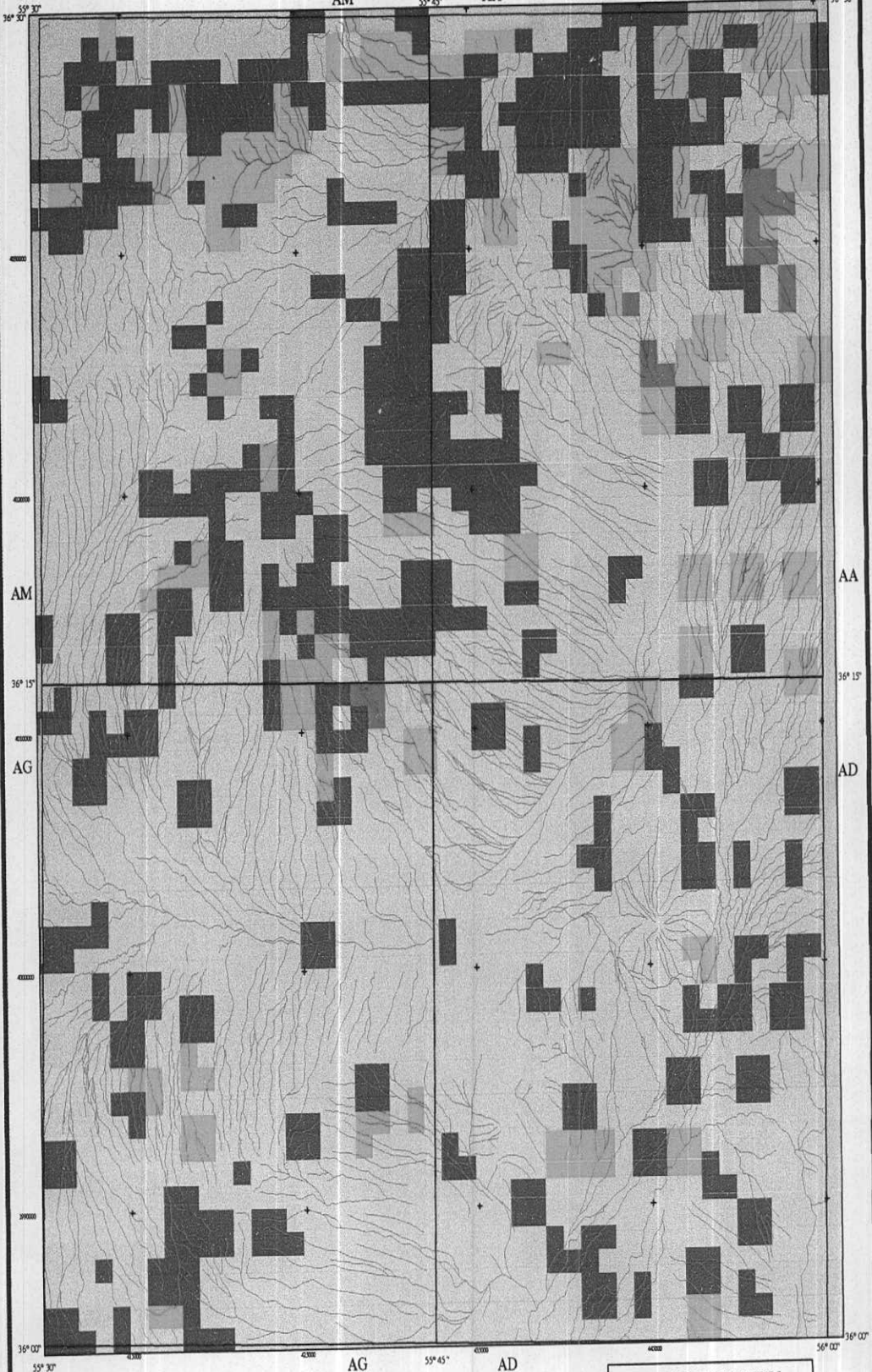
Fig. 6 - 20

Abas Abad (7262)

AM 55° 45' AA

56° 00'

36° 30'



MINISTRY OF MINES & METALS	
GEOLOGICAL SURVEY AND MINERAL EXPLORATION OF IRAN	
Distribution Grid Map of Probability of Occurrence of Total Enrichment Index (T/PI)	
Consul.Co: Towsheh Chame Zamini	
Scale=1:100,000	Date April 2002

Fig. 6 - 21

فصل هفتم

فاز کنترل آنومالیهای ژئوشیمیایی

(موضوع بند ۹ شرح خدمات)

۱- مقدمه

در بررسیهای اکتشافی در مقیاس ناحیه‌ای که به منظور کشف هاله‌های ثانوی کانسارهای احتمالی انجام می‌پذیرد، معمولاً ابتدا منطقه وسیعی تحت پوشش اکتشاف ژئوشیمیایی قرار می‌گیرد. این عملیات منجر به کشف آنومالیهای ظاهری موجود در محیط‌های ثانوی (رسوبات آبراهه‌ای) می‌گردد. از آنجاکه در روش‌های ژئوشیمیایی هر عنصر مستقیماً مورد اندازه‌گیری قرار می‌گیرد، توجهی به فاز پیدایش آن نمی‌شود از این رو هاله‌های ثانوی کشف شده نمی‌توانند همیشه معرف کانی سازی باشند. بنابراین برای تعریف آنومالی‌های واقعی که در ارتباط با پدیده‌های کانی سازی بوده و دارای مؤلفه اپی ژئوتکنیک قابل ملاحظه‌ای می‌باشند از مؤلفه‌های دیگر که معمولاً در ارتباط با پدیده‌های سنگ زایی شرکت نمی‌نمایند (مؤلفه سنتزیک) باید به کنترل آنها پرداخت. روش کار شامل بررسی مناطق دگرسان شده، زونهای میزالیزه احتمالی، سیستم‌های پلیمینگ و بالاخره، مطالعه نمونه‌های کانی سنگین در محدوده آنومالی‌های مقدماتی است. در بین روش‌های مختلف نوع مطالعات کانی سنگین بعنوان روشی که در آن فاز پیدایش یک عنصر مورد مطالعه قرار می‌گیرد، می‌تواند مفید واقع شود. بدیهی است پیدایش یک عنصر در فازهای مختلف ارزش اکتشافی متفاوتی دارد و برای پی‌بردن به تاییجی که از آنالیز کانیهای سنگین بدست می‌آید، می‌توان هاله‌های ثانوی را به دو نوع تقسیم نمود که عبارتند از: هاله‌های ثانوی مرتبط با کانی سازی و هاله‌های ثانوی مرتبط با پدیده‌های سنگ زایی. در مورد هاله‌های ثانوی مرتبط با کانی سازی، کانیهای مستقل یک عنصر معمولاً در جزء سنگین (تصویر فاز مستقل) یافت می‌شود، ولی در مورد هاله‌های ثانوی مرتبط با پدیده‌های سنگ زایی، پیدایش یک عنصر معمولاً بصورت ترکیب محلول جامد در ساختمان شبکه همراه با عناصر دیگر است. البته این حالت ممکن است استثناء نیز

داشته باشد. بدینه است تحرک یک ذره کانی سنگین نسبت به تحرک یک یون بسیار کمتر است. لذا هاله های ژئوشیمیایی ثانوی می توانند بمراتب بزرگتر از هاله کانی سنگین مربوط به همان عنصر باشند. بدین لحاظ برداشت نمونه های کانی سنگین در محدوده هاله های ژئوشیمیایی، می تواند مفید واقع شود. در این پژوهه برداشت نمونه های کانی سنگین بعنوان روشی برای کترول آنومالیها و جدا کردن انواع مرتبط با کانی سازی از سایر انواع، صورت پذیرفته است. از آنجاکه برداشت نمونه های کانی سنگین فقط محدود به مناطق آنومالی های مقدماتی است، لذا با سقف 100×100 نمونه کانی سنگین در یک برگ $1:100,000$ با مساحتی حدود 2500 کیلومتر مربع، روش کانی سنگین به عنوان یک روش مستقل به حساب نمی آید.

۲- ردیاب های کانی سنگین

ارزش مشاهدات مربوط به کانی های سنگین، بدان جهت که این کانیها جزو کانیهای فرعی سازنده سنگ هستند و ممکن است در مناطق غیرکانی سازی نیز یافت شوند، به اندازه عناصر ردیاب نمی باشد ولی می توانند بعنوان مصروفی برای تعیین دهیط و سنگ مناسب که احتمال وقوع کانی سازی در آن هست بکار روند در زیر به عنوان مثال چند ورد ذکر می شود:

۱- طلا: حضور طلا در بخش تغليظ یافته کانی سنگین می تواند دلالت بر وجود مناطق اميدبخش باشد، ولی نبود آن بعلت خطای زیاد وابسته به نمونه برداری و آنالیز اين روش ممکن است نتيجه عکس نداشته باشد.

۲- کرومیدت: از آنجاکه رخمنون سنگهای بالادست بعضی از نمونه های برگه عباس آباد را کمپلکس افیولیتی سبزوار تشکیل می دهد و از طرفی کانسارهای کروم خودشان هاله ژئوشیمیایی نمی دهند، هاله های کانی سنگین آنها اهمیت پیدا می کند.

۳- تورمالین: وجود تورمالین در بسیاری از کانسارهای هیپوژن عناصر All ، Cu ، Sn و W گزارش شده است. از آنجاکه ابعاد هاله پراکندگی آن در سنگ های متاسوماتوز شده، استوک ورک ها و هاله های ثانوی مانند رسوبات رودخانه ای غالباً بیشتر از ابعاد توده های معدنی وابسته به آن ها است، کاربرد آن به عنوان ردیاب

اکتشافی سودمند می باشد. تورمالین در سنگهای بسیاری از قبیل نفوذی و خروجی، دگرگونی و دگرسان شده از نوع پروپیلیتی، کوارتز سریستی و کوارتز - تورمالین یافته می شود. زون های برشی، استوک ورکی و رگه های معدنی نیز ممکن است تورمالین داشته باشند. شاخص تربین گونه های تورمالین عبارتند از: ۱- تورمالین ریز دانگ پریده، تا سبز مایل به قهوه ای در توده های متاسوماتوز شده کوارتز - سریست و کوارتز - تورمالین. ۲- تورمالین های سبز مایل به قهوه ای تا سیاه در زون های شبیه برشی کوارتز - تورمالین. ۳- تورمالین های قهوه ای تا سیاه با بافت شعاعی و ساخت آشیانه ای. ۴- تورمالین های قهوه ای و سیاه در رگه های معدنی تأخیری (پسین)، رگچه ها و کانسارهای پراکنده که معمولاً همراه کوارتز، پیریت، کالکوپیریت، منیتیت و سایر کانی های کانساری یافت می شوند.

۴-۲- شکلیت: بالا بودن احتمال پیدایش ذخایر طلا در کمربندهای سبز امری شناخته شده است. یکی از زوئش های اکتشافی در این گونه مناطق تمرکز عملیات اکتشافی روی کانی ردیاب، شنلیت می باشد. همراهی قابل ملاحظه طلا و شنلیت در کمربندهای سنگ سبز در نقاط مختلف دنیا گزارش شده است. البته همراهی طلا با تورمالین قوی تر از همراهی آن با شنلیت است.

۵-۲- منیتیت: در رخساره شیست سبز که در دگرگونی قهقرایی پوسته اقیانوسی حاصل می شود زوئنهای برشی توسعه پیدا می کنند که از نظر پتانسیل طلا با اهمیت هستند. کانه منیتیت آنها در کنستاتر کانی سنگین برای آنالیز طلای محلول در منیتیت ردیاب خوبی است.

۳- بزرگی هاله های کانی سنگین

توسعه هاله های کانی سنگین (بطرف پایین دست ناحیه منشأ) تابع عوامل زیر است:

۱- ترکیب و بزرگی رخنمون در ناحیه منشأ. ۲- تغییرات شیمیایی که در ناحیه منشأ رخ می دهد: بعضی از کانیها در مقابل فرسایش شیمیایی مقاوم و بعضی نامقاوم اند. این امر در خرد شدن کانیها و مسافت حمل و نقل آنها بسیار مؤثر است. ۳- خواص مکانیکی کانیها و

تفییرات مکانیکی در محیط انتقال و رسوبگذاری: بعضی از کانیها در مقابل فرسایش مکانیکی مقاوم و بعضی نامقاوم بوده و خرد می‌شوند. تعدادی از این عوامل بستگی به شرایط آب و هوایی و ژئومورفولوژی محیط دارد. بدین جهت مساحت‌های حمل و نقل گزارش شده برای کانه‌های مختلف متفاوت می‌باشد. برای مثال در مورد طلا و ولفرامیت هاله‌های بطول چند ده کیلومتر ثبت گردیده است، در مواردیکه رخمنون کوچک و یا شیب توپوگرافی در آبراهه‌ها کم باشد، این فواصل ممکن است تا چند کیلومتر کاوش باید. در چنین مواردی ممکن است مقدار بعضی از کانیهای سنگین در رسوبات در یک کیلومتر اول مسیر تا ۹۰ درصد کاوش باید. بنابراین بهتر است محل نمونه‌های کانی سنگین از منع احتمالی آن چندان دور نباشد. در برگه ۱:۱۰۰،۰۰۰ عباس آباد انتخاب محل نمونه‌های کانی سنگین به نحوی صورت گرفته است که حتی الامکان اثر کانی سازی‌های احتمالی موجود در منطقه در این نمونه‌ها منعکس گردد.

۴- شرح موقعیت محدوده آنومالی (مقدماتی)

(موضوع بخشی از بند ۸-۵ شرح خدمات)

در این قسمت به تصریح مناطق آنومالی عناصر مختلف (یک عنصری) به ترتیب حروف انگلیسی (از A تا Z) و برداشت نمونه‌های فاز کنترل آنومالی به تفکیک برای هر برگه ۱:۵۰،۰۰۰ می‌پردازم. در این قسمت برای هر منطقه مساحت آنومالی‌های درجه یک و درجه دو عنصر مربوطه از نقشه تخمین ضریب غنی شدگی همان عنصر مشخص شده است. (اشکال ۷-۱ تا ۷-۵) همچنین هر محل با شماره‌ای مشخص شده است که با شماره‌ای که در مدل سازی استفاده شده است یکی می‌باشد.

آنومالی‌های عنصر نقره «Ag»

برگه ۱:۵۰،۰۰۰ عباس آباد

منطقه یک کیلومتری شمال شرق عباس آباد

این منطقه دارای مساحتی در حدود ۳ کیلومتر مربع آنومالی درجه یک می‌باشد.

واحدهای سنگی این منطقه عبارتند از سنگهای رسوبی تخریبی، سنگهای رسوبی تخریبی - شیمیایی، ولکانیکهای تیپ اشباع شده، سنگهای آذرآواری و ولکانیکهای اسیدی. از آنها که

در بازدیدهای صحرایی منشاء آنومالی معادن موجود در بالادست تشخیص داده شده است، لذا نمونه های کانی سنگین و میزرازیه از محل منشاء احتمالی آن در بالادست (محدوده آنومالی شماره ۴۵) برداشت شده است. آنومالی های Mo , Cu و Pb نیز در این محل وجود دارند.

منطقه نه کیلومتری شمال شرق عباس آباد

این منطقه دارای مساحت تقریبی یک کیلومتر مربع آنومالی درجه یک می باشد. در بالادست این منطقه سنگهای رسوی تخربی - شیمیابی رخنمون دارند. از آنجا که در بازدیدهای صحرایی منشاء این آنومالی، معادن موجود در بالادست تشخیص داده شده است، لذا نمونه های کانی سنگین و میزرازیه از محل منشاء احتمالی آن در بالادست (محدوده آنومالی شماره ۴۴) برداشت شده است. علاوه بر آنومالی Ag عناصر Mo و Mn نیز در این محل آنومالی نشان می دهند.

برگه ۱: کوه دوشاخ

منطقه ده کیلومتری جنوب کوه دوشاخ

مساحت آنومالی درجه یک در این منطقه حدود ۴ کیلومتر مربع می باشد. این منطقه درون آبرفت قرار دارد. نمونه کانی سنگین به شماره AKI87H از این محل برداشت شده است.

آنومالی های عنصر آرسنیک «AS»

برگه ۱: عباس آباد

آنومالی شماره A1 (هجدۀ کیلومتری شمال غرب عباس آباد)

این منطقه دارای مساحت تقریبی ۲ کیلومتر مربع آنومالی درجه یک می باشد. سنگهای بالادست این منطقه عبارتند از: سنگهای رسوی تخربی، سنگهای رسوی تخربی - شیمیابی، ولکانیکهای اسیدی و ولکانیکهای تپ اشباع شده. از این محدوده دو نمونه کانی سنگین به شماره های AA59H و AA61H و دو نمونه میزرازیه به شماره های AA61A و AA61M برداشت شده است. در محدوده این آنومالی علاوه بر عنصر As، عناصر Cr و Ti نیز

آنومال می باشد که اهمیت منطقه را بیشتر می کند.

برگه ۱:۵۰،۰۰۰ غزاران

منطقه یازده کیلومتری جنوب طاهرآباد

این منطقه دارای مساحتی در حدود یک کیلومتر مربع می باشد. سنگهای موجود در بالادست این منطقه شامل سنگهای رسوبی تخریبی، سنگهای رسوبی تخریبی - شیمیایی و سنگهای تیپ شیست می باشد. یک نمونه کانی سنگین به شماره $AG295H$ و یک نمونه میزآلیز به شماره $AG295M$ از این محدوده برداشت شده است. در این محل آنومالی Pb نیز وجود دارد.

منطقه نه کیلومتری جنوب طاهرآباد

مساحت آنومالی درجه یک ارسنیک در این منطقه حدود ۲ کیلومتر مربع می باشد.

سنگهای رسوبی تخریبی - شیمیایی در بالادست این محدوده رخنمون دارند. از این نمونه کانی سنگین $AG285H$ و چهار نمونه میزآلیز به شماره های $AG285M1$, $AG285M2$, $AG285M3$, $AG285M4$, $AG285M5$ برداشت شده است.

برگه ۱:۵۰،۰۰۰ میاندشت

آنومالی شماره A13 (پانزده کیلومتری شمال شرق میاندشت)

این منطقه دارای مساحت تقریبی ۱۲ کیلومتر مربع آنومالی درجه یک می باشد.

سنگهای بالادست این منطقه عبارتند از: سنگهای رسوبی تخریبی، سنگهای آذرآواری، ولکانیکهای تیپ اشباع شده و ولکانیکهای اسیدی. ۶ نمونه کانی سنگین به شماره های $AM339H$, $AM338H$, $AM337H$, $AM334H$, $AM333H$, $AM331H$, $AM338M2$, $AM338M1$, $AM331M3$, $AM331M2$, $AM331M1$, $AM338M4$ و Co , W , Mo از این محدوده برداشت شده است. آنومالیهای $AM338M3$ ، نیز در این محدوده وجود دارند که اهمیت منطقه را بیشتر می کند.

آنومالی‌های عنصر آرسنیک «Au»

برگه ۱:۵۰،۰۰۰ غزاران

آنومالی شماره A6 (ده کیلومتری جنوب شرق دستجرد)

این منطقه دارای مساحت تقریبی ۳ کیلومتر مربع آنومالی درجه یک می‌باشد. در این محدوده سنگهای اولترامافیک، سنگهای تیپ شیست و گرانیت - گنایس رخنمون دارند. ۲ نمونه کانی سنگین به شماره‌های *AG380H* و *AG551H* و پنج نمونه میزرازه به شماره *AG380M1*، *AG380M2*، *AG380M3*، *AG380M4* و *AG380M5* از این محدوده برداشت شده است. آنومالی *Be* نیز در این محل وجود دارد که اهمیت منطقه را بیشتر می‌کند.

آنومالی شماره A7 (شش کیلومتری جنوب دستجرد)

این منطقه دارای مساحت تقریبی ۷ کیلومتر مربع آنومالی درجه یک می‌باشد. در بالادست این محدوده سنگهای رسوبی تخریبی شیمیابی، سنگهای اولترامافیک، ولکانیکهای تیپ اشباع شده و گرانیت - گنایس قرار دارد. ۲ نمونه کانی سنگین به شماره‌های *AG552H1* و *AG552H2* و ۲ نمونه میزرازه به شماره‌های *AG552M1* و *AG552M2* از این محدوده برداشت شده است.

برگه ۱:۵۰،۰۰۰ میاندشت

آنومالی شماره A9 (سیزده کیلومتری جنوب غرب کلاته فرهنگ)

این منطقه دارای مساحت تقریبی یک کیلومتر مربع آنومالی درجه یک می‌باشد. در بالادست این محدوده ولکانیکهای تیپ اشباع شده و سنگهای آذراواری وجود دارند. از این منطقه ۳ نمونه کانی سنگین به شماره‌های *AM533H*، *AG272H*، *AK267H* و هفت نمونه میزرازه به شماره‌های *AM600P*، *AM533P1*، *AM533P2*، *AM533P3*، *AM533P4*، *AM272P* و *AK267M* برداشت شده است. علاوه بر عنصر *Au* عنصر *Sb* نیز در این محدوده آنومال می‌باشد.

آنومالی شماره A11 (پانزده کیلومتری جنوب میاندشت)

این منطقه دارای مساحتی در حدود ۵ کیلومتر مربع آنومالی درجه یک می‌باشد.

سنگهای موجود در بالادست این محدوده شامل سنگهای رسوبی تخریبی - شیمیایی، ولکانیکهای تیپ اشباع شده و سنگهای آذرآواری می باشد. از این منطقه نمونه کانی سنگین به شماره های $AM576H3$, $AM576H2$, $AM576H1$, $AM546H0$, $AM546H$, $AM547H$, $AM546M2$, $AM546M1$, $AM576H4$, $AM576H5$ و $AM576HM$ برداشت شده است.

آنومالی عنصر بُر «B»

برگه ۱۵۱، ۱۰۰: عباس آباد

منطقه پانزده کیلومتری جنوب شرق کلاته فرهنگ

این منطقه دارای مساحتی در حدود ۴ کیلومتر مربع آنومالی درجه یک می باشد که درون آبرفت قرار دارد. به دلیل اهمیت کمتر این آنومالی و محدودیت در تعداد نمونه ها، هیچ نمونه کانی سنگین و میزرازیه ای از آن برداشت نشده است.

برگه ۱۵۱، ۱۰۰: کوه دو شاخ

منطقه هفت کیلومتری شمال کوه دو شاخ

این منطقه دارای مساحت تقریبی ۴ کیلومتر مربع آنومالی درجه یک می باشد که در درون آبرفت قرار دارد. یک نمونه کانی سنگین به شماره $AK230H$ از این محدوده برداشت شده است.

منطقه دو کیلومتری جنوب شرق کوه دو شاخ

این منطقه دارای مساحت تقریبی در حدود ۳ کیلومتر مربع آنومالی درجه یک می باشد که درون آبرفت واقع است. به دلیل اهمیت کمتر این آنومالی و محدودیت در تعداد نمونه ها، هیچ نمونه کانی سنگین و میزرازیه ای از این محدوده برداشت نشده است.

منطقه یازده کیلومتری جنوب غرب کوه دو شاخ

این منطقه دارای مساحت تقریبی ۴ کیلومتر مربع آنومالی درجه یک می باشد که درون آبرفت قرار دارد. از این محدوده نمونه کانی سنگین $AK193H$ برداشت شده است.

آنومالی‌های عنصر باریم «Ba»

برگه ۱:۵۰،۰۰۰ کوه دوشاخ

منطقه ده کیلومتری جنوب شرق کوه دوشاخ

این منطقه دارای مساحتی در حدود ۴ کیلومتر مربع آنومالی درجه یک می‌باشد که

درون آبرفت قرار دارد. از این محدوده یک نمونه کانی سنگین به شماره AK216H برداشت

شده است. آنومالی Cr نیز در این محدوده وجود دارد.

منطقه نوزده کیلومتری جنوب غرب کوه دوشاخ

این منطقه دارای مساحتی در حدود ۴ کیلومتر مربع آنومالی درجه یک می‌باشد که

درون آبرفت واقع است. از این محدوده به دلیل اهمیت کمتر آن نسبت به سایر مناطق و

محدودیت در تعداد نمونه‌ها، نمونه کانی سنگین و میزرازیه برداشت نشده است.

آنومالی شماره A15 (چهارده کیلومتری شمال غرب کوه دوشاخ)

این منطقه دارای مساحت تقریبی ۲ کیلومتر مربع آنومالی درجه یک می‌باشد.

سنگهای بالادست این محدوده عبارتند از: ولکانیکهای تیپ اشباع شده و سنگهای آذرآواری.

از این محدوده یک نمونه کانی سنگین به شماره AK254H و ۵ نمونه میزرازیه به شماره‌های

AK254M5 و AK254M4، AK254M3، AK254M2، AK254M1 برداشت شده است.

برگه ۱:۵۰،۰۰۰ میاندشت

آنومالی شماره A12 (دو کیلومتری شمال میاندشت)

مساحت آنومالی درجه یک باریم در این منطقه ۳ کیلومتر مربع می‌باشد. سنگهای

رسوی تخریبی و ولکانیکهای تیپ اشباع شده در بالادست این منطقه رخمنون دارند. از این

محدوده دو نمونه کانی سنگین به شماره‌های AM589H و AM587H برداشت شده است.

عنصر W نیز در این محل آنومال می‌باشد.

آنومالی‌های عنصر بریلیم «Be»

برگه ۱:۵۰،۰۰۰ عباس‌آباد

منطقه شش کیلومتری شرق عباس‌آباد

این منطقه دارای مساحتی در حدود ۴ کیلومتر مربع آنومالی درجه یک می‌باشد که درون آبرفت قرار دارد. از این محدوده نمونه کانی سنگین AA142H برداشت شده است.

منطقه هشت کیلومتری جنوب کلاته فرهنگ

این منطقه دارای مساحتی در حدود ۴ کیلومتر مربع آنومالی درجه یک می‌باشد که درون آبرفت قرار دارد. از این محدوده نمونه کانی سنگین AA152H برداشت شده است. عنصر W نیز در این منطقه آنومالی نشان داده است.

برگه ۱:۵۰،۰۰۰ غزاران

آنومالی شماره A6 (ده کیلومتری جنوب شرق دستجرد)

این منطقه دارای مساحت تقریبی یک کیلومتر مربع آنومالی درجه یک می‌باشد. در این محدوده سنگهای اولترامافیک، سنگهای تیپ شیست و گرانیت - گنایس رخمنون دارند. ۲ نمونه کانی سنگین به شماره‌های AG380H و AG551H و پنج نمونه میزرایزه به شماره‌های AG380M1، AG380M2، AG380M4، AG380M5 و AG551M از این منطقه برداشت شده است. آنومالی AII نیز در این محل وجود دارد که اهمیت منطقه را بیشتر می‌کند.

آنومالی‌های عنصر بیسموت «Bi»

برگه ۱:۵۰،۰۰۰ عباس‌آباد

منطقه چهارده کیلومتری شمال شرق عباس‌آباد

این منطقه دارای مساحتی در حدود ۵ کیلومتر مربع آنومالی درجه یک می‌باشد. ولکانیکهای تیپ اشبع شده، سنگ بالادست این محدوده می‌باشند. از این منطقه به دلیل اهمیت کمتر آن نسبت به سایر مناطق و محدودیت در تعداد نمونه‌ها، نمونه کانی سنگین و میزرایزه برداشت نشده است.

منطقه سه کیلومتری شمال شرق عباس آباد

این منطقه دارای مساحت تقریبی ۴ کیلومتر مربع آنومالی درجه یک می‌باشد. سنگهای رسوبی تخریبی، سنگهای رسوبی تخریبی-شیمیایی و لکانیکهای تیپ اشباع شده در بالادست این محدوده رخنمون دارند. از این منطقه به دلیل اهمیت کمتر آن نسبت به سایر مناطق و محدودیت در تعداد نمونه‌ها، نمونه کانی سنگین و میزآلیزه برداشت نشده است. عنصر Ti نیز در این محدوده آنومالی نشان داده است.

برگه ۱:۵۰،۰۰۰ غزاران

منطقه شش کیلومتری جنوب غرب دستجرد

این منطقه دارای مساحتی در حدود ۳ کیلومتر مربع آنومالی درجه یک می‌باشد که درون آبرفت واقع است. از این منطقه به دلیل اهمیت کمتر آن نسبت به سایر مناطق و محدودیت در تعداد نمونه‌ها، نمونه کانی سنگین و میزآلیزه برداشت نشده است.

منطقه یازده کیلومتری شمال غرب دستجرد

این منطقه دارای مساحت تقریبی ۳ کیلومتر مربع آنومالی درجه یک می‌باشد که درون آبرفت قرار دارد. یک نمونه کانی سنگین به شماره $AG300H$ از این محل برداشت شده است. از این محدوده نمونه میزآلیزه برداشت نشده است.

آنومالی‌های عنصر کبات «C0»

برگه ۱:۵۰،۰۰۰ عباس آباد

آنومالی شماره A3 (شانزده کیلومتری شمال شرق عباس آباد)

این منطقه دارای مساحتی در حدود ۴ کیلومتر مربع آنومالی درجه یک می‌باشد. سنگهای بالادست این منطقه عبارتند از: سنگهای اولترامافیک، لکانیکهای تیپ اشباع شده، و سنگهای آذرآواری. از این منطقه پنج نمونه کانی سنگین به شماره‌های $AA31H$, $AA26H$, $AA31H$, $AA200H$ و $AA33H$, $AA32H$ برداشت شده است. در این محدوده آنومالی Ni نیز وجود دارد که بر اهمیت منطقه می‌افزاید.

برگه ۱:۵۰،۰۰۰ کوه دوشاخ منطقه نه کیلومتری شمال کوه دوشاخ

این منطقه دارای مساحتی در حدود ۴ کیلومتر مربع آنومالی درجه یک می باشد که درون آبرفت قرار دارد. از این منطقه به دلیل اهمیت کمتر آن نسبت به سایر مناطق و محدودیت در تعداد نمونه ها، نمونه کانی سنگین و میترالیزه برداشت نشده است.

منطقه پنج کیلومتری شمال غرب کوه دوشاخ

این منطقه دارای مساحت تقریبی ۲ کیلومتر مربع آنومالی درجه یک می باشد که درون آبرفت قرار دارد. نمونه کانی سنگین AK226H از این محدوده برداشت شده است.

منطقه سیزده کیلومتری شمال کوه دوشاخ

این منطقه دارای مساحتی در حدود ۴ کیلومتر مربع آنومالی درجه یک می باشد که درون آبرفت قرار دارد. یک نمونه کانی سنگین به شماره AK264H از این محدوده برداشت شده است. علاوه بر عنصر Co ، عنصر Cu نیز در این محدوده آنومال می باشد.

منطقه سیزده کیلومتری جنوب غرب کوه دوشاخ

مساحت آنومالی درجه یک این منطقه حدود ۴ کیلومتر مربع می باشد. سنگهای رسوبی تخریبی - شیمیایی در بالادست این منطقه رخنمون دارند. به دلیل اهمیت کمتر این منطقه نسبت به سایر مناطق و محدودیت در تعداد نمونه ها، نمونه کانی سنگین و میترالیزه از آن برداشت نشده است.

برگه ۱:۵۰،۰۰۰ میاندشت آنومالی شماره A13 (پانزده کیلومتری شمال شرق میاندشت)

این منطقه دارای مساحت تقریبی ۲ کیلومتر مربع آنومالی درجه یک می باشد. سنگهای بالادست این منطقه عبارتند از: سنگهای رسوبی تخریبی، سنگهای آذرآواری، ولکانیکهای تیپ اشیاع شده و ولکانیکهای اسیدی. ۶ نمونه کانی سنگین به شماره های AM339H، AM338H، AM337H، AM334H، AM333H، AM331H و هفت نمونه

میترالیزه به شماره های $AM338M2$ ، $AM338M1$ ، $AM331M3$ ، $AM331M2$ ، $AM331M1$ و $AM338M4$ از این محدوده برداشت شده است. آنومالیهای As ، W و Mo و $AM338M3$ نیز در این محدوده وجود دارند که اهمیت منطقه را بیشتر می کند.

آنومالی های عنصر کروم «Cr»

برگه ۱:۵۰،۰۰۰ عباس آباد

آنومالی شماره A1 (هجدۀ کیلومتری شمال غرب عباس آباد)

این منطقه دارای مساحت تقریبی ۸ کیلومتر مریع آنومالی درجه یک می باشد. سنگهای بالادست این منطقه عبارتند از: سنگهای رسوبی تخریبی، سنگهای رسوبی تخریبی-شیمیایی، ولکانیکهای اسیدی و ولکانیکهای تیپ اشباع شده. از این محدوده دو نمونه کانی سنگین به شماره های $AA59H$ و $AA61H$ و دو نمونه میترالیزه به شماره های $AA61A$ و $AA61M$ برداشت شده است. در محدوده این آنومالی علاوه بر عنصر Cr ، عناصر As و Ti نیز آنومال می باشند که اهمیت منطقه را بیشتر می کند.

آنومالی شماره A2 (چهارده کیلومتری شمال عباس آباد)

این منطقه دارای مساحتی در حدود ۴ کیلومتر مریع آنومالی درجه یک می باشد. سنگهای بالادست این منطقه عبارتند از: سنگهای رسوبی تخریبی، سنگهای آذرآواری، ولکانیکهای تیپ اشباع شده و سنگهای اولترامافیک. از این محدوده ۵ نمونه کانی سنگین به شماره های $AA127H$ ، $AA134H$ ، $AA128H$ ، $AA135H$ و $AA136H$ برداشت شده است. نمونه میترالیزه از این منطقه برداشت نشده است. علاوه بر عنصر Cr نیز در این محدوده آنومالی نشان داده است.

برگه ۱:۵۰،۰۰۰ کوه دوشاخ

منطقه ده کیلومتری جنوب شرق کوه دوشاخ

این منطقه دارای مساحتی در حدود ۴ کیلومتر مریع آنومالی درجه یک می باشد که درون آبرفت قرار دارد. از این محدوده یک نمونه کانی سنگین به شماره $AK216H$ برداشت شده است. عنصر Ba نیز در این محل آنومالی نشان داده است.

آنومالی‌های عنصر مس «Cu»

برگه ۱:۵۰،۰۰۰ عباس‌آباد

آنومالی شماره A5 (پنج کیلومتری شمال عباس‌آباد)

این منطقه دارای مساحت تقریبی ۳ کیلومتر مربع آنومالی درجه یک می‌باشد. در بالا دست این محدوده سنگهای رسوبی تخریبی، سنگهای رسوبی تخریبی - شیمیابی، ولکانیکهای تیپ اشباع شده، ولکانیکهای اسیدی و سنگهای آذرآواری قرار دارند. از این محدوده ۳ نمونه کانی سنگین به شماره‌های AA15H، AA16H و AA23H برداشت شده است. علاوه بر عنصر Cu عناصر Mn و Pb نیز در این منطقه آنومال می‌باشد که اهمیت منطقه را بیشتر می‌کند.

منطقه یک کیلومتری شرق عباس‌آباد

این منطقه دارای مساحتی در حدود ۷ کیلومتر مربع آنومالی درجه یک می‌باشد.

سنگهای سنگی این منطقه عبارت اند از سنگهای رسوبی تخریبی، سنگهای رسوبی تخریبی - شیمیابی، ولکانیکهای تیپ اشباع شده، سنگهای آذرآواری و ولکانیکهای اسیدی. از آنجا که در بازدیدهای صحرایی منشاء آنومالی معادن موجود در بالا دست تشخیص داده شده است، لذا نمونه های کانی سنگین و میزرازیه از محل منشاء احتمالی آن در بالا دست (محدوده آنومالی شماره A5) برداشت شده است. آنومالی های Ag، Mo و Pb نیز در این محل وجود دارند.

برگه ۱:۵۰،۰۰۰ کوه دوشاخ

منطقه سیزده کیلومتری شمال غرب کوه دوشاخ

این منطقه دارای مساحتی در حدود ۴ کیلومتر مربع آنومالی درجه یک می‌باشد که

درون آبرفت قرار دارد. یک نمونه کانی سنگین به شماره AK264H از این محدوده برداشت شده است. علاوه بر عنصر Cu، عنصر Co نیز در این محدوده آنومال می‌باشد.

برگه ۱:۵۰،۰۰۰ غزاران

منطقه شش کیلومتری شمال دستجرد

این منطقه دارای مساحت تقریبی ۴ کیلومتر مربع آنومالی درجه یک است که درون آبرفت قرار دارد. از این منطقه به دلیل اهمیت کمتر آن نسبت به سایر مناطق و محدودیت در تعداد نمونه ها، نمونه کانی سنگین و میزآلیزه برداشت نشده است.

آنومالی های عنصر جیوه «Hg»

برگه ۱:۵۰،۰۰۰ عباس آباد

آنومالی شماره A4 (ده کیلومتری شمال شرق عباس آباد)

این منطقه دارای مساحتی در حدود ۱۰ کیلومتر مربع آنومالی درجه یک می باشد. سنگهای موجود در بالادست این محدوده عبارتند از: سنگهای رسوبی تخریبی، سنگهای رسوبی تخریبی - ژیمیایی، ولکانیکهای اسیدی و ولکانیکهای تیپ اشباع شده. از آینه محدوده هشت نمونه کانی سنگین به شماره های AA1H، AA12-aH، AA1bH، AA1A2، AA1A2-2H، AA2-bH، AA2-cH، AA4H و AA3-2H و سیزده نمونه میزآلیزه به شماره های AA1M8، AA1M7، AA1M6، AA1M5، AA1M1، AA1M4، AA1M3، AA1M2، AA3A2، AA3A1، AA1M9 و AA3P1 برداشت شده است. در این منطقه علاوه بر عنصر Hg، عناصر Mo، Mn، Sb و W نیز آنومالی نشان داده اند که اهمیت منطقه را بیشتر می کند.

برگه ۱:۵۰،۰۰۰ غزاران

آنومالی شماره A10 (پانزده کیلومتری شمال شرق دستجرد)

این منطقه دارای مساحتی در حدود ۳ کیلومتر مربع آنومالی درجه یک می باشد. در بالادست سنگهای آذرآواری رخنمون دارند. از این منطقه ۳ نمونه کانی سنگین به شماره های Hg، AM603H و AM602H، AG271H آنومالی Sb و Mo نیز وجود دارند که اهمیت منطقه را بیشتر می کند.

برگه ۱:۵۰،۰۰۰ میاندشت

آنومالی شماره A17 (بازده کیلومتری جنوب شرق کلاته فرهنگ)

این منطقه دارای مساحتی در حدود ۲ کیلومتر مربع آنومالی درجه یک می‌باشد. واحدهای سنگی این منطقه شامل سنگهای آذرآواری و ولکانیکهای اسیدی است. از این محدوده یک نمونه کانی سنگین به شماره $AM439H$ و سه نمونه میزرازیز به شماره‌های $AM439M1$ ، $AM439M2$ و $AM439M1$ برداشت شده است. در محدوده فوق علاوه بر عنصر Hg ، عنصر Mo نیز آنومالی درجه دو از خود نشان داده است که این مسئله می‌تواند بر اهمیت منطقه اضافه کند.

آنومالی‌های عنصر منگنز «Mn»

برگه ۱:۵۰،۰۰۰ عباس‌آباد

آنومالی شماره A4 (ده کیلومتری شمال شرق عباس‌آباد)

این منطقه دارای مساحتی در حدود ۵ کیلومتر مربع آنومالی درجه یک می‌باشد. سنگهای موجود در بالادست این محدوده عبارتند از: سنگهای رسوبی تخریبی، سنگهای رسوبی تخریبی - شیمیایی، ولکانیکهای اسیدی و ولکانیکهای تیپ اشباع شده. از این محدوده هشت نمونه کانی سنگین به شماره‌های $AA1bH$ ، $AA1bH$ ، $AA1-aH$ ، $AA3-1H$ ، $AA2-bH$ ، $AA1M7$ ، $AA1M8$ ، $AA1M5$ ، $AA1M1$ ، $AA1M4$ ، $AA1M3$ ، $AA1M2$ ، $AA4H$ و $AA3-2H$ ، $AA2-bH$ ، $AA2-cH$ ، $AA3A2$ و $AA3P1$ و سیزده نمونه میزرازیز به شماره‌های $AA3A1$ ، $AA1M9$ ، W ، Sb ، Mo و Hg نیز آنومالی نشان داده اند که اهمیت منطقه را بیشتر می‌کند.

آنومالی شماره A5 (پنج کیلومتری شمال عباس‌آباد)

این منطقه دارای مساحت تقریبی ۲ کیلومتر مربع آنومالی درجه یک می‌باشد. در بالادست این محدوده سنگهای رسوبی تخریبی، سنگهای رسوبی تخریبی - شیمیایی، ولکانیکهای تیپ اشباع شده، ولکانیکهای اسیدی و سنگهای آذرآواری قرار دارند. از این محدوده ۳ نمونه کانی سنگین به شماره‌های $AA15H$ ، $AA16H$ و $AA23H$ برداشت شده است. علاوه بر عنصر Mn ، عنصر Cu و Pb نیز در این محدوده آنومال می‌باشند که

اهمیت منطقه را بیشتر می‌کند.

آنومالی شماره A14 (هفت کیلومتری شمال عباس آباد)

این منطقه دارای مساحتی در حدود ۸ کیلومتر مربع آنومالی درجه یک می‌باشد. سنگهای آذراواری و لکانیکهای تیپ اشباع شده در بالادست این محدوده، قرار دارند. از این محدوده ۶ نمونه کانی سنگین به شماره‌های AA20H، AA19H، AA18H، AA17H، AA19M3، AA21H و AA22H و ۱۰ نمونه میزرازیزه به شماره‌های AA19M2، AA19M1، AA21A1، AA20A3، AA20A2، AA20A1، AA19M4 برداشت شده است. علاوه بر عنصر Mn نیز در این محدوده آنومال است.

منطقه نه کیلومتری شمال شرق عباس آباد

این منطقه دارای مساحت تقریبی یک کیلومتر مربع آنومالی درجه یک می‌باشد. در بالادست این منطقه سنگهای رسوبی تخریبی - شیمیایی رخمنون دارند. از آنجا که در بازدیدهای صحرایی منشاء این آنومالی، معادن موجود در بالادست تشخیص داده شده است، لذا نمونه‌های کانی سنگین و میزرازیزه از محل منشاء احتمالی آن در بالادست (محدوده آنومالی شماره A4) برداشت شده است. علاوه بر عنصر Ag و Mo نیز در این محل آنومالی نشان می‌دهند.

آنومالی‌های عنصر مولیبدن «Mo»

برگه ۱۵۱، ۱۰۱ عباس آباد

آنومالی شماره A4 (ده کیلومتری شمال شرق عباس آباد)

این منطقه دارای مساحتی در حدود ۳ کیلومتر مربع آنومالی درجه یک می‌باشد. سنگهای موجود در بالادست این محدوده عبارتند از: سنگهای رسوبی تخریبی، سنگهای رسوبی تخریبی - شیمیایی، ولکانیکهای اسیدی و ولکانیکهای تیپ اشباع شده. از این محدوده هشت نمونه کانی سنگین به شماره‌های AA1H، AA2-aH، AA1bH، AA1A2، AA3-1H، AA2-aH، AA3-2H، AA4H و سیزده نمونه میزرازیزه به شماره‌های AA1M8، AA1M7، AA1M6، AA1M5، AA1M1، AA1M4، AA1M3، AA1M2، AA1M1

$AA1M9$, $AA3A1$, $AA3A2$, $AA3P1$ و W براحت شده است در این منطقه علاوه بر عنصر Mn , Hg , Sb و Mo نیز آنومالی نشان داده اند که اهمیت منطقه را بیشتر می کند.

منطقه یک کیلومتری شمال شرق عباس آباد

این منطقه دارای مساحتی در حدود ۳ کیلومتر مربع آنومالی درجه یک می باشد. واحدهای سنگی این منطقه عبارتند از: سنگهای رسوبی تخریبی، سنگهای رسوبی تخریبی - شیمیایی، ولکانیکهای تیپ اشباع شده، سنگهای آذرآواری و ولکانیکهای اسیدی. از آنجا که در بازدیدهای صحرائی منشاء آنومالی معادن موجود در بالادست تشخیص داده شده است، لذا نمونه های کانی سنگین و میزآلیزه از محل منشاء احتمالی آن در بالادست (محدوده آنومالی شماره ۴۵) براحت شده است. آنومالی های Cu , Ag و Pb نیز در این محل وجود دارند.

منطقه نه کیلومتری شمال شرق عباس آباد

این منطقه دارای مساحت تقریبی یک کیلومتر مربع آنومالی درجه یک می باشد. در بالادست این منطقه سنگهای رسوبی تخریبی - شیمیایی رخنمون دارند. از آنجا که در بازدیدهای صحرائی منشاء این آنومالی، معادن موجود در بالادست تشخیص داده شده است، لذا نمونه های کانی سنگین و میزآلیزه از محل منشاء احتمالی آن در بالادست (محدوده آنومالی شماره ۴۴) براحت شده است. علاوه بر آنومالی Mo , عناصر Ag و Mn نیز در این محل آنومالی نشان می دهند.

منطقه ده کیلومتری شرق عباس آباد

این منطقه دارای مساحتی در حدود ۴ کیلومتر مربع آنومالی درجه یک می باشد. سنگهای رسوبی تخریبی - شیمیایی در بالادست این محدوده وجود دارند. نمونه کانی سنگین $AA203H$ از این محدوده براحت شده است.

برگه ۱:۵۰،۱۰۰ غزاران**آنومالی شماره A8 (یازده کیلومتری شمال شرق دستجرد)**

این منطقه دارای مساحتی در حدود ۲ کیلومتر مربع آنومالی درجه یک می‌باشد. در بالادست این محدوده سنگهای آذرآواری وجود دارند. ۲ نمونه کانی سنگین به شماره‌های AG555H و AG274H و ۲ نمونه میترالیزه به شماره‌های AG274P و AG555A از این محدوده برداشت شده است. در این منطقه علاوه بر عنصر Mo نیز آنومالی نشان داده است.

برگه ۱:۵۰،۱۰۰ غزاران**آنومالی شماره A10 (پانزده کیلومتری شمال شرق دستجرد)**

این منطقه دارای مساحتی در حدود ۵ کیلومتر مربع آنومالی درجه یک می‌باشد. در بالادست سنگهای آذرآواری رخنمون دارند. از این منطقه ۳ نمونه کانی سنگین به شماره‌های AM603H، AM602H، AG271H و AM39H برداشت شده است. در این محدوده علاوه بر آنومالی آنومالیهای Hg و Sb نیز وجود دارند که اهمیت منطقه را بیشتر می‌کند.

برگه ۱:۵۰،۱۰۰ میاندشت**آنومالی شماره A13 (پانزده کیلومتری شمال شرق میاندشت)**

این منطقه دارای مساحت تقریبی یک کیلومتر مربع آنومالی درجه یک می‌باشد. سنگهای بالادست این منطقه عبارتند از: سنگهای رسوبی تخریبی، سنگهای آذرآواری، ولکانیکهای تیپ اشباع شده و ولکانیکهای اسیدی. ۶ نمونه کانی سنگین به شماره‌های AM339H و AM338H، AM337H، AM334H، AM333H، AM331H و هفت نمونه میترالیزه به شماره‌های AM338M2، AM338M1، AM331M3، AM331M2، AM331M1، AM338M3 و AM338M4 از این محدوده برداشت شده است. آنومالیهای As و W نیز در این محدوده وجود دارند که اهمیت منطقه را بیشتر می‌کند.

آنومالی‌های عنصر نیکل «Ni»

برگه ۱:۵۰،۰۰۰ عباس‌آباد

آنومالی شماره A2 (چهارده کیلومتری شمال عباس‌آباد)

این منطقه دارای مساحتی در حدود ۷ کیلومتر مربع آنومالی درجه یک می‌باشد.

سنگهای بالادست این منطقه عبارتند از: سنگهای رسوبی تخریبی، سنگهای آذرآواری، ولکانیکهای تیپ اشبع شده و سنگهای اولترامافیک. از این محدوده ۵ نمونه کانی سنگین به شماره‌های AA136H، AA135H، AA128H، AA127H، AA134H برداشت شده است. نمونه میترالیزه از این منطقه برداشت نشده است. علاوه بر عنصر Ni عنصر Cr نیز در این محدوده آنومالی نشان داده است.

آنومالی شماره A3 (شانزده کیلومتری شمال شرق عباس‌آباد)

این منطقه دارای مساحتی در حدود ۹ کیلومتر مربع آنومالی درجه یک می‌باشد.

سنگهای بالادست این منطقه عبارتند از: سنگهای اولترامافیک، ولکانیکهای تیپ اشبع شده و سنگهای آذرآواری. از این منطقه پنج نمونه کانی سنگین به شماره‌های AA31H، AA26H، AA31H، AA32H، AA33H و AA200H برداشت شده است. در این محدوده آنومالی Co نیز وجود دارد که بر اهمیت منطقه می‌افزاید.

آنومالی‌های عنصر سرب «Pb»

برگه ۱:۵۰،۰۰۰ عباس‌آباد

آنومالی شماره A5 (پنج کیلومتری شمال عباس‌آباد)

این منطقه دارای مساحت تقریبی یک کیلومتر مربع آنومالی درجه یک می‌باشد. در

بالادست این محدوده سنگهای رسوبی تخریبی، سنگها رسوبی تخریبی - شیمیایی، ولکانیکهای تیپ اشبع شده، ولکانیکهای اسیدی و سنگهای آذرآواری قرار دارند. از این محدوده ۳ نمونه کانی سنگین به شماره‌های AA15H، AA16H و AA23H برداشت شده است علاوه بر عنصر Pb عناصر Cu و Mn نیز در این محدوده آنومال می‌باشند که اهمیت منطقه را بیشتر می‌کند.

منطقه یک کیلومتری شمال شرق عباس آباد

این منطقه دارای مساحتی در حدود ۳ کیلومتر مربع آنومالی درجه یک می‌باشد. واحدهای سنگی این منطقه عبارتند از: سنگهای رسوبی تخریبی، سنگهای رسوبی تخریبی - شیمیایی، ولکانیکهای تیپ اشبع شده، سنگهای آذرآواری و ولکانیکهای اسیدی. از آنجاکه در بازدیدهای صحرایی منشاء آنومالی معادن موجود در بالادست تشخیص داده شده است، لذا نمونه های کانی سنگین و مینرالیزه از محل منشاء احتمالی آن در بالادست (محدوده آنومالی شماره A5) برداشت شده است. آنومالی های Ag , Cu و Mo نیز در این محل وجود دارند.

منطقه یازده کیلومتری شمال غرب عباس آباد

این منطقه دارای مساحتی در حدود ۲ کیلومتر مربع آنومالی درجه یک می‌باشد. سنگهای این منطقه شامل سنگهای رسوبی تخریبی، سنگهای رسوبی تخریبی - شیمیایی، ولکانیکهای تیپ اشبع شده و سنگهای آذرآواری می‌باشد. دو نمونه کانی سنگین به شماره های AA120H و AA120AH از این محدوده برداشت شده است.

منطقه شش کیلومتری غرب کلاته فرهنگ

این منطقه دارای مساحت تقریبی یک کیلومتر مربع آنومالی درجه یک می‌باشد. سنگهای ولکانیک اسیدی و ولکانیک های تیپ اشبع شده در بالادست این محدوده قرار دارند. یک نمونه کانی سنگین به شماره AA95H و دو نمونه مینرالیزه به شماره های AA95M1 و AA95M2 از این محدوده برداشت شده است.

برگه ۱۰۱: کوه دوشاخ

منطقه ده کیلومتری جنوب غرب کوه دوشاخ

این منطقه دارای مساحت تقریبی ۴ کیلومتر مربع آنومالی درجه یک می‌باشد که درون آبرفت قرار دارد. یک نمونه کانی سنگین به شماره AK185H از این محدوده برداشت شده است. در این منطقه علاوه بر عنصر Pb عنصر Zn نیز آنومالی نشان می‌دهد.

برگه ۱۵۰،۰۱۰ غزاران**منطقه شش کیلومتری جنوب غرب دستجرد**

این منطقه دارای مساحتی در حدود ۲ کیلومتر مربع آنومالی درجه یک می باشد که درون آبرفت قرار دارد. از این محدوده یک نمونه کانی سنگین به شماره *AG418H1* برداشت شده است.

منطقه هشت کیلومتری جنوب شرق طاهر آباد

در این منطقه مساحتی در حدود یک کیلومتر مربع آنومالی درجه یک وجود دارد. سنگهای موجود در بالادست این محدوده عبارتند از: سنگهای رسوبی تخریبی - شیمیایی، سنگهای اولترامافیک و سنگهای تیپ شیست. نمونه کانی سنگین *AG284H* و یک نمونه میزالیزه به شماره *AG284M* از این محدوده برداشت شده است.

منطقه یازده کیلومتری جنوب شرق طاهر آباد

این منطقه دارای مساحتی در حدود یک کیلومتر مربع می باشد. سنگهای موجود در بالادست این منطقه شامل سنگهای رسوبی تخریبی، سنگهای رسوبی تخریبی - شیمیایی و سنگهای تیپ شیست می باشد. یک نمونه کانی سنگین به شماره *AG295H* و یک نمونه میزالیزه به شماره *AG295M* از این محدوده برداشت شده است. در این محل آنومالی *As* نیز وجود دارد.

برگه ۱۵۰،۰۱۱ میاندشت**منطقه چهارده کیلومتری جنوب شرق میاندشت**

در این منطقه مساحت آنومالی درجه یک حدود یک کیلومتر مربع می باشد. سنگهای بالادست این محدوده شامل سنگهای رسوبی تخریبی - شیمیایی و لکانیکهای تیپ اشباع شده می باشند. بدليل اهمیت کمتر این منطقه نسبت به سایر مناطق و محدودیت در تعداد نمونه ها، نمونه کانی سنگین و میزالیزه از آن برداشت نشده است.

منطقه چهارده کیلومتری شرق میاندشت

مساحت آنومالی درجه یک در این منطقه حدود یک کیلومتر مربع می‌باشد. در بالادست سنگهای رسوبی تخریبی، ولکانیکهای اسیدی، ولکانیکهای تیپ اشباعی و سنگهای آذرآواری قرار دارند. از این محدوده بدليل اهمیت کمتر آن نسبت به سایر مناطق و محدودیت در تعداد نمونه‌ها، نمونه کانی سنگین و میزرازیه برداشت نشده است.

آنومالی‌های عنصر آنتیموان «Sb»

برگه ۱: عباس‌آباد

آنومالی شماره A4 (ده کیلومتری شمال شرق عباس‌آباد)

این منطقه دارای مساحتی در حدود ۸ کیلومتر مربع آنومالی درجه یک می‌باشد. سنگهای موجود در بالادست این محدوده عبارتند از: سنگهای رسوبی تخریبی، سنگهای رسوبی تخریبی-شیمیایی، ولکانیکهای اسیدی و ولکانیکهای تیپ اشباع شده. از این محدوده هشت نمونه کانی سنگین به شماره‌های AA1H، AA2-aH، AA1bH، AA3-1H، AA2-cH، AA4H و AA3-2H، AA2-bH، AA2-cH، AA1A2، AA1M8، AA1M7، AA1M6، AA1M5، AA1M1، AA1M4، AA1M3، AA1M2، AA3P1 و AA3A2، AA3A1، AA1M9 عنصر Sb نیز آنومالی نشان داده اند که اهمیت منطقه را بیشتر می‌کند.

برگه ۱: غزاران

آنومالی شماره A8 (یازده کیلومتری شمال شرق دستجرد)

این منطقه دارای مساحتی در حدود یک کیلومتر مربع آنومالی درجه یک می‌باشد. در بالادست این محدوده سنگهای آذرآواری وجود دارند. ۲ نمونه کانی سنگین به شماره‌های AG555H و AG274H و AG555A و AG274P از این محدوده برداشت شده است. در این منطقه علاوه بر عنصر Sb نیز آنومالی نشان داده است.

آنومالی شماره A10 (پانزده کیلومتری شمال شرق دستجرد)

این منطقه دارای مساحتی در حدود ۴ کیلومتر مربع آنومالی درجه یک می‌باشد. در بالادست سنگهای آذرآواری رخنمود دارند. از این منطقه ۳ نمونه کانی سنگین به شماره‌های $AM603H$ و $AM602H$ برداشت شده است. در این محدوده علاوه بر آنومالی کد آنومالیهای Hg و Mo نیز وجود دارند که اهمیت منطقه را بیشتر می‌کند.

برگه ۱:۵۰،۰۰۰ میاندشت

آنومالی شماره A9 (سیزده کیلومتری جنوب غرب کلاته فرهنگ)

این منطقه دارای مساحت تقریبی ۲ کیلومتر مربع آنومالی درجه یک می‌باشد. در بالادست این محدوده ولکانیکهای تیپ اشباع شده و سنگهای آذرآواری وجود دارند. از این منطقه ۳ نمونه کانی سنگین به شماره‌های $AM533H$ ، $AG272H$ و $AK267H$ و هفت نمونه میترالیزه به شماره‌های $AM600P$ ، $AM533P1$ ، $AM533P2$ ، $AM533P3$ ، $AM533P4$ ، $AG272P$ و $AK267M$ برداشت شده است. هلاکتی بر قلعه سر Sb عنصر Au نیز در این محدوده آنomal می‌باشد.

منطقه پنج کیلومتری شرق میاندشت

این منطقه دارای مساحتی در حدود یک کیلومتر مربع آنومالی درجه یک می‌باشد. سنگهای بالادست این منطقه عبارتند از: سنگهای رسوبی تخربی، ولکانیکهای اسیدی، ولکانیکهای تیپ اشباع شده و سنگهای آذرآواری. یک نمونه کانی سنگین به شماره $AM443H$ از این محدوده برداشت شده است.

آنومالی‌های عنصر قلع «Sn»

برگه ۱:۵۰،۰۰۰ عباس‌آباد

منطقه یازده کیلومتری جنوب شرق کلاته فرهنگ

این منطقه دارای مساحتی در حدود ۴ کیلومتر مربع آنومالی درجه یک است که درون آبرفت قرار دارد. نمونه کانی سنگین $AA55H$ از این محدوده برداشت شده است.

منطقه چهارده کیلومتری جنوب شرق کلاته فرهنگ

این منطقه دارای مساحتی در حدود ۴ کیلومتر مربع آنومالی درجه یک است که درون آبرفت قرار دارد. بدلیل اهمیت کمتر این منطقه نسبت به سایر مناطق و محدودیت در تعداد نمونه‌ها، نمونه کانی سنگین و میزآلیزه از آن برداشت نشده است.

برگه ۱:۵۰,۰۰۰ غزاران

منطقه نوزده کیلومتری جنوب شرق طاهر آباد

این منطقه دارای مساحت تقریبی ۴ کیلومتر مربع آنومالی درجه یک است که درون آبرفت قرار دارد. بدلیل اهمیت کمتر این منطقه نسبت به مناطق دیگر و محدودیت در تعداد نمونه‌ها، نمونه کانی سنگین و میزآلیزه از آن برداشت نشده است. علاوه بر عنصر Ti ، عنصر W نیز آنومالی نشان داده است.

آنومالی‌های عنصر تیتانیم «Ti»

برگه ۱:۵۰,۰۰۰ عباس آباد

آنومالی شماره A1 (هجده کیلومتری شمال غرب عباس آباد)

این منطقه دارای مساحت تقریبی ۸ کیلومتر مربع آنومالی درجه یک می‌باشد. سنگهای بالادست این منطقه عبارتند از: سنگهای رسوبی تخریبی، سنگهای رسوبی تخریبی-شیمیایی، ولکانیکهای اسیدی و ولکانیکهای تیپ اشباع شده. از این محدوده دو نمونه کانی سنگین به شماره‌های $AA59H$ و $AA61H$ و دو نمونه میزآلیزه به شماره‌های $AA61A$ و $AA61M$ برداشت شده است. در محدوده این آنومالی علاوه بر عنصر Ti ، عناصر As و Cr نیز آنومالی می‌باشند که اهمیت منطقه را بیشتر می‌کند.

منطقه چهار کیلومتری شمال شرق عباس آباد

این منطقه دارای مساحتی در حدود ۷ کیلومتر مربع آنومالی درجه یک می‌باشد. در بالادست این منطقه سنگهای رسوبی تخریبی، سنگهای رسوبی تخریبی-شیمیایی، ولکانیکهای اسیدی و ولکانیکهای تیپ اشباعی قرار دارند. بدلیل اهمیت کمتر این منطقه نسبت به سایر مناطق و محدودیت در تعداد آنومالیها، نمونه کانی سنگین و میزآلیزه از آن

برداشت نشده است. آنومالی Bi نیز در این منطقه وجود دارد.

منطقه چهار کیلومتری شمال غرب عباس آباد

این منطقه دارای مساحتی در حدود ۷ کیلومتر مربع آنومالی درجه یک می باشد. در بالادست سنگهای رسوبی تخریبی، سنگهای رسوبی تخریبی - شیمیایی، ولکانیکهای تیپ اشباع شده و ولکانیکهای اسیدی وجود دارند. بدلیل اهمیت کمتر این منطقه و محدودیت در تعداد نمونه ها، از آن نمونه کانی سنگین و میزرازیز برداشت نشده است.

آنومالی های عنصر تنگستن «W»

برگه ۱۱۰، ۱۱۱: عباس آباد

آنومالی شماره A4 (ده کیلومتری شمال شرق عباس آباد)

این منطقه دارای مساحتی در حدود یک کیلومتر مربع آنومالی درجه یک می باشد. سنگهای موجود در بالادست این محدوده عبارتند از: سنگهای رسوبی تخریبی، سنگهای رسوبی تخریبی - شیمیایی و لکانیکهای اسیدی و ولکانیکهای تیپ اشباع شده. از این محدوده هشت نمونه کانی سنگین به شماره های AA1H, AA1bH, AA2-aH, AA2-bH, AA3-1H, AA3-2H, AA4H و AA4M2 نموده اند. نمونه میزرازیز به شماره های AA1A2, AA1M2, AA1M9, AA1M8, AA1M7, AA1M6, AA1M5, AA1M1, AA1M4, AA1M3 و AA3PI نیز آنومالی شناخته شده است در این منطقه علاوه بر عنصر W، عناصر AA3A2 و AA3A1 برداشت شده است. نیز آنومالی Sb و Mn ، Mo ، Hg درون آبرفت قرار دارد. از این محدوده نمونه کانی سنگین AA152H برداشت شده است. عنصر Be نیز در این منطقه آنومالی شناخته شده است.

منطقه هشت کیلومتری جنوب شرق کلاته فرهنگ

این منطقه دارای مساحتی در حدود ۴ کیلومتر مربع آنومالی درجه یک می باشد که درون آبرفت قرار دارد. از این محدوده نمونه کانی سنگین AA152H برداشت شده است. عنصر Be نیز در این منطقه آنومالی شناخته شده است.

منطقه پنج کیلومتری جنوب غرب کلاته فرهنگ

این منطقه دارای مساحت تقریبی ۲ کیلومتر مربع آنومالی درجه یک می باشد.

سنگهای رسوبی تخریبی و ولکانیکهای تیپ اشیاع شده در بالادست این منطقه رخنمون دارند. از این محدوده دو نمونه کانی سنگین به شماره‌های $AM589H$ و $AM587H$ برداشت شده است. عنصر Ba نیز در این محل آنومال می‌باشد.

آنومالی‌های عنصر روی «Zn»

برگه ۱:۵۰،۰۰۰ عباس‌آباد

آنومالی شماره Al4 (هفت کیلومتری شمال عباس‌آباد)

این منطقه دارای مساحتی در حدود یک کیلومتر مریع آنومالی درجه یک می‌باشد.

سنگهای آذرآواری و ولکانیکهای تیپ اشیاع شده در بالادست این محدوده قرار دارند. از این محدوده ۶ نمونه کانی سنگین به شماره‌های $AA19H$, $AA17H$, $AA18H$, $AA20H$, $AA19M3$, $AA19M2$, $AA19M1$, $AA22H$ و $AA21H$ و نمونه میترالیزه به شماره‌های $AA21M1$, $AA21P1$, $AA20A3$, $AA20A2$, $AA20A1$, $AA19M4$ برداشت شده است.

علاوه بر عنصر Zn نیز در این محدوده آنومال است.

برگه ۱:۵۱،۰۰۰ کوه دوشاخ

منطقه ده کیلومتری جنوب غرب کوه دوشاخ

این منطقه دارای مساحت تقریبی ۴ کیلومتر مریع آنومالی درجه یک می‌باشد که درون

آبرفت قرار دارد. یک نمونه کانی سنگین به شماره $AK185H$ از این محدوده برداشت شده است. در این منطقه علاوه بر عنصر Zn عنصر Pb نیز آنومالی نشان می‌دهد.

منطقه هفده کیلومتری جنوب کوه دوشاخ

این منطقه دارای مساحت تقریبی ۴ کیلومتر مریع آنومالی درجه یک می‌باشد که درون

آبرفت قرار دارد. به دلیل اهمیت کمتر این منطقه نسبت به سایر مناطق و محدودیت در تعداد نمونه‌ها، نمونه کانی سنگین و میترالیزه از آن برداشت نشده است.

برگه ۱:۵۰،۰۰۰ غزاران**منطقه ده کیلومتری شمال غرب دستجرد**

این منطقه دارای مساحت تقریبی ۴ کیلومتر مربع آنومالی درجه یک می باشد که درون آبرفت قرار دارد. از این محدوده یک نمونه کانی سنگین به شماره AG316H1 برداشت شده است.

منطقه چهارده کیلومتری جنوب شرق دستجرد

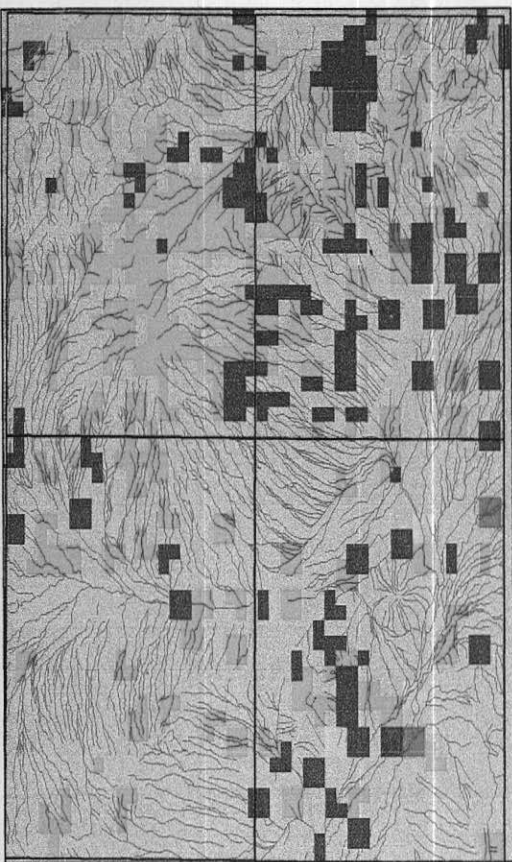
این منطقه دارای مساحتی در حدود ۲ کیلومتر مربع آنومالی درجه یک می باشد که درون آبرفت قرار دارد. از این محدوده به دلیل اهمیت کمتر آن نسبت به سایر مناطق و محدودیت در تعداد نمونه ها، نمونه کانی سنگین و میزالیزه برداشت نشده است.

منطقه سیزده کیلومتری جنوب شرق دستجرد

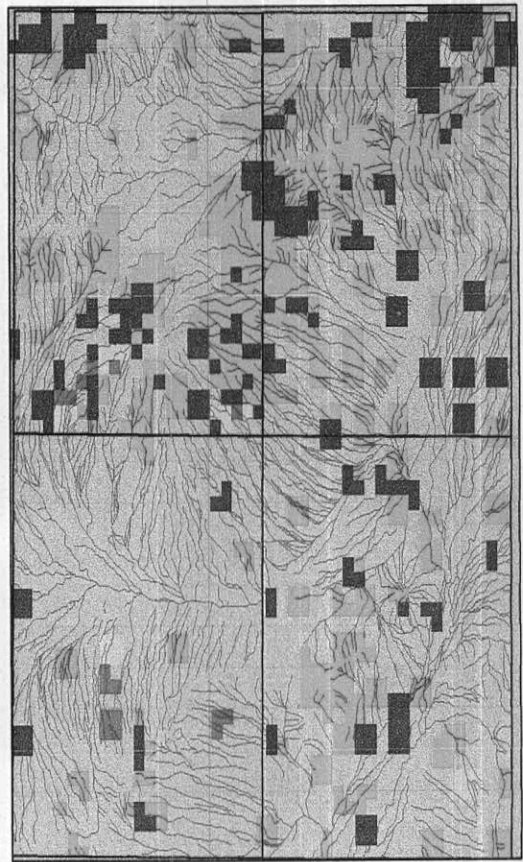
این منطقه دارای مساحت تقریبی یک کیلومتر مربع آنومالی درجه یک می باشد. واحدهای سنگی موجود در بالادست این منطقه عبارتند از: سنگهای تیپ شیمیایی رسویی تخریبی - شیمیایی و سنگهای اولترامافیک. از این محدوده به دلیل اهمیت کمتر آن نسبت به سایر مناطق و محدودیت در تعداد نمونه ها، نمونه کانی سنگین و میزالیزه برداشت نشده است.

برگه ۱:۵۱،۰۰۰ میاندشت**آنومالی شماره Al6 (یازده کیلومتری جنوب میاندشت)**

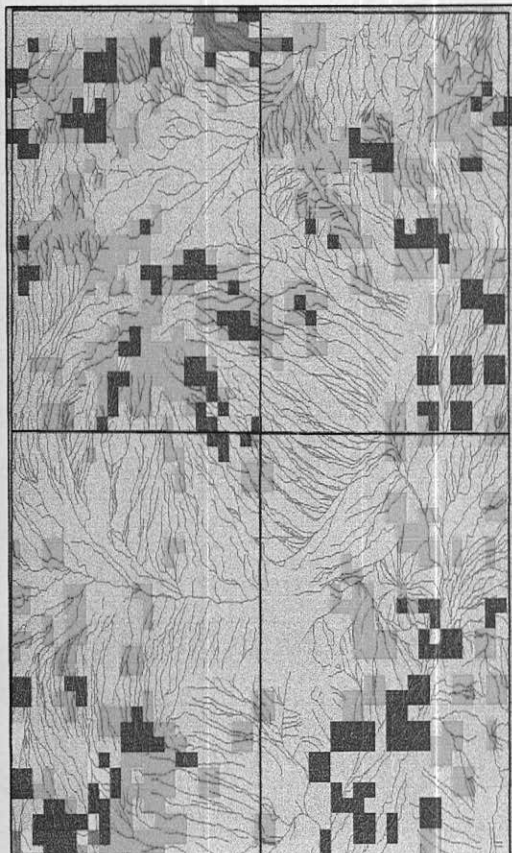
این منطقه دارای مساحتی در حدود ۲ کیلومتر مربع آنومالی درجه یک می باشد. در بالادست این منطقه سنگهای رسویی تخریبی - شیمیایی، ولکانیکهای اسیدی، ولکانیکهای تیپ اشباع شده و سنگهای آذرآواری وجود دارد. از این محدوده تعداد ۳ نمونه کانی سنگین به شماره های AM573H و AM572H ، AM563H و ۴ نمونه میزالیزه به شماره های AM572M و AM563M2 ، AM563M1 ، AM573M برداشت شده است.



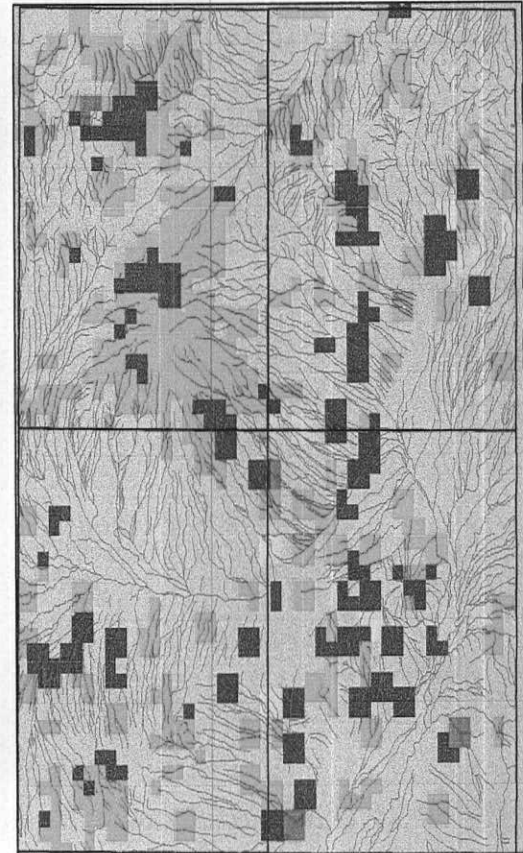
Grid Distribution Map of Ag(ei).



Grid Distribution Map of Au(ei).

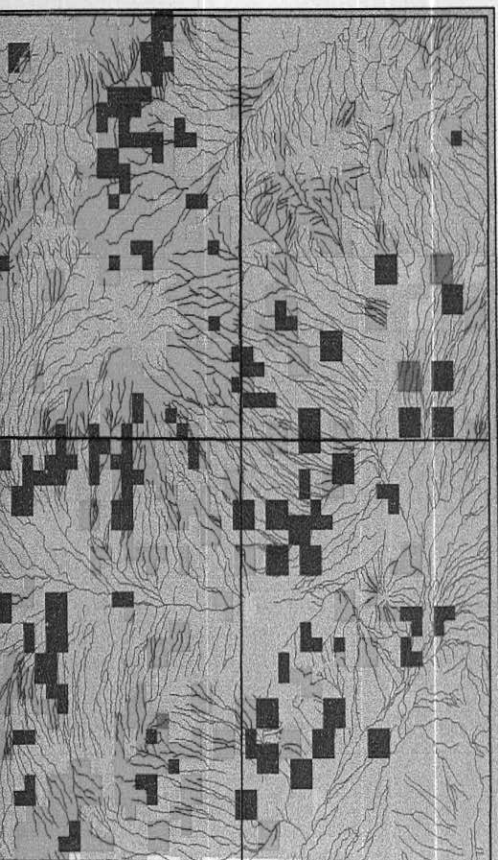


Grid Distribution Map of As(ei).

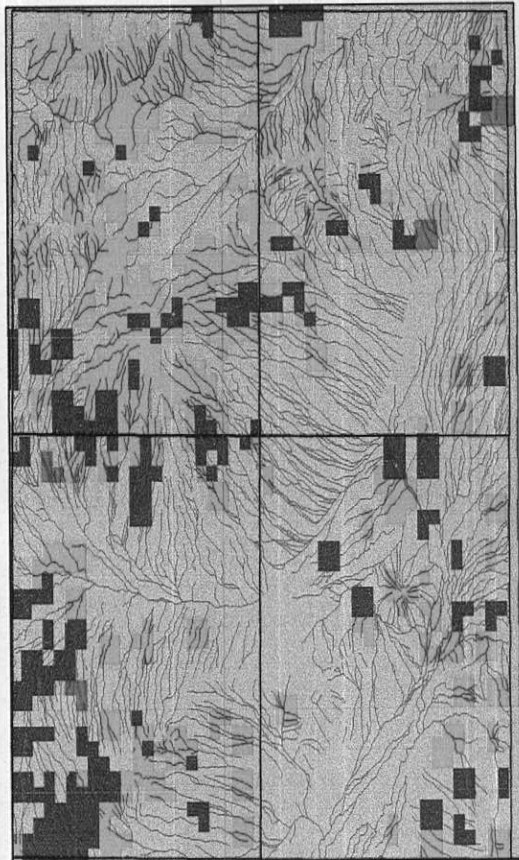


Grid Distribution Map of Ba(ei).

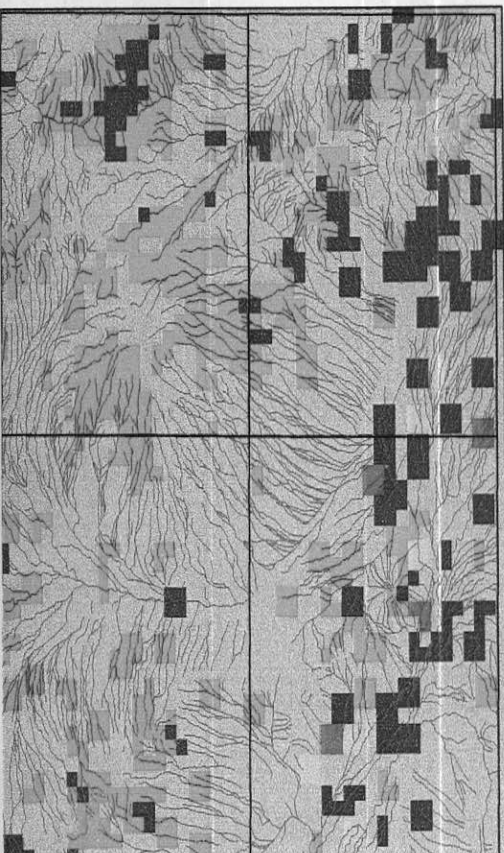
Fig. 7-1



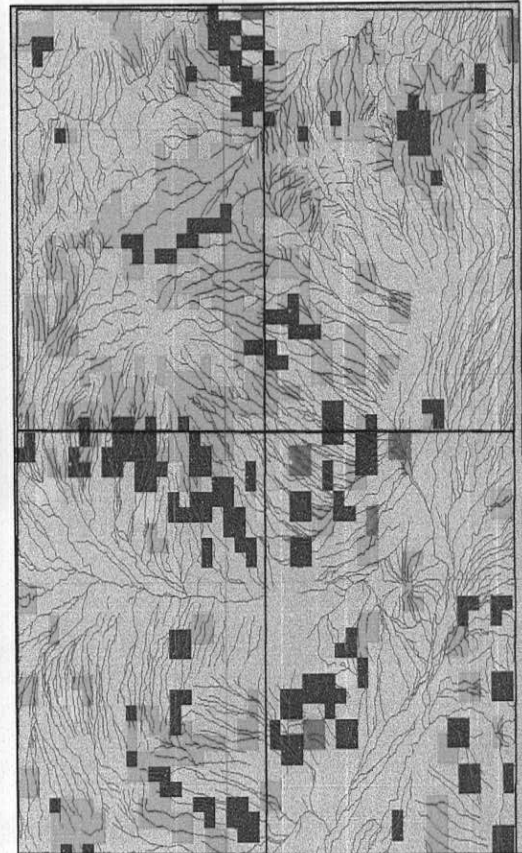
Grid Distribution Map of $\text{Be}(\text{ei})$.



Grid Distribution Map of $\text{Bi}(\text{ei})$.

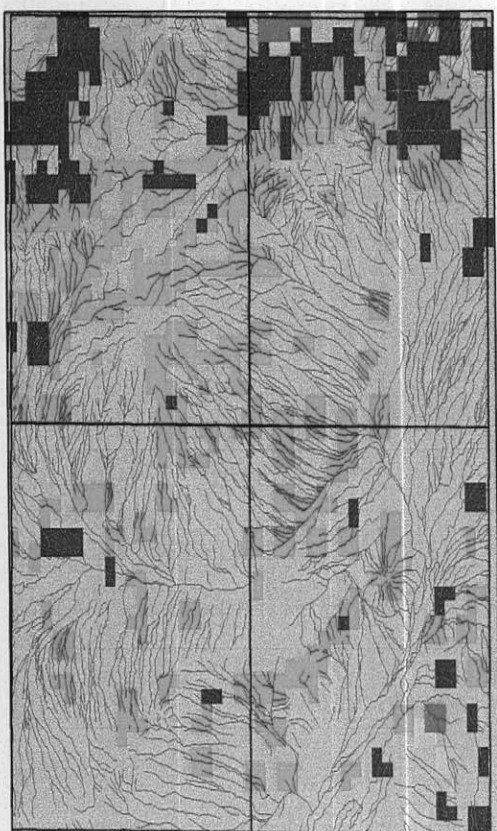


Grid Distribution Map of $\text{B}(\text{ei})$.

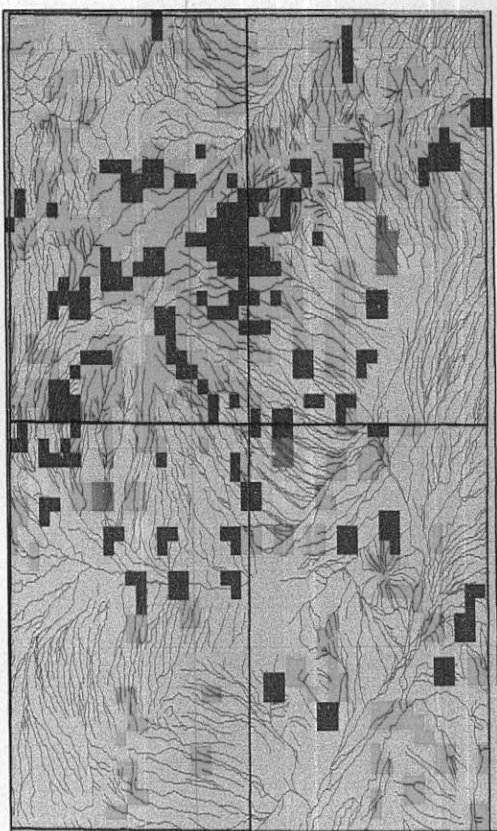


Grid Distribution Map of $\text{Co}(\text{ei})$.

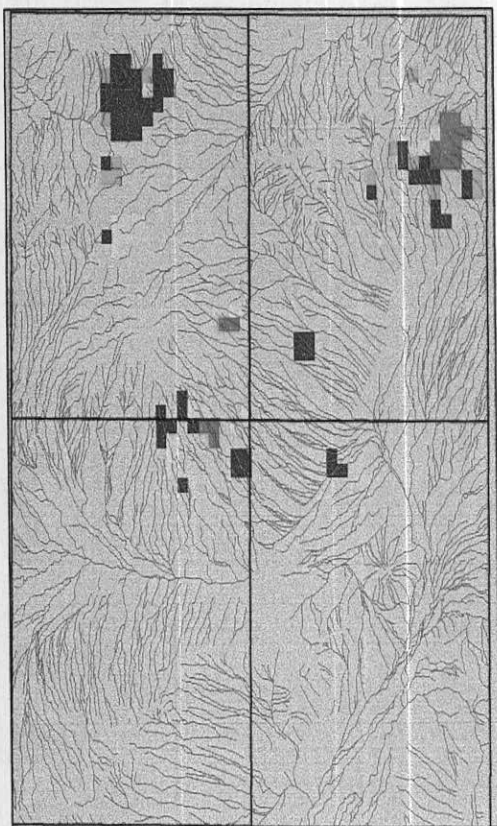
Fig. 7-2



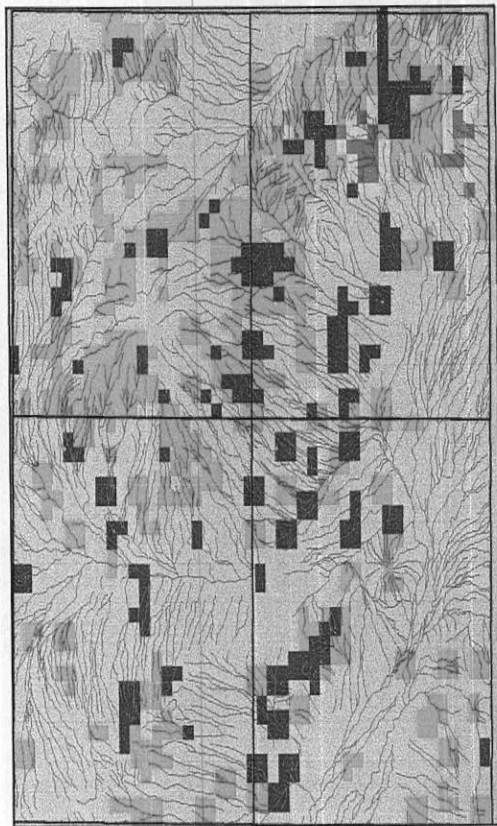
Grid Distribution Map of Cr(ei) .



Grid Distribution Map of Cu(ei) .

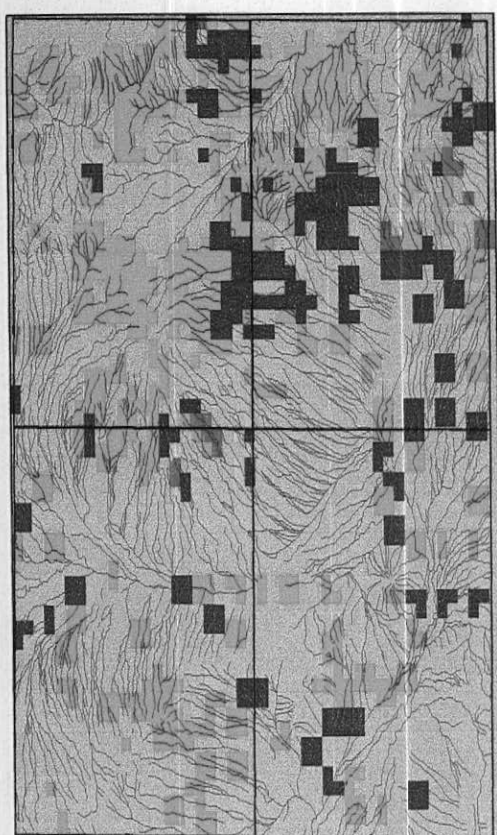


Grid Distribution Map of Hg(ei) .

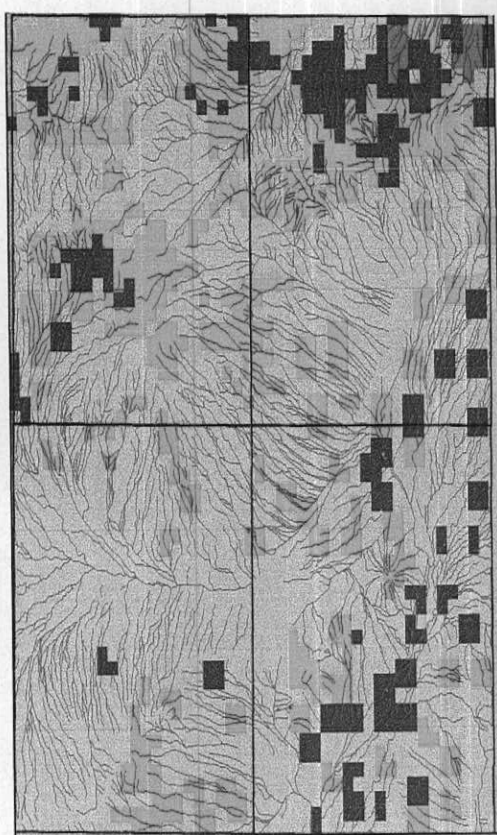


Grid Distribution Map of Mn(ei) .

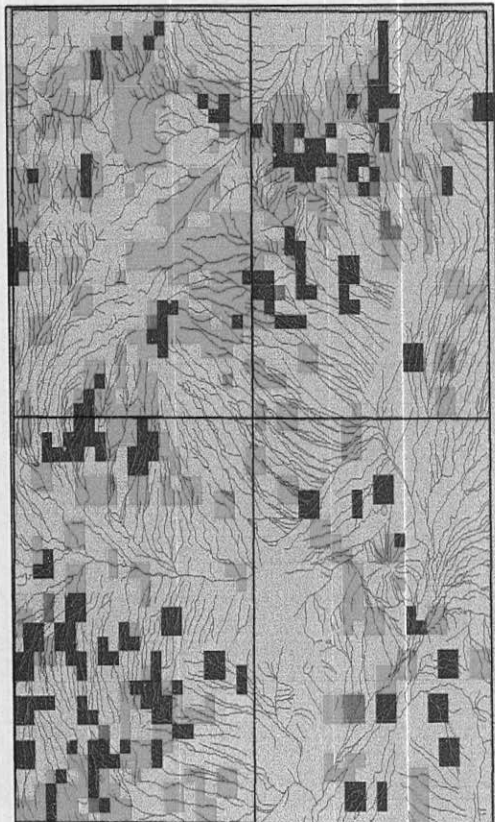
Fig. 7-3



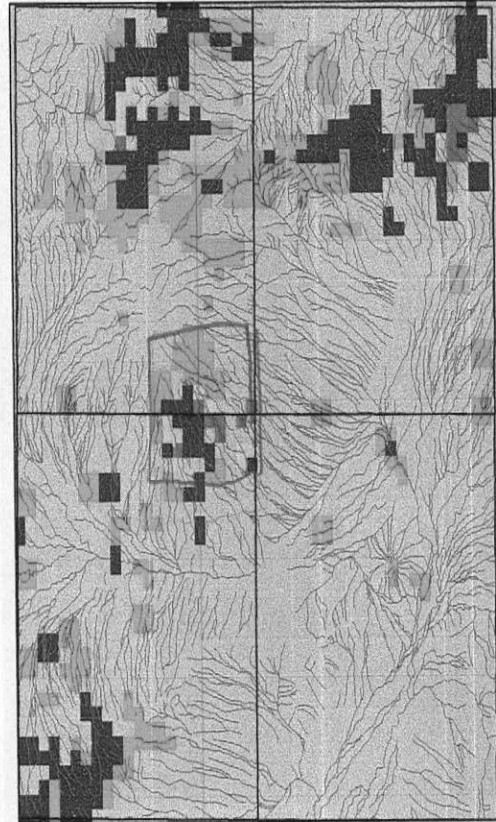
Grid Distribution Map of Mo(ei) .



Grid Distribution Map of Ni(ei) .

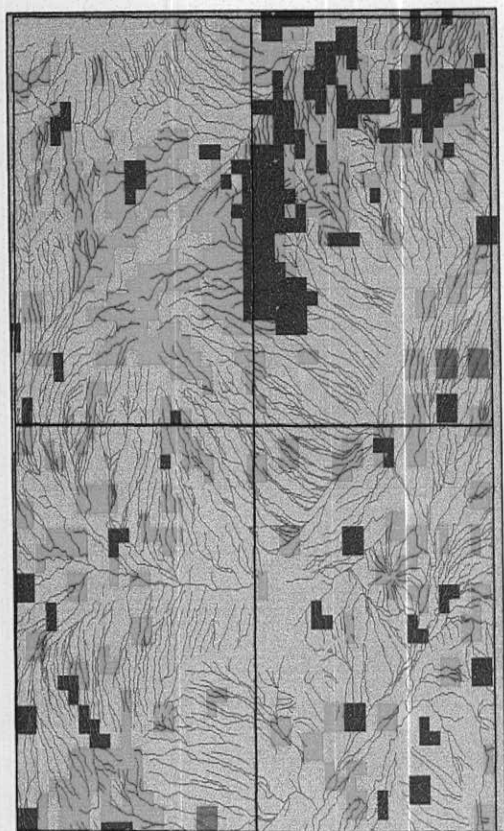


Grid Distribution Map of Pb(ei) .

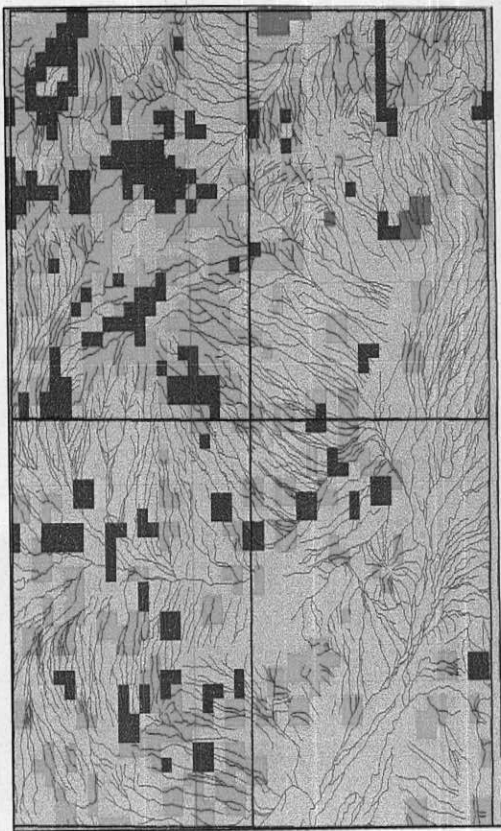


Grid Distribution Map of Sb(ei) .

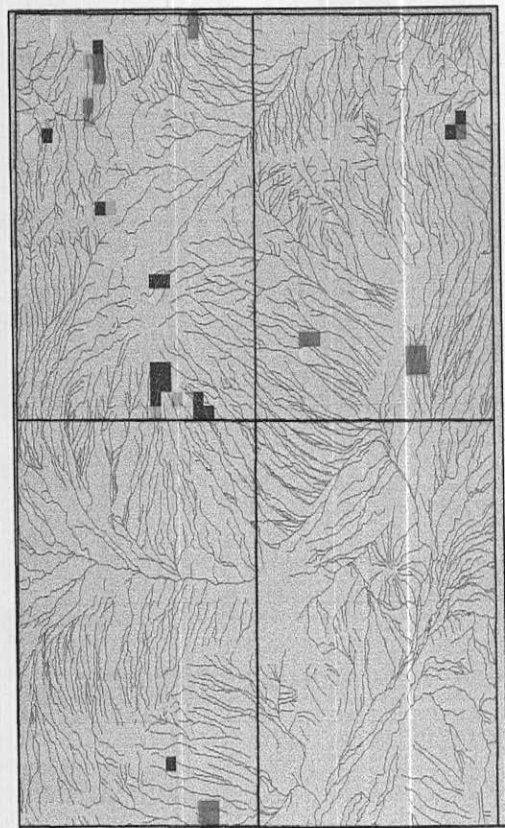
Fig. 7-4



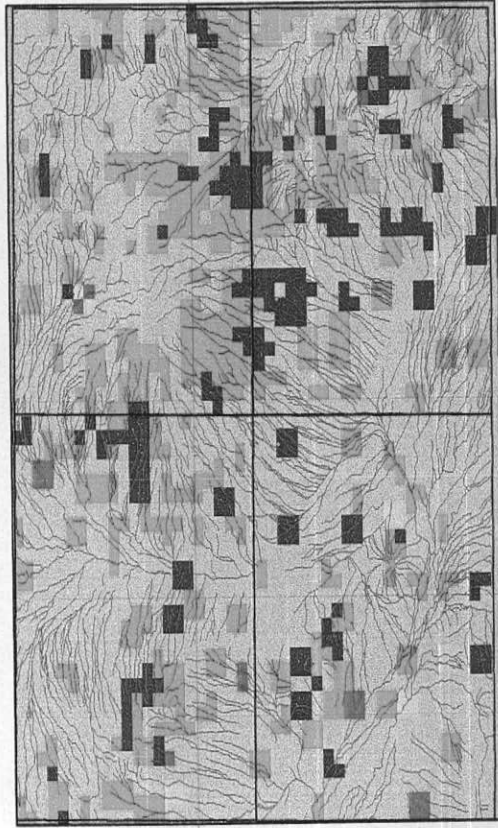
Grid Distribution Map of $\text{Sn}(\text{ei})$.



Grid Distribution Map of $\text{Ti}(\text{ei})$.



Grid Distribution Map of $\text{W}(\text{ei})$.



Grid Distribution Map of $\text{Zn}(\text{ei})$.

Fig. 7-5

۵- محاسبه آنومالی در جامعه نمونه‌های آلوبیوم

(موضوع بند ۴-۸ شرح خدمات)

با توجه به اینکه بخش وسیعی از برگه ۱۰۰،۰۰۰:۱ عباس آباد را رسوبات آبرفتی پوشانده است، از این رسوبات از مکان‌هایی که قبل روی نقشه طراحی مشخص شده‌اند، اقدام به برداشت ۱۸۵ نمونه تحت عنوان "جامعه نمونه‌های آلوبیوم" گردیده است. محاسبه آنومالی‌ها و تحلیل داده‌های حاصل از پردازش این نمونه‌ها با نمونه‌های برداشت شده از رسوبات آبراهه‌ای تفاوت دارد. این داده‌ها به علت ماهیت غیرجهتی شان، فاقد مفهوم سنگ بالادرست می‌باشند و همگی تحت عنوان یک جامعه مورد بررسی قرار می‌گیرند و سپس نقشه حاصل از این الگوریتم تخمین به نقشه حاصل از تخمین شبکه‌ای متصل می‌شود. نتیجه واریوگرافی جامعه نمونه‌های آبرفتی برای متغیرهای مختلف به صورت جدول زیر است:

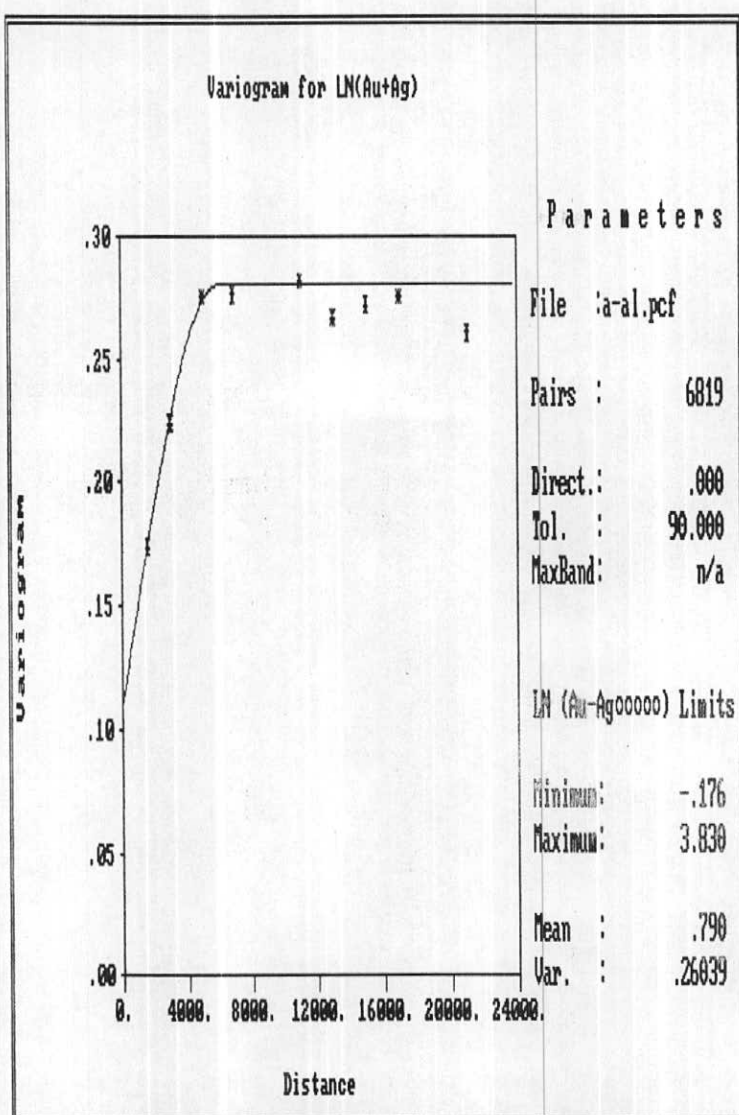
متغیر	اثر فاعل‌های	سقف	دامنه (فتر)	مدل برآشش شده
Au+Ag	۰/۱۳	۰/۳۶	۶۰۰۰	کروی
As+Sb+Hg	۰/۰۵۵	۰/۱۸۵	۲۳۰۰۰	کروی
Cu+Pb+Zn	صفر	۰/۰۴	۷۰۰۰	کروی
Sn+W+Be	صفر	۰/۰۰۶۳	۵۲۰۰	کروی
Ni+Cr	۰/۰۰۹	۰/۰۶	۸۰۰۰	کروی

واریوگرام‌های متغیرهای مختلف در اشکال (۶-۷) تا (۱۰-۷) آورده شده است. از نتایج این واریوگرام‌ها در تخمین مقادیر متغیرهای مختلف و نهایتاً رسم نقشه‌های آن‌ها استفاده گردیده است.

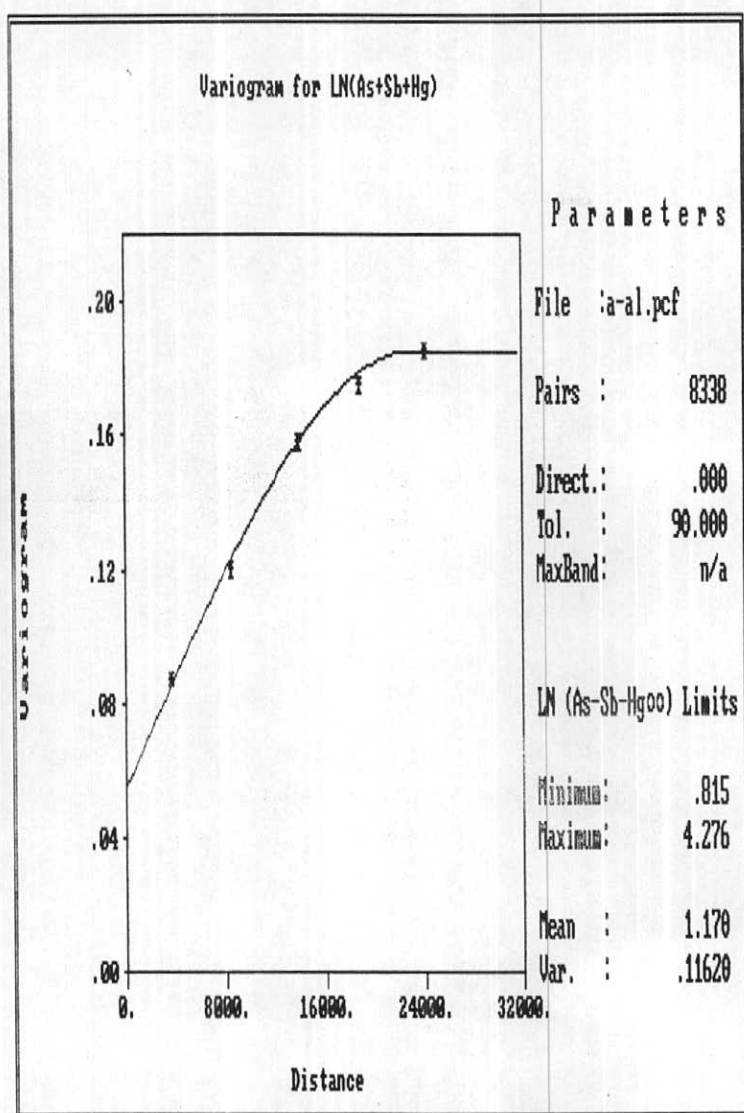
۶- برداشت نمونه‌های کانی‌سنگین و مینرالیزه

(موضوع بند ۱-۹ شرح خدمات)

برای برگه ۱۰۰،۰۰۰:۱ عباس آباد اقدام به برداشت و مطالعه ۸۸ نمونه کانی‌سنگین و ۱۲ نمونه تکراری کانی‌سنگین در محدوده آنومالی‌های مقدماتی گردیده است. (به استثناء چهار نمونه که بنا به تشخیص سر زمین خارج از محدوده آنومالی‌ها برداشت شد). نقشه



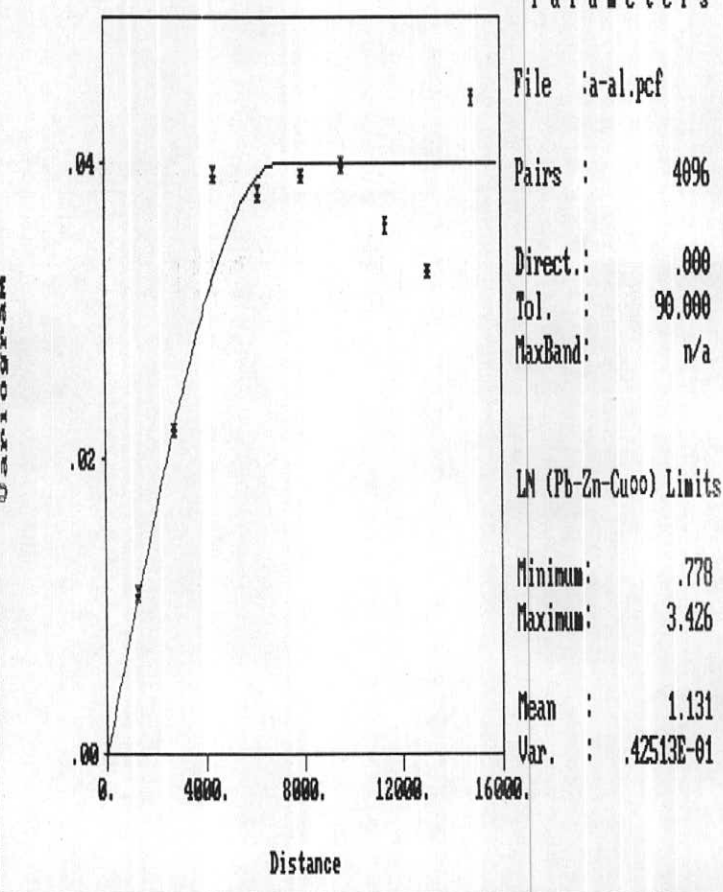
شکل(۱-۷) : واریوگرام جامعه نمونه های آبرفتی برای متغیرهای LN(Au+Ag)



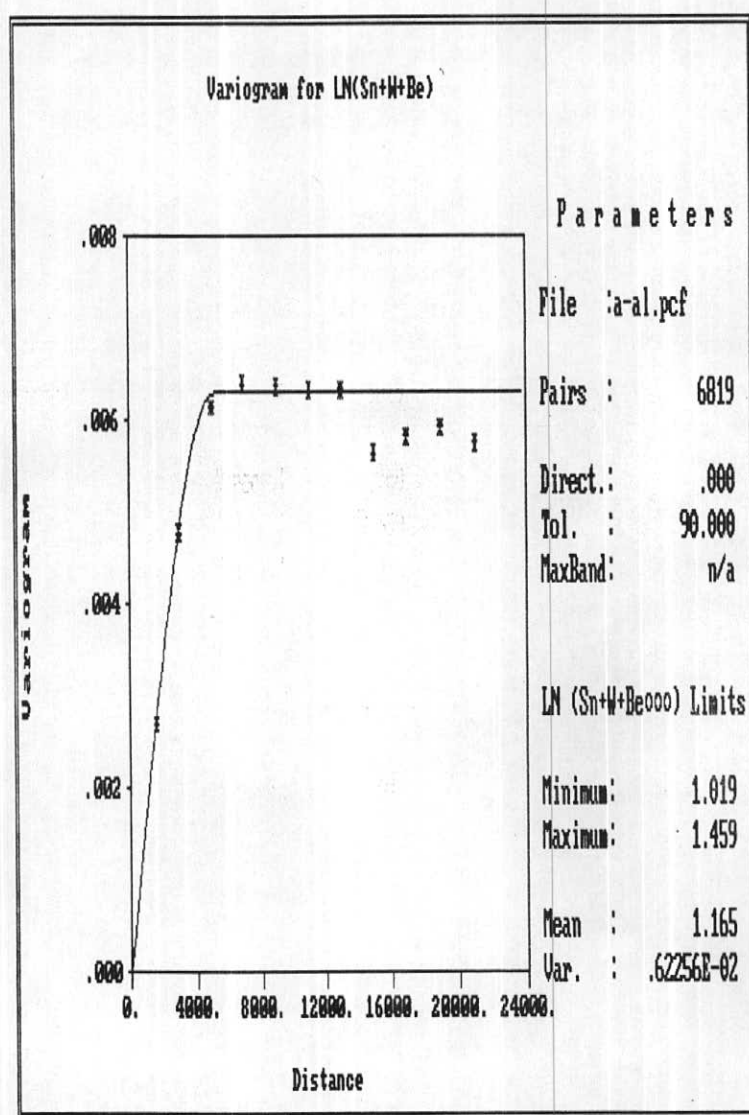
شکل (۷-۷) : واریوگرام جامعه نمونه های آبرفتی برای متغیرهای LN(As+Sb+Hg)

Variogram for LN(Cu+Pb+Zn)

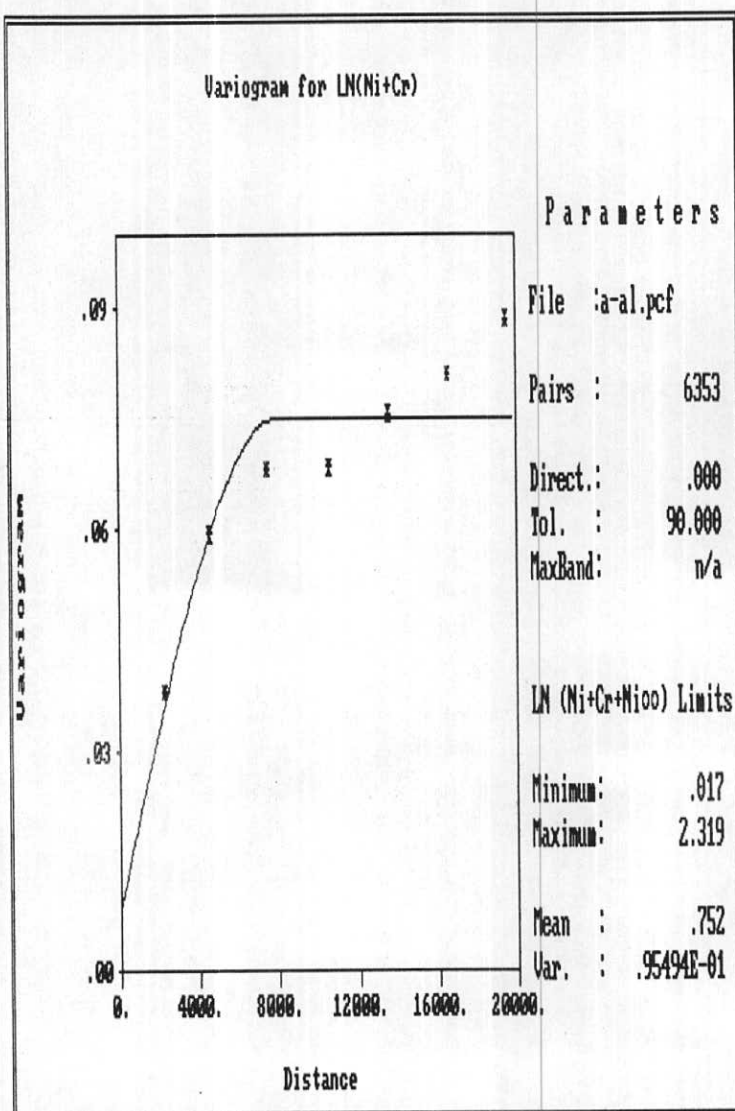
Parameters



شکل (۷-۸) : واریوگرام جامعه نمونه های آبرفتی برای متغیرهای LN (Pb+Zn+Cu)



شکل(۹-۷) : واریوگرام جامعه نمونه های آبرفتی برای متغیرهای LN(Sn+W+Be)



شکل(۱۰-۷) : واریوگرام جامعه نمونه های آبرفتی برای متغیرهای LN(Ni+Cr)

شماره یک محل نمونه های کانی سنگین را همراه با سایر نمونه ها برای برگه ۱:۱۰۰،۰۰۰ عباس آباد نشان می دهد. داده های خام کانی سنگین برحسب ppm در جدول ۳ ضمیمه (بر روی CD) آورده شده است. همچنین در محدوده این برگه ۷۶ نمونه از آثار میترالیزه و سیستم های پلمبینگ برداشت گردیده است. نقشه شماره یک ضمیمه محل این نمونه ها را نشان می دهد.

۶- نکاتی در مورد محل چگالی و وزن نمونه های کانی سنگین و آماده سازی و مطالعه آنها (موضوع بند ۲-۹، ۳-۹ و ۴-۹ شرح خدمات)

برای اکتشافات ناحیه ای (کوچک مقیاس) رودخانه های بزرگ با حوضه آبریز وسیع مناسبتر هستند. زیرا محدودیت تعداد نمونه در آنها برطرف می گردد ولی در این برگه به دلیل برداشت اختصاصی نمونه های کانی سنگین در محدوده آنومالی های ژئوشیمیابی مقدماتی نیازی به رعایت اصل فوق نبوده است. هر نمونه کانی سنگین از چند محل که احتمال تمرکز کانی سنگین در آن بیشتر بوده Head (نتخته سنگها یا Tail آنها) برداشت شده است. در چنین مکانهایی ذرات شن و ماسه بیشتر حضور دارند. در مناطقی که نسبتاً مرتفع و بر فکر و در تیجه فرسایش شیمیابی شدیدتر بوده است، پدایش چنین محل هایی مشکل بوده و در تیجه نمونه های کانی سنگین با وزن بیشتر از بخش ماسه ای - سیلتی - رسی برداشت گردیده است.

چگالی نمونه برداری کانی سنگین، علاوه بر سقف تعیین شده بوسیله شرح خدمات عمده تابع مساحتی است که باید با استفاده از این روش تحت ارزیابی قرار گیرد. از آنجاکه در این برگه مناطق تحت بررسی کانی سنگین محدود به مناطق آنومالی ژئوشیمیابی مقدماتی است، بزرگی های پراکنده ژئوشیمیابی از قبل مشخص شده و در تیجه نمونه های کانی سنگین متعلق به هر برگه ۱:۵۰،۰۰۰ در چنین مناطقی تقسیم شده است. در این تقسیم بندي فرض بر آن است که برای هر حوضه آبریز با مساحت یک یا چند کیلومترمربع، یک یا دو نمونه کانی بوده است. علاوه بر موارد فوق، شدت آنومالی های ژئوشیمیابی و نیز تعداد عناصر در پاراائز ژئوشیمیابی در تعیین چگالی نمونه برداری کانی سنگین موثر واقع شده است. تحت شرایط یکسان از نظر مساحت حوضه های آبریز، اولویت بیشتر به حوضه های آبریزی داده شده است که شدت آنومالی ژئوشیمیابی آن بیشتر بوده و یا تعداد

عناصر در پاراژنر ژئوشیمیایی بیشتر بوده است. وزن نمونه کانی سنگین بسته به هدف مورد نظر تغییر می‌کند. معمولاً در برداشت نمونه‌های کانی سنگین آن مقدار از رسوب رودخانه که لازم است برداشت شود تا پس از الک‌کردن حدود ۴ لیتر از جزء $20 - 80 +$ مش حاصل گردد، برداشت می‌شود و در محل الک می‌گردد.

این نمونه‌ها گل شوی شده و حجم نمونه قبل و بعد از گل شوی اندازه‌گیری شد. سپس مرحله لاوک شوی روی نمونه‌ها صورت گرفت. بخش باقی مانده بوسیله دو آهن ریا باشدت‌های استاندارد به سه جزء مغناطیسی شدید، مغناطیسی ضعیف و غیرمغناطیسی تقسیم شده و حجم هر کدام اندازه‌گیری شد. آنگاه بخش غیرمغناطیسی ضعیف و غیرمغناطیسی تقسیم شده و حجم هر کدام اندازه‌گیری شد. آنگاه بخش غیرمغناطیسی برای برموفم گیری فرستاده شد تا بخش‌های سنگین و غیرسنگین از هم جدا شوند. پس از طی مراحل فوق هر جزء مورد مطالعه قرار گرفت و درصد آنها در آن جزء مشخص شد. نهایتاً با استفاده از این درصدها و حجم نمونه اولیه در هر یک از مراحل، مقدار هر یک از کانی‌های سنگین بر حسب ppm در نمونه برداشت شده تعیین گردید. بدینهی است اعداد حاصله معرف ppm در محیط آبراهه‌ای آنها نیست زیرا نمونه‌ها قبل از الک شده اند و جزء درشت دانه حذف شده است. البته می‌توان گفت که مقادیر در محیط آنها باید قطعاً کمتر از مقادیر بدست آمده باشد. شرح تابع نمونه‌های کانی سنگین به همراه نمونه‌های میزرازیزه در زیر می‌آید:

لازم به ذکر است محدوده‌هایی که برای برداشت نمونه کانی سنگین انتخاب گردیده، از طریق شماره نمونه ژئوشیمیایی در همان محدوده، معروف می‌شوند. این شماره‌ها در اول هر پاراگراف از مطالب بند ۶ می‌آید.

۱-۱-۱- شرح نمونه‌های کانی سنگین و میزرازیزه برداشت شده از مناطق آنومال برگه ۱:۵۰،۰۰۰ عباس آباد

۱- نمونه AAI (بازده کیلومتری شمال شرق عباس آباد)

این نمونه از مختصات جهانی (۴۰۳۱۴۷۰ و ۴۵۳۰۹۸) برداشت گردیده است. سنگهای بالادست این نمونه ولکانیکهای تیپ اشیاع شده می‌باشد. این نمونه نسبت به عناصر Sb , Hg , Mn و W آنومال می‌باشد. از این محدوده دو نمونه کانی سنگین به شماره‌های AAIH و AA1bH برداشت شده است که شرح آنها در زیر می‌آید:

- نمونه $AA1H$ نسبت به کانیهای بیوتیت و شلیلت غنی شدگی نشان می دهد.
- نمونه $AA1bH$ دارای مقادیر قابل ملاحظه ای پیریت اکسید می باشد.
- تعداد ۱۱ نمونه میزآلیز، از این محدوده برداشت شده که شرح آنها در زیر می آید:
- نمونه $AA1M1$ نسبت به هیچ یک از عناصر کانساری غنی شدگی نشان نمی دهد.
- نمونه $AA1M2$ نسبت به هیچ یک از عناصر کانساری غنی شدگی نشان نمی دهد.
- نمونه $AA1M3$ نسبت به عنصر W غنی شدگی نشان می دهد.
- نمونه $AA1M4$ نسبت به عنصر W غنی شدگی نشان می دهد.
- نمونه $AA1M5$ نسبت به عناصر Cu و Ag غنی شدگی قابل توجهی نشان می دهد.
- نمونه $AA1M6$ نسبت به هیچ یک از عناصر کانساری غنی شدگی نشان نمی دهد.
- نمونه $AA1M7$ نسبت به عناصر Cu و Ag غنی شدگی قابل توجهی نشان می دهد.
- نمونه $AA1M8$ نسبت به هیچ یک از عناصر کانساری غنی شدگی نشان نمی دهد.
- نمونه $AA1M9$ نسبت به هیچ یک از عناصر کانساری غنی شدگی نشان نمی دهد.
- نمونه $AA1A2$ نسبت به هیچ یک از عناصر کانساری غنی شدگی نشان نمی دهد.
- نمونه $AA1A3$ که مورد تجزیه XRD قرار گرفته و حاوی کوارتز، فلکلاین، سلیمانیت، پاتاسیک، کلسیت، کانی های رسی و هماتیت می باشد.

۲- نمونه $AA2$ و $AA4$ (ده کیلومتری شمال شرق عباس آباد)

این نمونه ها از مختصات جهانی زیر برداشت شده اند:

- نمونه $AA2$ به مختصات جهانی (452488 , 4030560)

- نمونه $AA4$ به مختصات جهانی (450715 , 4029500)

سنگهای موجود در بالادست این دو نمونه عبارتند از: سنگهای رسوی تخریبی،

سنگهای رسوی تخریبی - شیمیایی، ولکانیکهای اسیدی و ولکانیکهای تیپ اشباع شده.

نمونه $AA2$ نسبت به عنصر Hg و نمونه $AA4$ نسبت به عناصر Hg و Sb آنومال

می باشند. از این محدوده ۴ نمونه کانی سنگین برداشت شده که شرح آنها در زیر می آید:

- نمونه $AA2aH$ که در آن هیچ کانی با اهمیتی مشاهده نشده است.

- نمونه $AA2bH$ که در آن هیچ کانی با اهمیتی مشاهده نشده است.

- نمونه $AA2cH$ که در آن کانیهای مغنتیت، ملاکیت و اولیزیست مشاهده شده است.

- نمونه AA4H که حاوی کانی اولیزیست به مقدار قابل توجهی می باشد.

۳- نمونه AA3 (نه کیلومتری شمال شرق عباس آباد)

این نمونه از مختصات جهانی (4029650 و 451822) برداشت شده است. سنگهای بالادست آن عبارت است از: سنگهای رسویی تخریبی - شیمیایی. این نمونه نسبت به عناصر آنومال Sb و Mo ، Mn ، Hg AA3-1H بروز آن در زیر می آید:

- نمونه AA3-1H که در آن هیچ کانی ای به مقدار با اهمیت مشاهده نگردیده است.

- نمونه AA3-2H که حاوی مقادیر قابل ملاحظه ای کرومیت و مارتیت می باشد.

۳ نمونه میزالیزه از این منطقه برداشت شده است که شرح آنها در زیر می آید:

- نمونه AA3A1 نسبت به هیچ یک از عناصر کانساری غنی شدگی نشان نمی دهد.

- نمونه AA3A2 نسبت به هیچ یک از عناصر کانساری غنی شدگی نشان نمی دهد.

- نمونه AA3P1 دارای آنومالی های Hg ، Cu ، Pb ، Zn

۴- نمونه AA15 (پنج کیلومتری شمال عباس آباد)

این نمونه از مختصات جهانی (4030790 و 444060) برداشت شده است. در بالادست این نمونه سنگهای رسویی تخریبی - شیمیایی، سنگهای رسویی تخریبی، ولکانیکهای اسیدی و ولکانیکهای تیپ اشباع شده قرار دارند. از این محدوده یک نمونه کانی سنگین به شماره AA15H برداشت شده است که نسبت به هیچ یک از کانیهای با اهمیت غنی شدگی ندارد.

۵- نمونه AA16 (چهار کیلومتری شمال عباس آباد)

این نمونه از مختصات جهانی زیر برداشت شده است:

- نمونه AA16 از مختصات جهانی (4028110 و 445266) در بالادست این نمونه سنگهای رسویی تخریبی - شیمیایی، سنگهای رسویی تخریبی، ولکانیکهای اسیدی، ولکانیکهای تیپ اشباع شده و سنگهای آذرآواری وجود دارند. نمونه AA16 دارای آنومالی عنصر Mn می باشد. از این محدوده یک نمونه کانی سنگین برداشت

شده است که شرح آن در زیر می‌آید:

- نمونه AA16H که شامل مقادیر با اهمیت هماتیت، اپیدوت و اولیزیست می‌باشد.

۶- نمونه‌های AA17 و AA18 (شش کیلومتری شمال عباس‌آباد)

این نمونه‌ها از مختصات جهانی زیر برداشت شده‌اند:

- نمونه AA17 از مختصات جهانی (4029440 و 444278)

- نمونه AA18 از مختصات جهانی (4030040 و 443985)

سنگهای موجود در بالادست این نمونه‌ها عبارتند از: ولکانیکهای تیپ اشباع شده.

هر دو نمونه فوق دارای آنومالی Mn می‌باشند. از این محدوده ۲ نمونه کانی سنگین برداشت

شده است که شرح آنها در زیر می‌آید:

- نمونه AA17H حاوی مقدار قابل ملاحظه‌ای کانی بیوتیت می‌باشد.

- نمونه AA18H دارای کانیهای اورپیمنت و شلنیت می‌باشد.

۷- نمونه‌های AA19، AA20، AA21، AA22 و AA23 (هفت کیلومتری شمال عباس‌آباد)

این نمونه‌ها از مختصات جهانی زیر برداشت شده‌اند:

- نمونه AA19 از مختصات جهانی (4030790 و 444060)

- نمونه AA20 از مختصات جهانی (4031510 و 444505)

- نمونه AA21 از مختصات جهانی (4031080 و 444203)

- نمونه AA22 از مختصات جهانی (4031010 و 444422)

آنومالی Cu در نمونه‌های AA19، AA20، AA21 و AA22 و آنومالی Mn در نمونه

AA19 مشاهده شده است.

از این محدوده ۴ نمونه کانی سنگین برداشت شده که شرح آنها در زیر می‌آید:

- نمونه AA19H که نسبت به هیچ کانی ای غنی شدگی قابل ملاحظه‌ای نشان نمی‌دهد.

- نمونه AA20H که نسبت به هیچ کانی ای غنی شدگی قابل ملاحظه‌ای نشان نمی‌دهد.

- نمونه AA21H که حاوی مقادیر قابل ملاحظه‌ای کالکوپیریت و اپیدوت می‌باشد.

- نمونه AA22H که دارای مقادیر قابل ملاحظه‌ای از هیچ کانی با اهمیتی نمی‌باشد.

تعداد ۱۱ نمونه میترالیزه از این منطقه برداشت شده است که شرح آنها در زیر می‌آید:

- نمونه AA19M1 نسبت به هیچ کدام از عناصر کانساری آنومالی نشان نمی دهد.
- نمونه AA19M2 نسبت به هیچ کدام از عناصر کانساری آنومالی نشان نمی دهد.
- نمونه AA19M3 نسبت به هیچ کدام از عناصر کانساری آنومالی نشان نمی دهد.
- نمونه AA19M4 دارای آنومالی Cu می باشد.
- نمونه AA20A1 دارای غنی شدگی قابل توجه Bi می باشد.
- نمونه AA20A2 نسبت به هیچ کدام از عناصر کانساری غنی شدگی نشان نمی دهد.
- نمونه AA20A3 نسبت به هیچ کدام از عناصر کانساری غنی شدگی نشان نمی دهد.
- نمونه AA21M1 نسبت به هیچ کدام از عناصر کانساری غنی شدگی نشان نمی دهد.
- نمونه AA21A1 نسبت به هیچ کدام از عناصر کانساری غنی شدگی نشان نمی دهد.
- نمونه AA21P1 نسبت به هیچ کدام از عناصر کانساری غنی شدگی نشان نمی دهد.
- نمونه AA19A1 که مورد تجزیه XRD قرار گرفته است و حاوی فلزات سدیک، پرهنیت، داتولیت، کلسیت، آنالسیم، هماتیت و کانی حاوی فاز بی شکل می باشد.

۸- نمونه AA23 (چهار کیلومتری شمال عباس آباد)

این نمونه از مختصات جهانی (4027900 و 444406) برداشت گردید. سنگهای رسوبی تخریبی - ژئوشیمیایی، سنگهای رسوبی تخریبی، ولکانیکهای اسیدی، سنگهای آذراواری و ولکانیکهای تیپ اشاعر شده در بالادست این نمونه رخنمود دارند. این نمونه دارای آنومالی های Cu و Pb می باشد. از این محدوده نمونه کانی سنگین $AA23H$ برداشت شده که نسبت به کانی های هماتیت، شلیت و اپیدوت غنی شدگی قابل توجهی دارد.

۹- نمونه های AA26، AA31، AA32، AA33 (بانزدہ کیلومتری شمال شرق عباس آباد)

این نمونه ها از مختصات جهانی زیر برداشت شده اند:

- نمونه AA26 از مختصات جهانی (4035350 و 453657)
- نمونه AA31 از مختصات جهانی (4035890 و 452947)
- نمونه AA32 از مختصات جهانی (4036410 و 452136)
- نمونه AA33 از مختصات جهانی (4036590 و 451916)

سنگ بالا دست این چهار نمونه شامل سنگهای آذرآواری می‌باشد. نمونه های AA26 و AA32 نسبت به عنصر Ni آنومالی نشان می دهند.

از این محدوده تعداد ۴ نمونه کانی سنگین برداشت شده، که شرح آنها در زیر می‌آید:

- نمونه AA26H حاوی مقادیر قابل ملاحظه‌ای پیریت اکسید و شلیت می‌باشد.

- نمونه AA31H حاوی مقدار قابل توجهی از آندالوزیت می‌باشد.

- نمونه AA32H نسبت به کانی باریت و اورپیمنت غنی شدگی نشان می دهد.

- نمونه AA33H نسبت به هیچ کانی با اهمیتی غنی شدگی نشان نداده است.

۱۰- نمونه AA200 (شانزده کیلومتری شمال شرق عباس آباد)

این نمونه از مختصات جهانی (4036290 و 454924) برداشت شد. در بالا دست این

نمونه سنگهای اولترامافیک و سنگهای آذرآواری وجود دارند. این نمونه نسبت به عنصر Co غنی شدگی نشان می دهد. نمونه کانی سنگین AA200H که از این محل برداشت شده نسبت به کانیهای اپیدوت و شلیت غنی شدگی نشان داده است.

۱۱- نمونه AA127 (پانزده کیلومتری شمال شرق عباس آباد)

این نمونه از مختصات جهانی (4037990 و 449054) برداشت گردید. سنگهای

بالا دست این نمونه شامل سنگهای اولترامافیک می‌باشد. این نمونه نسبت به عنصر Cr آنومالی نشان می دهد. نمونه کانی سنگین AA127H که از این محل برداشت شده حاوی مقادیر قابل توجهی از کانیهای تورمالین و آندالوزیت می‌باشد.

۱۲- نمونه AA128 (پانزده کیلومتری شمال شرق عباس آباد)

این نمونه از مختصات جهانی (4038250 و 448521) برداشت گردید. این نمونه درون

آبرفت قرار دارد. این نمونه دارای آنومالی Cr می‌باشد. نمونه کانی سنگین AA128H که از این محل برداشت شده نسبت به کانیهای اسمیت زوینت، آندالوزیت و تورمالین غنی شدگی قابل توجهی نشان داده است.

۱۳- نمونه AA134 (پانزده کیلومتری شمال عباس آباد)

این نمونه از مختصات جهانی (4037830 و 447546) برداشت شده است. سنگهای رسوبی تخریبی، سنگهای اولترامافیک، سنگهای آذرآواری و ولکانیکهای تیپ اشباع شده در بالادست این نمونه رخنمون دارند. عنصر Ni در این نمونه غنی شدگی نشان می‌دهد. نمونه کانی سنگین AA134H که از این محل برداشت شده نسبت به هیچ کانی با اهمیت غنی شدگی قابل توجهی نشان نداده است.

۱۴- نمونه AA135 (پانزده کیلومتری شمال عباس آباد)

این نمونه از مختصات جهانی (4038500 و 446940) برداشت گردید. سنگهای اولترامافیک و ولکانیکهای تیپ اشباع شده در بالادست رخنمون دارند. نمونه کانی سنگین AA135H که از این محل برداشت شده دارای مقادیر قابل توجهی از کانی اسمیت زوئیت می‌باشد.

۱۵- نمونه AA136 (پانزده کیلومتری شمال عباس آباد)

این نمونه از مختصات جهانی (4038750 و 446084) برداشت شده است. سنگهای رسوبی تخریبی، سنگهای اولترامافیک و سنگهای آذرآواری در بالادست این نمونه قرار دارند. نمونه کانی سنگین AA136H که از این محدوده برداشت شده نسبت به هیچ کدام از کانی‌های با اهمیت غنی شدگی قابل توجهی نشان نداده است.

۱۶- نمونه AA59 (شانزده کیلومتری شمال غرب عباس آباد)

این نمونه از مختصات جهانی (4039200 و 437936) برداشت شد. در بالادست این نمونه سنگهای رسوبی تخریبی، سنگهای رسوبی تخریبی - شیمیایی، ولکانیکهای اسیدی و ولکانیکهای تیپ اشباع شده رخنمون دارند. عناصر Cr و Ti در این نمونه آنمال می‌باشند. در نمونه کانی سنگین AA59H که از این محدوده برداشت شده کانی شیلیت مشاهده گردیده است.

۱۷- نمونه AA6I (شانزده کیلومتری شمال غرب عباس آباد)

این نمونه از مختصات جهانی (4037240 و 435225) برداشت شد. سنگهای موجود در بالادست این نمونه عبارتند از: سنگهای رسوی تخریبی، سنگهای آذرآواری و ولکانیکهای تیپ اشباع شده، عنصر As در این نمونه غنی شدگی قابل توجهی نشان می دهد. در نمونه کانی سنگین AA6IH که از این محل برداشت شده است کانی آندالوزیت مشاهده شده است.

تعداد ۲ نمونه میزالیزه از این محدوده برداشت شده است که شرح آنها در زیر می آید:

- نمونه AA6IM نسبت به هیچکدام از عناصر کانساری آنومالی نشان نمی دهد.

- نمونه AA6IA نسبت به هیچکدام از عناصر کانساری آنومالی نشان نمی دهد. این نمونه مورد تجزیه XRD نیز قرار گرفته است که شامل کانی های کلسیت، کوارتز، فلدسپات سدیک و پتاسیک، کانی های رسی و هماتیت می باشد.

۱۸- نمونه AA120 (دوازده کیلومتری غرب، شمال شرق عباس آباد)

این نمونه از مختصات جهانی (4032650 و 436239) برداشت گردید. سنگهای بالادست این نمونه شامل سنگهای رسوبی تخریبی، ولکانیکهای اسیدی، سنگهای آذرآواری و ولکانیکهای تیپ اشباع شده می باشد. عنصر Pb در این نمونه آنومال می باشد. از این محدوده ۲ نمونه کانی سنگین برداشت شده که شرح آنها در زیر می آید:

- نمونه AA120H که حاوی کانی آزوریت می باشد.

- نمونه AA120AH که نسبت به هیچ کانی با اهمیتی غنی شدگی نشان نداده است.

۱۹- نمونه AA203 (یازده کیلومتری شرق عباس آباد)

این نمونه از مختصات جهانی (4025420 و 454880) برداشت شد. سنگهای رسوی تخریبی - شیمیایی در بالادست این نمونه وجود دارند. عنصر Mo در این نمونه آنومال می باشد. نمونه کانی سنگین AA203H که از این محل برداشت شده است نسبت به هیچ کانی با اهمیتی غنی شدگی قابل توجه ندارد.

۲۰- نمونه های AA152 و AA55 (نه کیلومتری جنوب شرق کلاته فرهنگ)

این دو نمونه از مختصات زیر برداشت شده اند:

- نمونه AA152 از مختصات جهانی (4016000 و 447459)

- نمونه AA55 از مختصات جهانی (4016350 و 450757)

این دو نمونه درون آبرفت قرار دارند. نمونه AA55 نسبت به Sn و نمونه AA152 نسبت

به عناصر W و Be غنی شدگی نشان می دهد. از این محدوده ۲ نمونه کانی سنگین برداشت شده

که شرح آنها در زیر می آید:

- نمونه AA55H که مقدار هیچ کانی با اهمیتی در آن به میزان قابل توجهی نمی باشد.

- نمونه AA152H که مقدار هیچ کانی با اهمیتی در آن به میزان قابل توجهی نمی باشد.

۲۱- نمونه AA142 (شش کیلومتری شرق عباس آباد)

این نمونه از مختصات جهانی (4022840 و 450467) برداشت گردید. این نمونه درون

آبرفت واقع است و نسبت به Be آنمالی نشان می دهد. در آنرا کانی سنگین AA142H

که از این محل برداشت شده کانی کروندوم مشاهده گردیده است.

۲۲- نمونه AA95 (پنج کیلومتری غرب کلاته فرهنگ)

این نمونه از مختصات جهانی (4020110 و 435666) برداشت شده است. در

بالا دست این نمونه ولکانیکهای اسیدی و ولکانیکهای تیپ اشباع شده قرار دارند. عنصر Pb

در این نمونه آنمال است. نمونه کانی سنگین AA95H که از این محل برداشت شده حاوی

مقادیر قابل ملاحظه ای از کانیهای مگنتیت و بیوتیت می باشد.

۲ نمونه میزرازه از این محدوده برداشت شده که شرح آنها در زیر می آید:

- نمونه AA95M1 که نسبت به عناصر Cu و Ag غنی شدگی بسیار قابل ملاحظه نشان

می دهد.

- نمونه AA95M2 که نسبت به هیچکدام از عناصر کانساری غنی شدگی نشان نمی دهد.

۲۳- نمونه AA251 (پنج کیلومتری جنوب غرب کلاته فرهنگ)

این نمونه از مختصات جهانی (4017110 و 437727) برداشت شده است. سنگهای

موجود در بالادست این نمونه شامل ولکانیکهای اسیدی و ولکانیکهای تیپ اشبع شده می‌باشد. عنصر W در این نمونه آنومالی نشان داده است. نمونه کانی سنگین $AA251H$ که از این محدوده برداشت شده است نسبت به هیچ کانی با اهمیتی غنی شدگی قابل ملاحظه‌ای نشان نداده است.

۶-۱-۲- شرح نمونه‌های کانی سنگین و مینرالیزه برداشت شده از مناطق آنومال برگه ۱:۵۰،۰۰۰ کوه دوشاخ

۱- نمونه‌های $AK226$ و $AK203$ (شش کیلومتری شمال کوه دوشاخ)

این دو نمونه از مختصات زیر برداشت شده‌اند:

- نمونه $AK226$ از مختصات جهانی (۴۰۰۶۴۱۰ و ۴۴۲۲۹۰)

- نمونه $AK230$ از مختصات جهانی (۴۰۰۸۹۰۰ و ۴۴۳۸۳۴)

نمونه‌های فوق درون آبرفت واقعند. نمونه $AK226$ نسبت به عنصر Co و نمونه $AK230$ نسبت به عنصر B آنومال می‌باشد. از این محدوده دو نمونه کانی سنگین برداشت شده که شرح آنها در زیر می‌آید:

- نمونه $AK226H$ که مقدار هیچ کانی با اهمیتی در آن قابل ملاحظه نمی‌باشد.

- نمونه $AK230H$ که در آن کانی شنیلت مشاهده گردیده است.

۲- نمونه‌های $AK216$ و $AK187$ (ده کیلومتری جنوب کوه دوشاخ)

این دو نمونه از مختصات زیر برداشت شده‌اند:

- نمونه $AK187$ از مختصات جهانی (۳۹۹۲۲۷۰ و ۴۴۶۸۸۵)

- نمونه $AK216$ از مختصات جهانی (۳۹۹۲۲۷۰ و ۴۴۹۶۸۹)

نمونه‌های فوق درون آبرفت قرار دارند. عنصر Ag در نمونه $AK187$ و عناصر Cr و Ba در نمونه $AK216$ آنومالی نشان داده‌اند. دو نمونه کانی سنگین از این محدوده برداشت شده که شرح آنها در زیر می‌آید:

- نمونه $AK187H$ که نسبت به هیچ کانی با اهمیتی غنی شدگی نشان نداده است.

- نمونه $AK216H$ که حاوی مقادیر قابل توجهی از کانیهای کرومیت، تورمالین، آندالوزیت و اپیدوت می‌باشد.

۳- نمونه های AK185 و AK183 (ده کیلومتری جنوب غرب کوه دوشاخ)

این دو نمونه از مختصات زیر برداشت شده است:

- نمونه AK185 از مختصات جهانی (441804 و 3991710)

- نمونه AK193 از مختصات جهانی (439855 و 3991730)

این نمونه ها در آبرفت قرار دارند. نمونه 5 دارای آنومالی های Zn و Pb و نمونه

3 دارای آنومالی B می باشد. دو نمونه کانی سنگین از این محدوده برداشت گردید که

شرح آنها در زیر می آید:

- نمونه AK185H حاوی مقدار قابل توجهی از کانی تورمالین می باشد و کانیهای شلیت و

اسمیت زونیت نیز در آن مشاهده شده است.

- نمونه AK193H که در آن کانی آندالوزیت به مقدار قابل توجه مشاهده گردیده است.

۴- نمونه AK191 (هفت کیلومتری جنوب غرب کوه دوشاخ)

این نمونه از مختصات جهانی (441263 و 3995980) برداشت شده است. در

بالادست سنگهای رسوبی تخریبی - شیمیایی وجود دارد. نمونه کانی سنگین AK191H که از

این محدوده برداشت شده حاوی کانی تیتانومگنتیت می باشد.

۵- نمونه AK264 (سیزده کیلومتری شمال غرب کوه دوشاخ)

این نمونه از مختصات جهانی (4010180 و 435505) برداشت شد. این نمونه درون

آبرفت قرار دارد. آنومالی های Co و Cu در این نمونه مشاهده شدن نمونه کانی سنگین به

شماره AK264H که از این محدوده برداشت شده نسبت به هیچ کانی با اهمیتی، غنی شلدگی

ندارد.

۶- نمونه AK254 (پانزده کیلومتری شمال غرب کوه دوشاخ)

این نمونه از مختصات جهانی (4009320 و 432868) برداشت گردید. سنگهای

بالادست این نمونه عبارتند از: ولکانیکهای اسیدی و ولکانیکهای تیپ اشیاع شده. آنومالی

Ba در این نمونه وجود دارد. در نمونه کانی سنگین AK254H که از این محدوده برداشت

شده است مقدار هیچ کانی با اهمیتی، قابل توجه نمی باشد.

- ۵- نمونه مینرالیزه از این محدوده برداشت شده که شرح آنها در زیر می‌آید:
- نمونه $AK254M1$ نسبت به هیچکدام از عناصر کانساری غنی شدگی نشان نمی‌دهد.
 - نمونه $AK254M2$ نسبت به هیچکدام از عناصر کانساری غنی شدگی نشان نمی‌دهد.
 - نمونه $AK254M3$ نسبت به هیچکدام از عناصر کانساری غنی شدگی نشان نمی‌دهد.
 - نمونه $AK254M4$ نسبت به هیچکدام از عناصر کانساری غنی شدگی نشان نمی‌دهد.
 - نمونه $AK254M5$ نسبت به عنصر Cu غنی شدگی قابل توجهی نشان می‌دهد.

۷- نمونه $AK267$ (هفده کیلومتری شمال غرب کوه دوشاخ)

این نمونه از مختصات جهانی (4011620 و 432872) برداشت گردید. ولکانیکهای اسیدی و ولکانیکهای اشباع شده سنگ بالا دست این نمونه را تشکیل می‌دهند. نمونه کانی سنگین $AK267$ که از این محدوده برداشت شده حاوی هیچ کانی با اهمیتی (به مقدار قابل توجه) نمی‌باشد.

نمونه مینرالیزه $AK267M$ دارای غنی شدگی قابل توجه از Cu می‌باشد.

۶-۱-۳- شرح نمونه‌های کانی سنگین و مینرالیزه برداشت شده از مناطق آنومالی برگه ۱:۵۰،۰۰۰ غزاران

۱- نمونه $AG285$ (نه کیلومتری جنوب طاهر آباد)

این نمونه از مختصات جهانی (3985950 و 410561) برداشت شد. سنگهای رسوبی تخریبی-شیمیابی در بالا دست این نمونه رخمنو دارند. این نمونه نسبت به عنصر As آنومال می‌باشد. نمونه کانی سنگین $AG285H$ که از این محدوده برداشت شده است، نسبت به هیچ کانی غنی شدگی قابل ملاحظه‌ای نشان نداده است.

شرح ۴ نمونه مینرالیزه که از این محدوده برداشت شده است در زیر می‌آید:

- نمونه $AG285M1$ نسبت به هیچکدام از عناصر کانساری غنی شدگی نشان نمی‌دهد.
- نمونه $AG285M2$ نسبت به هیچکدام از عناصر کانساری غنی شدگی نشان نمی‌دهد.
- نمونه $AG285M3$ نسبت به هیچکدام از عناصر کانساری غنی شدگی نشان نمی‌دهد.
- نمونه $AG285M4$ نسبت به عنصر As غنی شدگی دارد.

۲- نمونه AG295 (ده کیلومتری جنوب شرق طاهر آباد)

این نمونه از مختصات جهانی (3986130 و 417607) برداشت گردیده است. در بالا دست این نمونه سنگهای تیپ شیست، سنگهای رسوی تخریبی - شیمیایی و سنگهای رسوی تخریبی قرار دارند. این نمونه نسبت به عناصر As و Pb آنومالی نشان می‌دهد. نمونه کانی سنگین AG295H که از این محدوده برداشت شده، مقدار قابل ملاحظه‌ای از هیچ یک از کانیهای با اهمیت را دارا نمی‌باشد.

نمونه میزآلیزه AG295M که از این محل برداشت شده نسبت به هیچ یک از عناصر کانساری آنومالی نشان نمی‌دهد.

۳- نمونه‌های AG380 و AG551 (بازده کیلومتری جنوب شرق دستجرد)

این دو نمونه از مختصات زیر برداشت شده‌اند:

- نمونه AG551 از «مختصات جهانی (3993550 و 428799)

- نمونه AG380 از «مختصات جهانی (3993720 و 425775)

در بالا دست این نمونه‌ها سنگهای تیپ شیست، ای اولترامانیک و گرانیت - گنایس قرار دارند. نمونه AG551 نسبت به عنصر All و نمونه AG380 نسبت به عنصر Be آنومال می‌باشد. دو نمونه کانی سنگین از این محدوده برداشت شده که شرح آنها در زیر می‌آید:

- نمونه AG380H حاوی مقدار قابل ملاحظه‌ای از کانیهای گارت و اوپریمنت می‌باشد.

- نمونه AG551H حاوی مقدار قابل ملاحظه‌ای از کانی مارتیت می‌باشد.

شرح ۶ نمونه میزآلیزه که از این محدوده برداشت شده در زیر می‌آید:

- نمونه AG380M1 نسبت به عنصر Pb غنی شدگی قابل ملاحظه‌ای نشان می‌دهد.

- نمونه AG380M2 نسبت به عنصر Bi غنی شدگی قابل ملاحظه‌ای نشان می‌دهد.

- نمونه AG380M4 دارای آنومالی‌های As , Pb , Bi , Mo و Zn می‌باشد.

- نمونه AG380M5 دارای آنومالی‌های Bi , Mo و Pb می‌باشد.

- نمونه AG551M نسبت به عناصر کانساری غنی شدگی نشان نداده است.

- نمونه AG380R2 که مورد تجزیه XRD قرار گرفته و حاوی فلدسپات پتاسم و سدیم، کوارتز و کلریت می‌باشد.

۴- نمونه AG552 (هفت کیلومتری جنوب دستجرد)

این نمونه از مختصات جهانی (418719 و 3993310) برداشت گردیده است. سنگهای بالادست این نمونه عبارتند از: سنگهای تیپ شیست، سنگهای رسوبی تخریب - شیمیابی، سنگهای اولترامافیک و لکانیکهای تیپ اشبعانی. این نمونه نسبت به عنصر All آنومالی نشان می‌دهد. دو نمونه کانی سنگین به شماره‌های $AG552H1$ و $AG552H2$ از این محدوده برداشت شده که شرح آنها در زیر می‌آید:

- نمونه $AG552H1$ حاوی کانیهای گارنت و آندالوزیت به مقدار قابل توجه می‌باشد.

- نمونه $AG552H2$ حاوی کانیهای گارنت و شلیت به مقدار قابل ملاحظه‌ای می‌باشد.

دو نمونه میزالیزه به شماره‌های $AG552M1$ و $AG552M2$ که از این محل برداشت شده است، نسبت به هیچ یک از عناصر کانساری آنومالی نشان نمی‌دهد.

۵- نمونه AG284 (نه کیلومتری جنوب دستجرد)

این نمونه از مختصات جهانی (417290 و 3990600) برداشت گردیده است. سنگهای بالادست آن عبارتند از: سنگهای تیپ شیست، سنگهای رسوبی تخریبی - شیمیابی و سنگهای اولترامافیک، این نمونه نسبت به عنصر Pb آنومالی نشان می‌دهد. نمونه کانی سنگین به شماره $AG284H$ از این محل برداشت شده است که حاوی مقدار قابل ملاحظه‌ای از کانی گارنت می‌باشد. یک نمونه میزالیزه به شماره $AG284H$ از این محدوده برداشت گردید که نسبت به عناصر Pb و Zn آنومالی نشان می‌دهد.

۶- نمونه AG418 (سه کیلومتری جنوب غرزازان)

این نمونه از مختصات جهانی (413233 و 3998860) برداشت گردیده است. در آبرفت قرار دارد. این نمونه نسبت به عنصر Pb آنومالی نشان داده است نمونه کانی سنگین $AG418H1$ که از این محل برداشت شده نسبت به هیچ کانی با اهمیتی، غنی شدنی نشان نداده است.

۷- نمونه‌های AG300 و AG316 (هشت کیلومتری شمال غرزازان)

این نمونه‌ها از مختصات جهانی زیر برداشت شده‌اند:

- نمونه ۴۰۰۹۶۶۰ از مختصات جهانی (413438 و ۴۰۰۹۶۶۰)

- نمونه ۴۰۰۸۲۲۰ از مختصات جهانی (412565 و ۴۰۰۸۲۲۰)

این دو نمونه در آبرفت واقع شده‌اند. نمونه AG316 نسبت به عنصر Zn نسبت به عنصر Bi آنومال می‌باشد. دو نمونه کانی سنگین به شرح زیر از این محدوده برداشت شده است:

- نمونه AG300H که نسبت به هیچ کانی با اهمیتی غنی شدگی نشان نداده است.

- نمونه AG316H که نسبت به هیچ کانی با اهمیتی غنی شدگی نشان نداده است.

از این محل نمونه میزالیزه برداشت نشده است.

۸- نمونه‌های AG555 و AG274 (پانزده کیلومتری شمال شرق دستجرد)

این دو نمونه از مختصات جهانی زیر برداشت شده‌اند:

- نمونه ۴۰۰۷۶۸۰ از مختصات جهانی (426279 و ۴۰۰۷۶۸۰)

- نمونه ۴۰۱۰۲۹۰ از مختصات جهانی (425162 و ۴۰۱۰۲۹۰)

سنگهای بالادست این دو نمونه شامل سنگهای ولکانیکی اسیدی می‌باشد. نمونه AG555 نسبت به هیچ عنصری آنومالی ندارد و نمونه AG274 نسبت به عناصر Sb و Mo آنومال می‌باشد. دو نمونه کانی سنگین به شماره‌های AG274H و AG555H از این محل برداشت شده که شرح آنها در زیر می‌آید:

- نمونه AG274H که مقدار هیچ یک از کانیهای با اهمیت در آن قابل توجه نمی‌باشد.

- نمونه AG555H حاوی مقدار ملاحظه‌ای از کانی باریت می‌باشد.

دو نمونه میزالیزه به شماره‌های AG274P و AG555A که از این محل برداشت

شده‌اند نسبت به هیچ عنصری آنومال نمی‌باشند.

۹- نمونه‌های AG271 و AG272 (پانزده کیلومتری شمال شرق دستجرد)

این دو نمونه از مختصات جهانی به شرح زیر برداشت شده‌اند:

- نمونه ۴۰۱۰۶۱۰ از مختصات جهانی (429336 و ۴۰۱۰۶۱۰)

- نمونه ۴۰۱۱۶۴۰ از مختصات جهانی (431812 و ۴۰۱۱۶۴۰)

سنگهای بالادست آنها عبارتند از: سنگهای ولکانیکی اسیدی و سنگهای ولکانیکی

تیپ اشباعی، نمونه AG271 نسبت به عناصر Sb و Hg و نمونه AG272 نسبت به عنصر آنومال می باشد. دو نمونه کانی سنگین به شرح زیر از این محل برداشت شده اند:

- نمونه AG271H که مقدار قابل ملاحظه ای از باریت را دارا می باشد.
- نمونه AG272H که نسبت به هیچ کانی با اهمیتی غنی شدگی نشان نداده است.

دو نمونه میزرازیه به شماره های AG271M و AG272P از این محدوده برداشت شده است که نمونه AG271H نسبت به عنصر Cu آنومال می باشد و نمونه AG272P نسبت به هیچ عنصری غنی شدگی ندارد.

۶-۱-۴- شرح نمونه های کانی سنگین و میزرازیه برداشت شده از مناطق آنومال برگه ۱:۵۰,۰۰۰ میاندشت

۱- نمونه های AM533 و AM600 (بیست و سه کیلومتری جنوب شرق میاندشت)

این نمونه ها از مختصات زیر برداشت شده اند:

.. نمونه AM533 از مختصات جهانی (432181 و 4013000).

.. نمونه AM600 از مختصات جهانی (429063 و 4014100).

نمونه AM533 نسبت به عناصر Au و Sb آنومال می باشد.

سنگهای موجود در بالادست این نمونه ها شامل ولکانیکهای اشباع شده و سنگهای آذرآواری می باشد. نمونه کانی سنگین AM533H که از این محدوده برداشت شده حاوی کانی شلیت به مقدار قابل توجه می باشد.

شرح ۵ نمونه میزرازیه که از این محدوده برداشت شده در زیر می آید:

- نمونه AM533P1 نسبت به هیچکدام از عناصر کانساری آنومالی نشان نمی دهد.

- نمونه AM533P2 نسبت به هیچکدام از عناصر کانساری آنومالی نشان نمی دهد.

- نمونه AM533P3 نسبت به هیچکدام از عناصر کانساری آنومالی نشان نمی دهد. این نمونه مورد تجزیه XRD نیز قرار گرفته است و حاوی کلسیت، فلذسپات سدیم، آنالسیم، هماتیت و کانی های رسی می باشد.

- نمونه AM533P4 نسبت به هیچکدام از عناصر کانساری آنومالی نشان نمی دهد.

- نمونه AM600P نسبت به هیچکدام از عناصر کانساری آنومالی نشان نمی دهد.

۲- نمونه AM603 (بیست و دو کیلومتری جنوب میاندشت)

این نمونه از مختصات جهانی (4012210 و 428131) برداشت گردید. سنگهای آذراواری در بالادست آن قرار دارند. این نمونه نسبت به هیچ عنصری آنومال نمی باشد. نمونه کانی سنگین AM603H که از این محدوده برداشت شده حاوی هیچ کانی با اهمیتی (به مقدار قابل توجه) نمی باشد.

نمونه میزآلیزه AM603P که از این محدوده برداشت شده نسبت به هیچ یک از عناصر کانساری آنومالی نشان نمی دهد.

۳- نمونه AM546 (هفده کیلومتری جنوب میاندشت)

این نمونه از مختصات جهانی (4014540 و 414903) برداشت شده است که درون آبرفت قرار دارد. این نمونه دارای آنومالی Au می باشد. نمونه کانی سنگن AM546H نسبت به هیچ کانی غنی شدگی قابل توجهی نشان نداده است.

تعداد ۲ نمونه میزآلیزه از این محدوده برداشت شده است که شرح آنها در زیر می آید:

- نمونه AM546M1 نسبت به هیچ کدام از عناصر کانساری آنومالی نشان نمی دهد.

- نمونه AM546M2 نسبت به هیچ کدام از عناصر کانساری آنومالی نشان نمی دهد.

۴- نمونه AM547 (شانزده کیلومتری جنوب میاندشت)

این نمونه از مختصات جهانی (4015650 و 416086) برداشت گردید. سنگهای موجود در بالادست این نمونه عبارتند از: سنگهای رسوبی تخریبی - شیمیایی و سنگهای آذراواری. این نمونه نسبت به عنصر Au آنومال می باشد.

نمونه کانی سنگین AM547H که از این محل برداشت شده حاوی کانی کالکوپیریت می باشد.

شرح ۳ نمونه میزآلیزه برداشت شده از این محدوده در زیر می آید:

- نمونه AM547M1 نسبت به هیچ کدام از عناصر کانساری آنومالی نشان نمی دهد.

- نمونه AM547M2 غنی شدگی قابل توجهی از عنصر Au نشان می دهد.

- نمونه AM547A که مورد تجزیه XRD قرار گرفته است و حاوی فلزهای سدیم و پتاسیم، آنالسیم و هماتیت می باشد.

۵- نمونه AM576 (پانزده کیلومتری جنوب میاندشت)

این نمونه از مختصات جهانی (4016860 و 418462) برداشت شد. سنگهای آذرآواری در بالادست این نمونه رخمنون دارند. این نمونه نسبت به هیچ عنصری آنومالی نشان نمی‌دهد.

از این محدوده ۶ نمونه کانی سنگین برداشت شده که شرح آنها در زیر می‌آید:

- نمونه AM576H0 نسبت به هیچ کانی با اهمیتی غنی شدگی ندارد.

- نمونه AM576H1 نسبت به هیچ کانی با اهمیتی غنی شدگی ندارد.

- نمونه AM576H2 حاوی کانی شنلیت می‌باشد.

- نمونه AM576H3 نسبت به هیچ کانی با اهمیتی غنی شدگی ندارد.

- نمونه AM576H4 نسبت به هیچ کانی با اهمیتی غنی شدگی ندارد.

- نمونه AM576H5 نسبت به هیچ کانی با اهمیتی غنی شدگی ندارد.

نمونه میزآلیزه AM576M که از این محدوده برداشت شده نسبت به هیچکدام از عناصر کانساری غنی شدگی نشان نمی‌نماید.

۶- نمونه AM439 (بیست کیلومتری جنوب شرق میاندشت)

این نمونه از مختصات جهانی (4018150 و 432479) برداشت گردید. در بالادست آن سنگهای آذرآواری و ولکانیکهای تیپ اشاع شده رخمنون دارند. آنومالی Hg در این نمونه وجود دارد. نمونه کانی سنگین AM439H که از این محل برداشت شده حاوی کانی اپیدوت به مقدار قابل توجه می‌باشد. همچنین کانی دیپیتاز در این نمونه مشاهده شده است.

شرح ۳ نمونه میزآلیزه برداشت شده از این محل در زیر می‌آید:

- نمونه AM439M1 نسبت به هیچ کدام از عناصر کانساری غنی شدگی نشان نمی‌دهد. این

نمونه مورد تجزیه XRD نیز قرار گرفته است و حاوی فلدسپات پتاسیم و سدیم، هماتیت و آنالسیم می‌باشد.

- نمونه AM439M2 دارای غنی شدگی Ag، Cu و Mo می‌باشد.

- نمونه AM439A1 که مورد تجزیه XRD قرار گرفته است و حاوی فلدسپات پتاسیم و سدیم و آنالسیم می‌باشد.

۷- نمونه AM563 (یازده کیلومتری جنوب میاندشت)

این نمونه از مختصات جهانی (4020070 و 416600) برداشت شد. سنگهای بالادست این نمونه شامل سنگهای رسوبی تخریبی - شیمیایی، ولکانیکهای اسیدی، ولکانیکهای اشباعی و سنگهای آذرآواری می باشد. این نمونه دارای آنومالی Zn می باشد. نمونه کانی سنگین AM563H که از این محل برداشت شده حاوی کانیهای شلیت، آندالوزیت و اسپیت زوینیت می باشد.

شرح ۲ نمونه میزآلیزه برداشت شده از این محدوده در زیر می آید:

- نمونه AM563M1 نسبت به هیچکدام از عناصر کانساری غنی شدگی نشان نمی دهد.

- نمونه AM563M2 نسبت به هیچکدام از عناصر کانساری غنی شدگی نشان نمی دهد.

۸- نمونه AM572 (ده کیلومتری جنوب میاندشت)

این نمونه از مختصات جهانی (4021210 و 419029) برداشت گردید. سنگهای بالادست این نمونه قیار تندر از: سنگهای رسوبی تخریبی - شیمیایی و سنگهای آذرآواری. این نمونه دارای آنومالی از هیچ عنصری نمی باشد. نمونه کانی سنگین AM572H که از این محل برداشت شده نسبت به هیچ کدام از عناصر کانساری غنی شدگی نشان نمی دهد.

۹- نمونه AM573 (ده کیلومتری جنوب میاندشت)

این نمونه از مختصات جهانی (4021100 و 419292) برداشت شد. در بالادست این نمونه سنگهای آذرآواری رخمنون دارند. این نمونه نسبت به هیچ عنصری آنومال نمی باشد. یک نمونه کانی سنگین به شماره AM573H از این محل برداشت شده که نسبت به هیچ کانی غنی شدگی قابل توجهی نشان نداده است.

نمونه میزآلیزه AM573M که از این محدوده برداشت شده نسبت به عناصر Ag و Cu

غنی شدگی نشان می دهد.

۱۰- نمونه AM566 (سیزده کیلومتری جنوب میاندشت)

این نمونه از مختصات جهانی (4018360 و 41503) برداشت گردید. این نمونه درون آبرفت واقع است. نمونه کانی سنگین AM566H که از این محل برداشت شده حاوی هیچ کانی با اهمیتی (به مقدار قابل ملاحظه) نمی باشد.

۱۱- نمونه AM602 (بیست و دو کیلومتری جنوب شرق میاندشت)

این نمونه از مختصات جهانی (4012180 و 428367) برداشت شده است. سنگ بالادست آن عبارتست از سنگهای ولکانیک اسیدی. این نمونه نسبت به هیچ عنصری آنومالی نشان نمی دهد. نمونه کانی سنگین به شماره AM602H که از این محل برداشت شده حاوی کانیهای بیوتیت و دیپیتاز (به مقدار قابل ملاحظه) می باشد.
یک نمونه میزرازه به شماره AM602P از این محدوده برداشت گردیده است که نسبت به هیچ عنصری آنومالی ندارد.

۱۲- نمونه های AM337، AM338 و AM339 (چهارده کیلومتری شمال شرق میاندشت)

این نمونه ها از مختصات جهانی به شرح زیر برداشت شده اند:

- نمونه AM337 از مختصات جهانی (4037000 و 430050)

- نمونه AM338 از مختصات جهانی (4036990 و 429114)

- نمونه AM339 از مختصات جهانی (4036810 و 428594)

سنگهای بالادست این نمونه ها عبارتند از: گرانیت - گنایس، سنگهای تیپ شیست و سنگهای اوپرالامینیک. نمونه AM337 نسبت به عنصر As و نمونه AM338 نسبت به عنصر As و W آنومال می باشد. سه نمونه کانی سنگین به شرح زیر از این محل برداشت شده است:
- نمونه AM337H حاوی کانیهای پیریت اکسید و آندالوزیت (به مقدار قابل ملاحظه) می باشد.

- نمونه AM338H حاوی کانی اورپیمنت می باشد.

- نمونه AM339H حاوی کانی پیریت اکسید به میزان قابل ملاحظه است.

چهار نمونه میزرازه به شرح زیر از این محل برداشت شده است:

- نمونه AM338M1 که نسبت به هیچ عنصری آنومال نمی باشد.

- نمونه *AM338M2* که نسبت به عناصر *Au* و *Bi* غنی شدگی قابل توجهی نشان می دهد.

- نمونه *AM338M3* که نسبت به عنصر *As* غنی شدگی نشان می دهد.

- نمونه *AM338M4* که نسبت به عنصر *Sb* آنومال می باشد.

۱۳- نمونه های *AM331* و *AM333* (هفده کیلومتری شمال شرق میاندشت)

این دو نمونه از مختصات جهانی زیر برداشت شده اند:

- نمونه *AM331* از مختصات جهانی (429438 و 4038100) می باشد.

- نمونه *AM333* از مختصات جهانی (431911 و 4038980) می باشد.

سنگهای بالادست آنها عبارتند از: سنگهای رسوبی تخریبی - سنگهای اولترامافیک و سنگهای ولکانیک اسیدی، نمونه *AM331* نسبت به عناصر *As* و *Mo* و نمونه *AM333* نسبت به عنصر *Co* آنومال می باشد.

دو نمونه کانی سنگین از این محل برداشت گردیده که شرح آنها در زیر می آید:

- نمونه *AM331H* حاوی کانیهای تورمالین و آندالوزیت (به مقدار قابل توجه) می باشد.

- نمونه *AM333H* نسبت به کانیهای تیتانومگنتیت، آندالوزیت، کالکوپریت و شلیت مقادیر قابل توجهی را دارا بوده است.

سه نمونه میزآلیزه از این محدوده برداشت گردیده است. که شرح آن در ذیل می آید:

- نمونه *AM331M1* که نسبت به هیچ عنصری آنومال نمی باشد.

- نمونه *AM331M2* که نسبت به عناصر *Au* و *Bi* غنی شدگی نشان می دهد.

- نمونه *AM331M3* که نسبت به عنصر *Bi* آنومال می باشد.

۱۴- نمونه *AM334* (هفده کیلومتری شمال شرق میاندشت)

این نمونه از مختصات جهانی (4037730 و 432626) برداشت شده است که در آبرفت واقع شده است. این نمونه نسبت به هیچ عنصری آنومالی نشان نمی دهد. یک نمونه کانی سنگین به شماره *AM334H* از این محل برداشت گردیده حاوی کانیهای کرومیت و باریت (به مقدار قابل توجه) می باشد.

۱۵- نمونه *AM587* (یک کیلومتری شمال میاندشت)

این نمونه از مختصات جهانی (4032840 و 416041) برداشت گردیده است. سنگ بالادست آن عبارتست از ولکانیکهای تیپ اشباعی. این نمونه نسبت به عنصر *Ba* آنومال می باشد. نمونه کانی سنگین به شماره *AM587H* از این محل برداشت شده است که نسبت به هیچ کانی غنی شدگی قابل ملاحظه ای را نشان نداده است.

۱۶- نمونه *AM589* (یک کیلومتری شمال میاندشت)

این نمونه از مختصات جهانی (4033000 و 417159) برداشت شده است. سنگهای بالادست آن عبارتند از: سنگهای رسوبی تخریبی و سنگهای ولکانیک تیپ اشباعی. این نمونه نسبت به عناصر *Ba* و *W* آنومال می باشد. یک نمونه کانی سنگین از *AM589H* از این محل برداشت شده است که نسبت به هیچ کانی غنی شدگی قابل توجهی را نشان نمی دهد.

۱۷- نمونه *AM623* (پنج کیلومتری شمال میاندشت)

این نمونه از مختصات جهانی (4035170 و 417923) برداشت گردیده است. سنگهای بالادست آن شامل سنگهای رسوبی تخریبی است. این نمونه نسبت به عنصر *W* آنومال می باشد. نمونه کانی سنگین به شماره *AM623H* از این محلوده برداشت شده است که نسبت به کانیهای هماتیت و پیریت اکسید غنی شدگی قابل توجهی نشان داده است.

۱۸- نمونه *AM443* (نه کیلومتری شرق میاندشت)

این نمونه از مختصات جهانی (4034000 و 424495) برداشت شده است. سنگهای بالادست آن شامل سنگهای رسوبی تخریبی، سنگهای ولکانیک اسیدی، سنگهای آذرآواری و ولکانیکهای تیپ اشباعی می باشد. این نمونه نسبت به عنصر *Sb* آنومال است. یک نمونه کانی سنگین به شماره *AM443H* از این محل برداشت گردیده است که حاوی پیریت اکسید به میزان قابل توجه می باشد.

۱۹- نمونه *AM497* (پنج کیلومتری جنوب غرب میاندشت)

این نمونه از مختصات جهانی (4029740 و 412941) برداشت شده است. سنگهای

بالا دست آن عبارتست از: سنگهای ولکانیک اسیدی و ولکانیکهای تیپ اشباعی. این نمونه نسبت به هیچ عنصری آنومال نمی باشد. یک نمونه کانی سنگین به شماره *AM497H* از این محل برداشت شده است که نسبت به هیچ کانی غنی شاذگی قابل ملاحظه ای را نشان نداده است.

۷- پردازش داده های کانی سنگین (موضوع بند ۴-۹ شرح خدمات)

۷-۱- رسم هیستوگرام متغیرهای کانی سنگین

هیستوگرام توزیع فراوانی ۱۹ متغیر شامل منیتیت، هماتیت، کرومیت، گارنت، آفبیول، پیروکسن، پیریت اکسیدی، زیرکن، آپاتیت، روتنیل، باریت، سلسیتین، اپیدیوت، اولیژریست، اسپنیل، مجموعه کانیهای دگرسان شده، مجموعه کانیهای سبک، الیوین و کلسیت به ترتیب در اشکال (۱۱-۷) تا (۲۹-۷) نشان داده شده است. (داده های خام در جدول ۳ برروی *CD* آورده شده است). ارزش این هیستوگرام ها یکسان نمی باشد، زیرا در آنها بین ۲۱ تا ۱۰۰ مورد اندازه گیری وجود دارد. در بعضی از آنها تعداد نمونه ها در جامعه به حد کافی زیاد است به طوری که می توان روند تغییرات را پیش بینی کرد، ولی در بعضی به علت کم تعداد موارد اندازه گیری شده روند تغییرات در هیستوگرام چندان مشخص نیست. لازم به توضیح است که لگاریتم مقادیر متغیرهای فوق در رسم هیستوگرام مورد استفاده قرار گرفته است. کانیهای کرومیت، گارنت و الیوین دارای خصلت دو مدی هستند (اشکال ۱۳-۷، ۱۴-۷ و ۲۸-۷). پیریت اکسیدی دارای خصلت سه مدی می باشد شکل (۱۷-۷). نمودار تفکیک جوامع این متغیرها که در آن هر مد با یک میانگین و یک انحراف معیار و نسبت هر جامعه در جامعه کل معرفی شده، در اشکال (۳۰-۷) تا (۳۳-۷) ترسیم شده است. خلاصه تفکیک پذیری جوامع دو و سه مدی در جدول (۱-۷) آورده شده است.

براساس داده های موجود در این جدول می توان این استنباط را کرد که بعلت وجود جامعه سوم در مورد پیریت اکسیدی این کانی مربوط به جوامع کانی سازی احتمالی می باشد. در خصوص کانیهای کرومیت و الیوین بعلت بالا بودن میانگین جوامع آستانه ای اول می توان اینگونه برداشت کرد که نمونه های کانی سنگین مذکور از مناطق آنومال برداشت شده است.

جدول ۱-۷: نتایج تغذیک جوامع دو سه مدی و آمارهای مربوطه (مبانکین و انحراف معیار برحسب ppm می باشد).

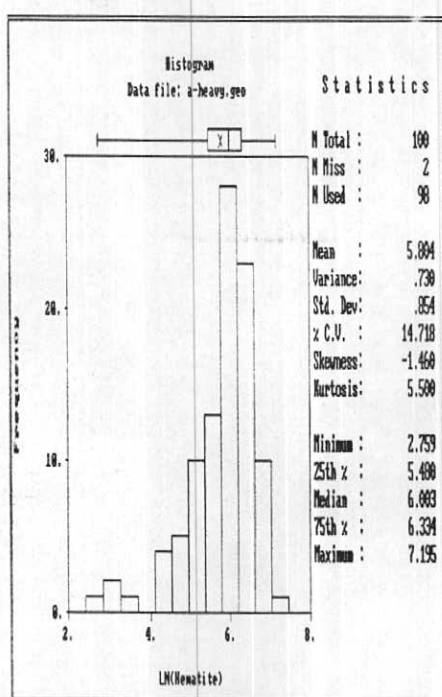
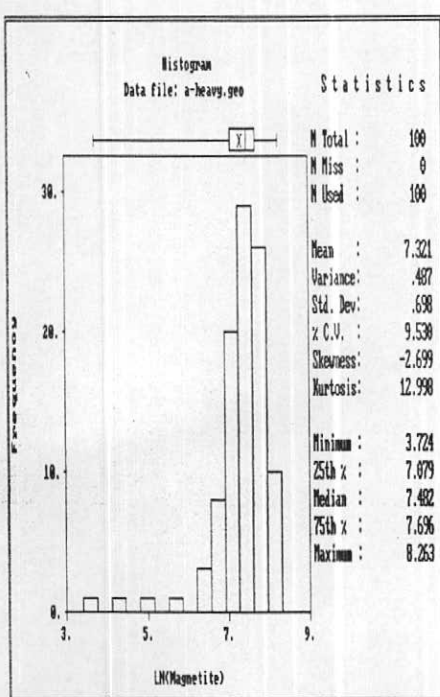
کانی سنگین	نوع جامعه	مبانکین	انحراف معیار	درصد فراوانی
پیریت اکسیدی	زمینه	-۲/۰۳	۰/۶۴	۲۶/۷
	جامعه آستانه ای اول	۱/۱۸	۰/۲	۳۲/۸
	جامعه آستانه ای دوم	۲/۲۹	۰/۲۷	۴۰/۵
کرومات	زمینه	۰/۰۱	۱/۹۶	۳۵/۸
	جامعه آستانه ای اول	۲/۲۵	۰/۲۱	۶۴/۲
گارنت	زمینه	-۰/۲۳	۱/۷۴	۶۵/۷
	جامعه آستانه ای اول	۲/۴۲	۰/۳۳	۳۴/۳
	زمینه	-۲/۰۶	۱/۳۳	۱۴/۰
البین	جامعه آستانه ای اول	۱/۵۲	۰/۵۶	۸۶/۰

۷- آنالیز کلاستر متغیرهای کانی سنگین

این روش می تواند به منظور درک ارتباط بین متغیرهای مختلف کانی سنگین مفید واقع شود زیرا نحوه ارتباط پاراژنزی متغیرهای کانی سنگین را یکدیگر نشان می دهد. برای تعیین ارتباط پاراژنزی بین متغیرهای مختلف و انتخاب مناسب ترین متغیرها برای رسم نقشه توزیع کانی سنگین اقدام به آنالیز چند متغیره به روش کلاستر شده است.

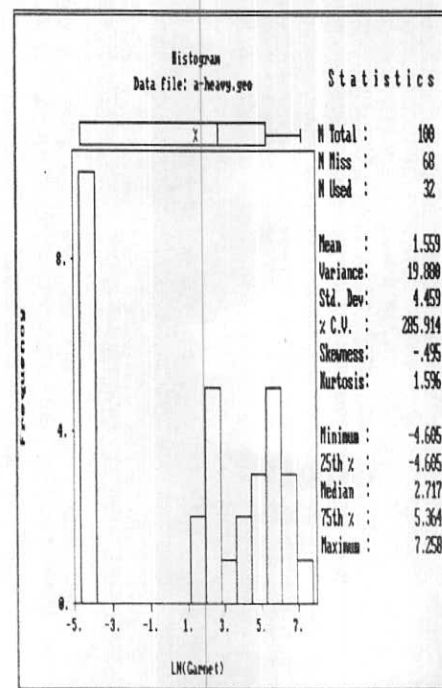
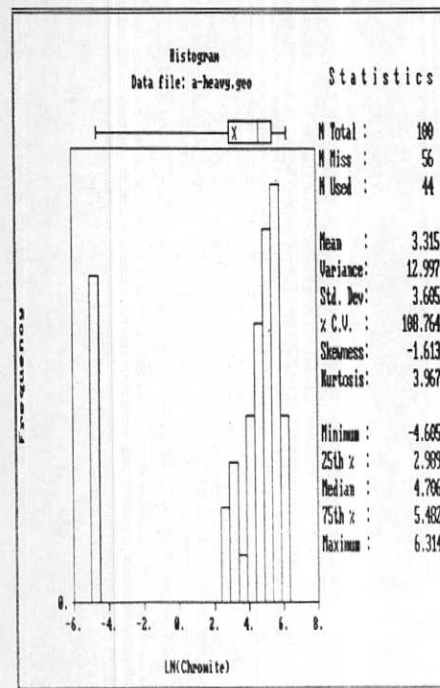
نتیجه این آنالیز در دنдрوگرام شکل (۳۴-۷) نشان داده شده است. این دندروگرام پس از حذف متغیرهای کم اهمیت رسم شده است. چنانچه ملاحظه می شود این دندروگرام نامتقارن می باشد که دلالت بر ضعف روابط پاراژنزی بین متغیرها دارد.

داده های این دندروگرام دلالت بر آن دارد که همایت و اپدوت دارای نزدیکترین ارتباط زایشی می باشند که این مجموعه همراه با دو کانی منیتیت و باریت که با توجه به دندروگرام با یکدیگر در ارتباط می باشند، می توانند معرف آلتراسیسیون پرولیپلیتی باشد. در شاخه دوم از خوشة بالایی دندروگرام دو کانی اولیژیست و کرومات با یکدیگر مرتبط به نظر می رساند که این ارتباط قابل توجیه نمی باشد. در خوشة میانی این دندروگرام چهار کانی پیریت اکسیدی، اریمنت، آندالوزیت و شنلیت وجود دارند که می توان این مجموعه را در ارتباط با کانی سازی ابی ترمال همراه با آرژیلیتیزاسیون پیشرفته دانست. وجود گارنت و



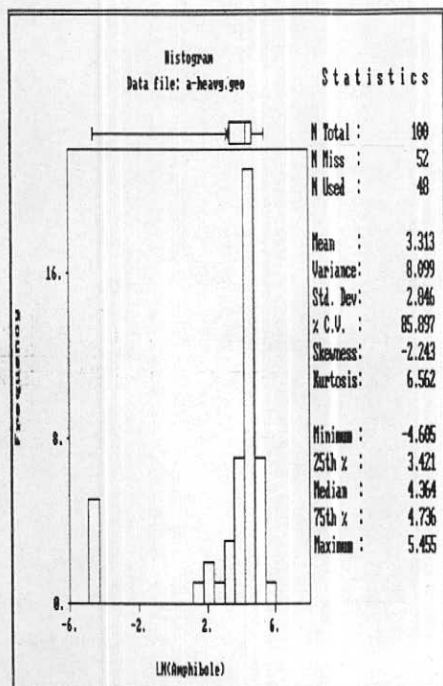
شكل (١١-٧) : هيستوگرام لگاريتم فراواتي كانى هماتيت

شكل (١٢-٧) : هيستوگرام لگاريتم فراواتي كانى هماتيت

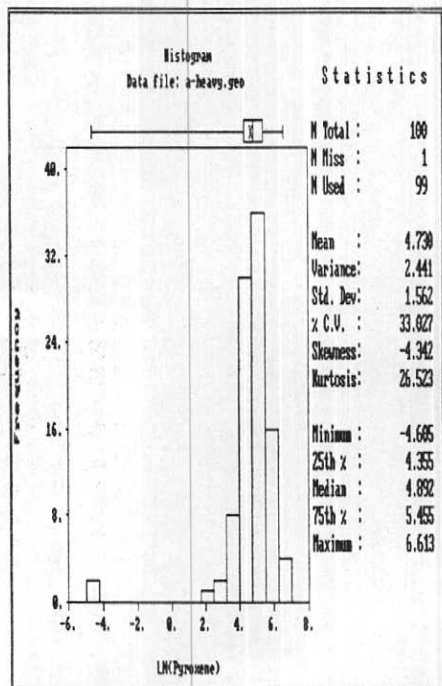


شكل (١٣-٧) : هيستوگرام لگاريتم فراواتي كانى كروميت

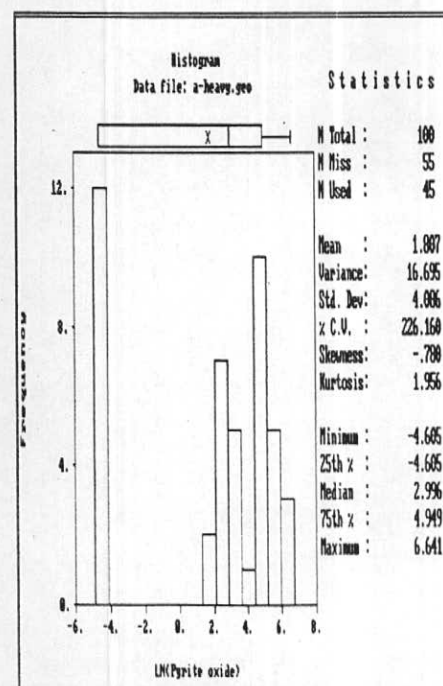
شكل (١٤-٧) : هيستوگرام لگاريتم فراواتي كانى غارنط



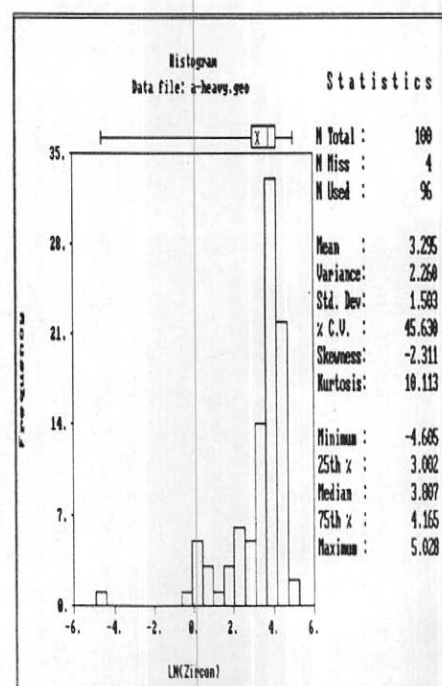
شکل (۱۵-۷) : هیستوگرام لگاریتم فراوانی کانی آمفیبول



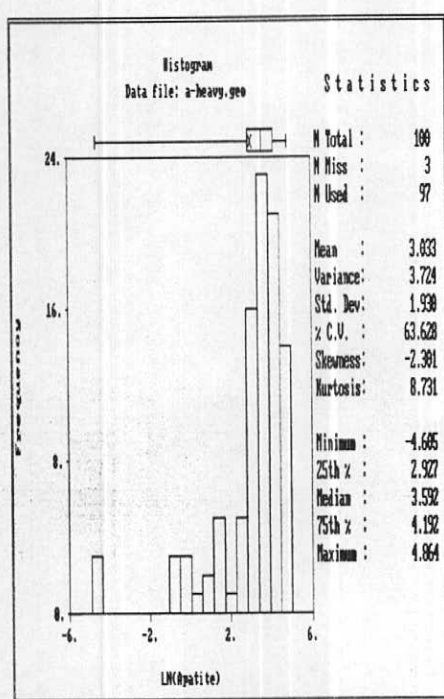
شکل (۱۶-۷) : هیستوگرام لگاریتم فراوانی کانی پیروکسن



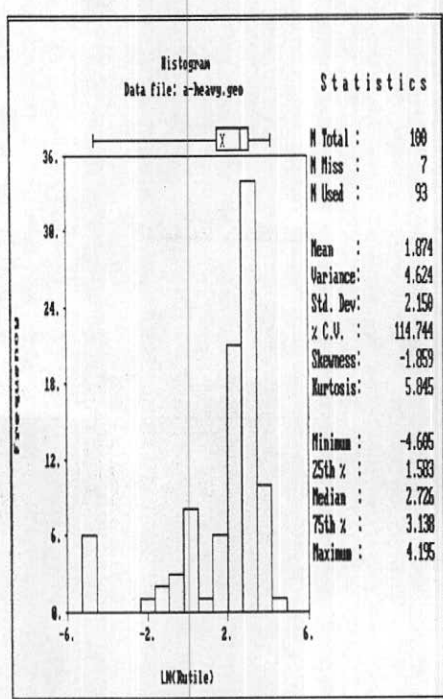
شکل (۱۷-۷) : هیستوگرام لگاریتم فراوانی کانی پیریت اکسیدی



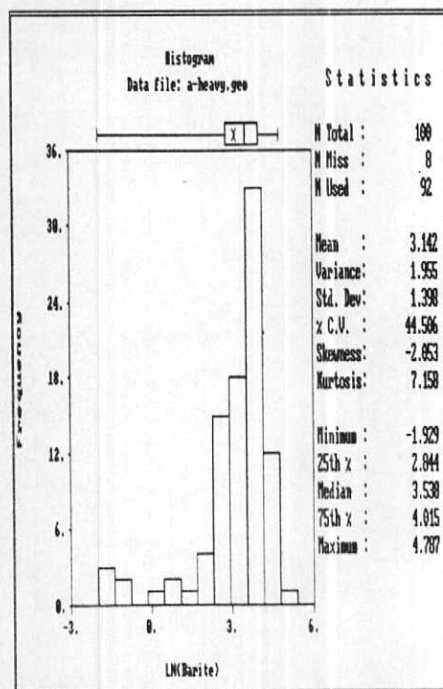
شکل (۱۸-۷) : هیستوگرام لگاریتم فراوانی کانی زیرون



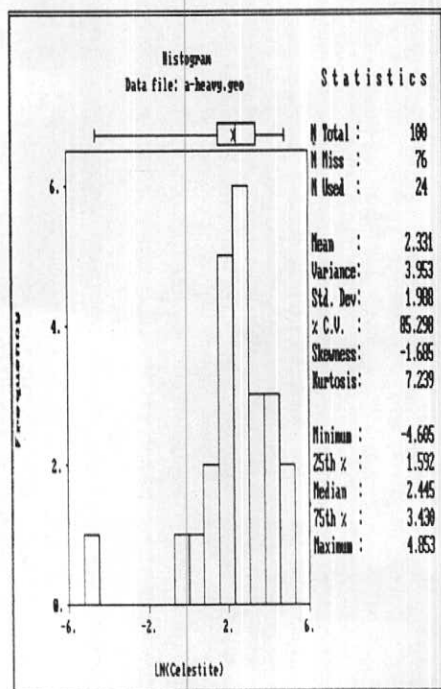
شکل (١٩-٧) : هیستوگرام لگاریتم فراوانی کانی آپاتیت



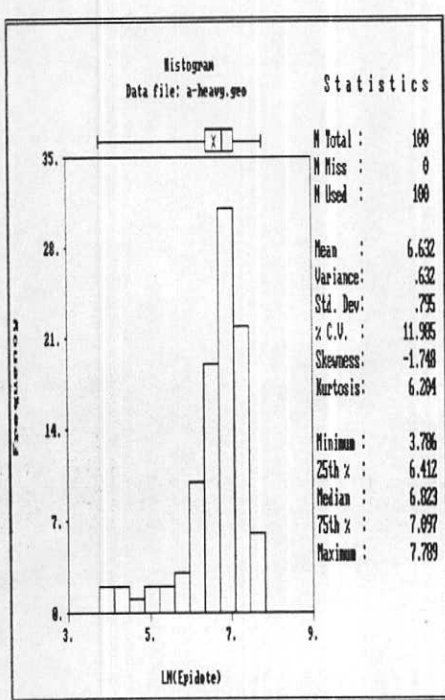
شکل (٢٠-٧) : هیستوگرام لگاریتم فراوانی کانی روئین



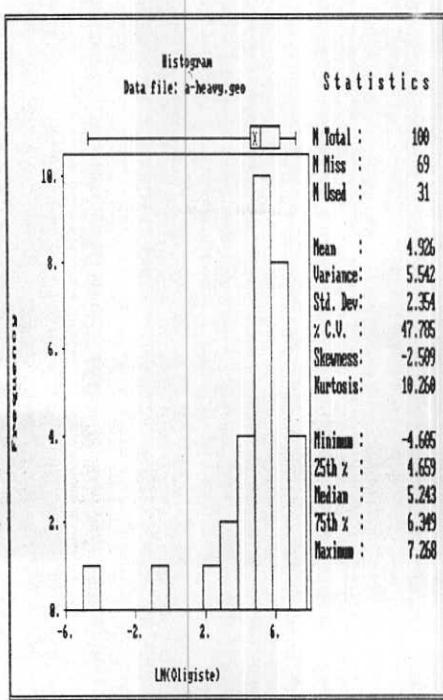
شکل (٢١-٧) : هیستوگرام لگاریتم فراوانی کانی باریت



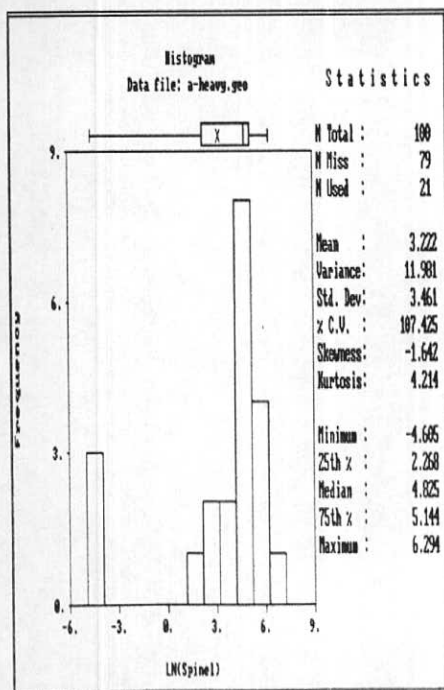
شکل (٢٢-٧) : هیستوگرام لگاریتم فراوانی کانی سلسنین



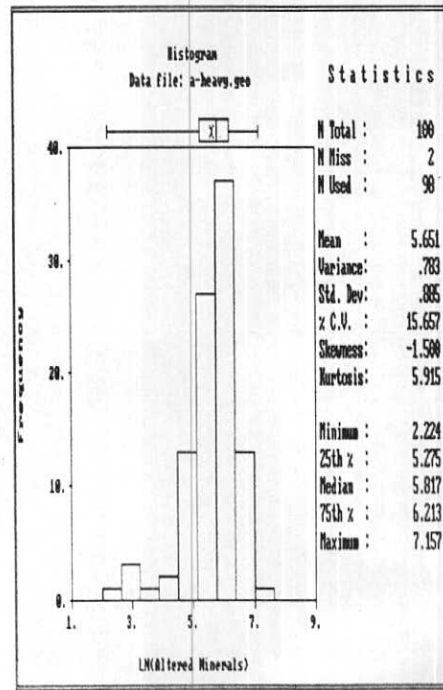
شکل (۲۳-۷) : هیستوگرام لگاریتم فراوانی کانی پیدوت



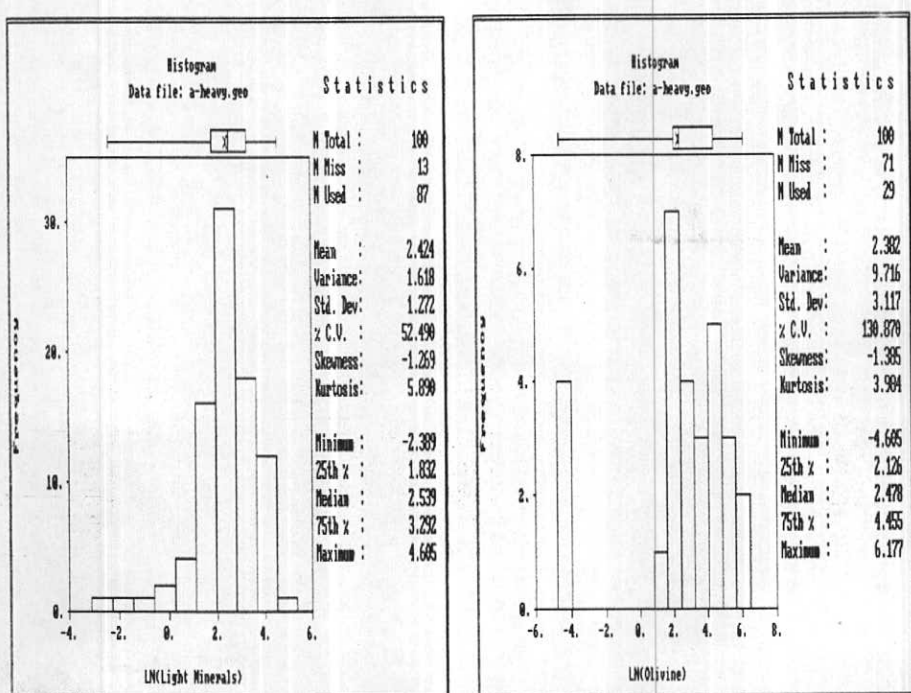
شکل (۲۴-۷) : هیستوگرام لگاریتم فراوانی کانی الیست



شکل (۲۵-۷) : هیستوگرام لگاریتم فراوانی کانی سپینل

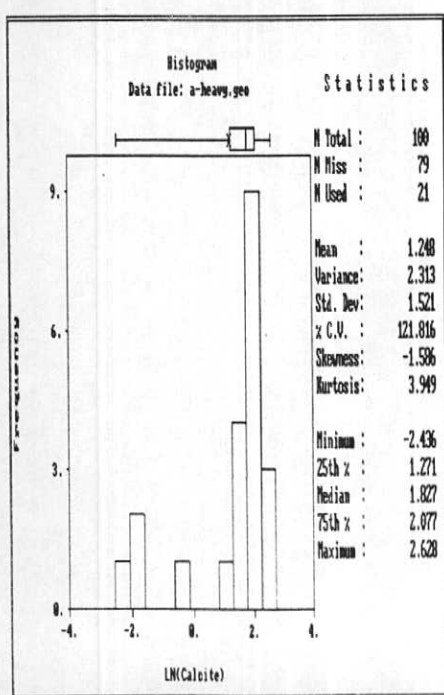


شکل (۲۶-۷) : هیستوگرام لگاریتم فراوانی مجموعه کانی های تغییر مانند شده



شكل (٢٧-٧) : هيستوگرام لگاريتم فراوانى مجموعه كاتن اليورين

شكل (٢٨-٧) : هيستوگرام لگاريتم فراوانى كاتن اليورين



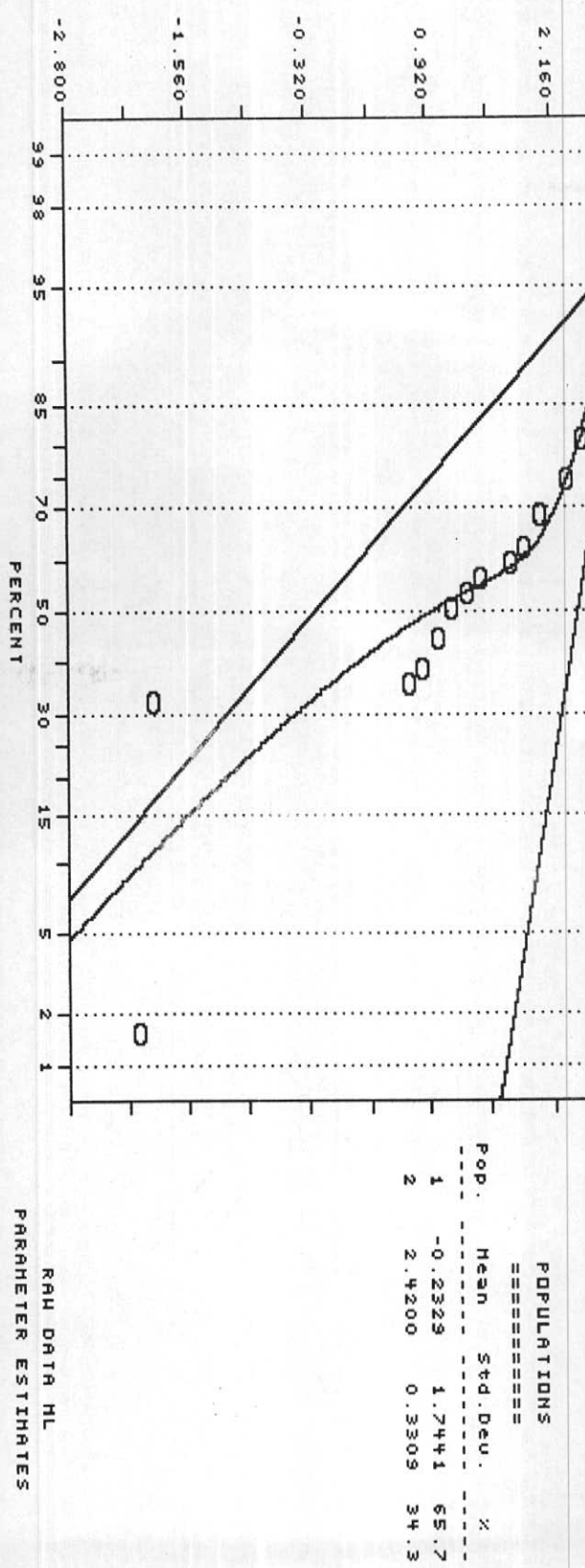
شكل (١٩-٧) : هيستوگرام لگاريتم فراوانى كانى كلسيت

Heavy Mineral Samples in Abas Abad 1/100,000 Sheet

PROBABILITY PLOT

LOGARITHMIC VALUES
 =====
 VARIABLE = Garnet
 UNIT = g.
 N = 32
 N CI = 36

POPULATIONS
 =====
 POP. 1 2
 Mean -0.2329 2.4200
 Std. Dev. 1.7441 0.3309
 Z 65.7 34.3

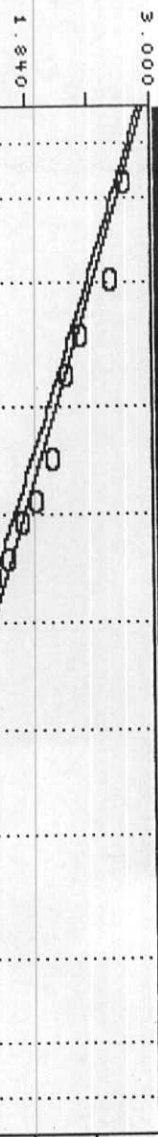


شکل(۷) : نمودار تفکیک جامعه دو مدل متغیر کالی سنتیگن گلرنت

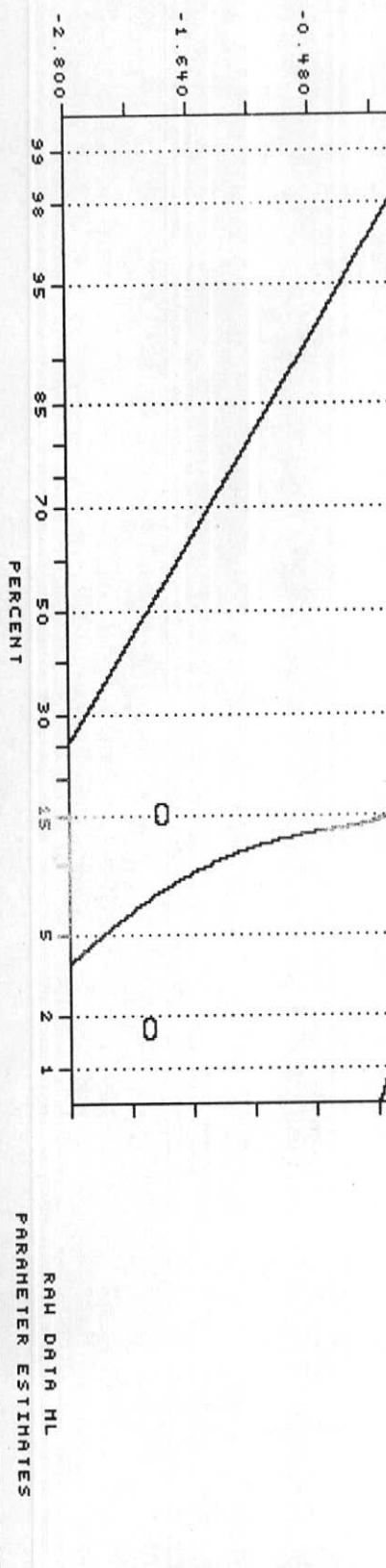
Heavy Mineral Samples in Abas Rabad 1/100,000 Sheet

LOGARITHMIC VALUES
=====

VARIABLE = DILUTION
UNIT = NANOGRAMS
N = 29
N CI = 36



POP.	MEAN	STD. DEV.	N
1	-2.0625	1.1335	14.0
2	1.5170	0.5599	86.0



شكل(٧) : تمودار تکنیکی (دیلوجنی) لایه ۱۰۰,۰۰۰ متری کلسی سندھینی الورین

Heavy Mineral Samples in Abas Abad 1/100,000 Sheet

FREQUENCY PLOT

3.000

1.840

0.680

-0.480

-1.640

-2.800

N = 44

N CI = 36

1

2

3

4

5

6

7

8

9

99

98

95

85

70

50

30

15

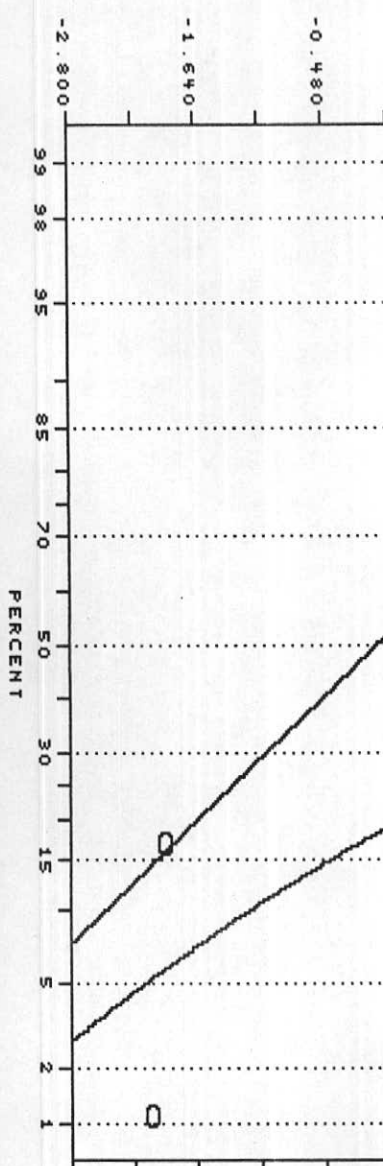
5

2

1

LOGARITHMIC VALUES			
=====			
VARIABLE = Chromite			
=====			
UNIT	N	N	N CI
kg/kg	44	44	36
POPULATIONS	Mean	Std. Dev.	X
1	0.0120	1.9566	35.8
2	2.2505	0.2142	64.2

RAW DATA ML	PARAMETER ESTIMATES

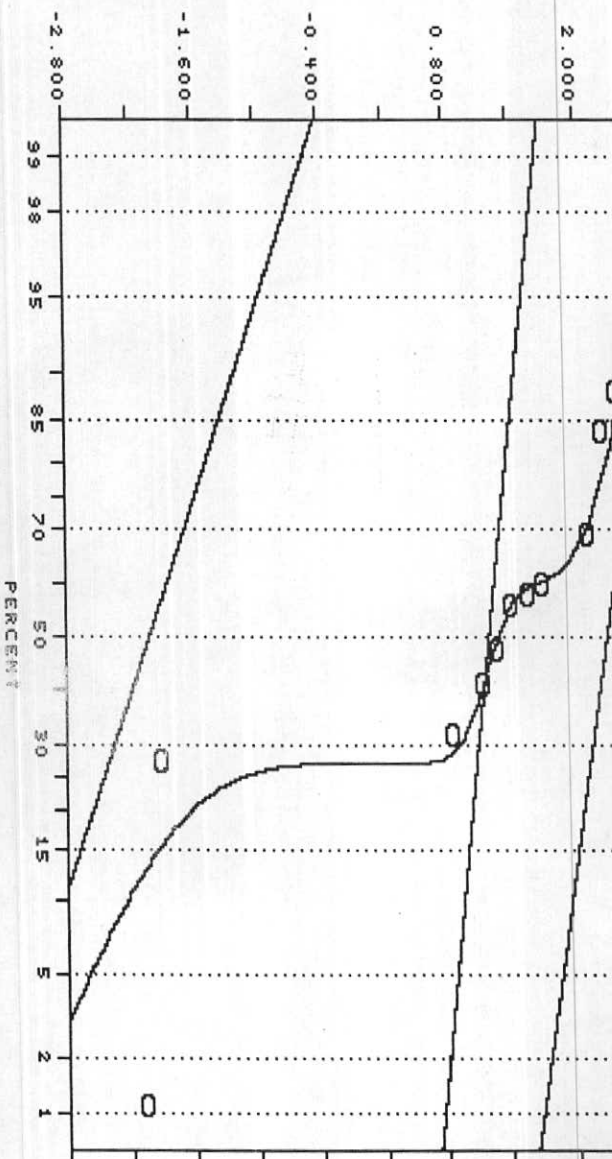


شکل (۳۶-۷) : نمودار توزیع چالمهه دو مدی مختلف کالی سنتجین کرومیت

Heavy Mineral Samples in Abas Abad 1/100,000 Sheet

FREQUENCY PLOT

3.200
2.000
0.800
-0.400
-1.600
-2.800



LOGARITHMIC VALUES

=====

VARIABLE = Pyrite_0

UNIT = Kilograms

N = 45

N CI = 36

POPULATIONS

=====

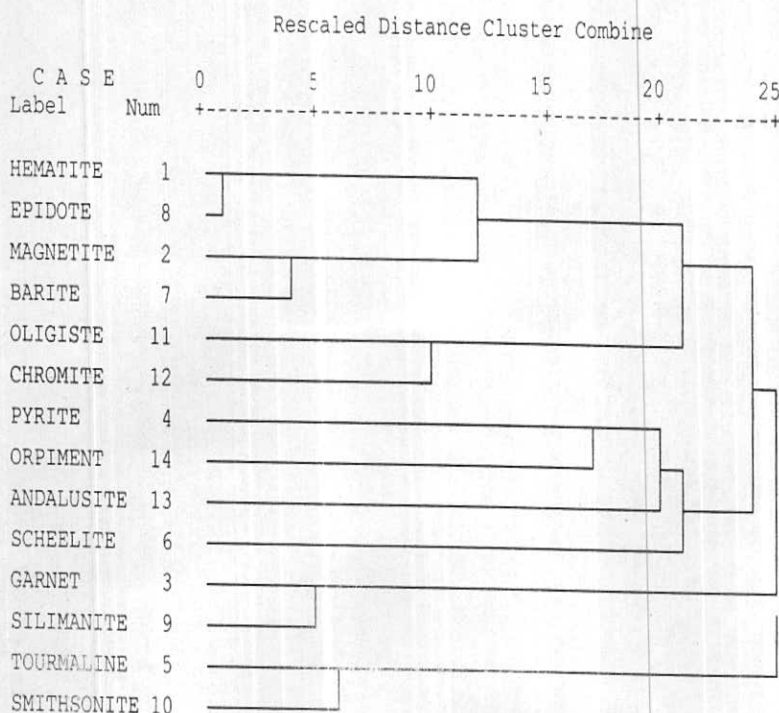
POP.	MEAN	STD. DEV.	N
1	-2.0335	0.6391	26.7
2	1.1851	0.1984	32.8
3	2.2900	0.2736	40.5

RAW DATA ML
PARAMETER ESTIMATES

شکل(۱) : نمودار تفکیک جامعه سه مدل متغیر کالی سنگین پریت اکسیدی

* H I E R A R C H I C A L C L U S T E R A N A L Y S I S *

Dendrogram using Centroid Method



شکل (۳۴-۷) : دندروگرام متغیرهای کانی سنگین در برگه های ۱/۱۰۰۰۰ عباس آباد .

سیلیمانیت در یک شاخه مجزا می‌تواند معرف فرایند دگرگونی همبری باشد. در خصوص شاخه پائینی این دندروگرام که از کانیهای تورمالین و اسمیت زوینت تشکیل شده است، به دلیل کمی تعداد مقادیرها و کمی مقادیر آنها نمی‌توان توجیه درستی از آن بعمل آورد.

با توجه به دندروگرام مذکور و نیز با توجه به محدودیت ساخت متغیرها جهت رسم نقشه (دو نقشه برای متغیرهای کانی سنگین) در مجموع اقدام به رسم مقادیر بالای گروههای زیر گردید (نقشه‌های شماره ۷ و ۸):

۱- مجموعه تمام کانه‌های فلزی گزارش شده (مالاکیت، اریمنت، شٹلیت، کالکوپیریت، دیوپتاز، آزوریت و اسمیت زوینت)، باریت و پیریت اکسیدی در یک نقشه (نقشه شماره ۷).

۲- مجموعه کانی‌های مرتبط با آلتراسیون پروپیلیتی (هماتیت، منیتیت و اپیدوت) و مجموعه کانی‌های مرتبط با دگرگونی همبری (گارنت، سیلیمانیت و اوپلیزیت) در یک نقشه (نقشه شماره ۸).

۸- تخمین شبکه‌ای و رسم نقشه متغیرهای کانی سنگین

تکنیک تخمین شبکه‌ای که اساس رسم نقشه‌های ژئوشیمیایی و کانی سنگین را تشکیل می‌دهد در فصول قبلی گزارش تشریح شده است. با استفاده از این تکنیک برای متغیرهای زیر اقدام به رسم نقشه گردید:

۱- مقادیر زیر ۲۵ درصد، بین ۲۵ تا ۵۰ درصد، تا ۷۵ درصد و بالای ۷۵ درصد فراوانی مجموعه تمام کانه‌های فلزی (مالاکیت، اریمنت، شٹلیت، کالکوپیریت، آزوریت و اسمیت زوینت)

۲- مقادیر زیر ۲۵ درصد، بین ۲۵ تا ۵۰ درصد، تا ۷۵ درصد و بالای ۷۵ درصد فراوانی کانی باریت.

۳- مقادیر بالای ۷۵ درصد فراوانی کانی پیریت اکسیدی.

۴- مقادیر زیر ۲۵ درصد، بین ۲۵ تا ۵۰ درصد، تا ۷۵ درصد و بالای ۷۵ درصد فراوانی مجموعه کانی‌های هماتیت، منیتیت و اپیدوت.

۵- مقادیر بالای ۷۵ درصد فراوانی کانی‌های گارنت، سیلیمانیت و اوپلیزیت.

نقشه شماره ۷ متغیرهای ۱، ۲ و ۳ و نقشه شماره ۸ متغیرهای ۴ و ۵ را نمایش می‌دهد.

۹- نتایج حاصل از نمونه‌های میزالیزه

(موضوع بندهای ۵-۶ و ۶-۷ شرح خدمات)

در بررسی های ژئوشیمیایی ناحیه‌ای بدليل بروز خطای ناشی از تغییرات سنگ بستر، تغییرپذیری مقدار مواد آلی و عناصر جذب کننده مانند آهن و منگنز کلودیدی و در تیجه ظهور آنومالی های کاذب، فاز کنترل آنومالی ها می توانند در انتخاب انواع مرتبط با کانی سازی بسیار مفید واقع شود. در این پژوهه از طریق برداشت نمونه های کانی سنگین و نمونه های میزالیزه احتمالی در محدوده آنومالی های ژئوشیمیایی، به کنترل آنومالی های مقدماتی اقدام گردیده است. در این صورت می توان نتایج حاصل از روش های مختلف را در یک مدل مورد بررسی قرار داد و این طریق به ارزیابی نهایی مناطق آنومال پرداخت. در این پژوهه در محدوده برگه ۱۰۰،۱۰۰:۱:۱۰۰ عباس آباد و در محدوده آنومالی های ژئوشیمیایی مقدماتی اقدام به برداشت ۷۶ نمونه سنگی از زون های میزالیزه و سیستم های پلمنیگ گردیده است.

تمامی نمونه ها جهت آنالیز شیمیایی به آزمایشگاه شرکت توسعه علوم زمین فرستاده شده است که نتایج آن در جدول (۷-۲) آورده شده است.

۱۰- آنالیز ویژگی نمونه‌های میزالیزه (موضوع بند ۷-۶ شرح خدمات)

این آنالیز جهت رتبه بندی اهمیت اکتشافی نمونه ها و عناصر (متغیرهای ژئوشیمیایی) صورت می پذیرد.

این آنالیز عناصر کانساری را از جهت پتانسیل کانی سازی آنها رتبه بندی می کند. جدول (۳-۷) رتبه بندی نمونه ها بر حسب اهمیت اکتشافی آنها به طور نزولی نشان می دهد. اعداد مربوط به رتبه هر یک از نمونه ها و متغیرها براساس رتبه های معادل ۱، ۲ و ۰ به ترتیب برای کانی سازی کانساری، کانی سازی غنی شده و کانی سازی پراکنده و عقیم هر یک از عناصر در نمونه محاسبه گردیده است. اعداد حدی مربوطه به پیشنهاد ژینزبرگ [۱۰] می باشد. بدین صورت که در ماتریس "نمونه - عنصر" مقدار فراوانی یک عنصر یا در حد کانی سازی کانساری، یا در حد کانی سازی غنی شده، و یا در حد کانی سازی پراکنده بوده است. در این صورت برای هر یک بترتیب اعداد ۱، ۲، ۰ در ماتریس ذکر شده قرار داده می شود. ماتریس حاصل یکبار برای متغیرهای عنصری و یکبار برای نمونه ها، مورد آنالیز

Table 7-2 : Analytical Results of Mineralized Samples in Abas Abad 1/100,000 Sheet .

Row	Sample No	AU ppb	AS ppm	SB ppm	BI ppm	HG ppm	W ppm	MO ppm	CU ppm	PB ppm	AG ppm	ZN ppm
1	AA19M1	2.1	7.13	0.5	0.18	0.05	0.5	4.19	68	5.2	0.092	105
2	AA19M2	26	6.7	0.5	0.25	0.05	0.5	6.46	135	12	0.078	92
3	AA19M3	2.6	5.65	0.5	0.13	0.098	0.5	3.21	48	7.3	0.18	94
4	AA19M4	1.5	3.26	0.5	0.12	0.77	0	0	2448	6.2	0	60
5	AA1A2	2.7	11	0.5	0.1	0.05	0.5	1.44	80	11	0.11	74
6	AA1M1	1.1	5.84	0.5	0.1	0.05	0.5	1.44	46	17	0.096	70
7	AA1M2	2.4	10.4	0.5	0.1	0.05	1	2.81	96	24.5	0.15	105
8	AA1M3	34	12	0.5	0.14	0.061	1.97	3.07	82	22.5	0.17	123
9	AA1M4	2.1	6.2	0.5	0.1	0.05	1.4	2.13	56	32	0.11	142
10	AA1M5	1.3	4.06	0.5	0.1	0.05	0.5	0.55	23903	9.5	6.5	76
11	AA1M6	1.2	4.67	0.5	0.1	0.05	0.5	1.18	225	17.5	0.15	100
12	AA1M7	2.1	8.97	0.5	0.1	1.26	0.5	4	19239	10.5	5.6	52
13	AA1M8	1	12.2	0.5	0.22	0.056	0.5	1.14	230	19.5	0.13	58
14	AA1M9	1.1	13.6	0.66	0.1	0.05	0.5	1.97	44	17.5	0.092	130
15	AA20A1	33	17.3	0.84	2.81	0.05	0.5	3.01	165	15	0.23	58
16	AA20A2	43	3.44	0.5	0.23	0.05	0.54	0.56	42.5	28	0.14	26
17	AA20A3	40	3.57	0.5	0.1	0.05	0.5	2.13	165	4.6	0.13	97
18	AA21A1	41	5.16	0.5	0.27	0.05	0.5	0.9	185	8.3	0.084	42
19	AA21M1	29										
20	AA21P1	1	1	0.5	0.15	0.11	0	0	8.7	2	0	81
21	AA3A1	1	6.51	0.5	0.11	0.05	0.79	2.05	82	11.5	0.11	84
22	AA3A2	1.3	11.9	0.5	0.1	0.05	0.5	2.32	240	8.7	0.078	64
23	AA3P1	3.6	21.6	0.5	0.1	391	0	0	1924	87	0	30
24	AA61A	1.7	22.4	0.5	0.23	0.05	0	0	13	3.9	0	59
25	AA61M	1										
26	AA95M1	2.8	4.61	0.5	0.32	0.05	0.5	2.61	22737	13.5	3.7	75
27	AA95M2	1.1										
28	AG271M	1.3	1.41	0.5	0.17	0.05	0	0	4664	9.8	0	38
29	AG272P	1.5										
30	AG274P	3.3	1.11	0.5	0.15	0.05	0	0	21.5	2	0	68
31	AG284M	3.1	59.7	6.3	0.15	5.03	0	0	5	140	0	1150
32	AG285M1	1										
33	AG285M2	1.5										
34	AG285M3	46	79.9	1.35	0.35	0.14	0	0	7.2	7.6	0	115
35	AG285M4	1.5	132	0.87	0.24	0.069	0	0	5	6.2	0	145
36	AG295M	1.1	2.4	0.5	0.1	0.05	0	0	5	2	0	70
37	AG380M1	2.6	2.4	0.5	0.81	0.25	1.15	6.79	78	220	0.096	140
38	AG380M2	2.5	7.8	0.56	1.16	0.05	0.5	5.79	46	19	0.62	96
39	AG380M4	29	151	1.44	11.5	0.05	1.15	9.75	400	110	0.36	355
40	AG380M5	2.7	15.3	0.5	3.02	0.096	0.5	9.37	120	120	0.12	68

(Blank Cell Means Sample Not Analyzed for This Element)

Table 7-2 : Analytical Results of Mineralized Samples in Abas Abad 1/100,000 Sheet .

Row	Sample No	AU ppb	AS ppm	SB ppm	BI ppm	HG ppm	W ppm	MO ppm	CU ppm	PB ppm	AG ppm	ZN ppm
41	AG551M	2.2	3.75	0.5	0.17	0.05	0.77	4.73	90	15	0.084	33
42	AG552M1	3.7										
43	AG552M2	24										
44	AG555A	2.1	3.93	0.5	0.1	0.05	0	0	40	9.8	0	70
45	AK254M1	1.6										
46	AK254M2	1.4	4.24	0.5	0.1	0.05	0.77	2.53	150	12.5	0.12	47
47	AK254M3	1.2										
48	AK254M4	1	2.27	0.5	0.11	0.05	0	0	54	2	0	34
49	AK254M5	1	5.41	0.6	0.26	0.05	0	0	5830	9.4	0	64
50	AK267M	1.3	2.52	0.5	0.1	0.05	0	0	17198	7.3	0	22
51	AM331M1	1.3	4.46	4.21	0.5	0.05	0	0	50	7.3	0	54
52	AM331M2	58	1.88	17.2	1.49	0.05	0	0	24.5	13	0	69
53	AM331M3	1.4	3.21	5.48	1.39	0.05	0	0	20	16	0	20
54	AM338M1	46	8.91	1.87	0.19	0.09	0	0	11	4.45	0	110
55	AM338M2	100	7.66	3.83	2.08	0.45	0	0	47	2	0	140
56	AM338M3	40	125	0.53	0.71	0.05	0	0	5	5.7	0	72
57	AM338M4	28	83.6	8.69	0.6	0.05	0	0	21	14.5	0	27
58	AM439M1	2	3.81	0.5	0.1	0.05	0.5	2.3	92	16	0.23	84
59	AM439M2	2.8	7.74	0.5	0.1	0.05	0.79	10.7	16324	35	7	72.5
60	AM533P1	1.5	1	0.5	0.1	0.05	0	0	11	2	0	41
61	AM533P2	1.4	1	0.5	0.1	0.05	0	0	76	2	0	98
62	AM533P3								43	7.6	0	49
63	AM533P4	1.4	3.86	0.5	0.18	0.05	0	0	36	3.9	0	72
64	AM546M1	2.2										
65	AM546M2	1.3	6.14	0.5	0.13	0.05	0	0	14.5	3.3	0	25
66	AM547M1	2.2	24.1	1.31	0.25	0.27	1.15	1.43	25	4.5	0.1	100
67	AM547M2	57										
68	AM553P3	2	6.72	0.5	0.23	0.05	0	0				
69	AM563M1	19										
70	AM563M2	40	4.73	0.92	0.46	0.1	0	0	22	17	0	59
71	AM572M	2.8	2.21	0.5	0.63	0.05	0.8	1.93	32	5.6	0.12	53.5
72	AM573M	34	16.1	0.5	0.38	0.05	0.77	5.16	11077	18	7.3	47
73	AM576M	1	2.33	0.5	0.1	0.05	0.5	3.78	62	5.9	0.11	47
74	AM600P	1.2	1.54	0.5	0.1	0.05	0	0	25	2	0	51
75	AM602P	1.4	3.19	0.5	0.17	0.05	0	0	43	5.1	0	48.5
76	AM603P	1.5	3.44	0.5	0.1	0.05	0	0	192	4.6	0	45

(Blank Cell Means Sample Not Analyzed for This Element)

Table 7- 3: Results of Characteristic Analysis for Mineralized Samples Based on
Ginsburg Limits in Abas Abad 1/100,000 Sheet .

Row	Sample No.	Rank of Score	Row	Sample No.	Rank of Score
1	AA1M7	19.29	41	AA1M4	0.00
2	AM338M2	18.87	42	AA1M6	0.00
3	AA19M4	15.43	43	AA1M9	0.00
4	AA3P1	15.43	44	AA3A1	0.00
5	AG285M3	15.36	45	AA3A2	0.00
6	AG284M	13.45	46	AA61A	0.00
7	AA21P1	13.11	47	AA61M	0.00
8	AG380M1	13.11	48	AA95M2	0.00
9	AM547M1	13.11	49	AG272P	0.00
10	AM573M	13.11	50	AG274P	0.00
11	AA1M5	11.66	51	AG285M1	0.00
12	AA95M1	11.66	52	AG285M2	0.00
13	AG271M	11.66	53	AG295M	0.00
14	AK254M5	11.66	54	AG380M2	0.00
15	AK267M	11.66	55	AG551M	0.00
16	AM439M2	11.66	56	AG552M1	0.00
17	AM331M2	10.58	57	AG555A	0.00
18	AM547M2	10.58	58	AK254M1	0.00
19	AA1M3	9.43	59	AK254M2	0.00
20	AM338M1	9.43	60	AK254M3	0.00
21	AM563M2	9.43	61	AK254M4	0.00
22	AA19M3	6.56	62	AM331M1	0.00
23	AA1M8	6.56	63	AM331M3	0.00
24	AG285M4	6.56	64	AM439M1	0.00
25	AG380M5	6.56	65	AM533P1	0.00
26	AA19M2	5.29	66	AM533P2	0.00
27	AA20A1	5.29	67	AM533P3	0.00
28	AA20A2	5.29	68	AM533P4	0.00
29	AA20A3	5.29	69	AM546M1	0.00
30	AA21A1	5.29	70	AM546M2	0.00
31	AA21M1	5.29	71	AM553P3	0.00
32	AG380M4	5.29	72	AM572M	0.00
33	AG552M2	5.29	73	AM576M	0.00
34	AM338M3	5.29	74	AM600P	0.00
35	AM338M4	5.29	75	AM602P	0.00
36	AM563M1	5.29	76	AM603P	0.00
37	AA19M1	0.00	77		
38	AA1A2	0.00	78		
39	AA1M1	0.00	79		
40	AA1M2	0.00	80		

ویژگی قرار می‌گیرد. داده‌های این جدول معرف آنستکه بیشترین امتیاز کسب شده برای کانی سازی در نمونه های *AAIM7* و *AM338M2* به ترتیب با ۱۹/۲۹، ۱۸/۸۷ امتیاز و مینیمم آن یعنی صفر در ۴۰ نمونه مشاهده می شود.

بمنظور تعیین پتانسیل کانی سازی نسبت به عناصر کانساری در برگه ۱/۱۰۰،۰۰۰ عباس آباد، آنالیز ویژگی برای عناصر نیز صورت گرفته است که نتیجه آن در جدول (۴-۷) آمده است. داده‌های این جدول معرف آنستکه بیشترین پتانسیل کانی سازی در نمونه های میزرازیه متعلق به جیوه با امتیاز ۴۴/۷ می باشد. عنصر مس با امتیاز ۳۴/۹۹ در رتبه بعدی قرار دارد. بعد از مس، عنصر طلا با امتیاز ۲۹/۴۸ قرار گرفته است. پس از آن عنصر روی با امتیاز ۲/۲۴ رتبه بعدی را تصاحب کرده است. سایر عناصر امتیاز صفر گرفته اند که نشان از عدم وجود پتانسیل کانی سازی این عناصر دارد.

۱۱- مطالعه تغییرپذیری دانسیتة گسلها و امتداد آنها

(موضوع بند ۱۰ شرح خدمات)

۱۱-۱- مقدمه

از آنجاکه در تشکیل بسیاری از کانسارها سیالات کانه ساز نقش اساسی دارند و برای حرکت آنها نیاز به کانالهایی در ابعاد مختلف (از چندین سانتی متر تا میکروسکوپی) می باشد (Plumbing System) و از طرفی توسعه چنین سیستمهایی از مجاری زونهای شکسته شده (چه در مناطق کششی و چه در مناطق فشاری) محتمل تر است، لذا مطالعه زونهای شکسته شده و مقایسه نقشه توزیع آنومالی های ژئوشیمیایی و کانی سنگین با نقشه توزیع شکستگی ها می تواند در ارزیابی آنومالیها مفید واقع شود. نکته اساسی در این مورد آن است که زمان تشکیل شکستگی در این خصوص بسیار با اهمیت است، زیرا تنها شکستگیهایی که قبل از فعال شدن پدیده کانی سازی توسعه یافته باشند می توانند در ایجاد کانالها و مجاری لازم جهت حرکت سیالات و تشکیل کانسارهای اپی ژنتیک هیپوژن مؤثر باشند. بنابراین شکستگی هایی که بعد از کانی سازی توسعه می یابند فقط می توانند در توسعه هاله های ثانوی آنها و تشکیل زون غنی شدگی اکسیدی و یا احیائی از نوع اپی ژنتیک سوپرژن مؤثر واقع شوند. البته توسعه شکستگی های نوع اخیر موجب تسهیل در فرآیند اکسیداسیون عناصر

Table 7- 4 : Results of Characteristic Analysis for Variables in Mineralized Samples
Based on Ginsburg Limits in Abas Abad 1/100,000 Sheet .

Variable	Rank of Score
HG	44.70
CU	34.99
AU	29.48
ZN	2.24
AS	0.00
SB	0.00
BI	0.00
W	0.00
MO	0.00
PB	0.00
AG	0.00

کاساری و در نتیجه افزایش قابلیت تحرک آنها و نهایتاً توسعه هاله‌های ثانویه آنها نیز خواهد شد.

از آنجا که در بررسیهای اکتشافی ناحیه‌ای در مقیاس ۱:۱۰۰،۰۰۰ اندازه‌گیری شکستگی‌ها امکان پذیر نیست، لذا توصیه شده است تا از طریق مطالعه دانسته گسلها به محدوده زونهایی که احتمال توسعه سیستم شکستگی‌ها در آنها بیشتر است دست یافت. بدین‌هی است در زونهای کششی ممکن است شکستگی‌های توسعه یابند که همراه با گسل‌شناسی نباشند. در این بررسی از گسلهای ترسیم شده در نقشه زمین‌شناسی ۱:۱۰۰،۰۰۰ زمین‌شناسی استفاده شده است.

۱۱-۲-روش مطالعه

در این پژوهش، روش مطالعه دانسته گسلها، که می‌توان آن را متناسب با دانسته شکستگی‌ها فرض کرد به شرح زیر بوده است:

۱- رقومی نمودن گسلهای موجود در نقشه زمین‌شناسی ۱:۱۰۰،۰۰۰ با استفاده از

نرم افزار مناسب

۲- انتخاب مبدأ مختصات در گوشه جنوب غربی برگه زمین‌شناسی.

۳- رسم شبکه مربعی به مساحت یک کیلومترمربع برای نقشه زمین‌شناسی. بدین ترتیب برای برگه ۱:۱۰۰،۰۰۰ عباس آباد حدود ۲۵۷۶ سلول به مساحت یک کیلومتر مربع مشخص می‌گردد.

۴- اندازه‌گیری طول گسلهای موجود در هر واحد شبکه و سپس محاسبه حاصل جمع آنها بازه واحد سطح. در این مورد گسلهایی که دارای امتداد مختلف هستند، طول آنها بدون در نظر گرفتن امتدادشان در نظر گرفته می‌شود. زیرا اثر آنها در ایجاد شکستگی‌ها مشابه فرض می‌شود. این حاصل جمع طول گسلها به مرکز همان واحد شبکه نسبت داده می‌شود.

۵- اندازه‌گیری آزیموت گسلهای مختلف موجود در هر واحد شبکه و سپس رسم رز دیاگرام آنها و تحلیل نتایج حاصل. بنابراین آزیموت مربوط به یک گسل نمی‌باشد بلکه این نوعی آزیموت وزن دار است و متناسب با طول یک گسل وزن پیدا می‌کند. با توجه به مراتب فوق رز دیاگرام مربوطه نسبت به طول گسلها وزن دار است.

- ۶- مطالعه آماری مجموع طول گسلها و سپس رسم نقشه توزیع آن در هر برگه.
- ۷- کاربرد نقشه توزیع سیستم شکستگی ها در مدل سازی آنومالی های ژئوشیمیایی مربوطه.

۱۱-۳-داده های خام

پس از انجام مراحل مشروح در بندهای ۱، ۲، ۳، ۴ و ۵ فوق، نتایج مربوط به مجموع طول گسلها همراه با مختصات هر سلول و همچنین آزمیوت آنها در جدولی خلاصه شد (جدول ۴ بروی CD). در این جدول در هر واحد شبکه که گسل در آن وجود داشته یک عدد بعنوان مجموع طول گسلها ثبت گردیده است. برای هر سلول ممکن است چندین آزمیوت اندازه گیری شده باشد که با توجه به وزن آزمیوت ها نسبت به طول گسلها رزدیاگرام وزن دار آنها رسم می شود.

۱۱-۴-پارامترهای آماری مجموع طول گسلها

(موضوع بندهای ۱-۱۰ و ۱۰-۳ سرح خدمات)

در محدوده برگه ۱/۱۰۰،۰۰۰ عباس آباد از حدود ۲۵۷۶ واحد شبکه، در ۷۴۳ واحد شبکه می توان مجموع طول گسلها را اندازه گیری کرد که حدود ۲۹٪ مساحت تحت پوشش را شامل می شود. شکل (۳۵-۷) هیستوگرام توزیع دانسته گسلها را بر حسب متر بر کیلومتر مربع نشان می دهد. همانطور که ملاحظه می شود این کمیت توزیع فراوانی نزدیک به لاغ نرمال با چولگی مشتبه دارد. متوسط طول گسلهای موجود در واحد های شبکه دارای گسل ۹۹۶ متر می باشد. حداقل طول گسل موجود در یک واحد شبکه دارای گسل پنج متر و حداقل آن ۴۴۲۳ متر بوده است. مع الوصف با چنین تغییرات شدید دامنه اندازه گیریها، ضریب تغییرات این متغیر حدود ۷۷/۵٪ است، زیرا دامنه فوقانی آن محدود به تعداد اندکی است. رقم معادل ۷۵٪ فراوانی، حدود ۱۲۸۵ متر می باشد. شکل این نتایج توزیع کمی غیرعادی است به طوری که فراوانی سلول هایی تا حدود ۱۱۵۰ متر گسل در کیلومتر مربع مرتبآ افزایش می یابد و سپس فراوانی آنها برای مقادیر بالاتر از حدود ۱۱۵۰ متر گسل یک مرتبه کاهش شدید نشان می دهد به طوری که حالت انقضای در آن دیده می شود.

۱۱-۵-پارامترهای آماری امتداد گسلها

(موضوع بندهای ۲-۱۰ و ۳-۱۰ شرح خدمات)

شکل (۳۶-۷) هیستوگرام توزیع امتداد شکستگی‌ها (آزمون آنها) را در واحدهای شبکه‌ای دارای گسل نشان می‌دهد. این هیستوگرام بوضوح نشان می‌دهد که امتداد وزن دار غالب در محدوده این برگه بین 70° تا 80° قرار دارد. جهت جنوب شرقی - شمال غربی نیز برای امتداد گسلها تشخیص داده می‌شود که نسبت به حد قبلی تعداد کمتری از گسلها را شامل می‌شود. دو جهت شرقی - غربی و شمالی - جنوبی نیز برای گسل‌ها قابل تشخیص است که نسبت به امتداد ذکر شده در فوق تعداد بسیار کمتری از گسل‌ها را شامل می‌شوند. بنابراین تا آنجا که به امتداد این گسلها در محدوده این برگه مربوط می‌شود توسعه گسلها و به تبع آن امتداد زونهای با شکستگی بیشتر از روندهای تکتونیکی ناحیه‌ای تعیین می‌کند. شکل (۳۷-۷) رز دیاگرام داده‌های امتدادی مربوط به گسلها را نشان می‌دهد که تا حدودی منعکس کننده ایزوتروپی نسبی آنها می‌باشد. این شکل معرف آن است که در امتداد 70° تا 80° ($10^{\circ} \pm$ درجه) تعداد گسلها چشمگیر است این امتداد با امتداد محور چین خوردگی‌های عمده منطقه انتباطی دارد.

قابل ذکر است که این رز دیاگرام بر اساس ۱۱۷۳ امتداد مختلف اندازه‌گیری شده، ترسیم شده است بنابراین اثر طول گسل در امتدادهای اندازه‌گیری شده مؤثر بوده است.

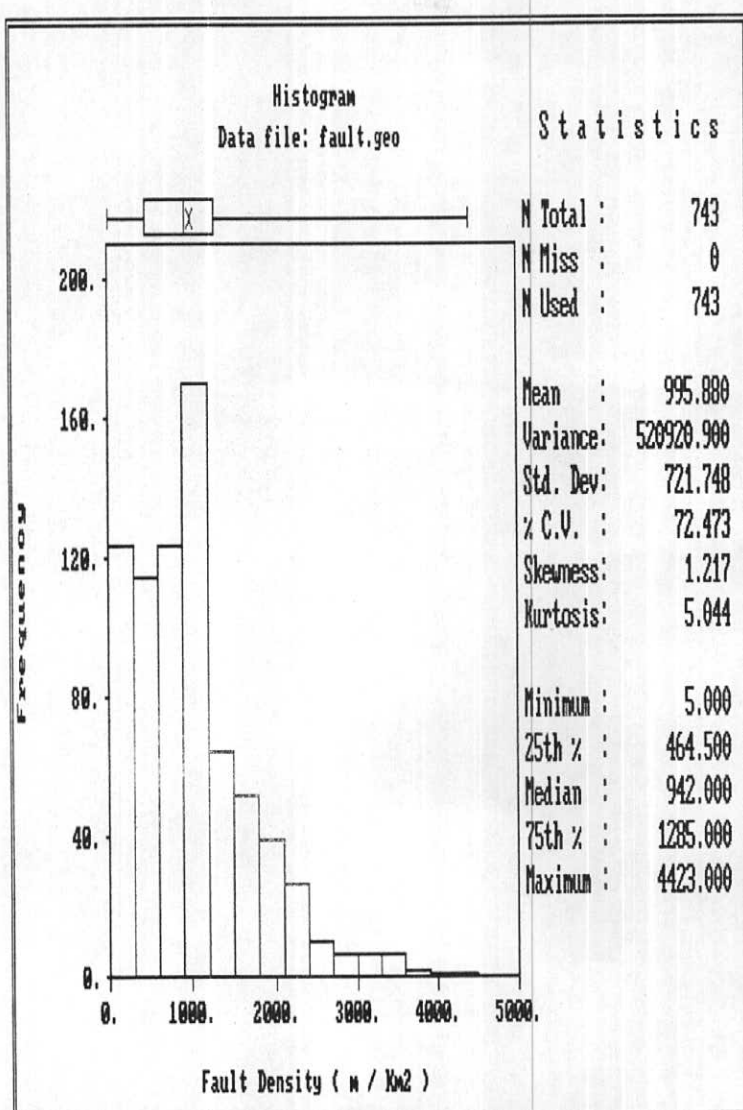
۱۱-۶-رسم نقشه دانسیته گسلها

برای تخمین و رسم نقشه توزیع دانسیته گسلها از روش ژئواستاتیستیک استفاده شد. در این مورد پس از رسم واریوگرام داده‌ها مشخص گردید که ساختار فضایی لازم برای تخمین ژئواستاتیستیکی در بین این داده‌ها قابل قبول می‌باشد. شکل (۳۸-۷) واریوگرام دانسیته گسلها را برای 7808 جفت داده نشان می‌دهد. داده‌های موجود در این شکل معرف آن است که سقف واریوگرام حدود $1/1$ می‌باشد. بر طبق این واریوگرام می‌توان دامنه‌ای در حدود ۶ کیلومتر را مشخص نمود (با مقدار اثر قطعه‌ای حدود $5/0$ ، یعنی $45/5\%$ تغییرات تصادفی است). با توجه به نسبت سقف واریوگرام به مقدار اثر قطعه‌ای، می‌توان دریافت که ساختار فضایی بین این داده‌ها نسبتاً خوب است و این رو خطای تخمین‌ها می‌توانند در حد قابل قبولی باشند.

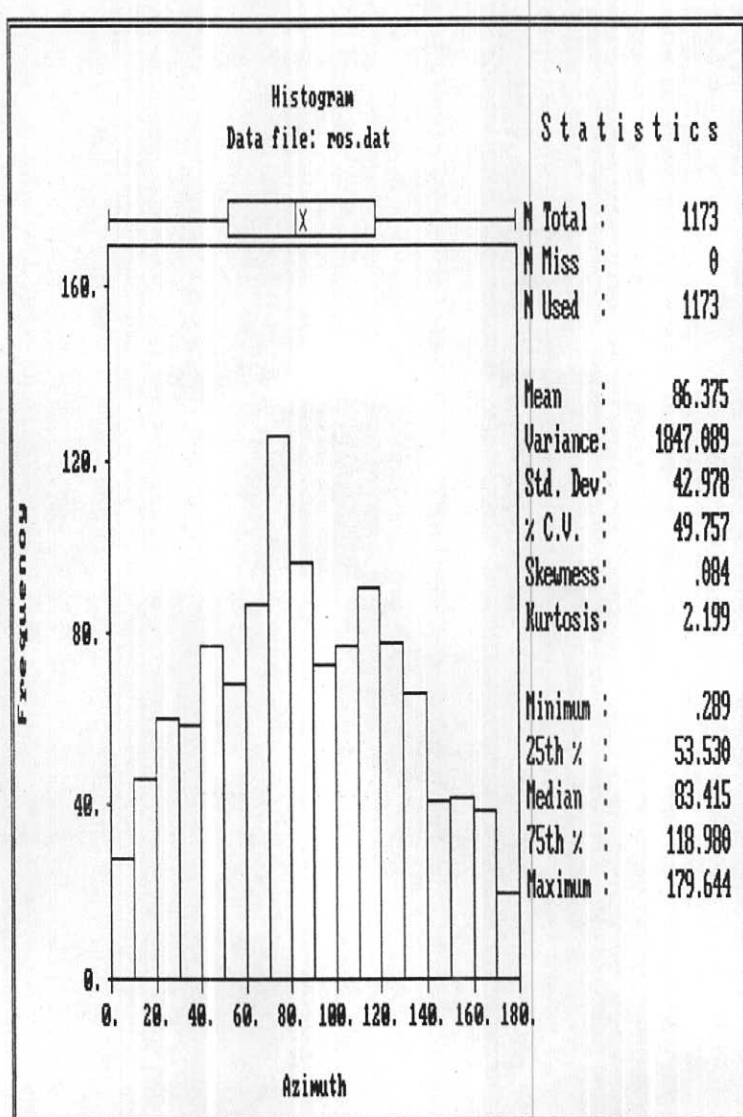
با توجه به کیفیت ساختار فضایی، شعاع جستجوی معادل ۴ کیلومتر برای تخمین های مربوطه و رسم نقشه ها انتخاب گردید. نقشه شماره ۹ این توزیع را در محدوده برگ، ۱:۱۰۰،۰۰۰ عباس آباد نشان می دهد. برای رنگ آمیزی نقشه مقادیر کوچکتر از $\frac{۳}{۳۳}/\frac{۳}{۳}$ ، $\frac{۶۶}{۷}/\frac{۳}{۳}$ و بالاتر از آن ملاک قرار گرفته اند.

۱۱-۷- انطباق محدوده آنومالیهای ژئوشیمیایی با محدوده زونهای با شکستگی زیاد

همان گونه که در نقشه شماره ۹ ملاحظه می گردد مناطق با شکستگی بالا در این برگه با روندهای تکتونیکی موجود در محدوده این برگه انطباق دارد. از مقایسه نقشه توزیع دانسیه گسلها (نقشه شماره ۹) و محدوده های آنومال مشخص می شود که آنومالی شماره A5 بطور کامل و آنومالی های شماره A1, A2, A6, A8, A9 و A14 بطور عمدی در زون شکستگی قرار دارند. ضمناً می توان مشاهد کرد که نیمه غربی آنومالی شماره A4، نیمه شرقی آنومالی شماره A16 و کمی از بخش شمالی آنومالی شماره A13 با زون شکستگی انطباق دارد. آنومالی های A17 و A15, A12, A11, A7, A3 یا در زون های شکستگی قرار ندارند و یا با فاصله نزدیکی از آنها قرار دارند.



شکل (۳۵-۷) : هیستوگرام توزیع دانسیتی گسلها (m/km²) در برگه ۱/۱..... عباس آبد



شکل (۳۶-۷) : هیستوگرام توزیع امتداد (آزیموت) شکستگیها در برگه ۱/۱۰۰۰۰ عباس آبد

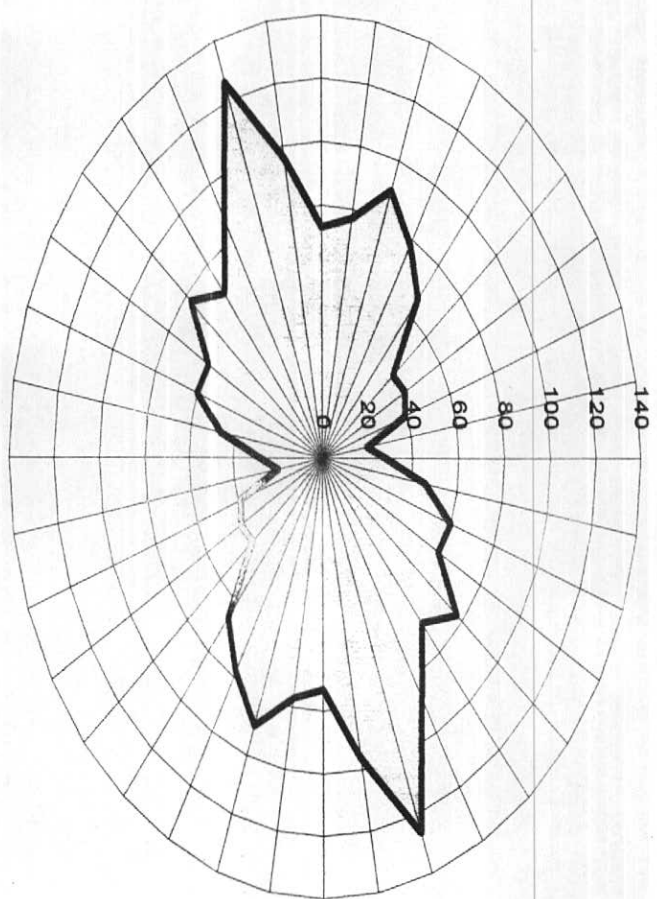
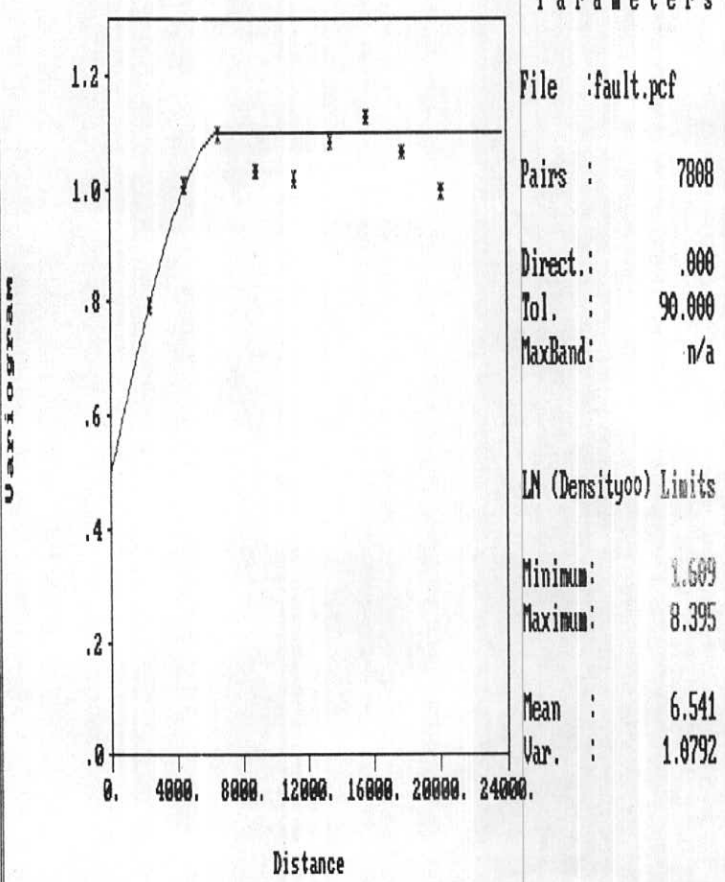


Fig. 7-37: Rose Diagram of Fault Azimuth Frequency in Abas Abad 1/100,000 Sheet .

Variogram for LN (Density)



شکل (۳۸-۷) : واریوگرام دانسیته شکستگیها در برگه ۱/۱۰۰۰۰ علی آبد

فصل هشتم

مدل سازی آنومالیهای ژئوشیمیایی

(موضوع بند ۱۱ شرح خدمات)

۱- روش کار

یکی از معضلات بررسیهای اکتشافی ژئوشیمیائی، انتخاب مناطق امیدبخش و اولویت بندی آنها برای کارهای نیمه تفصیلی است. ریشه مشکلات مربوط به این کار آن است که ملاک ژئوشیمیائی معینی برای این کار تعریف نشده است و اگر هم تعریف شود ممکن است تواند بطور مؤثر بکار برد شود، زیرا مجموعه داده‌های ژئوشیمیائی، کانی سنگین و نمونه‌های میترالیزه و آلتراسیون، تا زمانی که در چهار چوب یک مدل کلی مورد سنجش قرار نگیرد و میزان سازگاری کلیه مشاهدات مشخص نشود، از اعتبار لازم برای تصمیم‌گیری برخوردار نخواهد بود و تکیه بر آنها می‌تواند ریسک عملیات اکتشافی را بالا برد و پامدهای ناخواسته‌ای را به همراه داشته باشد.

برقراری چنین مدلی در اکتشافات ناحیه‌ای در مقیاس ۱/۱۰۰،۰۰۰ نیاز به کسب اطلاعاتی در زمینه‌های ناحیه‌ای و محلی دارد. اطلاعات ناحیه‌ای که هاله‌های ثانوی را در بر می‌گیرد شامل سکانسها می‌باشد که موجود در منطقه، سنگ درونگیر، دامنه سنی آنها و شرایط تکتونیکی محیط مربوط به آنهاست. شرایط محلی بیشتر محدود به ویژگیهای موجود در محدوده هاله‌های ثانوی است که شامل ویژگیهای محیط آنومالی از قبیل پدیده‌های ماگماتی، ذگرگونی و رسوبی فعال در محدوده آنومالی و همچنین شرایط زمین‌شناسی ساختمانی محدوده آنومالی، پارازیت‌های ژئوشیمیائی توسعه یافته در محدوده آنومالی، ویژگیهای کانی‌شناسی فرایندهای بعد از ماگماتی شامل انواع آلتراسیون‌ها و ساخت و بافت سنگها و زونهای کانی‌سازی احتمالی و بالاخره آنومالیهای ژئوفیزیکی در محدوده آنومالی می‌باشد. اگر بخواهیم اطلاعات فوق را، که شامل بیش از ۱۲۰۰ ویژگی تعیین شده است، برای ۹۳ تیپ کانسار مدل سازی شده به کار ببریم، نیاز به نرم افزاری است که قادر باشد برآسان منطق خاصی از روی ویژگیهای معلوم در محل گسترش یک آنومالی معین محتمل ترین تیپ

کانسار احتمالی وابسته به مجموعه خواص مشاهده شده را پیشنهاد نماید. مناسبترین منطق برای این کار، منطقی است که در آن هر کانسار مانند شیئی با خواص و ویژگیهای معین احتمال پذیر مورد مطالعه قرار گیرد. بنابراین در محل هر آنومالی، تعدادی از خواص که مورد اندازه‌گیری قرار گرفته است، بعنوان خواص احتمالی آن شیء معلوم می‌باشد. وجود هر یک از خواص در اثبات تشابه با کانسارات معین، از امتیاز تعیین شده‌ای برخوردار است و نبود آن خاصیت در رد آن کانسار نیز امتیاز تعیین شده معینی دارد. با توجه به مراتب فوق می‌توان با مطمئن بودن از وجود بعضی از خواص و نبود بعضی از خواص، محتمل‌ترین تیپ کانسار وابسته را پیش‌بینی کرد که بیشترین سازگاری و کمترین ناسازگاری را با مجموعه خواص مشاهده شده در محل توسعه آنومالی داشته باشد. چون در مورد بعضی از خواص نه به وجود و نه به نبود آن اطمینان کافی در دست نیست، لذا لازم است در نرم افزار مورد نظر حق انتخاب دیگری به مفهوم خاصیت تعیین نشده، وجود داشته باشد که در سنجش سازگاری و ناسازگاری مجموعه خواص بی اثر باشد.^{۱۲/۱}

بالاترین امتیاز کاربرد چنین مدلی این است که پس از رتبه بندی آنومالیها براساس سازگاری آنها با تیپ معینی از کانسارات، عملیات اکتشافی احتمالی ای که باید در محدوده آن صورت پذیرد را با اولویت بندی پیشنهاد نماید. این کار از طریق مقایسه خواص داده شده در محل آنومالی با خواصی که محتمل‌ترین تیپ کانسار دارا می‌باشد، انجام می‌پذیرد.

۲- مدل سازی

در محدوده برگه ۱/۱۰۰،۰۰۰ عباس‌آباد، پس از رسم نقشه‌های تک متغیره و چند متغیره (EI شامل PN و فاکتوری) و انتخاب مناطق یک درصد بالای فراوانی و کنترل آنومالیها به روشهای مختلف و کسب اطلاعات گوناگون، اقدام به مدل سازی محدوده آنومالی‌های مهم شده است که در بندهای بعدی به شرح هر یک خواهیم پرداخت.

۱-۲- مقدمه

مدل سازی آنومالی‌های ژئوشیمیابی یکی از مهم‌ترین موضوعاتی است که در دهه گذشته در زمینه اکتشافات ژئوشیمیابی مطرح شده است و بسرعت مسیر تحول خود را می‌گذراند. مدل سازی آنومالی‌های ژئوشیمیابی را می‌توان مانند هر نوع مدل سازی دیگری

در زمینه های مهندسی، نوعی روش ساده سازی دانست که موجب سهولت در شناخت واقعی تر پدیده ها و رخدادها (برای مثال کانی سازی از تیپ خاصی) می شود، بدیهی است هر نوع مدل سازی با نوعی ساده سازی همراه است که ممکن است موجب بروز خطأگرد. ریشه این خطأ می تواند در ارتباط با نادیده، گرفتن عناصر و عوامل جزئی تر باشد. در مقابل این نقطه ضعف هر مدلی نقطه قوتی دارد و آن این است که ارتباط عناصر و عوامل اصلی یک پدیده و یا رخداد با مدل سازی روشن تر و شفاف تر می شود، زیرا امکان سنجش درجه سازگاری و ناسازگاری عناصر و عوامل موجود در یک رخداد (برای مثال مجموعه خواص مشاهده شده در یک تیپ کانی سازی معین) با مدل سازی فراهم می گردد.

اگر داده های معرف یک تیپ خاصی از کانی سازی که در واقع مجموعه خواص آن تیپ کانی سازی است، در یک محیط معینی یافت شود می تواند دلالت بر رخداد آن تیپ کانی سازی داشته باشد. چنانچه خاصیتی بیگانه نسبت به مجموعه خواص فوق نیز مشاهده شود با مدل سازی می توان به بی اهمیت بودن آن بپرسد. بر عکس اگر در مجموعه خواص سازگار از یک تیپ معین کانی سازی همچوی یک، یا چند خاصیت خالی باشد، می توان برای یافتن احتمالی آنها و تأیید و یا تکذیب مدل به جستجوی هدف دار پرداخت. این مستجوی هدف دار خمیرمایه اصلی در طراحی برنامه اکتشافی برای فاز بعدی است. بنابراین بدون مدل سازی نمی توان به تخمین قابل قبولی از احتمال پیدایش یک تیپ کانسار خاص (وابسته به مجموعه مشاهدات تجربی) در یک محیط زمین شناسی معین پرداخت. از نظر تاریخچه مدل سازی باید گفت که در گذشته مدل سازی کانسارها بیشتر براساس ژئوآنها صورت می گرفت و بدین دلیل کارآئی اکتشافی لازم را دارا نبود. ولی امروزه مدل سازی کانسارها بیشتر بر اساس منطق ابجکت اورینتتدی است که در آن اساس کار بر وجود یا عدم وجود ویژگی های مشترک معین قرار دارد. براساس این منطق هر تیپ کانسار خاص مانند شیئی می ماند که بوسیله مجموعه ای از خواص معین شناخته می شود، با این نگرش که پیدایش هر یک از خواص در این مجموعه حالت قطعی نداشته بلکه احتمال پذیر است و امکان بود و نبود آن با عددی بین صفر تا یک بیان می شود. چنین نگرش احتمال پذیری استفاده از منطق فازی (*Fuzzy Logic*) را در مدل سازی کانسارها اجتناب ناپذیر می سازد. به طور خلاصه انگیزه اصلی مدل سازی آنومالی های ژئوشیمیابی ارتباط دادن آنها از جنبه آماری با نوع خاصی از کانی سازی است تا درجه سازگاری و ناسازگاری خواص اندازه گیری شده و

مشاهدات مختلف مانند آنومالی های تک عنصری و پیدایش کانیهای سنگین خاص و انواع خاصی از دگرسانی ها در سنگ درونگیر معین با سن معین مورد سنجش قرار گیرد. از این طریق می توان آن دسته از خواص ژئوشیمیابی، کانی سنگین، هوازدگی، دگرسانی، سنگ درونگیر و غیره که به طور تصادفی در مجموعه خواص مشاهده شده در یک ناحیه ثبت گردیده، اند را شناخت و سپس آنها را بعنوان خواص ناسازگار از مجموعه خواص مشاهده شده حذف کرد.

چنین منطقی موجب تصفیه مؤثر آنومالی های ژئوشیمیابی وابسته به کانی سازی از انواع دیگر می شود که خود موجب افزایش احتمال کشف و کاهش هزینه های اکتشافی می گردد. بنابراین با نسبت دادن یک مجموعه از آنومالی های ژئوشیمیابی ثبت شده در یک منطقه به مدل خاصی می توان برای هر یک از ویژگی های کمی و کیفی آن با تکیه به مقدار پارامترهای مشابه در مدل استاندارد، تخمین های لازم را با دقت کافی بعمل آورد.

۲-۲-۲- مدل های عددی

ویژگی های هر تیپ کانسار را می توان به دو گروه تعیین کننده و عادی تقسیم کرد. ویژگی های تعیین کننده شامل آن دسته از خواصی است که وجودشان در اثبات یک مدل خاص کانی سازی و یا نبودشان در رد یک مدل خاص کانی سازی می تواند مؤثر باشد. خواص عادی یک کانسار خواصی است که بود و نبودش در اثبات و یا رد یک مدل معین نقشی ندارد. از آنجاکه اهمیت "بود" یک خاصیت و یا نبود آن در مقایسه با خواص دیگر، در اثبات یا رد یک تیپ معینی از کانی سازی یکسان نیست، لذا لازم است برای وجود یک خاصیت (و یا نبود آن) در اثبات (و یا رد) یک مدل کانی سازی وزن معینی انتخاب گردد. این وزنها از طریق محاسبات آماری روی ۳۶۰۰ کانسار شناخته شده در جهان بدست آمده و توسط کاکس و سینگر (۱۹۸۷) و بلیس (۱۹۹۲/۱۲) ارائه گردیده است. در این پژوهه مدل سازی آنومالی های ژئوشیمیابی عمدها براساس وزن های فوق است که در یک مجموعه نرم افزاری بنام *ODM* جمع آوری شده است.

براساس امتیازاتی که مدل عددی برای هر یک از خواص در نظر گرفته است می توان

با منطقه های متفاوت به مدل سازی پرداخت در این خصوص دو منطق کمی وجود دارد:

الف: منطقی که در آن داده بدست آمده در محدوده آنومالی را یک شاهد کانی سازی تلقی

می‌کند خواه در ارتباط منطقی و سازگار با خواص دیگر باشد و یا نباشد. خواه در ارتباط با کانی سازی باشد یا نباشد. خواه قبل از کانی سازی وجود داشته و در کانی سازی مؤثر افتاده (مانند گسلها و پنهانه‌های شکستگی) و یا بعد از آن رخ داده و هیچ نقشی در توسعه کانی سازی نداشته باشد. بطور خلاصه در این منطق همه داده‌ها بر حسب مورد شاهدی بر نوعی کانی سازی و تیپ معینی از آن خواهند بود. در نرم افزار ODMV6 گزینه CALC چنین منطقی را تعییب می‌نماید.

ب: منطقی که در آن همه داده‌ها شاهد محسوب نمی‌شوند بلکه داده‌هایی شاهد محسوب می‌شود و دلالت بر تیپ معینی از کانی سازی دارد که توسط یک، دو، سه و یا تعداد بیشتری داده دیگر تأیید شود. بدیهی است چنین داده‌هایی ممکن است قبل از خود تأیید نشده باشند. حد این تناقض در این منطق از طریق ایجاد چندین میلیون زیر مجموعه و سپس بررسی سازگاری و ناسازگاری آنها با تیپ معینی از کانی سازی می‌سرد. سازگاری و ناسازگاری این زیر مجموعه‌های خواص نسبت به تیپ معینی، از کانی سازی ملاک قضاوت قرار می‌گیرند. در نرم افزار ODMV6 گزینه L چنین منطقی را تعییب می‌کند. در این منطق می‌توان وزن نایاب مدل عددی را ملاک قرار داد.

۲-۳- مدل سازی آنومالیهای ژئوشیمیابی در برگه عباس‌آباد

داده‌های به کار رفته در مدل سازی هر آنومالی شامل موارد زیر است: سکانس سنگهای رخمنون دار در منطقه در برگیرنده آنومالی، سنگ درونگیر آنومالی، سن سنگ درونگیر آنومالی، انواع دگرسانی‌های احتمالی در محدوده آنومالی، پارازیت‌های ژئوشیمیابی در محدوده آنومالی، ترکیب کانه‌ها و کانیها در جزء کانی سنگین، ساخت و بافت سنگ درونگیر آنومالی، حداقل امتیاز مشت و وجود یک خاصیت معین ۵ و حداقل آن ۴۰۰ می‌باشد. تکتونیکی، حداقل امتیاز مشت و بافت در زون میترالیزه احتمالی، محصولات هوازدگی و خاستگاه امتیازات منفی (یعنی نبود خاصیت) وابسته به خواص بین ۰ تا ۴۰۰ تغییر می‌کند. این مجموعه خواص در دورده اصلی ناحیه‌ای که با علامت R در جداول آمده است و محلی که با علامت L در جداول آمده است قرار می‌گیرند.

در محدوده برگه ۱۰۰،۱۰۰،۱۰۰:۱ عباس‌آباد در مجموع حدود ۲۰ منطقه با آنومالی

ژئوشیمیایی با اهمیت و بی اهمیت تشخیص داده شده است. برای هر مورد از آنومالی هایی که تحت عنوان ۱- ABAS ABAD تا ۲۰- ABAS ABAD شماره گذاری شده است سه نوع خاصیت می توان به نرم افزار داد:

۱- خواصی که وجود آنها بوسیله یکی از روشهای به کار گرفته شده در پروژه مانند

روش های ژئوشیمیایی، کانی سنگین، دگرسانی، زوئنای کانی سازی و سیستم های

پلمبینگ، ژئوفیزیک هوایی، سنگ شناسی و زمین شناسی ساختمانی به اثبات رسیده

است. تذکر این که آنومالی هایی که در مدل سازی بکار برده شده است نه تنها بر اساس

رسوبات آبراهه ای است، بلکه بر اساس ژئوشیمی نمونه های مینرالیزه نیز می باشد.

۲- خواصی که از طریق بررسی های لازم به نبود آنها در محیط یک آنومالی معین در حد امکان اطمینان حاصل شده است.

۳- خواصی که پس از بررسی های انجام شده فوق در بود یا نبود آنها (به تیجه ای که قابل

تصمیم گیری باشد) اطمینان حاصل نشده است.

نتیجه مدل سازی آنومالیهای برگه ۱۰۰، ۱۱۰، ۱۲۰ عباس آباد به صورت جداولی که در

زیر تشریح می شود آورده شده است. لازم به ذکر است که داده های خام هر یک از آنومالی ها

در جداول (۲-۸) ضمیمه گزارش (فرم های شناسنامه ای مناطق آنومالی) و موقعیت

جغرافیایی هر یک به همراه لیتو لوژی حوضه آبریز و مشاهدات صحراوی مربوطه در جدول

۱-۸) آورده شده است. محدوده جغرافیایی آنومالی های موجود در نقشه ۱۰۰، ۱۱۰، ۱۲۰

عباس آباد نیز در شکل (۱-۸) آورده شده است.

جدول ۷-۱-۱: موقعت بخراهاي و لريلوژي حوضه هاي آبريز مرعوط به آنومال هاي بروزه

آنومال	برکه	موقعیت جغرافی	نام
۱۵۰۰۰	جبل طوری و آنرسیون حوضه آبريز مرعوطه	موجعت جغرافی	
۴۱	سبک های این محدوده حدارند از بازالت، فولیت، ترکیت، آندزیت، دلیست، ترکیس آندزیت، ترکیس بازالت، توپ بردن، پوش و کلکنیک، کلکنیک اسپلیش، سپلیشن، آنک و مارن آنرسیون های مشهود در مطالعه: کلرنس، آردلینیک، عادیتی و لمونین	سبک های این محدوده حدارند از بازالت، فولیت، ترکیت، آندزیت، دلیست، ترکیس آندزیت، ترکیس بازالت، توپ، ساسه سیگ، مارن	سبک های این محدوده حدارند از بازالت، فولیت، ترکیت، آندزیت، توپ بردن، پوش و کلکنیک
۴۲	جبل آباد	جبل کلوبتری شمال جبل آباد	سبک های این محدوده عبارند از: هارزبورنیت، گلبرو دیوردیت، گلبرو دیوردیت، ترکیت، آندزیت، توپ، ساسه سیگ، مارن
۴۳	جبل آباد	شانزده کلوبتری شمال شرق جبل آباد	شانزده کلوبتری شمال شرق جبل آباد
۴۶	جبل آباد	دوکلوبتری شمال شرق جبل آباد	دوکلوبتری شمال شرق جبل آباد
۴۵	جبل آباد	بنچ کلوبتری شمال جبل آباد	بنچ کلوبتری شمال جبل آباد
۴۶	خرابان	دوکلوبتری بحوب شرق دستبرده	دوکلوبتری بحوب شرق دستبرده
۴۷	خرابان	شش کلوبتری بنوب دستبرده	شش کلوبتری بنوب دستبرده

ادامه جدول ۱-۸: موقعیت جغرافیایی و لیتوژوئری های ابریز مرووط به آنومالی های برقه ۱۱۰،۰۰۰ عباس آباد.

آنومالی	برقه ۱۱۰،۰۰۰	موقعیت جغرافیایی	لیتوژوئری و آنومالیون حوضه ابریز مرووط
۴۸	خرابان	پازدیکولوئری شمال شرق دستبرد	پازالت، اندزیت، تراکی آندزیت، تراکی بازالت، برش و کلاکیکی.
۴۹	میاندشت	سیرده کلولوئری جنوب غرب	آنومالیون های مشهود مانند از برمولینی و همانیز.
A10	خرابان	پازدیکولوئری شمال شرق دستبرد	پازالت، تراکی آندزیت، تراکی اندزیت، تراکی بازالت، لاپیت و قوف
A11	میاندشت	پازدیکولوئری شمال شرق دستبرد	آنومالیون های سیلیسی و همانیز
A12	میاندشت	پازدیکولوئری شمال شرق دستبرد	قوف، آندزیت، تراکی آندزیت، تراکی اندزیت بازالت، بازالت و تراکیت.
A13	میاندشت	پازدیکولوئری جنوب میاندشت	پازلت، تراکیت، آندزیت، تراکی اندزیت، برش و کلاکیکی، سیگ آمک و مارن.
A14	صلاس آباد	دوکلورتری شمال میاندشت	آنومالیون های برمولینی، همانیز و لیمنیز
A15	کوه دوستان	پازده کلولوئری شمال خرق میاندشت	قوف، نوک ماسه ای، نوک بازالت، تراکی آندزیت و آندزیت بازالت، آندزیت، تراکی آندزیت، تراکی بازالت، شیل، تراکیت، تراکی بازالت، ماسه سیگ، مارکی آندزیت و آندزیت آنومالیون های برمولینی، همانیز و لیمنیز
	اکتسیون های آنومالیون های: آندزیت سیلیسی، برش و کلاکیکی، غلیل، دلمه سنگ، سیل استون، سیگ آمک و مارن		
	اکتسیون های آندزیت سیلیسی، لیمنیز		
	اکتسیون های: آندزیت سیلیسی، برش و کلاکیکی، قوف، برش، همانیز و لیمنیز		
	اکتسیون های: کفر شیش، سریستی، قیلیک، برمولینی، همانیز و لیمنیز		
	بازالت، تراکیت، آندزیت، تراکی بازالت، قوف، برش و کلاکیکی، قوف و اکلورا		
	بازالت، تراکیت، آندزیت، تراکی بازالت، قوف، برش، همانیز و لیمنیز		
	بازالت، تراکی بازالت، تراکی آندزیت، تراکی بازالت، لایت، آندزیت و آندزیت بازالت		
	آنومالیون های: سیل		

ادامه جدول ۱-۸: موقعیت جغرافیایی و لیتوکوژی حوضه‌های آبریز مربوط به آنومالی‌های برجه ۱۰۰۰۰۰۱: عباس‌آباد.

آنومالی	برجه ۱۰۰۰۰۱	موقعیت جغرافیایی
میاندست	بازده کیلوتری جنوب میاندست	لینیوگری و المتراسیون حوضه آبریز مربوطه
AI6	توف، توفیت، ماله سیگ، توپ امک، توک آندزیت، توک آندزیت، توک آندزیت، توک آندزیت، آندزیت بارالت، سارن و شل آلرسون‌ها: سیپس، هایپس	آنومالی
AI7	بازده کیلوتری جنوب شرقی کلاته فرستک توک بارالت، توک آندزیت، بارالت، توک آندزیت، بارالت	موقعیت جغرافیایی

Abasabad (7262)

AM

AA



Fig. 8-1 : Location Map of All 17 Anomalous Areas.

در این جداول مدل سازی، شماره آنومالی و نام برگه ۱:۵۰،۰۰۰ مربوط به آن در بالای صفحه آمده است. درون هر جدول سه ستون وجود دارد: در ستون سمت چپ تیپ کانسارهای محتمل به ترتیب آورده شده است. ترتیب آنها براساس امتیازات ستون سوم می‌باشد. ستون سوم امتیازات آنومالی را از نقطه نظر اهمیت و رتبه بندي نشان می‌دهد و تا حدودی دلالت بر شدت کانی سازی دارد. این امتیاز می‌تواند معیاری برای انتخاب آنومالی‌های قوی و مناسب برای کارهای اکتشافی بعدی باشد.

در ستون وسط (Rank) درصد سازگاری آنومالی با یک تیپ کانسار محتمل معرفی می‌گردد. بنابراین در ستون وسط شدت و اهمیت آنومالی معرفی نمی‌گردد (گرچه اعداد مقادیر بالایی داشته باشند). این ستون دلالت بر آن دارد که اگر کانی سازی رخ داده باشد کدام تیپ محتمل‌تر است. چنانچه داده‌های حاصل از ستون ۲ و ۳ با یکدیگر انطباق نداشته باشند ممکن است نزم افزار به جای این جدول، جدولی با این پیغام ارائه نماید که در آن ذکر شده است داده‌های موجود برای مدل سازی کانی نیست و مدل سازی فاقد اعیان می‌باشد. تجربه نشان داده است که اگر در ستون سوم (امتیاز) اولین بالای ۷/۵٪ از این بجه دوچه اول و بین ۵/۵٪ تا ۷/۵٪ اولویت دوم برخوردار است. این ارقام بسته به نظر کارشناس ممکن است تغییر کنند.

برای هر یک از کانسارهای محتمل در جدول فوق با امتیاز مشت و مهم، لیست خواصی که وجودشان سازگار با مدل پیشنهاد شده است در جداولی که ساختار شماره گذاری آنها بشرح زیر است آورده می‌شود:

حرف ۷	شعاره ردیف کانسار احتمالی	خط تیره	شماره آنومالی	ABAS ABAD
-------	---------------------------	---------	---------------	-----------

در چنین جداولی هر یک از خواص همراه با امتیاز مشت "بودشان" و امتیاز منفی "نبودشان" باضمای دامنه آن آورده می‌شود. در آخرین ستون این جداول علامت Yes بمعنی وجود آن خاصیت و علامت L یا R بمعنی محلی بودن و یا ناحیه‌ای بودن آن خاصیت ذکر می‌شود. در پائین ترین سطر این جداول جمع امتیازات مشت و منفی و دامنه نشان داده می‌شود.

برای هر یک از کانسارهای پیشنهاد شده مطابق توضیحات فوق لیست خواصی که

نبودشان در رد مدل مؤثر بوده است همراه با وزن منفی آنها در جداولی که ساختار شماره گذاری آنها بشرح زیر است آورده شده است:

حرف N	شماره ردیف کانسار احتمالی	خط تیره	شماره آنومالی	ABAS ABAD
-------	---------------------------	---------	---------------	-----------

در پائین ترین سطر این جداول جمع امتیازات منفی نیز آورده شده است.

۴-۱-۱- اولویت‌بندی مناطق امیدبخش

۴-۱-۲- منطق اولویت بندی

در این پژوهه، اساس اولویت‌بندی مناطق امیدبخش را امتیاز موجود در ستون سوم جداول مدل سازی تشکیل می‌دهد که در واقع درجه انطباق مجموعه خواص مشاهده شده و یا اندازه‌گیری شده در محل توسعه در آنرا می‌داند. براساس این ارقام می‌توان آنومالی‌های خواص با ترتیب پیشینی از کافی، ارزی، بنا شده است. براساس این ارقام می‌توان آنومالی‌های ژئوشیمیابی را در محدوده برگه $1:100,000$ عباس آباد به ترتیب زیر در اولویت قرار دارد (شکل ۱-۸) و ترتیب ۱-۸ به ترتیب موقعیت آنومالی‌های چندگانه و موقعیت هر یک را به همراه مشاهدات صحرایی نشان می‌دهند: (۱) آنومالی‌های با امتیاز (Score) بزرگتر از $5/7$ ٪؛ (۲) آنومالی‌های با امتیاز (Score) بین $5/5$ ٪ تا $7/7$ ٪؛ (۳) آنومالی‌های با امتیاز (Score) بین صفر تا پنج.

از بین 3° محل آنومالی تشخیص داده شده در محدوده برگه $1:100,000$ عباس آباد هفده محدوده مورد مدل سازی قرار گرفت که از بین آنها تنها ۹ محدوده دارای مدل معتبر می‌باشد که عبارتند از محدوده‌های آنومال با شماره‌های $1, 4, 5, 6, 9, 11, 13, 14, 16$ که به ترتیب در موقعیتهای جغرافیابی: هجدۀ، کیلومتری شمال شرق عباس آباد، ده کیلومتری شمال شرق عباس آباد، پنج کیلومتری شمال عباس آباد، ده کیلومتری جنوب شرق دستجرد، سیزده کیلومتری جنوب غرب کلاته فرهنگ، پانزده کیلومتری جنوب میاندشت، پانزده کیلومتری شمال شرق میاندشت، هفت کیلومتری شمال عباس آباد و یازده کیلومتری جنوب میاندشت واقع شده‌اند.

۲-۴-۲- معرفی مناطق اولویت بندی شده

۱-۲-۴-۲- معرفی اولویتهای اول (مطابق نقشه شماره ۹ در آلبوم نقشه ها)

آنومالی شماره ۴؛ مدل های این آنومالی در جدول ABAS ABAD-A4 آورده شده است. محل این آنومالی در برگه ۱:۵۰،۰۰۰ عباس آباد در ۰ کیلومتری شمال شرق عباس آباد واقع شده است. اولین کانسار موجود در این جدول با امتیاز ۱۳/۱٪ از نوع مس بازالتی می باشد. بقیه مدلها به ترتیب عبارتند از: جیوه المعدن با امتیاز ۵/۷٪، جیوه چشمۀ آبگرم با امتیاز ۲/۳٪، مس با سنگ میزبان رسوی با امتیاز ۱/۳٪ و مس آرسنیک - آتیموان با سنگ میزبان ولکانیکی با امتیاز ۱/۳٪.

آنومالی شماره ۱۳؛ مدل های مربوط به این آنومالی در جدول MEYANDASHT-A13 آمده است. محدوده این آنومالی در برگه ۱:۵۰،۰۰۰ میاندشت و در پانزده کیلومتری شمال شرق میاندشت واقع شده است. اولین مدل کانساری پیشنهاد شده در این جدول کانسار طلا - نقره چشمۀ آبگرم با امتیاز ۷/۷٪ می باشد. مدلها بعدی کانسارهای ماسیوسولفید قبرسی با امتیاز ۴/۸٪، جیوه سیلیسی - کربناتی با امتیاز ۷/۴٪، اسکارن تنگستن با امتیاز ۴/۴٪ و کوارتز - طلای کم سولفید با امتیاز ۲/۴٪ می باشند.

آنومالی شماره ۱۶؛ مدل های این آنومالی در جدول MEYANDASHT-A16 آورده شده اند. محل این آنومالی در برگه ۱:۵۰،۰۰۰ میاندشت و در یازده کیلومتری جنوب میاندشت می باشد. اولین مدل کانسار پیشنهاد شده در این جدول؛ مس بازالتی با امتیاز ۱۱/۴٪ می باشد. مدل های بعدی به ترتیب عبارتند از: جیوه سیلیسی - کربناتی با امتیاز ۴٪، مس با سنگ میزبان رسوی با امتیاز ۹/۳٪، آهن اسکارن با امتیاز ۶/۳٪ و ماسیوسولفید بشی با امتیاز ۲/۵٪.

۲-۴-۲- معرفی اولویتهای دوم (مطابق نقشه شماره ۹ در آلبوم نقشه ها)

آنومالی شماره ۶؛ مدل های این آنومالی در جدول GHAZAZAN-A6 مشاهده می شوند. این آنومالی در برگه ۱:۵۰،۰۰۰ غزاران واقع می باشد. اولین کانسار پیشنهاد شده مطابق جدول کانسار طلای گسلی کم شب با امتیاز ۶/۶٪ است. کانسارهای بعدی به ترتیب امتیازشان عبارتند از: جیوه سیلیسی - کربناتی با امتیاز ۶/۳٪، پلی متالیک جاشینی با امتیاز ۵/۳٪، کوارتز - طلای کم سولفید با امتیاز ۱٪ و طلای هومستاک با امتیاز ۲/۰٪.

آنومالی شماره ۱۱؛ مدل های این آنومالی در جدول *MHEYANDASHT-A11* آورده شده اند. محل این آنومالی در برگه ۱:۵۰،۰۰۰ میاندشت واقع می باشد. اولین مدل این جدول کانسار اپی ترمال رگه ای سادو با امتیاز ۵٪ می باشد. مدل بعدی با امتیاز مشت، ماسیوسولفید قبرسی با امتیاز ۷/۳٪ می باشد.

۲-۴-۳-۳- معرفی اولویتهای سوم (مطابق نقشه شماره ۹ در آلبوم نقشه ها)

آنومالی شماره ۱؛ مدل های این آنومالی در جدول *ABAS ABAD-A1* آورده شده است. محدوده این آنومالی در برگه ۱:۵۰،۰۰۰ عباس آباد واقع شده است. مدل های این جدول عبارتند از: ماسیوسولفید بشی با امتیاز ۸/۲٪، آهن اسکارن با امتیاز ۷/۲٪، طلای گسلی کم شبیب با امتیاز ۷/۲٪، و ماسیوسولفید قبرسی با امتیاز ۱/۹٪.

آنومالی شماره ۵؛ مدل های این آنومالی در جدول *ABAS ABAD-A5* آورده اند. این محدوده در برگه ۱:۵۰،۰۰۰ عباس آباد قرار گرفته است. مدل های این جدول با امتیاز مشت عبارتند از: اسکارن سربی بزرگ با امتیاز ۷/۹٪، ماسیوسولفید بشی با امتیاز ۷/۱٪ و مس بازالتی با امتیاز ۱/۲٪.

آنومالی شماره ۹؛ مدل های این آنومالی که در برگه ۱:۵۰،۰۰۰ میاندشت واقع شده در جدول *MHEYANDASHT-A9* آورده شده اند که عبارتند از: کانسارهای اسکارن آهن با امتیاز ۳/۶٪، مس بازالتی با امتیاز ۲/۴٪، جیوه المعدن با امتیاز ۷/۰٪ و جیوه چشمۀ آبگرم با امتیاز ۲/۰٪.

آنومالی شماره ۱۴؛ مدل های مربوط به این آنومالی در جدول *ABAS ABAD-A14* آورده شده اند. محل این آنومالی در برگه ۱:۵۰،۰۰۰ عباس آباد قرار گرفته است.. مدل های این آنومالی مطابق جدول عبارتند از: مس بازالتی با امتیاز ۷/۲٪، قلع رگه ای پلی متالیک با امتیاز ۷/۰٪ و منگنز اپی ترمال با امتیاز ۰/۰٪.

از آنجاییکه آثار کانی سازی (هالهای ژئوشیمیایی، کانی سنگین، زونهای مینرالیزه و آتره) و شواهد مربوط به آن در محدوده آنومالیهای شماره های ۲،۳،۸،۷،۱۰،۱۲،۱۵،۱۷ و ۱۷ چندان قوی نبوده است، لذا داده ها و شواهد بدست آمده برای کانی سازی نمی توانند مدل های معتبری را ارائه دهد. البته آثار یافت شده در هر یک از آنها تشریح می گردد ولی این آثار به آن اندازه قوی نیست که بتوانند مدل قابل قبولی را ارائه دهد.

۳-۴-۲- شرح مناطق با اولویت اول

آنومالی شماره ۴: این آنومالی با وسعتی در حدود ۸/۹ کیلومتر مربع در برگه ۱:۵۰،۰۰۰ عباس آباد در ده کیلومتری شمال شرق عباس آباد واقع است. واحدهای سنگی این منطقه عبارتند از: بازالت، تفریت، تراکیت، آندزیت، تراکی آندزیت، تراکی بازالت، لاتیت، توف، کنگلوره، شیل، ماسه سنگ، سیلتستون، سنگ آهک و مارن. آنومالیهای ژئوشیمیابی این منطقه عبارتند از: آنومالی عناصر Hg , Sb , Mn , W و Mo . نمونه های کانی سنگینی که از این محدوده برداشت شده اند حاوی کانیهای مختلفی بودند که در میان آنها کانیهای مسنتیت، کرومیت، پیریت، پیریت اکسیده، شنلیت، ملاکیت، اولیژیست و مارتیت از مقادیر بالای در حد آنومال برخوردار بوده اند. نمونه های میترالیزه برداشت شده از این آنومالی نسبت به عناصر W , Cu , Ag , Pb و Hg آنومالی نشان داده اند. از لحاظ ساختاری این منطقه نزدیک به زون گسلی می باشد بنابراین احتمال توسعه سیستم درزه و شکستگی در آن زیاد می باشد. براساس شواهد موجود انواع آلتراسیون های احتمالی پروپیلیتی و هماتیتی در منطقه وجود دارد. یک نمونه از محل آلتراسیون با شماره AA-I-A3 برداشت گردید که براساس تابع آنالیز XRD حاوی کوارتز فلدسپات سدیم و پاتاسیم، کلسیت، کانیهای رسی و هماتیت می باشد.

آنومالی شماره ۱۳: محدوده این آنومالی با وسعتی در حدود ۱۰/۸ کیلومتر مربع در برگه ۱:۵۰ میاندشت و در پازدہ کیلومتری شمال شرق میاندشت در میان رخمنوهای سنگی شامل بازالت، آندزیت، تراکی آندزیت، توف، برش ولکانیکی، شیل، ماسه سنگ، سیلتستون، سنگ آهک و مارن واقع شده است. آنومالی ژئوشیمیابی این منطقه نسبت به عناصر Mo , As و W می باشد. براساس تابع آنالیز نمونه های کانی سنگین برداشت شده از این محدوده مقادیر کانیهای کرومیت، تورمالین، پیریت اکسیده، شنلیت، کالکوپیریت، باریت، آندالوزیت، تیتانومینیت و اورپیمنت در حد آنومال می باشد. نمونه های میترالیزه برداشت شده نسبت به عناصر Al , Bi , Sb و As از غنی شدگی برخوردارند. از لحاظ سیستم ساختاری گسل خوردگی در این منطقه ندرتاً مشاهده شده است. بنابراین احتمال توسعه سیستم درزه و شکستگی و کانی سازی های مرتبط با آن در منطقه کم می باشد. شواهدی مبنی بر وجود آلتراسیون های آرژیلیتی، پروپیلیتی، سیلیسی و لیمونیتی در محل گزارش شده است.

آنومالی شماره ۱۶: این آنومالی با وسعت تقریبی ۷/۷ کیلومتر مربع در برگه ۱:۵۰،۰۰۰ میاندشت و در یازده کیلومتری جنوب میاندشت واقع می باشد. واحدهای سنگی این محدوده

ubar tند از: توف، توفیت، ماسه سنگ، توف آهکی، توف ریولیتی، آندزیت، تراکی آندزیت، تراکیت، آندزیت بازالت، مارن و شیل. آنومالی ژئوشیمیابی این محدوده تنها مربوط به عنصر Zn می‌باشد. نمونه‌های کانی سنگین برداشت شده نسبت به کانیهای شلیت، آندالوزیت و اسمیت زوینت آنومال می‌باشند. نمونه‌های میزرالیزه حاوی مقادیر بالایی از عناصر Cu و Ag می‌باشند. براساس شواهد گزارش شده احتمال وجود آتراسیونهای همایتی و سیلیسی در منطقه بالا می‌باشد.

۴-۴-۲- شرح مناطق با اولویت دوم

آنومالی شماره ۶؛ محدوده این آنومالی با مساحت تقریبی $9/3$ کیلومتر مربع در برگه ۱۵۰،۰۰۰ غزاران در ده کیلومتری جنوب شرق دستجرد واقع شده است. رخمنهای سنگی این منطقه عبارتند از: میکروگابرو، گابرودیبوریت، میکرودیبوریت، میکرومونزونیت، گنایس (گرانیتی، آکالان، گرانودیبوریت، آپلیتی، کوارتزی)، گارتنت، موسکوکیت، شیست (کوارتزیوپیت و کوارتن) و ماسه سنگی گرفگانی. آنومالی ژئوشیمیابی این محدوده نسبت به عنصر All می‌باشد. نمونه‌های کانی سنگین نسبت به کانیهای گارتنت، مارتیت و اورپیت غنی شده می‌باشند. نمونه‌های میزرالیزه آنومالی عناصر As ، Pb ، Mo ، Bi و Zn را نشان می‌دهند. از نظر گسلش این محدوده نزدیک به زون گسلی می‌باشد بنابراین احتمال توسعه سیستم درزه و شکستگی در آن زیاد می‌باشد. براساس شواهد موجود احتمال وجود آتراسیونهای سیلیسی، پروپیلتی، کلریتی و سریستی در منطقه بالاست. نمونه R2 AG-380-R2 از محل آتراسیون برداشت شده که براساس تابع XRD حاوی فلذسپات سدیم و پتاسیم، کوارتر و کلریت بوده است.

آنومالی شماره ۱۱؛ محدوده این آنومالی با وسعت تقریبی $5/6$ کیلومتر مربع در برگه ۱۵۰،۰۰۰ میاندشت و در پانزده کیلومتری جنوب میاندشت واقع شده است. واحدهای سنگی این محدوده شامل بازالت، تراکیت، آندزیت، تراکی آندزیت، برش و لکانیکی، سنگ آهک و مارن می‌باشند. این محدوده نسبت به عنصر All از لحاظ ژئوشیمیابی آنومال است. نمونه‌های کانی سنگین این منطقه حاوی کانیهای شلیت و کالکوپیریت می‌باشند. نمونه‌های میزرالیزه برداشت شده نیز نسبت به عنصر All غنی شدگی دارند. براساس شواهد موجود یک زون شدیداً خرد شده در این منطقه گزارش شده است. شواهد موجود دلالت بر وجود احتمال

آلتراسیونهایی از نوع پروپیلیتی، هماتیتی و لیمونیتی دارند. نمونه آلترا با شماره AM547A که از منطقه آلتراسیون برداشت گردیده براساس نتایج آنالیز XRD حاوی مقادیری فلدسپات سدیم و پتاسیم، آنالسیم و هماتیت بوده است.

۴-۵-۲-شرح مناطق با اولویت سوم

آنومالی شماره ۱: این آنومالی با وسعتی در حدود ۶/۷ کیلومتر مربع در برگه ۱:۵۰،۰۰۰ عباس آباد و در هجده کیلومتری شمال شرق عباس آباد در میان واحدهای سنگی شامل: بازالت، فنولیت، تراکیت، آندزیت، داسیت، تراکی آندزیت، تراکی بازالت، توف برشی، برش ولکانیکی، کنگلومرا، شیل، ماسه سنگ، سیلتستون، آهک و مارن واقع شده است. آنومالی ژئوشیمیابی عنصر Cr و As در این محل مشت گردیده است. کانی های شیلیت و آندالوزیت در جزء کانی سنگین دیده شده است. از لحاظ ساختاری منطقه نزدیک به زون گسلی بوده و احتمال توسعه سیستم درزه و شکستگی در آن زیاد است. شواهد موجود مبتنی بر وجود آلتراسیونهای احتمالی از نوع آرژیلیتی، کلریتی، لیمونیتی و هماتیتی می باشد. نمونه آلترا با شماره AA-61-A که از محل آلتراسیون برداشت شده براساس نتایج آنالیز XRD حاوی کلسیت، کوارتز، فلدسپات سدیم و پتاسیم، کانی های رسی و هماتیت می باشد.

آنومالی شماره ۵: محدوده مربوط به این آنومالی با مساحت ۲/۴ کیلومتر مربع در برگه ۱:۵۰،۰۰۰ عباس آباد و در پنج کیلومتری شمال عباس آباد واقع شده است. رخمنون های سنگی این محدوده عبارتند از: بازالت، آندزیت، تراکی آندزیت، تراکی بازالت، توف برشی، برش ولکانیکی، ماسه سنگ و کنگلومرا. آنومالی های ژئوشیمیابی این منطقه شامل عناصر Mn، Cu و Pb می باشد. نمونه های کانی سنگین این منطقه نسبت به کانی های هماتیت، شیلیت، اپیدوت و اولیزیست آنومال می باشند. این محل نزدیک به زون گسلی بوده و لذا احتمال توسعه سیستم درزه و شکستگی در آن زیاد می باشد. شواهد موجود مبتنی بر وجود آلتراسیون پروپیلیتی در این منطقه می باشد.

آنومالی شماره ۱۹ این آنومالی به وسعت ۸/۴ کیلومتر مربع در برگه ۱:۵۰،۰۰۰ میاندشت در سیزده کیلومتری جنوب غربی کلاهه فرهنگ در میان واحدهای سنگی شامل بازالت، تراکیت، آندزیت، تراکی آندزیت، تراکی بازالت، لاتیت و توف قرار گرفته است. آنومالی های ژئوشیمیابی این منطقه شامل آنومالی عناصر Al، Sb و Hg می باشد. در نمونه های کانی

سنگین این محدوده، تنها کانی شلیت گزارش شده است. نمونه های مینرالیزه آنومالی عنصر Cu را نشان داده اند. از نظر گسلش این محل نزدیک به زون گسلی است بنابراین احتمال توسعه سیستم درزه و شکستگی در آن زیاد می باشد. آتراسیونهای احتمالی از نوع سیلیسی و هماتیتی در محل گزارش شده است. نمونه آلتره با شماره $AM533P3$ که از زون آلتره برداشت شده است براساس نتایج آنالیز XRD حاوی کلسیت، فلدسپات سدیم، آنالسیم، کانی های رسی و هماتیت بوده است.

آنومالی شماره ۱۴: محدوده این آنومالی با وسعت تقریبی $13/5$ کیلومتر مربع در برگه $1:50,000$ عباس آباد و در هفت کیلومتری شمال عباس آباد در میان واحدهای لیتولوژیکی شامل بازالت، تراکیت، آندزیت، تراکی بازالت، توف پرسی، توف، پرش و لکانیکی، تفریت و آگلومرا واقع شده است. آنومالی ژئوشیمیابی این منطقه مربوط به عناصر Zn و Mn می باشد. نمونه های کانی سنگین حاوی مقادیر متناسبی از کانیهای بیوتیت، شلیت، کالکوپیریت، اپیدوت و اورپیمنت در جزء کانیهای سنگین هستند. نمونه های مینرالیزه این منطقه نسبت به عناصر Cu و Bi آنومالی نشان داده اند. شواهد مبنی بر وجود آتراسیونهای احتمالی از نوع پروپیلیتی، کلریتی، لیمونیتی، هماتیتی، سریسیتی، فیلیتی می باشند و همچنان رگه های کوارتز با ساخت و اگی ($Vugi$) که دلالت بر رخداد فرایندهای آپریتی است، در منطقه گزارش شده است. نمونه از زون آلتره برداشت شده است که نتایج آنالیز XRD این نمونه حکایت از وجود فلدسپات سدیم، سیلیس آمرف، پرھینت، داتولیت، کلسیت، آنالسیم و هماتیت دارد. از نظر ساختاری این منطقه نزدیک به زون گسلی بوده و بنابراین احتمال توسعه سیستم درزه و شکستگی در آن زیاد است.

۶-۴-۲- شرح مناطق بدون اولویت

آنومالی شماره ۲: این آنومالی با وسعت تقریبی $9/9$ کیلومتر مربع در برگه $1:50,000$ عباس آباد و در چهارده کیلومتری شمال عباس آباد واقع شده است. رخمنون های سنگی این منطقه عبارتند از: هارزبورزیت، گابرودیبوریت، بازالت، آندزیت، تراکی آندزیت، تراکی بازالت، توف، ماسه سنگ، مارن و شیل آهکی. آنومالی ژئوشیمیابی این منطقه شامل آنومالی عناصر Cr و Ni می باشد. نمونه های کانی سنگین این محدوده نسبت به کانیهای تورمالین، آندالوزیت و اسمیت زونیت غنی شدگی دارند. نیمی از حوضه جنوبی این منطقه نزدیک به

ساختار گسلی می باشد و احتمال توسعه سیستم درزه و شکستگی در همان بخش بالاست. آنومالی شماره ۳: این آنومالی با وسعت تقریبی ۵/۹ کیلومتر مربع در برگه ۱:۵۰،۰۰۰ عباس آباد و در شانزده کیلومتری شمال شرق عباس آباد در میان واحدهای سنگی شامل هارزبوروئیت، گابررو، تراکی آندزیت، تراکی بازالت، توف برشی، توف، برش ولکانیکی و نفریت واقع گردیده است. آنومالی ژئوشیمیابی این محدوده مربوط به عنصر Ni و Ag می باشد. مقادیر قابل ملاحظه ای از کانیهای پیریت اکسیده، شلیت، باریت، آندالوزیت، اپیدوت و اورپیمنت در جزء کانی سنگین نمونه های کانی سنگین برداشت شده از محل گزارش گردیده است. شواهدی مبنی بر وجود یک زون خردشگی شدید در منطقه موجود است. آلتراسیون احتمالی از نوع پرولیتی در این محل گزارش شده است.

آنومالی شماره ۷: محدوده مربوط به این آنومالی با مساحتی در حدود ۴/۹ کیلومتر مربع در برگه ۱:۵۰،۰۰۰ غزاران در شش کیلومتری جنوب دستجرد در میان واحدهای شامل گناسیس (گرانیت، گرانودیوریت)، بازالت، آندزیت، تراکی آندزیت و تراکی بازالت قرار گرفته است. آنومالی ژئوشیمیابی این منطقه نسبت به عنصر Al می باشد. نمونه نخای کانی سنگین که در فاز کنترل آنومالی برداشت شده اند حاوی مقادیری از کانیهای گارنت، شلیت و آندالوزیت در حد آنومالی می باشند.

آنومالی شماره ۸: محدوده این آنومالی با وسعتی در حدود ۳/۳ کیلومتر مربع در برگه ۱:۵۰،۰۰۰ غزاران در یازده کیلومتری شمال شرق دستجرد واقع شده است. رخمنون های سنگی این منطقه عبارتند از: بازالت، آندزیت، تراکی آندزیت، تراکی بازالت و برش ولکانیکی. آنومالی ژئوشیمیابی عنصر Mo ، Sb و Hg در این منطقه مشاهده گردیده است. مقدار کانی باریت در جزء کانی سنگین نمونه های کانی سنگین برداشت شده در حد آنومالی می باشد. شواهدی دال بر وجود احتمالی آلتراسیونهای پرولیتی و هماتیتی ذکر گردیده است. از نظر ساختاری بخشی از این محدوده نزدیک به زون گسلی می باشد بنابراین احتمال توسعه سیستم درزه و شکستگی در آن قسمت زیاد می باشد.

آنومالی شماره ۱۰: این منطقه با مساحتی نزدیک به ۷/۸ کیلومتر مربع در برگه ۱:۵۰،۰۰۰ غزاران در پانزده کیلومتری شمال شرق دستجرد در میان رخمنون های سنگی شامل توف، آندزیت، تراکی آندزیت، تراکی بازالت، لاتیت، آندزیت بازالت، بازالت و تراکیت واقع شده است. آنومالی ژئوشیمیابی عنصر Mo ، Sb و Hg در این منطقه وجود دارد. نمونه های

کانی سنگین این محدوده نسبت به کانیهای بیوتیت، باریت و دیوپتاز غنی شدگی دارند. نمونه های میزرازه برداشت شده از این محل نسبت به عنصر Cu آنومال هستند. از لحاظ ساختاری شواهدی دال بر وجود یک زون خردشگی شدید در منطقه گزارش گردیده است. آنومالی شماره ۱۲؛ محدوده مریبوط به این آنومالی با وسعتی در حدود $2/8$ کیلومتر مربع در برگه $1:50,000$ میاندشت در دو کیلومتری شمال میاندشت واقع شده است. رخمنو های سنگی این منطقه شامل توف، توف ماسه ای، توف شیل، ماسه سنگ، شیل، تراکیت، تراکی بازالت، تراکی آندزیت و آندزیت می باشند. آنومالی ژئوشیمیابی این منطقه شامل آنومالی عنصر Ba می باشد. مقادیر قابل ملاحظه ای از کانی های آنالیز شده در بخش مطالعات کانی سنگین گزارش نشده است.

آنومالی شماره ۱۵؛ این آنومالی با وسعت تقریبی $2/2$ کیلومتر مربع در برگه $1:50,000$ کوه دوشاخ و در چهارده کیلومتری شمال غرب کوه دوشاخ در میان واحدهای سنگی شامل بازالت، تفریت، تراکی بازالت، تراکی آندزیت، تراکیت، لاتیت، آندزیت و آندزیت بازالت قرار گرفته است. در این منطقه آنومالی ژئوشیمیابی عنصر Ba موجود است. نمونه های میزرازه برداشت شده نسبت به عنصر Cu غنی شدگی دارند. آتراسیون احتمالی از نوع سیلیسی می باشد و همچنین رگه های کوارتز با ساخت واگی (*Vugi*) که دلالت بر رخداد فرایندهای اپی ترمالی است، در منطقه گزارش شده است. این منطقه نزدیک به زون گسلی می باشد بنابراین احتمال وجود و توسعه سیستم درزه و شکستگی در آن زیاد است.

آنومالی شماره ۱۷؛ این منطقه آنومال با وسعت تقریبی $1/2$ کیلومتر مربع در برگه $1:50,000$ میاندشت در یازده کیلومتری جنوب شرقی کلاته فرهنگ در میان واحدهای سنگی شامل تراکی بازالت، تراکی آندزیت، بازالت، تراکیت، تفریت و فنویلیت قرار گرفته است. آنومالی ژئوشیمیابی این منطقه شامل آنومالی عناصر Hg و Mo می باشد. مقادیر قابل ملاحظه ای از کانی اپیدوت در نتایج آنالیز نمونه های کانی سنگین گزارش گردیده است. نمونه های میزرازه نسبت به عناصر Mo ، Cu و Ag غنی شدگی دارند. دو نمونه آلتره با شماره های *AM439A1* و *AM439M1* در منطقه برداشت شده که طبق نتایج آنالیز به روش *XRD* حاوی آنالسیم، فلدسپات پتاسیم، سدیم و هماتیت بوده اند. منطقه نزدیک با ساختار گسلی می باشد بنابراین احتمال توسعه سیستم درزه و شکستگی در این منطقه می تواند در حد بالایی باشد. آتراسیون احتمالی از نوع پتاسیک در منطقه گزارش شده است.

فهرست منابع

- ۱- خلعتبری - جعفری، م و خبازنیا، الف ر (۱۳۷۹)، گزارش مقدماتی نقشه زمین شناسی عباس آباد، تحت راهنمایی محمد هاشم امامی و مسیب سبزه ای
- ۲- Govett, G.J.S., (1994), *Handbook of Exploration Geochemistry*, Vol. 6.
- ۳- حسنی پاک، علی اصغر (۱۳۷۱)، نمونه برداری معدنی، انتشارات دانشگاه تهران .(۲۱۴۰)
- ۴- Cohen, A.C., 1961. *Tables for Maximum Likelihood Estimates*, *Technometrics*, 3(4): 535-541
- ۵- Govett, G.J.S., (1983), *Handbook of Exploration Geochemistry*, Vol. 2 (*Statistics and Data Analysis in Geochemical prospecting*), Elsevier.
- ۶- حسنی پاک، علی اصغر (۱۳۷۷)، ژئواستاتیستیک، انتشارات دانشگاه تهران .(۲۳۸۹)
- ۷- Hair, J.F., Anderson, R.E., Tatham, R.L., and Black, W.C., 1995. *Multivariate Data Analysis With Reading* prentice Hall.
- ۸- حسنی پاک، علی اصغر (۱۳۷۶)، بهینه سازی پرورهای اکتشافی، انتشارات یزد.
- ۹ Cheng, Q, Agterberg, F.P., Bonham Carter, g.F.,(1996)., *A Spatial Analysis Method for Geochemical Anomaly separation: Journal of Geochemical Exploration*, 56,P. 183-195
- 10- Ginsburg, I.I., (1960), *Principles of Geochemical Prospecting*, Trans. by V.P. Sokoloff, Newyrok and London: Pergamon, 311P.
- 11- Cox, D.F. and Singer, D.A., 1986, *Ore Deposit Modeling*, U.S. Geological Survey Bulletin 1693.
- 12- Bliss, J.D., 1992, *Ore Deposit Modeling*, U.S. Geological Survey Bulletin 2004
- ۱۳- حسنی پاک، علی اصغر و شجاعت، بهنام، (۱۳۷۹)، مدل سازی کانسارهای فلزی و غیر فلزی و کاربرد اکتشافی آن، انتشارات دانشگاه تهران.

جداول مدل سازی

مناطق آنومالی

(اولویت های اول تاسوم)

ABBAS ABAD , 1/50000 SHEET , ANOMALY NO: A1

FINAL CALC-N MODELING RESULTS		
Probable Types of Ore Deposit	Rank (%)	Score (%)
Besshi-Massive Sulfide	8	2.80
Skarn-Fe	5	2.70
Flat Faults Au	3	2.70
Cyprus Massive Sulfide	23	1.90
Sandstone Hosted Pb-Zn	8	-2.70

ABBAS ABAD 1-1Y

####	Besshi-Massive Sulfide	Pos.Score	Neg.Score	Interval S	State
1072	PYRITE	45	75	120	YES L
514	CHLORITIZATION	100	10	110	YES L
136	SANDSTONE	75	5	80	YES R
124	SHALE	60	5	65	YES R
1029	MAGNETITE	30	30	60	YES L
4	MAFIC VOLCANIC SEQUENCE	25	25	50	YES R
11	MARINE SEQUENCE	25	25	50	YES R
835	Cr	30	10	40	YES L
266	UNSTABLE CONDITION	15	0	15	YES R
341	ARC RELATED	15	0	15	YES R
423	FAULTED STRUCTURE	15	0	15	YES L
424	NORMAL FAULT STRUCTURE	15	0	15	YES L
544	CARBONATES	15	0	15	YES L
	Total	465	185	650	

ABBAS ABAD 1-1N

####	Besshi-Massive Sulfide	Pos. Score	Neg. Score	Interval S	State
1178	Besshi-Massive Sulfide	150	0	150	L
837	Cu	45	75	120	L
886	Zn	45	75	120	L
947	CHALCOPYRITE	45	75	120	L
1097	SPHALERITE	45	75	120	L
829	Ag	30	75	105	L
233	PHANEROZOIC	100	0	100	R
93	TUFF	75	10	85	R
1077	PYRRHOTITE	45	30	75	L
830	Au	30	30	60	L
836	Co	30	30	60	L
1115	TETRAHDERITE	45	10	55	L
140	RED BED	45	5	50	R
164	CHERT	45	5	50	R
226	BRECCIA	45	5	50	R
855	Ni	30	10	40	L
928	BORNITE	30	10	40	L
996	GALENA	30	10	40	L
963	COBALTITE	30	5	35	L
1038	MOLYBDENITE	30	5	35	L
1101	STANNITE	30	5	35	L
431	DEFORMED STRUCTURE	30	0	30	L
267	EXTENTIONAL REGIME	15	0	15	R
268	RIFT SYSTEM	15	0	15	R
272	OCEANIC RIFT SYSTEM	15	0	15	R
273	MARGINAL OCEANIC RIFT SYSTEM	15	0	15	R
315	RIFTED BASIN (RIDGE)	15	0	15	R
332	OCEANIC DIVERGENT BOUNDARY-RIF	15	0	15	R
345	RIFT RELATED MAGMATISM	15	0	15	R
353	BACK ARC RELATED MAGMATISM	15	0	15	R
369	SUBMARINE MAGMATISM	15	0	15	R
418	GEOOTHERMAL ACTIVITY	15	0	15	L
608	LATERITIZATION	15	0	15	L
622	Fe-RICH GOSSAN	15	0	15	L
734	FINE GRAINE CLASTIC	15	0	15	L
735	MEDIUM GRAINE CLASTIC	15	0	15	L
745	MASSIVE	15	0	15	L
750	BRECCIA FILLINGS	15	0	15	L
762	BRECCIA	15	0	15	L
791	STOCKWORK	15	0	15	L
792	STRINGER	15	0	15	L
821	REGULAR VIEN	15	0	15	L
Total		1330	545	1875	

ABBAS ABAD 1-2Y

####	Skarn-Fe	Pos.Score	Neg.Score	Interval S	State
147	CARBONATE ROCKS	75	75	150	YES R
1029	MAGNETITE	60	75	135	YES L
1072	PYRITE	30	30	60	YES L
266	UNSTABLE CONDITION	15	0	15	YES R
283	UPLIFT	15	0	15	YES R
284	OROGENIC	15	0	15	YES R
317	CONTINENTAL PLATE MARGINE	15	0	15	YES R
318	ACTIVE CONTINENTAL MARGINE	15	0	15	YES R
336	OCEANIC-CONTINENTAL SUBDUCTION	15	0	15	YES R
341	ARC RELATED	15	0	15	YES R
348	SUBDUCTION RELATED MAGMATISM	15	0	15	YES R
560	EPIDOT	15	0	15	YES R
715	INEQUIGRANULAR TEXTURES	15	0	15	YES L
717	PORPHYRY	15	0	15	YES L
	Total	330	180	510	

ABBAS ABAD 1-2N

####	Skarn-Fe	Pos.Score	Neg.Score	Interval S	State
1163	Skarn-Fe	150	0	150	L
886	Zn	60	75	135	L
54	PLUTONIC FELSIC BODY	75	45	120	R
475	SKARNIZATION METASOMATIC PROCE	100	10	110	L
830	Au	30	75	105	L
889	MAGNETIC-HIGH	25	50	75	L
837	Cu	30	30	60	L
947	CHALCOPYRITE	30	30	60	L
1077	PYRRHOTITE	30	30	60	L
5	INTERMEDIATE PLUTONIC SEQUENCE	25	25	50	R
7	FELSIC PLUTONIC SEQUENCE	25	25	50	R
107	DIABASE	30	5	35	R
831	Be	30	5	35	L
833	B	30	5	35	L
268	RIFT SYSTEM	15	0	15	R
270	MARGINAL CONTINENTAL RIFT SYST	15	0	15	R
326	OCEANIC PLATE MARGINE	15	0	15	R
327	OCEANIC PLATE MARGINE-ARC	15	0	15	R
331	CONTINENTAL DIVERGENT BOUNDARY	15	0	15	R
334	OCEANIC-OCEANIC SUBDUCTION	15	0	15	R
345	RIFT RELATED MAGMATISM	15	0	15	R
350	ARC RELATED MAGMATISM	15	0	15	R
354	CONTINENTAL CRUST PLUTONIC MAG	15	0	15	R
380	X=FELSIC PLUTON Y=MEUGEOSYNCLI	15	0	15	L
385	X=SMALL IGNEOUS INTRUSIVE Y=MI	15	0	15	L
558	DIOPSIDE	15	0	15	L
564	GROSSULAR	15	0	15	L
605	SURFACE AND NEAR SURFACE OXIDA	15	0	15	L
630	MAGNETITE IN RESIDUAL SOIL	15	0	15	L
725	GRANOBLASTIC	15	0	15	L
730	HORNFELSIC	15	0	15	L
745	MASSIVE	15	0	15	L
869	Sn	15	0	15	L
	Total	955	410	1365	

ABBAS ABAD 1-2ND

####	Skarn Fe	Pos. Score	Neg. Score	Interval S	State
885	Zr	30	5	35	nd L
	Total	30	5	35	

ABBAS ABAD 1-3Y

####	Flat Faults Au	Pos. Score	Neg. Score	Interval S	State
514	CHLORITIZATION	100	10	110	YES L
521	HEMATITIZATION	100	10	110	YES L
1010	HEMATITE	30	75	105	YES L
87	FELSIC VOLCANIC BODY	15	15	30	YES R
266	UNSTABLE CONDITION	15	0	15	YES R
279	COMPRESSSIONAL REGIME	15	0	15	YES R
289	FAULT SYSTEM	15	0	15	YES R
293	TRUST FAULT	15	0	15	YES R
423	FAULTED STRUCTURE	15	0	15	YES R
545	CALCITE	15	0	15	YES L
547	CHLORITE	15	0	15	YES L
565	HEMATITE	15	0	15	YES L
	Total	365	110	475	

ABBAS ABAD 1-3N

####	Flat Faults Au	Pos. Score	Neg. Score	Interval S	State
1185	Epithermal Quartz-Alunite Au	150	0	150	L
1218	Flat Faults Au	150	0	150	L
226	BRECCIA	75	75	150	R
830	Au	60	75	135	L
1045	NATIVES GOLD	60	75	135	L
516	SILICIFICATION PROCESSES	100	10	110	L
837	Cu	30	75	105	L
230	PRECAMBRIAN	100	0	100	R
233	PHANEROZOIC	100	0	100	R
16	METAMORPHIC SEQUENCE	100	0	100	R
225	MYLONITE	50	50	100	R
947	CHALCOPYRITE	45	45	90	R
1094	SPECULAR HEMATITE	30	30	60	L
832	Ba	30	30	60	L
54	PLUTONIC FELSIC BODY	30	10	40	L
427	TRUST FAULT STRUCTURE	15	15	30	R
433	LATE STAGE DEFORMED STRUCTURE	15	0	15	L
434	LOW GRADE METAMORPHISM	15	0	15	L
584	QUARTZ	15	0	15	L
605	SURFACE AND NEAR SURFACE OXIDA	15	0	15	L
610	SECONDARY ENRICHMENT PROCESSES	15	0	15	L
614	CHEMICAL SECONDARY ENRICHMENT	15	0	15	L
616	OXIDIZING LEACHING	15	0	15	L
744	DESIMINATED	15	0	15	L
791	STOCKWORK	15	0	15	L
802	TECTONIC BRECCIA	15	0	15	L
821	REGULAR VIEN	15	0	15	L
822	IRREGULAR VIEN	15	0	15	L
826	VEIN LETS	15	0	15	L
	Total	1235	490	1725	

ABBAS ABAD 1-3ND

####	Flat Faults Au	Pos. Score	Neg. Score	Interval S	State
845	F	45	30	75	nd L
844	Fe	30	30	60	nd L
	Total	75	60	135	

ABBAS ABAD 1-4Y

####	Cyprus Massive Sulfide	Pos. Score	Neg. Score	Interval S	State
488	FELDSPER DESTRUCTION PROCESSES	400	10	410	YES L
514	CHLORITIZATION	100	10	110	YES L
1072	PYRITE	30	75	105	YES L
77	BASALT	60	5	65	YES R
266	UNSTABLE CONDITION	15	0	15	YES R
341	ARC RELATED	15	0	15	YES R
344	OROGENIC RELATED MAGMATISM	15	0	15	YES R
423	FAULTED STRUCTURE	15	0	15	YES R
424	NORMAL FAULT STRUCTURE	15	0	15	YES L
544	CARBONATES	15	0	15	YES L
560	EPIDOT	15	0	15	YES L
569	LIMONITE	15	0	15	YES L
665	LIMONITE	15	0	15	YES L
715	INEQUIGRANULAR TEXTURES	15	0	15	YES L
717	PORPHYRY	15	0	15	YES L
	Total	755	100	855	

ABBAS ABAD 1-4ND

####	Cyprus Massive Sulfide	Pos. Score	Neg. Score	Interval S	State
871	S	75	75	150	nd L
844	Fe	30	75	105	nd L
2	OPHIOLITE SEQUENCE	50	50	100	nd R
228	OPHIOLITE	60	15	75	nd R
20	ULTRAMAFIC BODY	60	10	70	nd R
	Total	275	225	500	

ABBAS ABAD 1-4N

####	Cyprus Massive Sulfide	Pos. Score	Neg. Score	Interval S	State
1177	Cyprus Massive Sulfide	150	0	150	L
837	Cu	45	75	120	L
886	Zn	45	75	120	L
947	CHALCOPYRITE	45	75	120	L
516	SILICIFICATION PROCESSES	100	10	110	L
1097	SPHALERITE	45	30	75	L
836	Co	30	45	75	L
829	Ag	30	30	60	L
830	Au	30	30	60	L
853	Mn	30	30	60	L
1077	PYRRHOTITE	30	10	40	L
47	DIABASE	30	5	35	R
164	CHERT	30	5	35	R
207	METASEDIMENTARY ROCKS	30	5	35	R
1032	MARCASITE	30	5	35	L
101	FLOWS	15	0	15	R
267	EXTENTIONAL REGIME	15	0	15	R
272	OCEANIC RIFT SYSTEM	15	0	15	R
277	STEEP NORMAL FAULT	15	0	15	R
278	GRABEN STRUCTURE	15	0	15	R
291	HIGH ANGLE NORMAL FAULT	15	0	15	R
350	ARC RELATED MAGMATISM	15	0	15	R
353	BACK ARC RELATED MAGMATISM	15	0	15	R
369	SUBMARINE MAGMATISM	15	0	15	R
407	SHALLOW SEATED MAGMATISM	15	0	15	L
418	GEOTHERMAL ACTIVITY	15	0	15	L
425	WHOLE GRABEN STRUCTURE	15	0	15	L
541	BIOTITE	15	0	15	L
542	BUDDINGTONITE	15	0	15	L
583	PYROPHYLLITIC	15	0	15	L
608	LATERITIZATION	15	0	15	L
612	RESIDUAL MECHANICAL ENRICHMENT	15	0	15	L
616	OXIDIZING LEACHING	15	0	15	L
624	LIMONITE GOSSAN	15	0	15	L
638	NATIVE GOLD IN PLACERS	15	0	15	L
643	Au ENRICHMENT IN SOIL	15	0	15	L
714	DIABASIC	15	0	15	L
745	MASSIVE	15	0	15	L
762	BRECCIA	15	0	15	L
789	STRING	15	0	15	L
791	STOCKWORK	15	0	15	L
796	MASSIVE	15	0	15	L
Total		1105	430	1535	

FINAL CALC-N MODELING RESULTS			
Probable Types of Ore Deposit	Rank (%)	Score (%)	
Basaltic Cu	95	13.10	
Almaden Hg	75	5.70	
Hot spring Hg	8	3.20	
Sediment Hosted Cu	38	3.10	
Volcanic-Hosted Cu-As-Sb	3	3.10	

ABBAS ABAD 4-1Y

####	Basaltic Cu	Pos.Score	Neg.Score	Interval S	State
1176	Basaltic Cu	150	0	150	YES L
837	Cu	60	75	135	YES L
490	POROPLITIC ALTERATION	100	10	110	YES L
247	TERTIARY	100	0	100	YES R
150	LIMESTONE	15	60	75	YES R
74	VOLCANIC MAFIC BODY	60	5	65	YES R
77	BASALT	60	5	65	YES R
829	Ag	30	30	60	YES L
226	BRECCIA	45	5	50	YES R
4	MAFIC VOLCANIC SEQUENCE	25	25	50	YES R
11	MARINE SEQUENCE	25	25	50	YES R
1072	PYRITE	30	10	40	YES L
93	TUFF	30	5	35	YES R
266	UNSTABLE CONDITION	15	0	15	YES R
601	ZEOLITE	15	0	15	YES L
652	HEMATITE IN BLEACHED COUNTRY R	15	0	15	YES L
717	PORPHYRY	15	0	15	YES L
719	OPHITIC	15	0	15	YES L
	Total	805	255	1060	

ABBAS ABAD 4-1ND

####	Basaltic Cu	Pos.Score	Neg.Score	Interval S	State
1044	NATIVES COPPER	60	75	135	nd L
1047	NATIVES SILVER	30	75	105	nd L
946	CHALCOCITE	45	30	75	nd L
804	FLOW TOP BRECCIA	30	30	60	nd L
140	RED BED	45	5	50	nd R
143	TUFACEOUS SANDSTONE	30	5	35	nd R
833	B	15	5	20	nd L
836	Co	15	5	20	nd L
	Total	270	230	500	

ABBAS ABAD 4-1N

####	Basaltic Cu	Pos. Score	Neg. Score	Interval S	State
1179	Volcanogenic-Mn	150	0	150	L
1201	Sediment Hosted Cu	150	0	150	L
232	PROTROZOIC	100	0	100	R
244	TRIASSIC	100	0	100	R
245	JURASSIC	100	0	100	R
947	CHALCOPYRITE	30	30	60	L
886	Zn	30	10	40	L
928	BORNITE	30	10	40	L
267	EXTENTIONAL REGIME	15	0	15	L
268	RIFT SYSTEM	15	0	15	R
269	CONTINENTAL RIFT SYSTEM	15	0	15	R
270	MARGINAL CONTINENTAL RIFT SYST	15	0	15	R
271	INTRACONTINENTAL RIFT SYSTEM	15	0	15	R
434	LOW GRADE METAMORPHISM	15	0	15	R
542	BUDDINGTONITE	15	0	15	L
554	MONTMORILLONITE	15	0	15	L
559	DOLOMITE	15	0	15	L
563	GREISENIZATION	15	0	15	L
571	MICA	15	0	15	L
608	LATERITIZATION	15	0	15	L
616	OXIDIZING LEACHING	15	0	15	L
705	AMYGDALOIDAL	15	0	15	L
748	CAVITY FILLING	15	0	15	L
Total		915	50	965	

ABBAS ABAD 4-2Y

####	Almaden Hg	Pos. Score	Neg. Score	Interval S	State
92	VOLCANOCLASTIC BODY	75	75	150	YES R
847	Hg	60	45	105	YES L
870	Sb	45	30	75	YES L
93	TUFF	45	10	55	YES R
1072	PYRITE	30	10	40	YES L
121	CLASTIC ROCKS	15	15	30	YES R
289	FAULT SYSTEM	15	0	15	YES R
290	NORMAL FAULT	15	0	15	YES R
423	FAULTED STRUCTURE	15	0	15	YES R
424	NORMAL FAULT STRUCTURE	15	0	15	YES L
Total		330	185	515	

ABBAS ABAD 4-2ND

####	Almaden Hg	Pos. Score	Neg. Score	Interval S	State
959	CINNABAR	65	75	140	nd L
8	FELSIC VOLCANIC SEQUENCE	50	50	100	nd R
833	B	30	10	40	nd L
Total		145	135	280	

ABBAS ABAD 4-2N

####	Almaden Hg	Pos. Score	Neg. Score	Interval S	State
1192	Almaden Hg	150	0	150	
1194	Simple Sb	150	0	150	L
1046	NATIVES MERCURY	75	75	150	L
828	As	45	30	75	L
95	TUFF-BRECCIA	45	10	55	L
744	DESIMINATED	30	0	30	R
277	STEEP NORMAL FAULT	15	0	15	L
291	HIGH ANGLE NORMAL FAULT	15	0	15	R
396	PRIFERAL EXTRUSIVE	15	0	15	L
398	PRIFERAL SUBVOLCANIC	15	0	15	L
407	SHALLOW SEATED MAGMATISM	15	0	15	L
418	GEOTHERMAL ACTIVITY	15	0	15	L
419	VOLCANIC RELATED GEOTHERMAL AC	15	0	15	L
421	SHALLOW INTRUSIVE RELATED GEOT	15	0	15	L
429	NEAR SURFACE FRACTURES	15	0	15	L
	Total	630	115	745	

ABBAS ABAD 4-3Y

####	Hot spring Hg	Pos. Score	Neg. Score	Interval S	State
847	Hg	65	75	140	YES L
870	Sb	45	75	120	YES L
247	TERTIARY	100	0	100	YES L
74	VOLCANIC MAFIC BODY	45	5	50	YES R
4	MAFIC VOLCANIC SEQUENCE	25	25	50	YES R
6	INTERMEDIATE VOLCANIC SEQUENCE	25	25	50	YES R
93	TUFF	30	5	35	YES R
266	UNSTABLE CONDITION	15	0	15	YES R
289	FAULT SYSTEM	15	0	15	YES R
290	NORMAL FAULT	15	0	15	YES R
295	FAULTS INTERSECTIONS	15	0	15	YES R
298	FRACTURE SYSTEM	15	0	15	YES R
423	FAULTED STRUCTURE	15	0	15	YES L
424	NORMAL FAULT STRUCTURE	15	0	15	YES L
601	ZEOLITE	15	0	15	YES L
	Total	455	210	665	

ABBAS ABAD 4-3ND

####	Hot spring Hg	Pos. Score	Neg. Score	Interval S	State
959	CINNABAR	75	75	150	nd L
833	B	30	10	40	nd L
	Total	105	85	190	

ABBAS ABAD 4-3N

####	Hot spring Hg	Pos. Score	Neg. Score	Interval S	State
1181	Hot Spring Au-Ag	150	0	150	L
1191	Hot spring Hg	150	0	150	L
126	SILICEOUS SHALE	75	75	150	L
828	As	45	75	150	R
500	KAOLINITIC	45	75	120	L
1046	NATIVES MERCURY	100	10	110	L
137	GRAYWACKE	75	10	85	L
830	Au	45	5	50	R
95	TUFF-BRECCIA	30	10	40	L
1032	MARCASITE	30	5	35	R
1103	STIBNITE	30	5	35	L
267	EXTENTIONAL REGIME	30	0	30	L
268	RIFT SYSTEM	15	0	15	R
269	CONTINENTAL RIFT SYSTEM	15	0	15	R
270	MARGINAL CONTINENTAL RIFT SYST	15	0	15	R
277	STEEP NORMAL FAULT	15	0	15	R
291	HIGH ANGLE NORMAL FAULT	15	0	15	R
301	SHALLOW SEATED	15	0	15	R
345	RIFT RELATED MAGMATISM	15	0	15	R
346	MARGINAL RIFT RELATED MAGMATIC	15	0	15	R
418	GEOTHERMAL ACTIVITY	15	0	15	R
419	VOLCANIC RELATED GEOTHERMAL AC	15	0	15	L
429	NEAR SURFACE FRACTURES	15	0	15	L
529	K-FELDSPAR	15	0	15	L
533	ALUNITE (HYPOGENE)	15	0	15	L
547	CHLORITE	15	0	15	L
553	KAOLINITE	15	0	15	L
584	QUARTZ	15	0	15	L
744	DESIMINATED	15	0	15	L
791	STOCKWORK	15	0	15	L
795	FINE GRAINED DESIMINATED	15	0	15	L
	Total	1060	195	1255	

ABBAS ABAD 4-4Y

####	Sediment Hosted Cu	Pos. Score	Neg. Score	Interval S	State
1176	Basaltic Cu	150	0	150	YES L
837	Cu	60	75	135	YES L
136	SANDSTONE	45	75	120	YES R
829	Ag	45	75	120	YES L
1072	PYRITE	30	30	60	YES L
124	SHALE	45	10	55	YES R
266	UNSTABLE CONDITION	15	0	15	YES R
289	FAULT SYSTEM	15	0	15	YES R
	Total	405	265	670	

ABBAS ABAD 4-4N

####	Sediment Hosted Cu	Pos.Score	Neg.Score	Interval S	State
1201	Sediment Hosted Cu	150	0	150	L
1202	Sandstone U	150	0	150	L
1208	Kipushi Cu-Pb-Zn	150	0	150	L
232	PROTROZOIC	100	0	100	L
233	PHANEROZOIC	100	0	100	R
10	SEDIMENTARY SEQUENCE	50	50	100	R
928	BORNITE	45	30	75	R
801	STRATIFORM	30	30	60	L
129	GREEN SHALE	45	5	50	L
886	Zn	30	10	40	R
267	EXTENTIONAL REGIME	15	0	15	R
269	CONTINENTAL RIFT SYSTEM	15	0	15	R
271	INTRACONTINENTAL RIFT SYSTEM	15	0	15	R
275	FAILED RIFT SYSTEM	15	0	15	R
277	STEEP NORMAL FAULT	15	0	15	R
291	HIGH ANGLE NORMAL FAULT	15	0	15	R
322	PASSIVE CONTINENTAL MARGINE	15	0	15	R
439	EPICONTINENTAL SEDIMENTARY ENV	15	0	15	R
606	SURFACE AND NEAR SURFACE REDUC	15	0	15	L
617	REDUCING LEACHING	15	0	15	L
620	WEATHERING PRODUCTS EXIST	15	0	15	L
661	SUPERGENE ENRICHMENT MINERALS	15	0	15	L
676	CHALCOCITE	15	0	15	L
733	VERY FINE GRAINE CLASTIC	15	0	15	L
734	FINE GRAINE CLASTIC	15	0	15	L
735	MEDIUM GRAINE CLASTIC	15	0	15	L
736	COARSE GRAINE CLASTIC	15	0	15	L
744	DESIMINATED	15	0	15	L
785	COLLOFORM	15	0	15	L
Total		1135	125	1260	

ABBAS ABAD 4-4ND

####	Sediment Hosted Cu	Pos.Score	Neg.Score	Interval S	State
140	RED BED	75	75	150	nd R
839	C (Organic)	75	75	150	nd L
946	CHALCOCITE	60	30	90	nd L
880	U	30	30	60	nd L
1047	NATIVES SILVER	30	30	60	nd L
881	V	30	15	45	nd L
854	Mo	30	10	40	nd L
863	Pb	30	10	40	nd L
836	Co	15	5	20	nd L
848	Ga	15	5	20	nd L
Total		390	285	675	

ABBAS ABAD 4-5Y

####	Volcanic-Hosted Cu-As-Sb	Pos. Score	Neg. Score	Interval S	State
837	Cu	45	75	120	YES L
829	Ag	30	75	105	YES L
1072	PYRITE	30	75	105	YES L
247	TERTIARY	100	0	100	YES R
82	ANDESITE	45	45	90	YES R
101	FLOWs	45	45	90	YES R
870	Sb	45	10	55	YES L
93	TUFF	30	10	40	YES R
99	VOLCANIC BRECCIA	30	10	40	YES R
266	UNSTABLE CONDITION	15	0	15	YES R
289	FAULT SYSTEM	15	0	15	YES R
290	NORMAL FAULT	15	0	15	YES R
295	FAULTS INTERSECTIONS	15	0	15	YES R
298	FRACTURE SYSTEM	15	0	15	YES R
318	ACTIVE CONTINENTAL MARGINE	15	0	15	YES R
336	OCEANIC-CONTINENTAL SUBDUCTION	15	0	15	YES R
341	ARC RELATED	15	0	15	YES R
423	FAULTED STRUCTURE	15	0	15	YES R
424	NORMAL FAULT STRUCTURE	15	0	15	YES L
715	INEQUIGRANULAR TEXTURES	15	0	15	YES L
717	PORPHYRY	15	0	15	YES L
Total		580	345	925	

ABBAS ABAD 4-5N

####	Volcanic-Hosted Cu-As-Sb	Pos. Score	Neg. Score	Interval S	State
1171	Porphyry-Cu-Mo	150	0	150	L
1172	Porphyry-Mo, Low-F	150	0	150	L
1173	Volcanic-Hosted Cu-As-Sb	150	0	150	L
828	As	45	75	120	L
986	EMARGITE	45	75	120	L
1026	LUZONITE	30	75	105	L
830	Au	30	30	60	L
886	Zn	30	30	60	L
928	BORNITE	45	10	55	L
973	COVELLITE	45	10	55	L
1097	SPHALERITE	45	10	55	L
1113	TENNANTITE	45	10	55	L
1115	TETRAHDERITE	45	10	55	L
834	Bi	30	10	40	L
869	Sn	15	5	20	L
327	OCEANIC PLATE MARGINE-ARC	15	0	15	R
334	OCEANIC-OCEANIC SUBDUCTION	15	0	15	R
533	ALUNITE (HYPOGENE)	15	0	15	L
534	ANDALUSITE	15	0	15	L
543	CALCEDONITE (CALCEDONY)	15	0	15	L
557	DIASPORE	15	0	15	L
583	PYROPHYLLITIC	15	0	15	L
596	TOURMALINE	15	0	15	L
712	APLITIC	15	0	15	L
745	MASSIVE	15	0	15	L
791	STOCKWORK	15	0	15	L
796	MASSIVE	15	0	15	L
Total		1080	350	1430	

ABBAS ABAD 4-5ND

####	Volcanic-Hosted Cu-As-Sb	Pos. Score	Neg. Score	Interval S	State
516	SILICIFICATION PROCESSES	100	10	110	nd L
871	S	30	75	105	nd L
7	FELSIC PLUTONIC SEQUENCE	50	50	100	nd R
83	DACITE	45	45	90	nd R
946	CHALCOCITE	45	10	55	nd L
833	B	15	5	20	nd L
Total		285	195	480	

ABBAS ABAD , 1/50000 SHEET ,ANOMALY NO:A5

FINAL CALC-N MODELING RESULTS			
Probable Types of Ore Deposit	Rank (%)	Score (%)	
Skarn-Pb-Zn	8	2.60	
Besshi-Massive Sulfide	5	2.10	
Basaltic Cu	95	1.20	
Polymetallic-Replacement	5	-3.40	
Sandstone Hosted Pb-Zn	5	-4.30	

ABBAS ABAD 5-1Y

####	Skarn-Pb-Zn	Pos.Score	Neg.Score	Interval S	State
863	Pb	45	75	120	YES L
837	Cu	30	75	105	YES L
853	Mn	30	75	105	YES L
1072	PYRITE	30	30	60	YES L
1086	SCHEALITE	30	10	40	YES L
266	UNSTABLE CONDITION	15	0	15	YES R
283	UPLIFT	15	0	15	YES R
316	PLATE MARGINE	15	0	15	YES R
318	ACTIVE CONTINENTAL MARGINE	15	0	15	YES R
333	CONVERGENT PLATE BOUNDARY	15	0	15	YES R
336	OCEANIC-CONTINENTAL SUBDUCTION	15	0	15	YES R
344	OROGENIC RELATED MAGMATISM	15	0	15	YES R
348	SUBDUCTION RELATED MAGMATISM	15	0	15	YES R
717	PORPHYRY	15	0	15	YES L
Total		300	265	565	

ABBAS ABAD 5-1ND

####	Skarn-Pb-Zn	Pos.Score	Neg.Score	Interval S	State
1047	NATIVES SILVER	30	5	35	nd L
350	ARC RELATED MAGMATISM	15	0	15	nd R
Total		45	5	50	

ABBAS ABAD 5-1N

####	Skarn-Pb-Zn	Pos.Score	Neg.Score	Interval S	State
1161	Skarn-Cu	150	0	150	L
1162	Skarn-Pb-Zn	150	0	150	L
147	CARBONATE ROCKS	75	75	150	R
886	Zn	45	75	120	L
992	FLUORITE	45	75	120	L
996	GALENA	45	75	120	L
475	SKARNIZATION METASOMATIC PROCE	100	10	110	L
54	PLUTONIC FELSIC BODY	60	45	105	R
829	Ag	30	75	105	L
828	As	30	30	60	L
830	Au	30	30	60	L
1077	PYRRHOTITE	30	30	60	L
928	BORNITE	45	10	55	L
5	INTERMEDIATE PLUTONIC SEQUENCE	25	25	50	R
7	FELSIC PLUTONIC SEQUENCE	25	25	50	R
836	Co	30	10	40	R
845	F	30	10	40	L
869	Sn	30	10	40	L
882	W	30	10	40	L
916	ARSENOPYRITE	30	10	40	L
926	BISMUTHINITE	30	10	40	L
1029	MAGNETITE	30	10	40	L
1045	NATIVES GOLD	30	5	35	L
1101	STANNITE	30	5	35	L
871	S	15	10	25	L
831	Be	15	5	20	L
341	ARC RELATED	15	0	15	R
354	CONTINENTAL CRUST PLUTONIC MAG	15	0	15	R
385	X=SMALL IGNEOUS INTRUSIVE Y=MI	15	0	15	L
411	MESOZONAL MAGMATISM	15	0	15	L
547	CHLORITE	15	0	15	L
564	GROSSULAR	15	0	15	L
605	SURFACE AND NEAR SURFACE OXIDA	15	0	15	L
655	Mn-OXIDES STAINS	15	0	15	L
715	INEQUIGRANULAR TEXTURES	15	0	15	L
745	MASSIVE	15	0	15	L
	Total	1335	675	2010	

ABBAS ABAD 5-2Y

####	Besshi-Massive Sulfide	Pos.Score	Neg.Score	Interval S	State
837	Cu	45	75	120	YES L
1072	PYRITE	45	75	120	YES L
93	TUFF	75	10	85	YES R
136	SANDSTONE	75	5	80	YES R
124	SHALE	60	5	65	YES R
226	BRECCIA	45	5	50	YES R
4	MAFIC VOLCANIC SEQUENCE	25	25	50	YES R
266	UNSTABLE CONDITION	15	0	15	YES R
	Total	385	200	585	

ABBAS ABAD 5-2N

####	Besshi-Massive Sulfide	Pos.Score	Neg.Score	Interval S	State
1178	Besshi-Massive Sulfide	150	0	150	L
886	Zn	45	75	120	L
947	CHALCOPYRITE	45	75	120	L
1097	SPHALERITE	45	75	120	L
514	CHLORITIZATION	100	10	110	L
829	Ag	30	75	105	L
233	PHANEROZOIC	100	0	100	R
1077	PYRRHOTITE	45	30	75	L
830	Au	30	30	60	L
836	Co	30	30	60	L
1029	MAGNETITE	30	30	60	L
1115	TETRAHDERITE	45	10	55	L
164	CHERT	45	5	50	R
11	MARINE SEQUENCE	25	25	50	R
835	Cr	30	10	40	L
855	Ni	30	10	40	L
928	BORNITE	30	10	40	L
996	GALENA	30	10	40	L
963	COBALTITE	30	5	35	L
1038	MOLYBDENITE	30	5	35	L
1101	STANNITE	30	5	35	L
431	DEFORMED STRUCTURE	30	0	30	L
267	EXTENTIONAL REGIME	15	0	15	R
268	RIFT SYSTEM	15	0	15	R
272	OCEANIC RIFT SYSTEM	15	0	15	R
273	MARGINAL OCEANIC RIFT SYSTEM	15	0	15	R
315	RIFTED BASIN (RIDGE)	15	0	15	R
332	OCEANIC DIVERGENT BOUNDARY-RIF	15	0	15	R
341	ARC RELATED	15	0	15	R
345	RIFT RELATED MAGMATISM	15	0	15	R
353	BACK ARC RELATED MAGMATISM	15	0	15	R
369	SUBMARINE MAGMATISM	15	0	15	R
418	GEOTHERMAL ACTIVITY	15	0	15	L
423	FAULTED STRUCTURE	15	0	15	L
424	NORMAL FAULT STRUCTURE	15	0	15	L
544	CARBONATES	15	0	15	L
608	LATERITIZATION	15	0	15	L
622	Fe-RICH GOSSAN	15	0	15	L
734	FINE GRAINE CLASTIC	15	0	15	L
735	MEDIUM GRAINE CLASTIC	15	0	15	L
745	MASSIVE	15	0	15	L
750	BRECCIA FILLINGS	15	0	15	L
762	BRECCIA	15	0	15	L
791	STOCKWORK	15	0	15	L
792	STRINGER	15	0	15	L
821	REGULAR VIEN	15	0	15	L
	Total	1365	525	1890	

ABBAS ABAD 5-2ND

####	Besshi-Massive Sulfide	Pos.Score	Neg.Score	Interval S	State
140	RED BED	45	5	50	nd R
	Total	45	5	50	

ABBAS ABAD 5-3Y

####	Basaltic Cu	Pos. Score	Neg. Score	Interval S	State
1176	Basaltic Cu	150	0	150	YES L
837	Cu	60	75	135	YES L
247	TERTIARY	100	0	100	YES R
74	VOLCANIC MAFIC BODY	60	5	65	YES R
77	BASALT	60	5	65	YES R
226	BRECCIA	45	5	50	YES R
4	MAFIC VOLCANIC SEQUENCE	25	25	50	YES R
1072	PYRITE	30	10	40	YES L
93	TUFF	30	5	35	YES R
266	UNSTABLE CONDITION	15	0	15	YES R
652	HEMATITE IN BLEACHED COUNTRY R	15	0	15	YES L
705	AMYGDALOIDAL	15	0	15	YES L
717	PORPHYRY	15	0	15	YES L
719	OPHITIC	15	0	15	YES L
	Total	635	130	765	

ABBAS ABAD 5-3N

####	Basaltic Cu	Pos. Score	Neg. Score	Interval S	State
1179	Volcanogenic-Mn	150	0	150	L
1201	Sediment Hosted Cu	150	0	150	L
490	POROPLITIC ALTERATION	100	10	110	L
232	PROTROZOIC	100	0	100	R
244	TRIASSIC	100	0	100	R
245	JURASSIC	100	0	100	R
946	CHALCOCITE	45	30	75	L
829	Ag	30	30	60	L
947	CHALCOPYRITE	30	30	60	L
11	MARINE SEQUENCE	25	25	50	L
886	Zn	30	10	40	R
928	BORNITE	30	10	40	L
833	B	15	5	20	L
836	Co	15	5	20	L
267	EXTENTIONAL REGIME	15	0	15	R
268	RIFT SYSTEM	15	0	15	R
269	CONTINENTAL RIFT SYSTEM	15	0	15	R
270	MARGINAL CONTINENTAL RIFT SYST	15	0	15	R
271	INTRACONTINENTAL RIFT SYSTEM	15	0	15	R
434	LOW GRADE METAMORPHISM	15	0	15	L
542	BUDDINGTONITE	15	0	15	L
554	MONTMORILLONITE	15	0	15	L
559	DOLOMITE	15	0	15	L
563	GREISENIZATION	15	0	15	L
571	MICA	15	0	15	L
601	ZEOLITE	15	0	15	L
608	LATERITIZATION	15	0	15	L
616	OXIDIZING LEACHING	15	0	15	L
748	CAVITY FILLING	15	0	15	L
	Total	1145	155	1300	

ABBAS ABAD 5-3ND

####	Basaltic Cu	Pos. Score	Neg. Score	Interval S	State
1044	NATIVES COPPER	60	75	135	nd L
1047	NATIVES SILVER	30	75	105	nd L
150	LIMESTONE	15	60	75	nd R
804	FLOW TOP BRECCIA	30	30	60	nd L
140	RED BED	45	5	50	nd R
143	TUFACEOUS SANDSTONE	30	5	35	nd R
	Total	210	250	460	

GHAZAZAN , 1/50000 SHEET ,ANOMALY NO:A6

FINAL CALC-N MODELING RESULTS			
Probable Types of Ore Deposit	Rank (%)	Score (%)	
Flat Faults Au	95	6.90	
Silica Carbonate Hg	5	3.60	
Polymetallic-Replacement	3	3.50	
Low-Sulfide Au-Quartz	20	1.30	
Homestake Au	13	0.20	

GHAZAZAN 6-1Y

####	Flat Faults Au	Pos.Score	Neg.Score	Interval S	State
830	Au	60	75	135	YES L
514	CHLORITIZATION	100	10	110	YES L
516	SILICIFICATION PROCESSES	100	10	110	YES L
521	HEMATITIZATION	100	10	110	YES L
1010	HEMATITE	30	75	105	YES L
233	PHANEROZOIC	100	0	100	YES R
16	METAMORPHIC SEQUENCE	50	50	100	YES R
225	MYLONITE	45	45	90	YES R
54	PLUTONIC FELSIC BODY	15	15	30	YES R
266	UNSTABLE CONDITION	15	0	15	YES R
279	COMPRESSSIONAL REGIME	15	0	15	YES R
289	FAULT SYSTEM	15	0	15	YES R
423	FAULTED STRUCTURE	15	0	15	YES L
547	CHLORITE	15	0	15	YES L
565	HEMATITE	15	0	15	YES L
584	QUARTZ	15	0	15	YES L
Total		705	290	995	

GHAZAZAN 6-1ND

####	Flat Faults Au	Pos.Score	Neg.Score	Interval S	State
226	BRECCIA	75	75	150	nd R
845	F	45	30	75	nd L
844	Fe	30	30	60	nd L
434	LOW GRADE METAMORPHISM	15	0	15	nd L
Total		165	135	300	

GHAZAZAN 6-1N

####	Flat Faults Au	Pos.Score	Neg.Score	Interval S	State
1185	Epithermal Quartz-Alunite Au	150	0	150	L
1218	Flat Faults Au	150	0	150	L
1045	NATIVES GOLD	60	75	135	L
837	Cu	30	75	105	L
230	PRECAMBRIAN	100	0	100	R
947	CHALCOPYRITE	30	30	60	L
1094	SPECULAR HEMATITE	30	30	60	L
832	Ba	30	10	40	L
87	FELSIC VOLCANIC BODY	15	15	30	R
293	TRUST FAULT	15	0	15	R
427	TRUST FAULT STRUCTURE	15	0	15	L
433	LATE STAGE DEFORMED STRUCTURE	15	0	15	L
545	CALCITE	15	0	15	L
605	SURFACE AND NEAR SURFACE OXIDA	15	0	15	L
610	SECONDARY ENRICHMENT PROCESSES	15	0	15	L
614	CHEMICAL SECONDARY ENRICHMENT	15	0	15	L
616	OXIDIZING LEACHING	15	0	15	L
744	DESIMINATED	15	0	15	L
791	STOCKWORK	15	0	15	L
802	TECTONIC BRECCIA	15	0	15	L
821	REGULAR VIEN	15	0	15	L
822	IRREGULAR VIEN	15	0	15	L
826	VEIN LETS	15	0	15	L
	Total	805	235	1040	

GHAZAZAN 6-2Y

####	Silica Carbonate Hg	Pos.Score	Neg.Score	Interval S	State
516	SILICIFICATION PROCESSES	400	10	410	YES L
1072	PYRITE	30	75	105	YES L
886	Zn	30	10	40	YES L
266	UNSTABLE CONDITION	15	0	15	YES R
279	COMPRESSSIONAL REGIME	15	0	15	YES R
289	FAULT SYSTEM	15	0	15	YES R
333	CONVERGENT PLATE BOUNDARY	15	0	15	YES R
423	FAULTED STRUCTURE	15	0	15	YES R
584	QUARTZ	15	0	15	YES L
	Total	550	95	645	

GHAZAZAN 6-2ND

####	Silica Carbonate Hg	Pos.Score	Neg.Score	Interval S	State
847	Hg	60	75	135	nd L
833	B	30	10	40	nd L
	Total	90	85	175	

GHAZAZAN 6-2N

####	Silica Carbonate Hg	Pos. Score	Neg. Score	Interval S	State
1193	Silica Carbonate Hg	150	0	150	L
1194	Simple Sb	150	0	150	L
1046	NATIVES MERCURY	75	75	150	L
847	Hg	60	75	135	L
959	CINNABAR	60	75	135	L
206	SERPENTINITE	60	60	120	L
247	TERTIARY	100	0	100	R
870	Sb	45	30	75	R
1103	STIBNITE	45	30	75	L
947	CHALCOPYRITE	30	30	60	L
996	GALENA	30	30	60	L
1097	SPHALERITE	30	30	60	L
132	SILTSTONE	45	10	55	L
137	GRAYWACKE	45	10	55	R
3	MAFIC PLUTONIC SEQUENCE	25	25	50	R
10	SEDIMENTARY SEQUENCE	25	25	50	R
833	B	30	10	40	L
837	Cu	30	10	40	L
928	BORNITE	30	10	40	L
293	TRUST FAULT	30	0	30	R
294	SUBDUCTION RELATED TRUST FAULT	30	0	30	R
298	FRACTURE SYSTEM	15	0	15	R
337	OCEANIC-CONTINENTAL OBDUCTION	15	0	15	R
427	TRUST FAULT STRUCTURE	15	0	15	R
431	DEFORMED STRUCTURE	15	0	15	L
437	REGIONAL METAMORPHISM	15	0	15	L
559	DOLOMITE	15	0	15	L
792	STRINGER	15	0	15	L
821	REGULAR VIEN	15	0	15	L
826	VEIN LETS	15	0	15	L
Total		1260	535	1795	

GHAZAZAN 6-3Y

####	Polymetallic-Replacement	Pos. Score	Neg. Score	Interval S	State
514	CHLORITIZATION	100	10	110	YES L
516	SILICIFICATION PROCESSES	100	10	110	YES L
863	Pb	30	75	105	YES L
886	Zn	30	75	105	YES L
1072	PYRITE	30	75	105	YES L
54	PLUTONIC FELSIC BODY	30	30	60	YES R
830	Au	30	30	60	YES L
828	As	30	10	40	YES L
834	Bi	30	10	40	YES L
266	UNSTABLE CONDITION	15	0	15	YES R
336	OCEANIC-CONTINENTAL SUBDUCTION	15	0	15	YES R
344	OROGENIC RELATED MAGMATISM	15	0	15	YES R
547	CHLORITE	15	0	15	YES L
Total		470	325	795	

GHAZAZAN 6-3ND

####	Polymetallic-Replacement	Pos. Score	Neg. Score	Interval S	State
871	S	30	75	105	nd L
877	Te	30	10	40	nd L
Total		60	85	145	

GHAZAZAN 6-3N

###	Polymetallic-Replacement	Pos. Score	Neg. Score	Interval S	State
1159	Porphyry-Cu	150	0	150	L
1162	Skarn-Pb-Zn	150	0	150	L
1165	Polymetallic-Replacement	150	0	150	L
150	LIMESTONE	75	75	150	L
480	DOLOMITIZATION REPLACEMENT PRO	100	10	110	R
837	Cu	30	75	105	L
7	FELSIC PLUTONIC SEQUENCE	50	50	100	L
829	Ag	30	30	60	R
853	Mn	30	30	60	L
921	BARITE	30	30	60	L
947	CHALCOPYRITE	30	30	60	L
996	GALENA	30	30	60	L
1032	MARCASITE	30	30	60	L
1071	PYRARGYRITE	30	30	60	L
124	SHALE	45	10	55	R
832	Ba	30	10	40	L
870	Sb	30	10	40	L
914	ARGENTITE	30	10	40	L
986	EMARGITE	30	10	40	L
982	DIGENITE	30	10	40	L
282	MOBILE BELT	30	5	35	L
284	OROGENIC	15	0	15	R
304	CALDERA RELATED RING FRACTURE	15	0	15	R
318	ACTIVE CONTINENTAL MARGIN	15	0	15	R
341	ARC RELATED	15	0	15	R
348	SUBDUCTION RELATED MAGMATISM	15	0	15	R
350	ARC RELATED MAGMATISM	15	0	15	R
366	MIDDLE STAGE (CALC ALKALINE) S	15	0	15	R
389	X=EPIZONAL COMPLEX Y=CARBONATE	15	0	15	R
392	X=STOCKS Y=CARBONATE ROCK	15	0	15	L
403	CALDERA EXTRUSIVE	15	0	15	L
405	CALDERA RING FRACTURE ZONE	15	0	15	L
408	EPIZONAL MAGMATISM	15	0	15	L
536	ARGILLITE	15	0	15	L
566	JASPORID	15	0	15	L
605	SURFACE AND NEAR SURFACE OXIDA	15	0	15	L
610	SECONDARY ENRICHMENT PROCESSES	15	0	15	L
616	OXIDIZING LEACHING	15	0	15	L
625	OCHEOUS MASSES	15	0	15	L
661	SUPERGENE ENRICHMENT MINERALS	15	0	15	L
681	ANGELITE	15	0	15	L
682	CERRUSITE	15	0	15	L
687	HEMIMORPHITE	15	0	15	L
715	INEQUIGRANULAR TEXTURES	15	0	15	L
717	PORPHYRY	15	0	15	L
745	MASSIVE	15	0	15	L
748	CAVITY FILLING	15	0	15	L
796	MASSIVE	15	0	15	L
Total		1530	475	2005	

GHAZAZAN 6-4Y

####	Low Sulfide Au-Quartz	Pos. Score	Neg. Score	Interval S	State
516	SILICIFICATION PROCESSES	400	10	410	YES L
828	As	60	75	135	YES L
830	Au	60	75	135	YES L
1072	PYRITE	60	75	135	YES L
207	METASEDIMENTARY ROCKS	75	10	85	YES R
863	Pb	45	30	75	YES L
886	Zn	30	10	40	YES L
266	UNSTABLE CONDITION	15	0	15	YES R
279	COMPRESSORIAL REGIME	15	0	15	YES R
289	FAULT SYSTEM	15	0	15	YES R
423	FAULTED STRUCTURE	15	0	15	YES R
584	QUARTZ	15	0	15	YES L
	Total	805	285	1090	

GHAZAZAN 6-4N

####	Low-Sulfide Au-Quartz	Pos. Score	Neg. Score	Interval S	State
544	CARBONATES	200	20	220	L
1196	Kuroko Massive sulfide	150	0	150	L
1215	Low-Sulfide Au-Quartz	150	0	150	L
1216	Homestake Au	150	0	150	L
1223	Placer Au-PGE	150	0	150	L
227	GREEN STONE	75	75	150	R
1045	NATIVES GOLD	75	75	150	L
829	Ag	60	75	150	L
487	EARLY ALBITIZATION	100	10	135	L
17	LOW GRADE METAMORPHIC SEQUENCE	50	50	100	R
137	GRAYWACKE	60	10	70	R
217	MAFIC METAVOLCANIC	60	10	70	R
916	ARSENOPYRITE	45	10	55	L
947	CHALCOPYRITE	45	10	55	L
996	GALENA	45	10	55	L
164	CHERT	30	5	35	R
1077	PYRRHOTITE	30	0	30	L
281	ACCRETED MARGINE	15	0	15	R
290	NORMAL FAULT	15	0	15	R
298	FRACTURE SYSTEM	15	0	15	R
318	ACTIVE CONTINENTAL MARGINE	15	0	15	R
424	NORMAL FAULT STRUCTURE	15	0	15	L
528	ALBITE	15	0	15	L
559	DOLOMITE	15	0	15	L
588	SERICITE	15	0	15	L
594	TALC	15	0	15	L
611	MECHANICAL ENRICHMENT	15	0	15	L
612	RESIDUAL MECHANICAL ENRICHMENT	15	0	15	L
634	QUARTZ CHIPS IN RESIDUAL SOIL	15	0	15	L
643	Au ENRICHMENT IN SOIL	15	0	15	L
744	DESIMINATED	15	0	15	L
821	REGULAR VIEN	15	0	15	L
822	IRREGULAR VIEN	15	0	15	L
826	VEIN LETS	15	0	15	L
	Total	1730	360	2090	

GHAZAZAN 6-4ND

####	Low Sulfide Au-Quartz	Pos. Score	Neg. Score	Interval S	State
877	Te	15	5	20	nd L
434	LOW GRADE METAMORPHISM	15	0	15	nd L
	Total	30	5	35	

GHAZAZAN 6-5Y

####	Homestake Au	Pos. Score	Neg. Score	Interval S	State
514	CHLORITIZATION	200	10	210	YES L
516	SILICIFICATION PROCESSES	200	10	210	YES L
830	Au	60	75	135	YES L
1072	PYRITE	30	75	105	YES L
828	As	45	30	75	YES L
834	Bi	45	10	55	YES L
16	METAMORPHIC SEQUENCE	25	25	50	YES R
54	PLUTONIC FELSIC BODY	30	10	40	YES R
547	CHLORITE	15	0	15	YES L
584	QUARTZ	15	0	15	YES L
	Total	665	245	910	

GHAZAZAN 6-5ND

####	Homestake Au	Pos. Score	Neg. Score	Interval S	State
844	Fe	30	10	40	nd L
859	PGE	30	10	40	nd L
434	LOW GRADE METAMORPHISM	15	0	15	nd L
	Total	75	20	95	

GHAZAZAN 6-5N

####	Homestake Au	Pos. Score	Neg. Score	Interval S	State
1196	Kuroko Massive sulfide	150	0	150	L
1197	Algoma Fe	150	0	150	L
1215	Low-Sulfide Au-Quartz	150	0	150	L
1216	Homestake Au	150	0	150	L
170	IRON FORMATION	75	75	150	L
216	FELSIC METAVOLCANIC	75	75	150	R
217	MAFIC METAVOLCANIC	75	75	150	R
231	ARCHEAN	100	0	100	R
870	Sb	45	30	75	L
916	ARSENOPYRITE	45	30	75	L
478	TOURMALINIZATION REPLACEMENT P	50	10	60	L
227	GREEN STONE	30	30	60	L
833	B	30	30	60	R
1029	MAGNETITE	30	30	60	L
1077	PYRRHOTITE	30	30	60	L
847	Hg	45	10	60	L
75	KOMATITE	30	10	55	L
92	VOLCANOCLASTIC BODY	30	10	40	R
947	CHALCOPYRITE	30	10	40	R
1097	SPHALERITE	30	10	40	L
3	MAFIC PLUTONIC SEQUENCE	15	15	30	L
4	MAFIC VOLCANIC SEQUENCE	10	10	20	R
265	FOLDBELTS CRATONIC	15	0	15	R
287	METAMORPHIC BELT	15	0	15	R
391	X=MESOSONAL COMPLEX Y=SURROUND	15	0	15	R
418	GEOTHERMAL ACTIVITY	15	0	15	L
419	VOLCANIC RELATED GEOTHERMAL AC	15	0	15	L
570	MAGNETITE	15	0	15	L
596	TOURMALINE	15	0	15	L
605	SURFACE AND NEAR SURFACE OXIDA	15	0	15	L
608	LATERITIZATION	15	0	15	L
610	SECONDARY ENRICHMENT PROCESSES	15	0	15	L
614	CHEMICAL SECONDARY ENRICHMENT	15	0	15	L
615	LEACHING PROCESSES	15	0	15	L
616	OXIDIZING LEACHING	15	0	15	L
622	Fe-RICH GOSSAN	15	0	15	L
744	DESIMINATED	15	0	15	L
791	STOCKWORK	15	0	15	L
801	STRATIFORM	15	0	15	L
806	LENS	15	0	15	L
807	LENSOID	15	0	15	L
808	LENTICULAR	15	0	15	L
809	CONCORDANT LAYERED	15	0	15	L
812	BEDDED	15	0	15	L
814	BANDED	15	0	15	L
821	REGULAR VIEN	15	0	15	L
826	VEIN LETS	15	0	15	L
Total		1750	490	2240	

MEYANDASHT, 1/50000 SHEET ,ANOMALY NO:A9

FINAL CALC-N MODELING RESULTS			
Probable Types of Ore Deposit	Rank (%)	Score (%)	
Skarn-Fe	8	3.60	
Basaltic Cu	88	2.40	
Almaden Hg	35	0.70	
Hot spring Hg	20	0.20	
Flat Faults Au	78	-0.50	

MEYANDASHT 9-1Y

####	Skarn-Fe	Pos. Score	Neg. Score	Interval S	State
1029	MAGNETITE	60	75	135	YES L
830	Au	30	75	105	YES L
837	Cu	30	30	60	YES L
1072	PYRITE	30	30	60	YES L
266	UNSTABLE CONDITION	15	0	15	YES R
318	ACTIVE CONTINENTAL MARGINE	15	0	15	YES R
336	OCEANIC-CONTINENTAL SUBDUCTION	15	0	15	YES R
348	SUBDUCTION RELATED MAGMATISM	15	0	15	YES R
350	ARC RELATED MAGMATISM	15	0	15	YES R
560	EPIDOT	15	0	15	YES R
715	INEQUIGRANULAR TEXTURES	15	0	15	YES L
717	PORPHYRY	15	0	15	YES L
Total		270	210	480	

MEYANDASHT 9-1ND

####	Skarn-Fe	Pos. Score	Neg. Score	Interval S	State
831	Be	30	5	35	nd L
833	B	30	5	35	nd L
885	Zr	30	5	35	nd L
869	Sn	15	0	15	nd L
Total		105	15	120	

MEYANDASHT 9-1N

####	Skarn-Fe	Pos. Score	Neg. Score	Interval S	State
1163	Skarn-Fe	150	0	150	L
147	CARBONATE ROCKS	75	75	150	R
886	Zn	60	75	135	L
54	PLUTONIC FELSIC BODY	75	45	120	R
475	SKARNIZATION METASOMATIC PROCE	100	10	110	L
889	MAGNETIC-HIGH	25	50	75	L
947	CHALCOPYRITE	30	30	60	L
1077	PYRRHOTITE	30	30	60	L
5	INTERMEDIATE PLUTONIC SEQUENCE	25	25	50	R
7	FELSIC PLUTONIC SEQUENCE	25	25	50	R
107	DIABASE	30	5	35	R
268	RIFT SYSTEM	15	0	15	R
270	MARGINAL CONTINENTAL RIFT SYST	15	0	15	R
283	UPLIFT	15	0	15	R
284	OROGENIC	15	0	15	R
317	CONTINENTAL PLATE MARGINE	15	0	15	R
326	OCEANIC PLATE MARGINE	15	0	15	R
327	OCEANIC PLATE MARGINE-ARC	15	0	15	R
331	CONTINENTAL DIVERGENT BOUNDARY	15	0	15	R
334	OCEANIC-OCEANIC SUBDUCTION	15	0	15	R
341	ARC RELATED	15	0	15	R
345	RIFT RELATED MAGMATISM	15	0	15	R
354	CONTINENTAL CRUST PLUTONIC MAG	15	0	15	R
380	X=FELSIC PLUTON Y=MEUGEOSYNCLI	15	0	15	R
385	X=SMALL IGNEOUS INTRUSIVE Y=MI	15	0	15	L
558	DIOPSIDE	15	0	15	L
564	GROSSULAR	15	0	15	L
605	SURFACE AND NEAR SURFACE OXIDA	15	0	15	L
630	MAGNETITE IN RESIDUAL SOIL	15	0	15	L
725	GRANOBLASTIC	15	0	15	L
730	HORNFELSIC	15	0	15	L
745	MASSIVE	15	0	15	L
Total		940	370	1310	

MEYANDASHT 9-2Y

####	Basaltic Cu	Pos. Score	Neg. Score	Interval S	State
1176	Basaltic Cu	150	0	150	YES L
837	Cu	60	75	135	YES L
490	POROPLITIC ALTERATION	100	10	110	YES L
247	TERTIARY	100	0	100	YES R
74	VOLCANIC MAFIC BODY	60	5	65	YES R
77	BASALT	60	5	65	YES R
226	BRECCIA	45	5	50	YES R
4	MAFIC VOLCANIC SEQUENCE	25	25	50	YES R
1072	PYRITE	30	10	40	YES L
93	TUFF	30	5	35	YES R
266	UNSTABLE CONDITION	15	0	15	YES R
601	ZEOLITE	15	0	15	YES L
652	HEMATITE IN BLEACHED COUNTRY R	15	0	15	YES L
705	AMYGDALOIDAL	15	0	15	YES L
717	PORPHYRY	15	0	15	YES L
719	OPHITIC	15	0	15	YES L
Total		750	140	890	

MEYANDASHT 9-2N

####	Basaltic Cu	Pos.Score	Neg.Score	Interval S	State
1179	Volcanogenic-Mn	150	0	150	L
1201	Sediment Hosted Cu	150	0	150	L
232	PROTROZOIC	100	0	100	L
244	TRIASSIC	100	0	100	R
245	JURASSIC	100	0	100	R
946	CHALCOCITE	45	30	75	R
150	LIMESTONE	15	60	75	R
829	Ag	30	30	60	L
947	CHALCOPYRITE	30	30	60	L
140	RED BED	45	5	50	R
11	MARINE SEQUENCE	25	25	50	R
886	Zn	30	10	40	L
928	BORNITE	30	10	40	L
143	TUFACEOUS SANDSTONE	30	5	35	R
267	EXTENTIONAL REGIME	15	0	15	R
268	RIFT SYSTEM	15	0	15	R
269	CONTINENTAL RIFT SYSTEM	15	0	15	R
270	MARGINAL CONTINENTAL RIFT SYST	15	0	15	R
271	INTRACONTINENTAL RIFT SYSTEM	15	0	15	R
434	LOW GRADE METAMORPHISM	15	0	15	R
542	BUDDINGTONITE	15	0	15	L
554	MONTMORILLONITE	15	0	15	L
559	DOLOMITE	15	0	15	L
563	GREISENIZATION	15	0	15	L
571	MICA	15	0	15	L
608	LATERITIZATION	15	0	15	L
616	OXIDIZING LEACHING	15	0	15	L
748	CAVITY FILLING	15	0	15	L
Total		1090	205	1295	

MEYANDASHT 9-2ND

####	Basaltic Cu	Pos.Score	Neg.Score	Interval S	State
1044	NATIVES COPPER	60	75	135	nd L
1047	NATIVES SILVER	30	75	105	nd L
804	FLOW TOP BRECCIA	30	30	60	nd L
833	B	15	5	20	nd L
836	Co	15	5	20	nd L
Total		150	190	340	

MEYANDASHT 9-3Y

####	Almaden Hg	Pos.Score	Neg.Score	Interval S	State
92	VOLCANOCLASTIC BODY	75	75	150	YES R
847	Hg	60	45	105	YES L
870	Sb	45	30	75	YES L
93	TUFF	45	10	55	YES R
1072	PYRITE	30	10	40	YES L
289	FAULT SYSTEM	15	0	15	YES R
290	NORMAL FAULT	15	0	15	YES R
421	SHALLOW INTRUSIVE RELATED GEOT	15	0	15	YES L
423	FAULTED STRUCTURE	15	0	15	YES L
424	NORMAL FAULT STRUCTURE	15	0	15	YES L
429	NEAR SURFACE FRACTURES	15	0	15	YES L
	Total	345	170	515	

MEYANDASHT 9-3N

####	Almaden Hg	Pos.Score	Neg.Score	Interval S	State
1192	Almaden Hg	150	0	150	L
1194	Simple Sb	150	0	150	L
1046	NATIVES MERCURY	75	75	150	L
959	CINNABAR	65	75	140	L
8	FELSIC VOLCANIC SEQUENCE	50	50	100	R
828	As	45	30	75	L
95	TUFF-BRECCIA	45	10	55	R
744	DESIMINATED	30	0	30	L
121	CLASTIC ROCKS	15	15	30	R
277	STEEP NORMAL FAULT	15	0	15	R
291	HIGH ANGLE NORMAL FAULT	15	0	15	R
396	PRIFERAL EXTRUSIVE	15	0	15	L
398	PRIFERAL SUBVOLCANIC	15	0	15	L
407	SHALLOW SEATED MAGMATISM	15	0	15	L
418	GEOOTHERMAL ACTIVITY	15	0	15	L
419	VOLCANIC RELATED GEOTHERMAL AC	15	0	15	L
	Total	730	255	985	

MEYANDASHT 9-3ND

####	Almaden Hg	Pos.Score	Neg.Score	Interval S	State
833	B	30	10	40	nd L
	Total	30	10	40	

MEYANDASHT 9-4Y

####	Hot spring Hg	Pos. Score	Neg. Score	Interval S	State
847	Hg	65	75	140	YES L
870	Sb	45	75	120	YES L
247	TERTIARY	100	0	100	YES R
74	VOLCANIC MAFIC BODY	45	5	50	YES R
4	MAFIC VOLCANIC SEQUENCE	25	25	50	YES R
6	INTERMEDIATE VOLCANIC SEQUENCE	25	25	50	YES R
830	Au	30	10	40	YES L
93	TUFF	30	5	35	YES R
266	UNSTABLE CONDITION	15	0	15	YES R
289	FAULT SYSTEM	15	0	15	YES R
290	NORMAL FAULT	15	0	15	YES R
295	FAULTS INTERSECTIONS	15	0	15	YES R
298	FRACTURE SYSTEM	15	0	15	YES R
423	FAULTED STRUCTURE	15	0	15	YES L
424	NORMAL FAULT STRUCTURE	15	0	15	YES L
429	NEAR SURFACE FRACTURES	15	0	15	YES L
547	CHLORITE	15	0	15	YES L
601	ZEOLITE	15	0	15	YES L
	Total	515	220	735	

MEYANDASHT 9-4N

####	Hot spring Hg	Pos. Score	Neg. Score	Interval S	State
1181	Hot Spring Au-Ag	150	0	150	L
1191	Hot spring Hg	150	0	150	L
126	SILICEOUS SHALE	75	75	150	R
959	CINNABAR	75	75	150	L
828	As	45	75	120	L
500	KAOLINITIC	100	10	110	L
1046	NATIVES MERCURY	75	10	85	L
137	GRAYWACKE	45	5	50	R
95	TUFF-BRECCIA	30	5	35	R
1032	MARCASITE	30	5	35	L
1103	STIBNITE	30	0	30	L
267	EXTENTIONAL REGIME	15	0	15	R
268	RIFT SYSTEM	15	0	15	R
269	CONTINENTAL RIFT SYSTEM	15	0	15	R
270	MARGINAL CONTINENTAL RIFT SYST	15	0	15	R
277	STEEP NORMAL FAULT	15	0	15	R
291	HIGH ANGLE NORMAL FAULT	15	0	15	R
301	SHALLOW SEATED	15	0	15	R
345	RIFT RELATED MAGMATISM	15	0	15	R
346	MARGINAL RIFT RELATED MAGMATIC	15	0	15	R
418	GEOTHERMAL ACTIVITY	15	0	15	L
419	VOLCANIC RELATED GEOTHERMAL AC	15	0	15	L
529	K-FELDSPAR	15	0	15	L
533	ALUNITE (HYPOGENE)	15	0	15	L
553	KAOLINITE	15	0	15	L
584	QUARTZ	15	0	15	L
744	DESIMINATED	15	0	15	L
791	STOCKWORK	15	0	15	L
795	FINE GRAINED DESIMINATED	15	0	15	L
	Total	1075	260	1335	

GHAZAZAN 9-4ND

####	Hot spring Hg	Pos. Score	Neg. Score	Interval S	State
833	B	30	10	40	nd L
	Total	30	10	40	

FINAL CALC-N MODELING RESULTS			
Probable Types of Ore Deposit	Rank (%)	Score (%)	
Sado Epithermal Veins	95	5.00	
Cyprus Massive Sulfide	13	3.70	
Appalachian Zn	10	-1.80	
Lateritic-Saprolite Au	5	-2.10	
Skarn-Fe	33	-2.30	

MEYANDASHT 11-1Y

####	Sado Epithermal Veins	Pos.Score	Neg.Score	Interval S	State
87	FELSIC VOLCANIC BODY	75	75	150	YES R
830	Au	45	75	120	YES L
947	CHALCOPYRITE	30	75	105	YES L
247	TERTIARY	100	0	100	YES R
266	UNSTABLE CONDITION	15	0	15	YES R
289	FAULT SYSTEM	15	0	15	YES R
290	NORMAL FAULT	15	0	15	YES R
298	FRACTURE SYSTEM	15	0	15	YES R
318	ACTIVE CONTINENTAL MARGINE	15	0	15	YES R
336	OCEANIC-CONTINENTAL SUBDUCTION	15	0	15	YES R
341	ARC RELATED	15	0	15	YES R
348	SUBDUCTION RELATED MAGMATISM	15	0	15	YES R
350	ARC RELATED MAGMATISM	15	0	15	YES R
366	MIDDLE STAGE (CALC ALKALINE) S	15	0	15	YES R
393	X=PORPHYRY BODIES Y=COEVAL VOL	15	0	15	YES L
400	LINEAR BIMODAL EXTRUSIVE	15	0	15	YES L
401	LINEAR CALC-ALKALINE EXTRUSIVE	15	0	15	YES L
423	FAULTED STRUCTURE	15	0	15	YES L
424	NORMAL FAULT STRUCTURE	15	0	15	YES L
429	NEAR SURFACE FRACTURES	15	0	15	YES L
545	CALCITE	15	0	15	YES L
560	EPIDOT	15	0	15	YES L
584	QUARTZ	15	0	15	YES L
652	HEMATITE IN BLEACHED COUNTRY R	15	0	15	YES L
665	LIMONITE	15	0	15	YES L
715	INEQUIGRANULAR TEXTURES	15	0	15	YES L
717	PORPHYRY	15	0	15	YES L
	Total	595	225	820	

MEYANDASHT 11-1ND

####	Sado Epithermal Veins	Pos.Score	Neg.Score	Interval S	State
1045	NATIVES GOLD	45	75	120	nd L
1107	SULFOSALT	45	75	120	nd L
516	SILICIFICATION PROCESSES	100	10	110	nd L
914	ARGENTITE	45	30	75	nd L
1112	TELLURIDES	45	30	75	nd L
7	FELSIC PLUTONIC SEQUENCE	25	25	50	nd R
8	FELSIC VOLCANIC SEQUENCE	25	25	50	nd R
	Total	330	270	600	

MEYANDASHT 11-1N

####	Sado Epithermal Veins	Pos. Score	Neg. Score	Interval S	State
1184	Sado Epithermal Veins	150	0	150	L
1185	Epithermal Quartz-Alunite Au	150	0	150	L
1223	Placer Au-PGE	150	0	150	L
829	Ag	30	75	105	L
837	Cu	30	75	105	L
996	GALENA	30	30	60	L
1097	SPHALERITE	30	30	60	L
277	STEEP NORMAL FAULT	15	0	15	R
286	DOMING	15	0	15	R
295	FAULTS INTERSECTIONS	15	0	15	R
301	SHALLOW SEATED	15	0	15	R
302	RING FRACTURE SYSTEM	15	0	15	R
303	DOMING RELATED RING FRACTURE S	15	0	15	R
304	CALDERA RELATED RING FRACTURE	15	0	15	R
327	OCEANIC PLATE MARGINE-ARC	15	0	15	R
334	OCEANIC-OCEANIC SUBDUCTION	15	0	15	R
408	EPIZONAL MAGMATISM	15	0	15	L
418	GEOTHERMAL ACTIVITY	15	0	15	L
419	VOLCANIC RELATED GEOTHERMAL AC	15	0	15	L
421	SHALLOW INTRUSIVE RELATED GEOT	15	0	15	L
528	ALBITE	15	0	15	L
533	ALUNITE (HYPOGENE)	15	0	15	L
553	KAOLINITE	15	0	15	L
554	MONTMORILLONITE	15	0	15	L
605	SURFACE AND NEAR SURFACE OXIDA	15	0	15	L
608	LATERITIZATION	15	0	15	L
609	ARGILLITIZATION	15	0	15	L
616	OXIDIZING LEACHING	15	0	15	L
623	HEMATITE GOSSAN	15	0	15	L
624	LIMONITE GOSSAN	15	0	15	L
648	JAROSITE IN BLEACHED COUNTRY R	15	0	15	L
649	ALUNITE IN BLEACHED COUNTRY RO	15	0	15	L
650	GOETHITE IN BLEACHED COUNTRY R	15	0	15	L
651	LIMONITE IN BLEACHED COUNTRY R	15	0	15	L
653	ARGILLITE IN BLEACHED COUNTRY	15	0	15	L
664	GOETHITE	15	0	15	L
683	ALUNITE	15	0	15	L
748	CAVITY FILLING	15	0	15	L
762	BRECCIA	15	0	15	L
791	STOCKWORK	15	0	15	L
803	PIPES BRECCIA	15	0	15	L
814	BANDED	15	0	15	L
821	REGULAR VIEN	15	0	15	L
826	VEIN LETS	15	0	15	L
Total		1125	210	1335	

MEYANDASHT 11-2Y

####	Cyprus Massive Sulfide	Pos. Score	Neg. Score	Interval S	State
488	FELDSPER DESTRUCTION PROCESSES	400	10	410	YES L
947	CHALCOPYRITE	45	75	120	YES L
77	BASALT	60	5	65	YES R
830	Au	30	30	60	YES L
266	UNSTABLE CONDITION	15	0	15	YES R
341	ARC RELATED	15	0	15	YES R
344	OROGENIC RELATED MAGMATISM	15	0	15	YES R
350	ARC RELATED MAGMATISM	15	0	15	YES R
423	FAULTED STRUCTURE	15	0	15	YES L
424	NORMAL FAULT STRUCTURE	15	0	15	YES L
544	CARBONATES	15	0	15	YES L
560	EPIDOT	15	0	15	YES L
569	LIMONITE	15	0	15	YES L
665	LIMONITE	15	0	15	YES L
715	INEQUIGRANULAR TEXTURES	15	0	15	YES L
717	PORPHYRY	15	0	15	YES L
	Total	715	120	835	

MEYANDASHT 11-2ND

####	Cyprus Massive Sulfide	Pos. Score	Neg. Score	Interval S	State
871	S	75	75	150	nd L
516	SILICIFICATION PROCESSES	100	10	110	nd L
844	Fe	30	75	105	nd L
1072	PYRITE	30	75	105	nd L
	Total	235	235	470	

MEYANDASHT 11-2N

####	Cyprus Massive Sulfide	Pos. Score	Neg. Score	Interval S	State
1177	Cyprus Massive Sulfide	150	0	150	L
837	Cu	45	75	120	L
886	Zn	45	75	120	L
514	CHLORITIZATION	100	10	110	L
2	OPHIOLITE SEQUENCE	50	50	100	R
228	OPHIOLITE	60	15	75	R
1097	SPHALERITE	45	30	75	L
836	Co	30	45	75	L
20	ULTRAMAFIC BODY	60	10	70	R
829	Ag	30	30	60	L
853	Mn	30	30	60	L
1077	PYRRHOTITE	30	10	40	L
47	DIABASE	30	5	35	R
164	CHERT	30	5	35	R
207	METASEDIMENTARY ROCKS	30	5	35	R
1032	MARCASITE	30	5	35	L
101	FLOWs	15	0	15	R
267	EXTENTIONAL REGIME	15	0	15	R
272	OCEANIC RIFT SYSTEM	15	0	15	R
277	STEEP NORMAL FAULT	15	0	15	R
278	GRABEN STRUCTURE	15	0	15	R
291	HIGH ANGLE NORMAL FAULT	15	0	15	R
353	BACK ARC RELATED MAGMATISM	15	0	15	R
369	SUBMARINE MAGMATISM	15	0	15	R
407	SHALLOW SEATED MAGMATISM	15	0	15	L
418	GEOTHERMAL ACTIVITY	15	0	15	L
425	WHOLE GRABEN STRUCTURE	15	0	15	L
541	BIOTITE	15	0	15	L
542	BUDINGTONITE	15	0	15	L
583	PYROPHYLLITIC	15	0	15	L
608	LATERITIZATION	15	0	15	L
612	RESIDUAL MECHANICAL ENRICHMENT	15	0	15	L
616	OXIDIZING LEACHING	15	0	15	L
624	LIMONITE GOSSAN	15	0	15	L
638	NATIVE GOLD IN PLACERS	15	0	15	L
643	Au ENRICHMENT IN SOIL	15	0	15	L
714	DIABASIC	15	0	15	L
745	MASSIVE	15	0	15	L
762	BRECCIA	15	0	15	L
789	STRING	15	0	15	L
791	STOCKWORK	15	0	15	L
796	MASSIVE	15	0	15	L
Total		1185	400	1585	

FINAL CALC-N MODELING RESULTS			
Probable Types of Ore Deposit	Rank (%)	Score (%)	
Hot Spring Au-Ag	93	7.70	
Cyprus Massive Sulfide	10	4.80	
Silica Carbonate Hg	8	4.70	
W-Skarn	5	4.40	
Low-Sulfide Au-Quartz	3	4.20	

MEYANDASHT 13-1Y

####	Hot Spring Au-Ag	Pos.Score	Neg.Score	Interval S	State
516	SILICIFICATION PROCESSES	400	10	410	YES L
88	RHYOLITE	75	75	150	YES R
828	As	45	75	120	YES L
830	Au	45	75	120	YES L
1072	PYRITE	30	75	105	YES L
247	TERTIARY	100	0	100	YES R
870	Sb	45	30	75	YES L
947	CHALCOPYRITE	30	10	40	YES L
266	UNSTABLE CONDITION	15	0	15	YES R
296	TRANSFORM FAULT	15	0	15	YES R
336	OCEANIC-CONTINENTAL SUBDUCTION	15	0	15	YES R
348	SUBDUCTION RELATED MAGMATISM	15	0	15	YES R
350	ARC RELATED MAGMATISM	15	0	15	YES R
423	FAULTED STRUCTURE	15	0	15	YES L
424	NORMAL FAULT STRUCTURE	15	0	15	YES L
429	NEAR SURFACE FRACTURES	15	0	15	YES L
651	LIMONITE IN BLEACHED COUNTRY R	15	0	15	YES L
652	HEMATITE IN BLEACHED COUNTRY R	15	0	15	YES L
665	LIMONITE	15	0	15	YES L
715	INEQUIGRANULAR TEXTURES	15	0	15	YES L
717	PORPHYRY	15	0	15	YES L
	Total	965	350	1315	

MEYANDASHT 13-1ND

####	Hot Spring Au-Ag	Pos.Score	Neg.Score	Interval S	State
1045	NATIVES GOLD	45	75	120	nd L
1079	REALGAR	45	30	75	nd L
875	Ta	30	30	60	nd L
7	FELSIC PLUTONIC SEQUENCE	25	25	50	nd R
8	FELSIC VOLCANIC SEQUENCE	25	25	50	nd R
318	ACTIVE CONTINENTAL MARGINE	15	0	15	nd R
	Total	185	185	370	

####	Sado Epithermal Veins	Pos. Score	Neg. Score	Interval S	State
1184	Sado Epithermal Veins	150	0	150	L
1185	Epithermal Quartz-Alunite Au	150	0	150	L
1223	Placer Au-PGE	150	0	150	L
829	Ag	30	75	105	L
837	Cu	30	75	105	L
996	GALENA	30	30	60	L
1097	SPHALERITE	30	30	60	L
277	STEEP NORMAL FAULT	15	0	15	L
286	DOMING	15	0	15	R
295	FAULTS INTERSECTIONS	15	0	15	R
301	SHALLOW SEATED	15	0	15	R
302	RING FRACTURE SYSTEM	15	0	15	R
303	DOMING RELATED RING FRACTURE S	15	0	15	R
304	CALDERA RELATED RING FRACTURE	15	0	15	R
327	OCEANIC PLATE MARGINE-ARC	15	0	15	R
334	OCEANIC-OCEANIC SUBDUCTION	15	0	15	R
408	EPIZONAL MAGMATISM	15	0	15	L
418	GEOTHERMAL ACTIVITY	15	0	15	L
419	VOLCANIC RELATED GEOTHERMAL AC	15	0	15	L
421	SHALLOW INTRUSIVE RELATED GEOT	15	0	15	L
528	ALBITE	15	0	15	L
533	ALUNITE (HYPOGENE)	15	0	15	L
553	KAOLINITE	15	0	15	L
554	MONTMORILLONITE	15	0	15	L
605	SURFACE AND NEAR SURFACE OXIDA	15	0	15	L
608	LATERITIZATION	15	0	15	L
609	ARGILLITIZATION	15	0	15	L
616	OXIDIZING LEACHING	15	0	15	L
623	HEMATITE GOSSAN	15	0	15	L
624	LIMONITE GOSSAN	15	0	15	L
648	JAROSITE IN BLEACHED COUNTRY R	15	0	15	L
649	ALUNITE IN BLEACHED COUNTRY RO	15	0	15	L
650	GOETHITE IN BLEACHED COUNTRY R	15	0	15	L
651	LIMONITE IN BLEACHED COUNTRY R	15	0	15	L
653	ARGILLITE IN BLEACHED COUNTRY	15	0	15	L
664	GOETHITE	15	0	15	L
683	ALUNITE	15	0	15	L
748	CAVITY FILLING	15	0	15	L
762	BRECCIA	15	0	15	L
791	STOCKWORK	15	0	15	L
803	PIPES BRECCIA	15	0	15	L
814	BANDED	15	0	15	L
821	REGULAR VIEN	15	0	15	L
826	VEIN LETS	15	0	15	L
Total		1125	210	1335	

MEYANDASHT 13-2Y

####	Cyprus Massive Sulfide	Pos.Score	Neg.Score	Interval S	State
488	FELDSPER DESTRUCTION PROCESSES	400	10	410	YES L
947	CHALCOPYRITE	45	75	120	YES L
516	SILICIFICATION PROCESSES	100	10	110	YES L
1072	PYRITE	30	75	105	YES L
77	BASALT	60	5	65	YES R
830	Au	30	30	60	YES L
266	UNSTABLE CONDITION	15	0	15	YES R
341	ARC RELATED	15	0	15	YES R
344	OROGENIC RELATED MAGMATISM	15	0	15	YES R
350	ARC RELATED MAGMATISM	15	0	15	YES R
423	FAULTED STRUCTURE	15	0	15	YES L
424	NORMAL FAULT STRUCTURE	15	0	15	YES L
560	EPIDOT	15	0	15	YES L
569	LIMONITE	15	0	15	YES L
665	LIMONITE	15	0	15	YES L
715	INEQUIGRANULAR TEXTURES	15	0	15	YES L
717	PORPHYRY	15	0	15	YES L
	Total	830	205	1035	

MEYANDASHT 13-2ND

####	Cyprus Massive Sulfide	Pos.Score	Neg.Score	Interval S	State
871	S	75	75	150	nd L
844	Fe	30	75	105	nd L
	Total	105	150	255	

MEYANDASHT 13-2N

####	Cyprus Massive Sulfide	Pos.Score	Neg.Score	Interval S	State
1177	Cyprus Massive Sulfide	150	0	150	L
837	Cu	45	75	120	L
886	Zn	45	75	120	L
514	CHLORITIZATION	100	10	110	L
2	OPHIOLITE SEQUENCE	50	50	100	R
228	OPHIOLITE	60	15	75	R
1097	SPHALERITE	45	30	75	R
836	Co	30	45	75	L
20	ULTRAMAFIC BODY	60	10	70	R
829	Ag	30	30	60	L
853	Mn	30	30	60	L
1077	PYRRHOTITE	30	10	40	L
47	DIABASE	30	5	35	R
164	CHERT	30	5	35	R
207	METASEDIMENTARY ROCKS	30	5	35	R
1032	MARCASITE	30	5	35	L
101	FLOWS	15	0	15	R
267	EXTENTIONAL REGIME	15	0	15	R
272	OCEANIC RIFT SYSTEM	15	0	15	R
277	STEEP NORMAL FAULT	15	0	15	R
278	GRABEN STRUCTURE	15	0	15	R
291	HIGH ANGLE NORMAL FAULT	15	0	15	R
353	BACK ARC RELATED MAGMATISM	15	0	15	R
369	SUBMARINE MAGMATISM	15	0	15	R
407	SHALLOW SEATED MAGMATISM	15	0	15	L
418	GEOTHERMAL ACTIVITY	15	0	15	L
425	WHOLE GRABEN STRUCTURE	15	0	15	L
541	BIOTITE	15	0	15	L
542	BUDDINGTONITE	15	0	15	L
544	CARBONATES	15	0	15	L
583	PYROPHYLLITIC	15	0	15	L
608	LATERITIZATION	15	0	15	L
612	RESIDUAL MECHANICAL ENRICHMENT	15	0	15	L
616	OXIDIZING LEACHING	15	0	15	L
624	LIMONITE GOSSAN	15	0	15	L
638	NATIVE GOLD IN PLACERS	15	0	15	L
643	Au ENRICHMENT IN SOIL	15	0	15	L
714	DIABASIC	15	0	15	L
745	MASSIVE	15	0	15	L
762	BRECCIA	15	0	15	L
789	STRING	15	0	15	L
791	STOCKWORK	15	0	15	L
796	MASSIVE	15	0	15	L
	Total	1200	400	1600	

MEYANDASHT 13-3Y

####	Silica Carbonate Hg	Pos.Score	Neg.Score	Interval S	State
516	SILICIFICATION PROCESSES	400	10	410	YES L
1072	PYRITE	30	75	105	YES L
247	TERTIARY	100	0	100	YES R
870	Sb	45	30	75	YES L
947	CHALCOPYRITE	30	30	60	YES L
132	SILTSTONE	45	10	55	YES R
293	TRUST FAULT	30	0	30	YES R
294	SUBDUCTION RELATED TRUST FAULT	30	0	30	YES R
266	UNSTABLE CONDITION	15	0	15	YES R
279	COMPRESSATIONAL REGIME	15	0	15	YES R
289	FAULT SYSTEM	15	0	15	YES R
298	FRACTURE SYSTEM	15	0	15	YES R
333	CONVERGENT PLATE BOUNDARY	15	0	15	YES R
423	FAULTED STRUCTURE	15	0	15	YES L
427	TRUST FAULT STRUCTURE	15	0	15	YES L
584	QUARTZ	15	0	15	YES L
	Total	830	155	985	

MEYANDASHT 13-3N

####	Silica Carbonate Hg	Pos.Score	Neg.Score	Interval S	State
1193	Silica Carbonate Hg	150	0	150	L
1194	Simple Sb	150	0	150	L
1046	NATIVES MERCURY	75	75	150	L
847	Hg	60	75	135	L
959	CINNABAR	60	75	135	L
1103	STIBNITE	45	30	75	L
996	GALENA	30	30	60	L
1097	SPHALERITE	30	30	60	L
137	GRAYWACKE	45	10	55	R
10	SEDIMENTARY SEQUENCE	25	25	50	R
833	B	30	10	40	L
837	Cu	30	10	40	L
886	Zn	30	10	40	L
928	BORNITE	30	10	40	L
337	OCEANIC-CONTINENTAL OBDUCTION	15	0	15	R
431	DEFORMED STRUCTURE	15	0	15	L
434	LOW GRADE METAMORPHISM	15	0	15	L
437	REGIONAL METAMORPHISM	15	0	15	L
559	DOLOMITE	15	0	15	L
792	STRINGER	15	0	15	L
821	REGULAR VIEN	15	0	15	L
826	VEIN LETS	15	0	15	L
	Total	910	390	1300	

MEYANDASHT 13-3ND

####	Silica Carbonate Hg	Pos.Score	Neg.Score	Interval S	State
206	SERPENTINITE	60	60	120	nd R
3	MAFIC PLUTONIC SEQUENCE	25	25	50	nd R
	Total	85	85	170	

MEYANDASHT 13-4Y

####	W-Skarn	Pos.Score	Neg.Score	Interval S	State
146	CALCAREOUS ROCKS	75	75	150	YES R
882	W	60	75	135	YES L
1086	SCHEALITE	60	75	135	YES L
854	Mo	30	75	105	YES L
828	As	30	30	60	YES L
834	Bi	30	30	60	YES L
1072	PYRITE	30	30	60	YES L
947	CHALCOPYRITE	30	5	35	YES L
	Total	345	395	740	

MEYANDASHT 13-4N

####	W-Skarn	Pos.Score	Neg.Score	Interval S	State
1152	W-Skarn	150	0	150	L
1153	Sn-Skarn	150	0	150	L
1162	Skarn-Pb-Zn	150	0	150	L
230	PRECAMBRIAN	40	100	140	R
233	PHANEROZOIC	40	100	140	R
869	Sn	30	75	105	L
831	Be	30	30	60	L
837	Cu	30	30	60	L
886	Zn	30	30	60	L
80	ALKALI BASALT	50	0	50	R
1028	MAGNESITE	30	10	40	L
558	DIOPSIDE	30	5	35	L
916	ARSENOPYRITE	30	5	35	L
928	BORNITE	30	5	35	L
1038	MOLYBDENITE	30	5	35	L
1077	PYRRHOTITE	30	5	35	L
1097	SPHALERITE	30	5	35	L
	Total	910	405	1315	

MEYANDASHT 13-4ND

####	W-Skarn	Pos.Score	Neg.Score	Interval S	State
54	PLUTONIC FELSIC BODY	75	75	150	nd R
	Total	75	75	150	

MEYANDASHT 13-5Y

####	Low-Sulfide Au-Quartz	Pos.Score	Neg.Score	Interval S	State
516	SILICIFICATION PROCESSES	400	10	410	YES L
828	As	60	75	135	YES L
830	Au	60	75	135	YES L
1072	PYRITE	60	75	135	YES L
947	CHALCOPYRITE	45	10	55	YES L
266	UNSTABLE CONDITION	15	0	15	YES R
279	COMPRESSORIAL REGIME	15	0	15	YES R
289	FAULT SYSTEM	15	0	15	YES R
290	NORMAL FAULT	15	0	15	YES R
298	FRACTURE SYSTEM	15	0	15	YES R
423	FAULTED STRUCTURE	15	0	15	YES L
424	NORMAL FAULT STRUCTURE	15	0	15	YES L
584	QUARTZ	15	0	15	YES L
Total		745	245	990	

MEYANDASHT 13-5ND

####	Low-Sulfide Au-Quartz	Pos.Score	Neg.Score	Interval S	State
1045	NATIVES GOLD	75	75	150	nd L
877	Te	15	5	20	nd L
318	ACTIVE CONTINENTAL MARGINE	15	0	15	nd R
Total		105	80	185	

MEYANDASHT 13-5N

####	Low-Sulfide Au-Quartz	Pos. Score	Neg. Score	Interval S	State
544	CARBONATES	200	20	220	L
1196	Kuroko Massive sulfide	150	0	150	L
1215	Low-Sulfide Au-Quartz	150	0	150	L
1216	Homestake Au	150	0	150	L
1223	Placer Au-PGE	150	0	150	L
227	GREEN STONE	75	75	150	R
829	Ag	60	75	135	L
487	EARLY ALBITIZATION	100	10	110	L
17	LOW GRADE METAMORPHIC SEQUENCE	50	50	100	R
207	METASEDIMENTARY ROCKS	75	10	85	R
863	Pb	45	30	75	L
137	GRAYWACKE	60	10	70	R
217	MAFIC METAVOLCANIC	60	10	70	R
916	ARSENOPYRITE	45	10	55	L
996	GALENA	45	10	55	L
886	Zn	30	10	40	L
164	CHERT	30	5	35	R
1077	PYRRHOTITE	30	0	30	L
281	ACCRETED MARGINE	15	0	15	R
434	LOW GRADE METAMORPHISM	15	0	15	L
528	ALBITE	15	0	15	L
559	DOLOMITE	15	0	15	L
588	SERICITE	15	0	15	L
594	TALC	15	0	15	L
611	MECHANICAL ENRICHMENT	15	0	15	L
612	RESIDUAL MECHANICAL ENRICHMENT	15	0	15	L
634	QUARTZ CHIPS IN RESIDUAL SOIL	15	0	15	L
643	Au ENRICHMENT IN SOIL	15	0	15	L
744	DESIMINATED	15	0	15	L
821	REGULAR VIEN	15	0	15	L
822	IRREGULAR VIEN	15	0	15	L
826	VEIN LETS	15	0	15	L
Total		1715	325	2040	

FINAL CALC-N MODELING RESULTS			
Probable Types of Ore Deposit	Rank (%)	Score (%)	
Basaltic Cu	80	2.80	
Sn-polymetallic-Viens	3	2.70	
Epithermal Mn	63	0.30	
Volcanic-Hosted Magnetite	88	0.00	
Skarn-Fe	10	-0.10	

ABBAS ABAD 14-1Y

####	Basaltic Cu	Pos.Score	Neg.Score	Interval S	State
1176	Basaltic Cu	150	0	150	YES L
837	Cu	60	75	135	YES L
490	POROPLITIC ALTERATION	100	10	110	YES L
247	TERTIARY	100	0	100	YES R
150	LIMESTONE	15	60	75	YES R
74	VOLCANIC MAFIC BODY	60	5	65	YES R
77	BASALT	60	5	65	YES R
947	CHALCOPYRITE	30	30	60	YES L
226	BRECCIA	45	5	50	YES R
4	MAFIC VOLCANIC SEQUENCE	25	25	50	YES R
93	TUFF	30	5	35	YES R
266	UNSTABLE CONDITION	15	0	15	YES R
601	ZEOLITE	15	0	15	YES L
652	HEMATITE IN BLEACHED COUNTRY R	15	0	15	YES L
705	AMYGDALOIDAL	15	0	15	YES L
717	PORPHYRY	15	0	15	YES L
719	OPHITIC	15	0	15	YES L
748	CAVITY FILLING	15	0	15	YES L
	Total	780	220	1000	

ABBAS ABAD 14-1ND

####	Basaltic Cu	Pos.Score	Neg.Score	Interval S	State
804	FLOW TOP BRECCIA	30	30	60	nd L
829	Ag	30	30	60	nd L
886	Zn	30	10	40	nd L
1072	PYRITE	30	10	40	nd L
	Total	120	80	200	

ABBAS ABAD 14-1N

####	Basaltic Cu	Pos. Score	Neg. Score	Interval S	State
1179	Volcanogenic-Mn	150	0	150	L
1201	Sediment Hosted Cu	150	0	150	L
1044	NATIVES COPPER	60	75	135	L
1047	NATIVES SILVER	30	75	105	L
232	PROTROZOIC	100	0	100	R
244	TRIASSIC	100	0	100	R
245	JURASSIC	100	0	100	R
946	CHALCOCITE	45	30	75	L
140	RED BED	45	5	50	R
11	MARINE SEQUENCE	25	25	50	R
928	BORNITE	30	10	40	L
143	TUFACEOUS SANDSTONE	30	5	35	R
833	B	15	5	20	L
836	Co	15	5	20	L
267	EXTENTIONAL REGIME	15	0	15	R
268	RIFT SYSTEM	15	0	15	R
269	CONTINENTAL RIFT SYSTEM	15	0	15	R
270	MARGINAL CONTINENTAL RIFT SYST	15	0	15	R
271	INTRACONTINENTAL RIFT SYSTEM	15	0	15	R
434	LOW GRADE METAMORPHISM	15	0	15	L
542	BUDINGTONITE	15	0	15	L
554	MONTMORILLONITE	15	0	15	L
559	DOLOMITE	15	0	15	L
563	GREISENIZATION	15	0	15	L
571	MICA	15	0	15	L
608	LATERITIZATION	15	0	15	L
616	OXIDIZING LEACHING	15	0	15	L
Total		1090	235	1325	

ABBAS ABAD 14-2Y

####	Sn-polymetallic-Viens	Pos. Score	Neg. Score	Interval S	State
88	RHYOLITE	75	75	150	YES R
947	CHALCOPYRITE	45	75	120	YES L
247	TERTIARY	100	0	100	YES R
870	Sb	30	30	60	YES L
95	TUFF-BRECCIA	45	10	55	YES R
834	Bi	45	10	55	YES L
1086	SCHEALITE	45	10	55	YES L
99	VOLCANIC BRECCIA	30	10	40	YES R
1029	MAGNETITE	30	10	40	YES L
77	BASALT	30	5	35	YES R
266	UNSTABLE CONDITION	15	0	15	YES R
284	OROGENIC	15	0	15	YES R
317	CONTINENTAL PLATE MARGINE	15	0	15	YES R
333	CONVERGENT PLATE BOUNDARY	15	0	15	YES R
336	OCEANIC-CONTINENTAL SUBDUCTION	15	0	15	YES R
341	ARC RELATED	15	0	15	YES R
344	OROGENIC RELATED MAGMATISM	15	0	15	YES R
348	SUBDUCTION RELATED MAGMATISM	15	0	15	YES R
350	ARC RELATED MAGMATISM	15	0	15	YES R
423	FAULTED STRUCTURE	15	0	15	YES L
429	NEAR SURFACE FRACTURES	15	0	15	YES L
547	CHLORITE	15	0	15	YES L
588	SERICITE	15	0	15	YES L
651	LIMONITE IN BLEACHED COUNTRY R	15	0	15	YES L
715	INEQUIGRANULAR TEXTURES	15	0	15	YES L
717	PORPHYRY	15	0	15	YES L
Total		715	235	950	

ABBAS ABAD 14-2N

####	Sn-polymetallic-Viens	Pos.Score	Neg.Score	Interval S	State
1165	Polymetallic-Replacement	150	0	150	L
1168	Porphyry-Sn	150	0	150	L
1169	Sn-polymetallic-Viens	150	0	150	L
869	Sn	60	75	135	L
943	CASSITRATE	60	75	135	L
1097	SPHALERITE	45	75	120	L
863	Pb	30	75	105	L
1077	PYRRHOTITE	30	75	105	L
7	FELSIC PLUTONIC SEQUENCE	50	50	100	R
882	W	45	30	75	L
828	As	30	30	60	L
833	B	30	30	60	L
916	ARSENOPYRITE	30	30	60	L
926	BISMUTHINITE	30	30	60	L
996	GALENA	30	30	60	L
1045	NATIVES GOLD	30	30	60	L
1129	WOLFRAMITE	30	30	60	L
98	IGNIMBRITE	45	10	55	R
914	ARGENTITE	30	10	40	L
1038	MOLYBDENITE	30	10	40	L
164	CHERT	30	5	35	R
212	SLATE	30	5	35	R
334	OCEANIC-OCEANIC SUBDUCTION	15	0	15	R
354	CONTINENTAL CRUST PLUTONIC MAG	15	0	15	R
379	X=IGNEOUS ROCK Y=CLASTIC SED.+	15	0	15	L
596	TOURMALINE	15	0	15	L
605	SURFACE AND NEAR SURFACE OXIDA	15	0	15	L
616	OXIDIZING LEACHING	15	0	15	L
821	REGULAR VIEN	15	0	15	L
Total		1250	705	1955	

ABBAS ABAD 14-2ND

####	Sn-polymetallic-Viens	Pos.Score	Neg.Score	Interval S	State
829	Ag	30	75	105	nd L
886	Zn	30	75	105	nd L
1072	PYRITE	30	75	105	nd L
845	F	15	5	20	nd L
Total		105	230	335	

ABBAS ABAD 14-3Y

####	Epithermal Mn	Pos. Score	Neg. Score	Interval S	State
247	TERTIARY	100	10	110	YES R
93	TUFF	60	45	105	YES R
853	Mn	30	75	105	YES L
921	BARITE	30	75	105	YES L
1131	ZEOLITE	30	75	105	YES L
99	VOLCANIC BRECCIA	60	10	70	YES R
88	RHYOLITE	45	10	55	YES R
8	FELSIC VOLCANIC SEQUENCE	25	25	50	YES R
100	AGGLOMERATE	30	5	35	YES R
266	UNSTABLE CONDITION	15	0	15	YES R
289	FAULT SYSTEM	15	0	15	YES R
295	FAULTS INTERSECTIONS	15	0	15	YES R
298	FRACTURE SYSTEM	15	0	15	YES R
364	SUBAREAL MAGMATISM	15	0	15	YES R
396	PRIFERAL EXTRUSIVE	15	0	15	YES L
398	PRIFERAL SUBVOLCANIC	15	0	15	YES L
423	FAULTED STRUCTURE	15	0	15	YES L
429	NEAR SURFACE FRACTURES	15	0	15	YES L
651	LIMONITE IN BLEACHED COUNTRY R	15	0	15	YES L
652	HEMATITE IN BLEACHED COUNTRY R	15	0	15	YES L
715	INEQUIGRANULAR TEXTURES	15	0	15	YES L
717	PORPHYRY	15	0	15	YES L
	Total	605	330	935	

ABBAS ABAD 14-3ND

####	Epithermal Mn	Pos. Score	Neg. Score	Interval S	State
844	Fe	30	75	105	nd L
862	P	45	30	75	nd L
	Total	75	105	180	

ABBAS ABAD 14-3N

####	Epithermal Mn	Pos. Score	Neg. Score	Interval S	State
1187	Epithermal Mn	150	0	150	L
1031	MANGANOCALCSITE	60	75	135	L
1080	RHODOCHROSITE	60	75	135	L
500	KAOLINITIC	100	10	110	L
1181	Hot Spring Au-Ag	100	10	110	L
1182	Creed Epithermal Veins	100	10	110	L
1183	Comstock Epithermal Veins	100	10	110	L
1184	Sado Epithermal Veins	100	10	110	L
1185	Epithermal Quartz-Alunite Au	100	10	110	L
7	FELSIC PLUTONIC SEQUENCE	25	25	50	R
882	W	30	10	40	L
302	RING FRACTURE SYSTEM	15	0	15	R
303	DOMING RELATED RING FRACTURE S	15	0	15	R
304	CALDERA RELATED RING FRACTURE	15	0	15	R
394	CENTRAL SUBAERIAL RHYOLITIC	15	0	15	L
553	KAOLINITE	15	0	15	L
554	MONTMORILLONITE	15	0	15	L
555	SMECTITE	15	0	15	L
605	SURFACE AND NEAR SURFACE OXIDA	15	0	15	L
616	OXIDIZING LEACHING	15	0	15	L
650	GOETHITE IN BLEACHED COUNTRY R	15	0	15	L
655	Mn-OXIDES STAINS	15	0	15	L
657	PYROLUSITE STAINS	15	0	15	L
679	PYROLUSITE	15	0	15	L
680	PSILOMELANE	15	0	15	L
744	DESIMINATED	15	0	15	L
756	NODULAR	15	0	15	L
759	KIDNEY FORM	15	0	15	L
789	STRING	15	0	15	L
791	STOCKWORK	15	0	15	L
792	STRINGER	15	0	15	L
794	COARSE GRAINED DESIMINATED	15	0	15	L
821	REGULAR VIEN	15	0	15	L
Total		1255	245	1500	

ABBAS ABAD 14-4Y

####	Volcanic-Hosted Magnetite	Pos. Score	Neg. Score	Interval S	State
87	FELSIC VOLCANIC BODY	75	45	120	YES R
74	VOLCANIC MAFIC BODY	60	60	120	YES R
1029	MAGNETITE	60	0	60	YES L
8	FELSIC VOLCANIC SEQUENCE	25	25	50	YES R
834	Bi	30	10	40	YES L
837	Cu	30	10	40	YES L
266	UNSTABLE CONDITION	15	0	15	YES R
317	CONTINENTAL PLATE MARGINE	15	0	15	YES R
318	ACTIVE CONTINENTAL MARGINE	15	0	15	YES R
336	OCEANIC-CONTINENTAL SUBDUCTION	15	0	15	YES R
341	ARC RELATED	15	0	15	YES R
348	SUBDUCTION RELATED MAGMATISM	15	0	15	YES R
541	BIOTITE	15	0	15	YES R
705	AMYGDALOIDAL	15	0	15	YES L
715	INEQUIGRANULAR TEXTURES	15	0	15	YES L
717	PORPHYRY	15	0	15	YES L
Total		430	150	580	

ABBAS ABAD 14-4N

####	Volcanic-Hosted Magnetite	Pos.Score	Neg.Score	Interval S	State
1189	Volcanic-Hosted Magnetite	150	0	150	L
1214	OOLITIC IRONSTONE	150	0	150	L
475	SKARNIZATION METASOMATIC PROCES	100	10	110	L
836	Co	30	75	105	L
7	FELSIC PLUTONIC SEQUENCE	25	25	50	R
478	TOURMALINIZATION REPLACEMENT P	30	10	40	L
832	Ba	30	10	40	L
54	PLUTONIC FELSIC BODY	30	5	35	R
913	APATITE	30	0	30	L
354	CONTINENTAL CRUST PLUTONIC MAG	15	0	15	R
355	MORE EVOLVED SHALLOW SEATED IN	15	0	15	R
381	X=SUBVOLCANIC PLUTONS Y=CLASTI	15	0	15	L
449	CONTINENTAL SEDIMENTARY ENVIRO	15	0	15	L
525	ACTINOLITE	15	0	15	L
528	ALBITE	15	0	15	L
529	K-FELDSPAR	15	0	15	L
530	MICROCLINE	15	0	15	L
558	DIOPSIDE	15	0	15	L
584	QUARTZ	15	0	15	L
745	MASSIVE	15	0	15	L
751	AMYGDULE FILLINGS	15	0	15	L
760	GRAIN	15	0	15	L
794	COARSE GRAINED DESIMINATED	15	0	15	L
796	MASSIVE	15	0	15	L
809	CONCORDANT LAYERED	15	0	15	L
810	DISCORDANT LAYERED	15	0	15	L
	Total	830	135	965	

ABBAS ABAD 14-4ND

####	Volcanic-Hosted Magnetite	Pos.Score	Neg.Score	Interval S	State
844	Fe	60	75	135	nd L
862	P	60	75	135	nd L
889	MAGNETIC-HIGH	100	10	110	nd L
881	V	60	30	90	nd L
845	F	30	10	40	nd L
	Total	310	200	510	

MEYANDASHT , 1/50000 SHEET , ANOMALY NO:A16

FINAL CALC-N MODELING RESULTS		
Probable Types of Ore Deposit	Rank (%)	Score (%)
Basaltic Cu	95	11.40
Silica Carbonate Hg	8	4.00
Sediment Hosted Cu	70	3.90
Skarn-Fe	5	3.60
Besshi-Massive Sulfide	18	2.50

MEYANDASHT 16-1Y

####	Basaltic Cu	Pos.Score	Neg.Score	Interval S	State
1176	Basaltic Cu	150	0	150	YES L
837	Cu	60	75	135	YES L
247	TERTIARY	100	0	100	YES R
150	LIMESTONE	15	60	75	YES R
74	VOLCANIC MAFIC BODY	60	5	65	YES R
77	BASALT	60	5	65	YES R
829	Ag	30	30	60	YES L
226	BRECCIA	45	5	50	YES R
4	MAFIC VOLCANIC SEQUENCE	25	25	50	YES R
11	MARINE SEQUENCE	25	25	50	YES R
886	Zn	30	10	40	YES L
1072	PYRITE	30	10	40	YES L
93	TUFF	30	5	35	YES R
143	TUFACEOUS SANDSTONE	30	5	35	YES R
266	UNSTABLE CONDITION	15	0	15	YES R
705	AMYGDALOIDAL	15	0	15	YES L
717	PORPHYRY	15	0	15	YES L
719	OPHITIC	15	0	15	YES L
	Total	750	260	1010	

MEYANDASHT 16-1ND

####	Basaltic Cu	Pos.Score	Neg.Score	Interval S	State
1044	NATIVES COPPER	60	75	135	nd L
490	POROPLITIC ALTERATION	100	10	110	nd L
1047	NATIVES SILVER	30	75	105	nd L
804	FLOW TOP BRECCIA	30	30	60	nd L
140	RED BED	45	5	50	nd R
833	B	15	5	20	nd L
836	Co	15	5	20	nd L
	Total	295	205	500	

MEYANDASHT 16-1N

####	Basaltic Cu	Pos. Score	Neg. Score	Interval S	State
1179	Volcanogenic-Mn	150	0	150	L
1201	Sediment Hosted Cu	150	0	150	L
232	PROTROZOIC	100	0	100	R
244	TRIASSIC	100	0	100	R
245	JURASSIC	100	0	100	R
946	CHALCOCITE	45	30	75	L
947	CHALCOPYRITE	30	30	60	L
928	BORNITE	30	10	40	L
267	EXTENTIONAL REGIME	15	0	15	R
268	RIFT SYSTEM	15	0	15	R
269	CONTINENTAL RIFT SYSTEM	15	0	15	R
270	MARGINAL CONTINENTAL RIFT SYST	15	0	15	R
271	INTRACONTINENTAL RIFT SYSTEM	15	0	15	R
434	LOW GRADE METAMORPHISM	15	0	15	L
542	BUDDINGTONITE	15	0	15	L
554	MONTMORILLONITE	15	0	15	L
559	DOLOMITE	15	0	15	L
563	GREISENIZATION	15	0	15	L
571	MICA	15	0	15	L
601	ZEOLITE	15	0	15	L
608	LATERITIZATION	15	0	15	L
616	OXIDIZING LEACHING	15	0	15	L
652	HEMATITE IN BLEACHED COUNTRY R	15	0	15	L
748	CAVITY FILLING	15	0	15	L
	Total	945	70	1015	

MEYANDASHT 16-2Y

####	Silica Carbonate Hg	Pos. Score	Neg. Score	Interval S	State
516	SILICIFICATION PROCESSES	400	10	410	YES L
1072	PYRITE	30	75	105	YES L
247	TERTIARY	100	0	100	YES R
10	SEDIMENTARY SEQUENCE	25	25	50	YES R
837	Cu	30	10	40	YES L
886	Zn	30	10	40	YES L
266	UNSTABLE CONDITION	15	0	15	YES R
279	COMPRESSATIONAL REGIME	15	0	15	YES R
289	FAULT SYSTEM	15	0	15	YES R
423	FAULTED STRUCTURE	15	0	15	YES L
	Total	675	130	805	

MEYANDASHT 16-2ND

####	Silica Carbonate Hg	Pos. Score	Neg. Score	Interval S	State
847	Hg	60	75	135	nd L
833	B	30	10	40	nd L
	Total	90	85	175	

MEYANDASHT 16-2N

####	Silica Carbonate Hg	Pos. Score	Neg. Score	Interval S	State
1193	Silica Carbonate Hg	150	0	150	L
1194	Simple Sb	150	0	150	L
1046	NATIVES MERCURY	75	75	150	L
959	CINNABAR	60	75	135	L
206	SERPENTINITE	60	60	120	R
870	Sb	45	30	75	L
1103	STIBNITE	45	30	75	L
947	CHALCOPYRITE	30	30	60	L
996	GALENA	30	30	60	L
1097	SPHALERITE	30	30	60	L
132	SILTSTONE	45	10	55	R
137	GRAYWACKE	45	10	55	R
3	MAFIC PLUTONIC SEQUENCE	25	25	50	R
928	BORNITE	30	10	40	L
293	TRUST FAULT	30	0	30	R
294	SUBDUCTION RELATED TRUST FAULT	30	0	30	R
298	FRACTURE SYSTEM	15	0	15	R
333	CONVERGENT PLATE BOUNDARY	15	0	15	R
337	OCEANIC-CONTINENTAL OBDUCTION	15	0	15	R
427	TRUST FAULT STRUCTURE	15	0	15	L
431	DEFORMED STRUCTURE	15	0	15	L
434	LOW GRADE METAMORPHISM	15	0	15	L
437	REGIONAL METAMORPHISM	15	0	15	L
559	DOLOMITE	15	0	15	L
584	QUARTZ	15	0	15	L
792	STRINGER	15	0	15	L
821	REGULAR VIEN	15	0	15	L
826	VEIN LETS	15	0	15	L
Total		1060	415	1475	

MEYANDASHT 16-3Y

####	Sediment Hosted Cu	Pos. Score	Neg. Score	Interval S	State
1176	Basaltic Cu	150	0	150	YES L
837	Cu	60	75	135	YES L
136	SANDSTONE	45	75	120	YES R
829	Ag	45	75	120	YES L
10	SEDIMENTARY SEQUENCE	50	50	100	YES R
1072	PYRITE	30	30	60	YES L
124	SHALE	45	10	55	YES R
886	Zn	30	10	40	YES L
266	UNSTABLE CONDITION	15	0	15	YES R
289	FAULT SYSTEM	15	0	15	YES R
Total		485	325	810	

MEYANDASHT 16-3N

####	Sediment Hosted Cu	Pos. Score	Neg. Score	Interval S	State
1201	Sediment Hosted Cu	150	0	150	L
1202	Sandstone U	150	0	150	L
1208	Kipushi Cu-Pb-Zn	150	0	150	L
232	PROTROZOIC	100	0	100	R
233	PHANEROZOIC	100	0	100	R
946	CHALCOCITE	60	30	90	L
928	BORNITE	45	30	75	L
801	STRATIFORM	30	30	60	L
129	GREEN SHALE	45	5	50	R
854	Mo	30	10	40	L
863	Pb	30	10	40	R
267	EXTENTIONAL REGIME	15	0	15	R
269	CONTINENTAL RIFT SYSTEM	15	0	15	R
271	INTRACONTINENTAL RIFT SYSTEM	15	0	15	R
275	FAILED RIFT SYSTEM	15	0	15	R
277	STEEP NORMAL FAULT	15	0	15	R
291	HIGH ANGLE NORMAL FAULT	15	0	15	R
322	PASSIVE CONTINENTAL MARGINE	15	0	15	L
439	EPICONTINENTAL SEDIMENTARY ENV	15	0	15	L
606	SURFACE AND NEAR SURFACE REDUC	15	0	15	L
617	REDUCING LEACHING	15	0	15	L
620	WEATHERING PRODUCTS EXIST	15	0	15	L
661	SUPERGENE ENRICHMENT MINERALS	15	0	15	L
676	CHALCOCITE	15	0	15	L
733	VERY FINE GRAINE CLASTIC	15	0	15	L
734	FINE GRAINE CLASTIC	15	0	15	L
735	MEDIUM GRAINE CLASTIC	15	0	15	L
736	COARSE GRAINE CLASTIC	15	0	15	L
744	DESIMINATED	15	0	15	L
785	COLLOFORM	15	0	15	L
	Total	1175	115	1290	

MEYANDASHT 16-3ND

####	Sediment Hosted Cu	Pos. Score	Neg. Score	Interval S	State
140	RED BED	75	75	150	nd R
839	C (Organic)	75	75	150	nd L
880	U	30	30	60	nd L
1047	NATIVES SILVER	30	30	60	nd L
881	V	30	15	45	nd L
836	Co	15	5	20	nd L
848	Ga	15	5	20	nd L
	Total	270	235	505	

MEYANDASHT 16-4Y

####	Skarn-Fe	Pos.Score	Neg.Score	Interval S	State
886	Zn	60	75	135	YES L
1029	MAGNETITE	60	75	135	YES L
837	Cu	30	30	60	YES L
1072	PYRITE	30	30	60	YES L
266	UNSTABLE CONDITION	15	0	15	YES R
560	EPIDOT	15	0	15	YES L
717	PORPHYRY	15	0	15	YES L
	Total	225	210	435	

MEYANDASHT 16-4N

####	Skarn-Fe	Pos.Score	Neg.Score	Interval S	State
1163	Skarn-Fe	150	0	150	L
147	CARBONATE ROCKS	75	75	150	R
54	PLUTONIC FELSIC BODY	75	45	120	R
475	SKARNIZATION METASOMATIC PROCE	100	10	110	L
830	Au	30	75	105	L
889	MAGNETIC-HIGH	25	50	75	L
947	CHALCOPYRITE	30	30	60	L
1077	PYRRHOTITE	30	30	60	L
5	INTERMEDIATE PLUTONIC SEQUENCE	25	25	50	R
7	FELSIC PLUTONIC SEQUENCE	25	25	50	R
107	DIABASE	30	5	35	R
268	RIFT SYSTEM	15	0	15	R
270	MARGINAL CONTINENTAL RIFT SYST	15	0	15	R
283	UPLIFT	15	0	15	R
284	OROGENIC	15	0	15	R
317	CONTINENTAL PLATE MARGINE	15	0	15	R
318	ACTIVE CONTINENTAL MARGINE	15	0	15	R
326	OCEANIC PLATE MARGINE	15	0	15	R
327	OCEANIC PLATE MARGINE-ARC	15	0	15	R
331	CONTINENTAL DIVERGENT BOUNDARY	15	0	15	R
334	OCEANIC-OCEANIC SUBDUCTION	15	0	15	R
336	OCEANIC-CONTINENTAL SUBDUCTION	15	0	15	R
341	ARC RELATED	15	0	15	R
345	RIFT RELATED MAGMATISM	15	0	15	R
348	SUBDUCTION RELATED MAGMATISM	15	0	15	R
350	ARC RELATED MAGMATISM	15	0	15	R
354	CONTINENTAL CRUST PLUTONIC MAG	15	0	15	R
380	X=FELSIC PLUTON Y=MEUGEOSYNCLI	15	0	15	L
385	X=SMALL IGNEOUS INTRUSIVE Y=MI	15	0	15	L
558	DIOPSIDE	15	0	15	L
564	GROSSULAR	15	0	15	L
605	SURFACE AND NEAR SURFACE OXIDA	15	0	15	L
630	MAGNETITE IN RESIDUAL SOIL	15	0	15	L
715	INEQUIGRANULAR TEXTURES	15	0	15	L
725	GRANOBLASTIC	15	0	15	L
730	HORNFELSIC	15	0	15	L
745	MASSIVE	15	0	15	L
	Total	985	370	1355	

ازمان زمین شناسی
دانشگاه کشاورزی

MEYANDASHT 16-4ND

####	Volcanic-Hosted Magnetite	Pos.Score	Neg.Score	Interval S	State
844	Fe	60	75	135	nd L
862	P	60	75	135	nd L
889	MAGNETIC-HIGH	100	10	110	nd L
881	V	60	30	90	nd L
845	F	30	10	40	nd L
	Total	310	200	510	

MEYANDASHT 16-5Y

####	Besshi-Massive Sulfide	Pos.Score	Neg.Score	Interval S	State
837	Cu	45	75	120	YES L
886	Zn	45	75	120	YES L
1072	PYRITE	45	75	120	YES L
829	Ag	30	75	105	YES L
93	TUFF	75	10	85	YES R
136	SANDSTONE	75	5	80	YES R
124	SHALE	60	5	65	YES R
1029	MAGNETITE	30	30	60	YES L
226	BRECCIA	45	5	50	YES R
4	MAFIC VOLCANIC SEQUENCE	25	25	50	YES R
11	MARINE SEQUENCE	25	25	50	YES R
266	UNSTABLE CONDITION	15	0	15	YES R
423	FAULTED STRUCTURE	15	0	15	YES L
424	NORMAL FAULT STRUCTURE	15	0	15	YES L
	Total	545	405	950	

MEYANDASHT 16-5ND

####	Besshi-Massive Sulfide	Pos.Score	Neg.Score	Interval S	State
836	Co	30	30	60	nd L
140	RED BED	45	5	50	nd R
835	Cr	30	10	40	nd L
855	Ni	30	10	40	nd L
	Total	135	55	190	

MEYANDASHT 16-5N

####	Besshi-Massive Sulfide	Pos. Score	Neg. Score	Interval S	State
1178	Besshi-Massive Sulfide	150	0	150	L
947	CHALCOPYRITE	45	75	120	L
1097	SPHALERITE	45	75	120	L
514	CHLORITIZATION	100	10	110	L
233	PHANEROZOIC	100	0	100	R
1077	PYRRHOTITE	45	30	75	L
830	Au	30	30	60	L
1115	TETRAHDERITE	45	10	55	L
164	CHERT	45	5	50	R
928	BORNITE	30	10	40	L
996	GALENA	30	10	40	L
963	COBALTITE	30	5	35	L
1038	MOLYBDENITE	30	5	35	L
1101	STANNITE	30	5	35	L
431	DEFORMED STRUCTURE	30	0	30	L
267	EXTENTIONAL REGIME	15	0	15	R
268	RIFT SYSTEM	15	0	15	R
272	OCEANIC RIFT SYSTEM	15	0	15	R
273	MARGINAL OCEANIC RIFT SYSTEM	15	0	15	R
315	RIFTED BASIN (RIDGE)	15	0	15	R
332	OCEANIC DIVERGENT BOUNDARY-RIF	15	0	15	R
341	ARC RELATED	15	0	15	R
345	RIFT RELATED MAGMATISM	15	0	15	R
353	BACK ARC RELATED MAGMATISM	15	0	15	R
369	SUBMARINE MAGMATISM	15	0	15	R
418	GEOTHERMAL ACTIVITY	15	0	15	L
544	CARBONATES	15	0	15	L
608	LATERITIZATION	15	0	15	L
622	Fe-RICH GOSSAN	15	0	15	L
734	FINE GRAINE CLASTIC	15	0	15	L
735	MEDIUM GRAINE CLASTIC	15	0	15	L
745	MASSIVE	15	0	15	L
750	BRECCIA FILLINGS	15	0	15	L
762	BRECCIA	15	0	15	L
791	STOCKWORK	15	0	15	L
792	STRINGER	15	0	15	L
821	REGULAR VIEN	15	0	15	L
Total		1115	270	1385	

فرمای شناسنامه‌ای

مناطق آنومالی

(جداول ۸-۲)

Geochemical Anomalous Samples:				Anomaly No :			
Sample No.	Anomaly	Raw Data	USRT	El	IPN		
59	C(1)	1400	SLIM-SS-VOLACO-VOLSAT	6.09	14.9		
59	Tl(1)	4800	SLIM-SS-VOLACO-VOLSAT	7.16	14.9		
60	C(2)	1450	SS-VOLACO-VOLCLS-VOLSAT	4.39	1.93		
61	As(1)	37.03	SS-VOLCLS-VOLSAT	6.28	14.29		

Heavy Mineral Samples Taken From Anomalous Area							
No.	No.	No.	No.	No.	No.	No.	No.
Magnetite	AA-59-H	AA-61-H					
Hematite	1346.15	1903.65					
Ilmenite	390.56	552.30					
Chromite	0.00	0.01					
Garnet	0.00	0.00					
Pyroxene	74.25	315.00					
Amphibole	74.25	0.01					
Biotite	0.00	0.00					
Tourmaline	0.00	0.00					
Fayalite oxide	12.38	175.00					
Schreiberite	0.01	0.00					
Zircon	74.25	85.63					
Apatite	30.94	35.00					
Rutile	16.50	23.33					
Chalcocyanite	0.00	0.00					
Barite	0.00	78.75					
Anatasite	0.00	0.00					
Sphene	7.22	0.01					
Andalusite	0.00	0.88					
Celestite	0.00	0.00					
Epidote	606.38	980.00					
Leucocorene	0.62	0.00					
Sillimanite	0.00	0.00					
Titanomagnetite	0.00	0.00					
Smithsonite	0.00	0.00					
Malachite	0.00	0.00					
Staurolite	0.00	0.00					
Oligistite	128.70	0.00					
Martite	0.00	0.00					
Spinel	259.88	0.01					
Oxipent	0.00	0.00					
Kyanite	0.00	0.00					
Corundum	0.00	0.00					
Azurite	0.00	0.00					
Dioptase	346.50	490.00					
Altered minerals	37.13	11.67					
Olivine	0.00	0.00					
Calcite	5.59	0.00					

Airborne Geoph.: Shallow Magnetic Bodies: Graph. Faults:

Alteration:	wigj. O	Silicification	Propilitic	Argilic	Ox-Carbonate	Listv.	Chloritization	Potassic
Fault:	Fracture:	Limonite	Hematite	Gelelite	Siderite	Grazen	Sencitization	Phelic

Weathering : Gossan : Other :							
Mineralized Samples Taken From Anomalous Area :							
Variables	No.	No.	No.	No.	No.	No.	No.
Au (ppb)	1.7	1					
As (ppm)	22.4						
Sb (ppm)	0.5						
Bi (ppm)	0.23						
Hg (ppm)	0.05						
W (ppm)	0						
Mo (ppm)	0						
Cu (ppm)	13						
Fe (ppm)	3.9						
Ag (ppm)	0						
Zn (ppm)	59						

XRD Samples Taken From Anomalous Area :	
Sample NO	Description
AA 61-A	Calcite + Quartz + (Na,K) Feldspar + Clay Minerals + Hematite (Minor)

Observed Rock Types , Minerals And Fillings In Anomaly Checking :

Rock Types	
Mega Porphyritic Andesite	Andesite With Malachite Filling
Limestone	Granodiorite
Minerals	
Malachite	Copper Silicates
■	Silicate
Silic	Opal
Spinel	Cassiterite
Oxipent	Jasp
Kyanite	Carbon
Corundum	Quartz
Azurite	Cinnabar
Dioptase	Green Augite
Altered minerals	Malachite
Light minerals	Silic vein
Olivine	Malachite
Calcite	Malachite

Sheet 1/50.000:

Abas abaid

Anomaly No.: A.2

Geochemical Anomalous Samples:

Sample No.	Raw Data	USRT	El	IPN
127	C(1)	2400	ULT	10.43
128	C(1)	1800	O	7.83
134	C(2)	960	SS-ULT-VOLCLS	4.17
134	N(2)	700	SS-ULT-VOLCLS	11.29
135	N(1)	510	ULT-VOLCLS	14.9
			8.23	

Heavy Mineral Samples Taken From Anomalous Area:

No.	No.	No.	No.	No.	No.	No.	No.	No.	No.
AA-127-H	AA-128-H	AA-134-DH	AA-134-H	AA-135-H	AA-136-H				
67133	1212-12	2348-27	1692-13	828-50	2578-49				
Hematite		78-78	368-20	841-60	115-72				
Ilmenite	0.00	0.00	0.00	0.00	0.00	0.00	0.00	0.00	0.00
Chromite	0.00	0.00	0.00	0.00	0.00	0.00	0.00	0.00	0.00
Garnet	0.00	0.00	0.01	0.00	0.80	0.01			
Pyroxene	52-20	45-50	210-00	480-00	198-00	128-33			
Amphibole	30-60	22-75	0.01	0.00	0.00	0.00	0.00	0.00	0.00
Biotite	0.00	0.00	0.00	0.00	0.00	0.00	0.00	0.00	0.00
Tourmaline	0.01	0.01	0.00	0.00	0.00	0.00	0.00	0.00	0.00
Pyrite oxide	0.00	37-92	0.01	0.01	0.01	0.01	0.00	0.00	0.00
Scheelite	0.00	0.00	0.00	0.00	0.00	0.00	0.00	0.00	0.00
Zircon	2.70	4.88	75.00	45.00	9.00	70.00			
Apatite	0.01	3.25	40.00	40.00	24.00	70.00			
Rutile	2.40	4.33	26.67	40.00	16.00	46.67			
Chalcocite	0.00	0.00	0.00	0.00	0.00	0.00			
Banite	13.50	34.13	75.00	30.00	63.00	52.50			
Anatase	0.00	0.00	0.00	0.01	0.01	0.00			
Sphene	0.01	0.01	1.17	0.00	7.00	0.01			
Andalusite	0.01	0.01	0.00	0.00	0.00	0.00			
Celsianite	2.40	4.33	0.01	40.00	0.00	0.00			
Epidote	44.10	79.63	735.00	1120.00	616.00	1646.94			
Leucocrocoite	0.00	0.00	0.00	10.00	0.01	11.67			
Sillimanite	1.80	3.25	0.00	0.00	0.00	0.00			
Titanomagnetite	0.00	0.00	0.00	0.00	0.00	0.00			
Smithsonite	0.00	0.01	0.00	0.00	16.00	0.00			
Makassite	0.00	0.00	0.00	0.00	0.00	0.00			
Silurite	0.00	0.00	0.00	0.00	0.00	0.00			
Oligiste	0.00	0.00	0.00	0.00	0.00	0.00			
Martite	0.00	0.00	0.00	0.00	0.00	0.00			
Spinel	44.10	79.63	0.00	280.00	0.00	0.00			
Opimite	0.00	0.00	0.00	0.00	0.00	0.00			
Kyanite	0.00	0.00	0.00	0.00	0.00	0.00			
Conunitum	0.00	0.00	0.00	0.00	0.00	0.00			
Axonite	0.00	0.00	0.00	0.00	0.00	0.00			
Dioptaz	0.00	0.00	0.00	0.00	0.00	0.00			
Altered minerals	95.40	237.25	540.00	660.00	480.00	888.67			
Light minerals	15.60	2.17	13.33	26.67	100.00	23.33			
Oliven	27.72	50.05	0.00	0.00	363.00	0.00			
Calcite	0.00	0.00	0.00	0.00	0.00	0.06			

Airborne Geoph.: Shallow Magnetic Bodies:

Geoph. Faults:	<input type="checkbox"/>
----------------	--------------------------

Alteration : Silicification Propylitic Argillic Oz.Carbonate Listv. Chloritization

Fault:	<input type="checkbox"/>
Fracture:	<input type="checkbox"/>
Limonite	<input type="checkbox"/>
Hematite	<input type="checkbox"/>
Goethite	<input type="checkbox"/>
Siderite	<input type="checkbox"/>
Grauzon	<input type="checkbox"/>
Sericitization	<input type="checkbox"/>

Weathering: Gossan: Other:

Mineralized Samples Taken from Anomalous Area:	No.	No.	No.
Variables	No.	No.	No.
Au (ppb)			
As (ppm)			
Sb (ppm)			
Bi (ppm)			
Te (ppm)			
W (ppm)			
Mo (ppm)			
Cu (ppm)			
Pb (ppm)			
Ag (ppm)			
Zn (ppm)			

Observed Rock Types, Minerals And Fillings In Anomaly Checking:

Rock types

Mega-Porphyritic Andesite	<input type="checkbox"/>
Andesite With Malachite Filling	<input type="checkbox"/>
Apophyllite	<input type="checkbox"/>
Diorite	<input type="checkbox"/>
Granodiorite	<input type="checkbox"/>

Minerals

<input type="checkbox"/>

Sheet 1/50,000 :

Abas abad

Anomaly NO : A.3

Geochemical Anomalous Samples

Sample No.	Anomaly	Raw Data	USR	EI	IPN
26	Ni(1)	440	VOLCLS	7.52	14.9
31	Ni(1)	420	VOLCLS	7.18	14.9
32	Ni(1)	225	VOLCLS	3.85	11.93
33	As(1)	0.25	VOLCLS	2.73	14.9

Airborne Geoph. :

Shallow Magnetic Bodies: Geoph. Faults:

Mineralized Samples Taken from Anomalous Areas:

No.	No.	No.	No.	No.	No.	No.	No.
Magnetite	1724.94	2103.08	1664.80	1491.84	1659.79		
Hematite	908.23	406.77	173.58	615.42	701.21		
Ilmenite	0.00	0.00	0.00	0.00	0.00		
Chromite	0.00	0.00	0.00	0.00	0.00		
Garnet	0.00	0.00	0.01	0.00	0.00		
Pyroxene	129.50	232.00	594.00	234.00	133.31		
Amphibole	116.00		99.00	0.01	133.31		
Biotite	0.00	0.00	0.00	0.00	0.00		
Tourmaline	0.00	0.00	0.00	0.00	0.00		
Pyrite oxide	215.83	0.00	0.00	0.00	0.00		
Scheelite	0.01	0.00	0.00	0.00	0.01		
Zircon	1.39	14.50	13.50	54.00	61.53		
Apabite	0.93	0.01	12.89	24.00	24.00		
Rutile	0.49	12.89	24.00	24.00	13.67		
Chalcocyanite	0.00	0.00	0.00	0.00	0.00		
Banite	1.11	43.50	94.50	54.00	61.53		
Anatasia	0.00	0.00	0.00	0.00	0.00		
Andalusite	0.00	0.01	0.00	0.00	0.00		
Cordierite	0.00	12.89	12.00	0.00	0.00		
Epidoke	1057.58	609.00	1155.00	1501.50	1710.80		
Leucocorene	0.01	0.00	0.00	9.00	0.00		
Sillimanite	0.01	0.01	0.00	0.00	0.00		
Titanomagnetite	0.00	0.00	0.00	0.00	0.00		
Smithsonite	0.00	0.00	0.00	0.00	0.00		
Malachite	0.00	0.00	0.00	0.00	0.00		
Staurolite	0.00	0.00	0.00	0.00	0.00		
Oligisite	224.47		541.33	11.55	0.00		
Spinel	151.08		541.33	11.55	0.00		
Opimene	0.00	0.00	0.01	0.00	0.00		
Kyanite	0.00	0.00	0.00	0.00	0.00		
Corundum	0.00	0.00	0.00	0.00	0.00		
Azonite	0.00	0.00	0.00	0.00	0.00		
Dioptase	0.00	0.00	0.00	0.00	0.00		
Altered minerals	573.69	947.33	576.00	684.00	646.04		
Light minerals	37.12	45.11	18.00	12.00	34.18		
Olivin	0.00	0.00	0.00	0.00	0.00		
Calcite	0.00	167.17	0	0	0		

Weathering : Gossan :

 Other:

Mineralized Samples Taken from Anomalous Areas:

Variables	No.	No.	No.	No.
Au (ppb)				
As (ppm)				
Si (ppm)				
Bi (ppm)				
Hg (ppm)				
W (ppm)				
Mo (ppm)				
Cu (ppm)				
Pb (ppm)				
As (ppm)				
Zn (ppm)				

Observed Rock Types, Minerals And Fillings In Anomaly Checking :

Rock Types

Andesite With Malachite Filling

Apalite

Diorite

Limestone

Grandiorite

Silicate

Minerals

Malachite

Copper Sulfates

Sulfate

Cinnabar

Green Augite

Jasp

Carbon

Filling

Quartz Carbonate

Carbonate

Fillings

Silic. vein

Malachite

Geochemical Anomalous Samples:					
Sample No.	Anomaly Raw Data	USRT	EI	1/PN	
1	Hg(1)	1.44	VOLSAT	28.8	14.9
1	Mn(1)	57.00	VOLSAT	8.9	14.9
1	Sh(1)	342	VOLSAT	633.33	14.9
1	W(1)	0.7	VOLSAT	1.4	14.9
2	Hg(2)	0.516	SUMSS-VOLACD-VOLSAT	10.32	14.9

Heavy Mineral Samples Taken From Anomalous Area:					
No.	No.	No.	No.	No.	No.
AA-1-H	AA-1B-H	AA-2A-DH	AA-2A-H	AA-2B-H	AA-2C-H
655.84	652.24	207.24	533.36	1535.35	2508.31
0.00	0.00	0.00	189.97	170.42	908.23
0.00	0.01	543.72	155.48	332.27	298.06
0.00	0.00	0.00	0.00	0.00	19.86
189.88	148.80	118.20	202.80	108.35	97.20
0.00	0.00	0.00	0.00	0.00	129.50
Biotite	0.01	0.00	0.00	0.00	0.00
Tourmaline	0.00	0.00	0.00	0.00	0.00
Pyrite oxide	0.00	496.00	19.70	0.00	0.00
Scheelite	0.01	0.00	0.00	0.00	16.20
Zircon	38.84	11.16	70.92	1.87	88.65
Apatite	60.42	65.96	118.20	0.47	98.50
Rutile	11.51	19.84	1.58	0.00	129.60
Chalcocyanite	0.00	0.00	0.00	1.31	12.33
Banite	12.95	55.80	17.73	1.64	29.55
Anatase	0.00	0.01	0.00	0.00	0.00
Sphene	10.07	0.01	13.79	0.00	11.49
Andalusite	0.00	0.00	0.00	0.00	12.60
Celsosite	0.00	0.00	0.00	0.00	0.00
Epikote	896.16	694.40	1103.20	1183.00	1390.49
Leucokeno	0.00	0.01	0.00	0.00	1134.00
Sillimanite	0.00	0.00	0.00	0.00	906.50
Titanomagnetite	0.00	0.00	0.00	0.00	532.00
Smithsonite	0.00	0.00	0.00	0.00	9.25
Malachite	0.00	0.00	0.00	0.00	0.00
Sitaurosite	0.00	0.00	0.00	0.00	0.00
Oligistite	658.24	0.00	1434.16	351.52	751.23
Martite	16.39	0.00	0.00	1010.88	673.40
Spinel	0.00	0.00	0.00	0.00	223.60
Orpiment	0.00	0.00	0.00	0.00	151.08
Kyanite	0.00	0.00	0.00	0.00	0.00
Common	0.00	0.00	0.00	0.00	0.00
Akoneite	0.00	0.00	0.00	0.00	0.00
Dioptaz	207.55	223.20	1411.84	249.91	197.00
Altered minerals	63.29	4.96	0.00	6.57	118.80
Light minerals	10.44	13.00	0.00	11.92	444.00
Olivine	7.80	0.00	0.00	10.69	655.50
Calcite				8.36	12.67

Observed Rock Types, Minerals And Fillings In Anomaly Checking :		Rock types			
Mega Porphyritic Andesite	<input checked="" type="checkbox"/>	Andesite With Malachite Filling	<input type="checkbox"/>	Apophyllite	<input type="checkbox"/>
Limestone	<input type="checkbox"/>	Faulty breccia	<input type="checkbox"/>	Dioromite	<input type="checkbox"/>
Malachite	<input checked="" type="checkbox"/>	<input type="checkbox"/>	Minerals	<input type="checkbox"/>	
Silicic	<input type="checkbox"/>	<input type="checkbox"/>	Sphalerite	<input type="checkbox"/>	
Quartz Carbonate	<input type="checkbox"/>	<input type="checkbox"/>	Cinnabar	<input type="checkbox"/>	
Quartz Silicate	<input type="checkbox"/>	<input type="checkbox"/>	Green Augite	<input type="checkbox"/>	
Opal	<input type="checkbox"/>	<input type="checkbox"/>	Calcedony	<input type="checkbox"/>	
Calcedony	<input type="checkbox"/>	<input type="checkbox"/>	Jasp	<input type="checkbox"/>	
Fillings	<input type="checkbox"/>	<input type="checkbox"/>	Carbon	<input type="checkbox"/>	
Silic. vein	<input type="checkbox"/>	<input type="checkbox"/>		<input type="checkbox"/>	
Malachite	<input type="checkbox"/>	<input type="checkbox"/>		<input type="checkbox"/>	

Sample No.	Anomaly	Raw Data	USR	Ei	TIPN
3	Hg(1)	0.446	SLIM	8.9	14.9
3	Mn(1)	6400	SLIM	10.41	14.9
3	Mo(1)	2.08	SLIM	3.82	14.9
3	Sd(1)	86.75	SLIM	173.5	14.9
4	Hg(1)	1.05	SLM-SS VOLACD-VOLSAT	21	14.9

Variables	AA1M5	AA1M6	AA1M7	AA1M8	AA1M9
Au (ppm)	1.3	1.2	2.1	1	1.1
As (ppm)	4.05	4.67	8.97	12.2	13.6
Sb (ppm)	0.5	0.5	0.5	0.5	0.56
Bi (ppm)	0.1	0.1	0.1	0.22	0.1
Hg (ppm)	0.05	0.05	1.26	0.056	0.05
W (ppm)	0.5	0.5	0.5	0.5	0.5
Mo (ppm)	0.55	1.18	4	1.14	1.97
Cu (ppm)	23903	225	19239	230	44
Pb (ppm)	9.5	17.5	10.5	19.5	17.5
Ag (ppm)	6.5	0.15	5.6	0.13	0.092
Zn (ppm)	76	100	52	59	130

Geochemical Anomal Samples:

Alterine Geoph : Shallow Magnetic Bodies: Geoph. Faults:

Westhering : Gossan: Other:

Sample No. Anomaly Raw Data USRT El 1/PN

Variables No. No. No.

Mineralized Samples Taken form Anom Area: No. No. No.

Sample No. Anomaly Raw Data SLIM-SS-VOLACD-VOLSAT 42.65 14.9

Variables No. No. No.

Mineralized Samples Taken form Anom Area: No. No. No.

Fault: Fracture: Limonite Hematite Goethite Siderite Grazen Serization

Variables No. No. No.

Mineralized Samples Taken form Anom Area: No. No. No.

Heavy Mineral Samples Taken From Anom Area:

Variables No. No. No.

Mineralized Samples Taken form Anom Area: No. No. No.

Heavy Mineral

Variables No. No. No.

Mineralized Samples Taken form Anom Area: No. No. No.

No. No. No. No. No. No.

Variables No. No. No.

Mineralized Samples Taken form Anom Area: No. No. No.

Magnetite

Variables No. No. No.

Mineralized Samples Taken form Anom Area: No. No. No.

Hematite

Variables No. No. No.

Mineralized Samples Taken form Anom Area: No. No. No.

Ilmenite

Variables No. No. No.

Mineralized Samples Taken form Anom Area: No. No. No.

Chromite

Variables No. No. No.

Mineralized Samples Taken form Anom Area: No. No. No.

Garnet

Variables No. No. No.

Mineralized Samples Taken form Anom Area: No. No. No.

Pyroxene

Variables No. No. No.

Mineralized Samples Taken form Anom Area: No. No. No.

Amphibole

Variables No. No. No.

Mineralized Samples Taken form Anom Area: No. No. No.

Biotite

Variables No. No. No.

Mineralized Samples Taken form Anom Area: No. No. No.

Tourmaline

Variables No. No. No.

Mineralized Samples Taken form Anom Area: No. No. No.

Pyrite Oxide

Variables No. No. No.

Mineralized Samples Taken form Anom Area: No. No. No.

Scheelite

Variables No. No. No.

Mineralized Samples Taken form Anom Area: No. No. No.

Zircon

Variables No. No. No.

Mineralized Samples Taken form Anom Area: No. No. No.

Apatite

Variables No. No. No.

Mineralized Samples Taken form Anom Area: No. No. No.

Rutile

Variables No. No. No.

Mineralized Samples Taken form Anom Area: No. No. No.

Chalcopyrite

Variables No. No. No.

Mineralized Samples Taken form Anom Area: No. No. No.

Banded

Variables No. No. No.

Mineralized Samples Taken form Anom Area: No. No. No.

Anatase

Variables No. No. No.

Mineralized Samples Taken form Anom Area: No. No. No.

Sphene

Variables No. No. No.

Mineralized Samples Taken form Anom Area: No. No. No.

Andalusite

Variables No. No. No.

Mineralized Samples Taken form Anom Area: No. No. No.

Cassiterite

Variables No. No. No.

Mineralized Samples Taken form Anom Area: No. No. No.

Epitaxie

Variables No. No. No.

Mineralized Samples Taken form Anom Area: No. No. No.

Leucoxene

Variables No. No. No.

Mineralized Samples Taken form Anom Area: No. No. No.

Sillimanite

Variables No. No. No.

Mineralized Samples Taken form Anom Area: No. No. No.

Titanomagnetite

Variables No. No. No.

Mineralized Samples Taken form Anom Area: No. No. No.

Smithsonite

Variables No. No. No.

Mineralized Samples Taken form Anom Area: No. No. No.

Malachite

Variables No. No. No.

Mineralized Samples Taken form Anom Area: No. No. No.

Staurolite

Variables No. No. No.

Mineralized Samples Taken form Anom Area: No. No. No.

Oligistie

Variables No. No. No.

Mineralized Samples Taken form Anom Area: No. No. No.

Mannite

Variables No. No. No.

Mineralized Samples Taken form Anom Area: No. No. No.

Spinel

Variables No. No. No.

Mineralized Samples Taken form Anom Area: No. No. No.

Olivine

Variables No. No. No.

Mineralized Samples Taken form Anom Area: No. No. No.

Kyanite

Variables No. No. No.

Mineralized Samples Taken form Anom Area: No. No. No.

Corundum

Variables No. No. No.

Mineralized Samples Taken form Anom Area: No. No. No.

Axinite

Variables No. No. No.

Mineralized Samples Taken form Anom Area: No. No. No.

Diopside

Variables No. No. No.

Mineralized Samples Taken form Anom Area: No. No. No.

Altered minerals

Variables No. No. No.

Mineralized Samples Taken form Anom Area: No. No. No.

Light minerals

Variables No. No. No.

Mineralized Samples Taken form Anom Area: No. No. No.

Olivine

Variables No. No. No.

Mineralized Samples Taken form Anom Area: No. No. No.

Calcite

Variables No. No. No.

Mineralized Samples Taken form Anom Area: No. No. No.

Sheet 1/50,000 :

Abas Ahmad

Anomaly No.: A5

Geochemical Anomalous Samples:		Anomaly No.:		Anomaly NO.:	
Sample No.	Anomaly Raw Date	USRT	EL	IPN	
16	Min(2)	5200	SLIM-SS-VOLAC-VOLCS-VOLCS-VOLSAT	7.65	14.9
23	Min(1)	4400	SLIM-SS-VOLAC-VOLCS-VOLCS-VOLSAT	6.47	14.9
23	Cut(1)	390	SLIM-SS-VOLAC-VOLCS-VOLSAT	6.78	14.9
23	Pb(1)	23	SLIM-SS-VOLAC-VOLCS-VOLSAT	1.65	0.95

Heavy Mineral Samples Taken From Anomalous Area		No.	No.	No.	No.	No.	No.
Heavy Mineral	No.	No.	No.	No.	No.	No.	No.
Magnetite	AA-15-H	2453.10	1195.69	1524.99			
Hematite		527.50	1024.27	1088.82			
Ilmenite		0.00	0.00	0.00			
Chromite		0.00	29.86	0.00			
Garnet		0.00	25.96	0.00			
Pyroxene		150.43	389.45	207.00			
Amphibole		0.00	19.47	207.00			
Biotite		0.00	0.00	0.00			
Tourmaline		0.00	0.00	0.00			
Pyrite oxide		0.00	32.45	0.00			
Schneelite		0.00	0.00	0.01			
Zircon		50.14	85.91	103.50			
Aspidite		83.57	103.09	96.60			
Rutile		22.29	15.27	36.80			
Chalcocyprite		0.00	0.00	0.00			
Banite		0.00	17.18	62.10			
Anatasite		0.00	13.36	0.00			
Sphene		0.00	0.00	0.00			
Andalusite		0.00	0.00	0.00			
Celsite		0.00	15.27	0.00			
Epidote		789.75	2044.64	2415.00			
Leucoceno		0.84	0.00	0.00			
Sillimanite		0.00	0.00	0.00			
Titanomagnetite		0.00	0.00	0.00			
Smithsonite		0.00	0.00	0.00			
Malachite		0.00	0.00	0.00			
Staurolite		0.00	0.00	0.00			
Oligistite		260.74	1012.58	0.00			
Martite		0.00	0.00	0.00			
Spinel		0.00	0.00	0.00			
Opiment		0.00	0.00	0.00			
Kyanite		0.00	0.00	0.00			
Corundum		0.00	0.00	0.00			
Azomite		0.00	0.00	0.00			
Dioptiz		0.00	0.00	0.00			
Altered minerals		493.97	400.91	1283.40			
Light minerals		11.14	7.64	9.20			
Olivine		0.00	2.14	2.20			
Calcite		0.00	0.00	0.00			

Airborne Geoph.: Shallow Magnetic Bodies: Geoph. Faults: Altitude: wsg-Q Silicification Prognitic Argilic Oz-Carbonate Lisy Chloritization PotassicFault: Fractures: Limonite Hematite Goethite Siderite Glauber Sardication PholicWeathering: Gossan: Other:

Mineralized Samples Taken from Anomalous Area:	
Variables	No.
Au (ppb)	
As (ppm)	
Sb (ppm)	
Bi (ppm)	
Hg (ppm)	
W (ppm)	
Mo (ppm)	
Cu (ppm)	
Pb (ppm)	
Ag (ppm)	
Zn (ppm)	

Observed Rock Types, Minerals And Fillings In Anomaly Checking :

Mega Porphritic Andesite	Rock types	Andesite With Malachite Filling	Apalite
Limestone	Minerals	Granodiorite	Diorite
Malachite	Copper Silicates	Sphalerite	Cinnabar
Silicate	Opal	Cassiterite	Green Anguite
Malachite	Silic	Jasp	Carbon
Quartz Carbonate	Carbonate	Silic vein	Malachite
Fillings			

Sample No.	Anomaly Samples:	Raw Data:	USRT:	Ei	1/PN
551	Au(1)	0.078	METFELL-METSCH-ULT.	45	14.9

Alteration:		Wgj/O	Silicification	Propylitic	Argilic	Ox-Carbonate	LSTV	Chloritization	Post-tectonic
Fault:									
Fracture:									

Weathering:		Gossan:	Other:
No.	No.	No.	No.
AG-380-DH	AG-380-H	AG-381-H	
Magnetite	2199.08	1053.61	1597.17
Hematite	383.80	441.54	454.11
Ilmenite	0.00	0.00	0.00
Chromite	0.00	0.00	19.86
Garnet	729.67	257.83	345.33
Pyroxene	109.45	62.96	299.00
Amphibole	0.01	62.96	129.50
Biotite	0.00	0.00	0.00
Tourmaline	0.00	0.00	0.00
Pyrro. oxide	0.00	104.93	211.58
Schreibrite	0.00	0.00	0.00
Zircon	59.70	1.02	55.50
Apatite	39.80	0.39	92.50
Rutile	66.33	0.52	24.67
Chalcocyprite	0.00	0.00	0.00
Banite	29.85	0.15	41.63
Anatasite	0.00	0.01	0.00
Sphene	23.22	0.11	10.79
Andalusite	0.00	0.00	0.00
Celestite	0.00	0.00	0.00
Epidoze	766.15	440.70	1208.67
Leucoxene	9.95	0.01	0.00
Sulmanite	0.00	0.00	0.00
Titanomagnetite	0.00	0.00	0.00
Smithsonite	0.00	0.00	0.00
Malachite	0.00	0.00	0.00
Staurolite	0.00	0.00	0.00
Oligiste	0.00	109.13	447.21
Marite	0.00	0.00	0.00
Spinel	0.00	7.35	0.00
Opiment	0.01	0.00	0.00
Kyanite	0.00	0.00	0.00
Corundum	0.00	0.00	0.00
Azomite	0.00	0.00	0.00
Diopartz	0.00	0.00	0.00
Altered minerals	537.30	222.87	259.93
Light minerals	13.27	22.65	0.62
Olivine	481.58	0.00	142.45
Calcite	0.00	0.09	0.00

Heavy Mineral Samples Taken From Anomal Area:

Mineralized Samples Taken from Anomal Area:

Variables	No.	No.	No.	No.
AG380M1	1059.08	1053.61	1597.17	
Au (ppm)	2.6	2.5	2.9	2.7
As (ppm)	2.4	7.8	15.1	15.3
Se (ppm)	0.5	0.56	1.44	0.5
Bi (ppm)	0.81	1.16	11.5	3.02
Hg (ppm)	0.25	0.05	0.05	0.096
W (ppm)	1.15	0.5	1.15	0.5
Mo (ppm)	6.79	5.79	9.75	9.37
Cu (ppm)	78	46	40.0	47.71
Rb (ppm)	220	19	110	120
Ag (ppm)	0.996	0.62	0.12	0.094
Zn (ppm)	140	96	355	33

XRD Samples Taken From Anomal Area:

Sample NO:

(Na,K) Feldspar + Quartz + Chalcocite

Description:

Observed Rock Types, Minerals And Filling In Anomaly Checking:		Rock Types
Mega Porphyric Andesite	<input type="checkbox"/>	Andesite With Malachite Filling
Limestone	<input type="checkbox"/>	Grandiorne
Minerals	<input type="checkbox"/>	Diorite

Minerals	Filling
Malachite	Copper Silicates
Silic	Stibnite
Opal	Cinnabar
	Green Augite
	Calcedony
	Jasp
	Carbon

Quartz Carbone	Carbone	Filling
<input type="checkbox"/>	<input type="checkbox"/>	Quartz vein

Quartz	Carbone	Quartz vein	Silic vein	Malachite
<input type="checkbox"/>	<input type="checkbox"/>			

Sheet 1/50,000 :

Ghazazen

Anomaly NO.: A.7

Geochemical Anomalies Samples:				Anomaly NO.: A.7			
Sample No.	Anomaly	Raw Data	USRT.	Ei	1/PN		
552	Au(U)	0.01	METTEL-SU-MULT-VOLSAT	14.49	12.28		
553	Au(U)	0.017	Q	18.08	14.9		
Heavy Mineral Samples Taken From Anomalous Area:							
Heavy Mineral	No.	No.	No.	No.	No.	No.	No.
Magnetite	AG-552-DH	AG-552-H1	AG-552-H2				
Hematite	1118.88	1372.49	1109.56				
Ilmenite	547.04	187.76	107.30				
Chromite	0.00	0.00	0.00				
Garnet	312.00	837.87	489.60				
Pyroxene	78.00	191.36	122.40				
Amphibole	78.00	0.00	0.00				
Biotite	0.00	0.00	0.00				
Tourmaline	0.00	0.00	0.00				
Pyrte oxide	130.00	159.47	0.00				
Schreibersite	0.00	0.00	0.01				
Zircon	63.00	55.20	45.90				
Apophyllite	24.00	29.44	15.30				
Rutile	24.00	39.25	27.20				
Chalcocyanite	0.00	0.00	0.00				
Barite	9.00	44.16	15.30				
Anatasite	0.80	0.00	0.00				
Sphene	7.00	0.86	11.90				
Andalusite	0.00	0.74	0.00				
Celestite	0.00	0.98	0.00				
Epidote	546.00	1004.64	642.60				
Eucoxite	0.00	0.00	5.10				
Sillimanite	6.00	0.00	0.00				
Titanomagnetite	0.00	0.00	0.00				
Smithsonite	0.00	0.00	0.00				
Malachite	0.00	0.00	0.00				
Staurolite	0.00	0.00	0.00				
Olivomite	135.20	0.00	0.00				
Martite	0.00	0.00	0.00				
Spinel	9.10	0.00	0.00				
Kyanite	0.00	0.01	0.00				
Corundum	0.00	0.00	0.00				
Arizona	0.00	0.00	0.00				
Dolomite	0.00	0.00	0.00				
Altered minerals	276.00	191.36	193.80				
Light minerals	28.00	14.72	6.80				
Olivine	0.00	0.00	0.00				
Calcite	5.42	0.00	0.00				

Observed Rock Types , Minerals And Fillings In Anomaly Checking :							
Mega Porphyritic Andesite		Rock Types		Filling			
Limestone		Andesite With Malachite Filling		Apatite Diorite			
Granodiorite							
Minerals							
Malachite		Copper Silicates		Cinnabar Green Augite Sulfur Caledony Jasp Cation			
Silic		Opal					
Quartz Carbonate		Carbonate		Silic vein Malachite			

Sheet 150.000 : Ghazazan

Anomaly NO : AB

Geochemical Anomalous Samples.		Anomaly No.		No.		No.		No.		No.		No.		No.	
Sample No.	Anomaly	Raw Data		USR	EL	VOLCLS	ELPN	VOLCLS	EL	VOLCLS	ELPN	VOLCLS	EL	VOLCLS	ELPN
274	Sb(1)	57.54				115.08			14.9						
274	Mo(1)	2.5				4.81			14.9						
274	Hg(2)	0.234				4.68			14.9						

Heavy Mineral Samples Taken From Anomalous Area.		Heavy Mineral		No.		No.		No.		No.		No.		No.	
		ND	ND	AG-274-H	AG-555-H	ND	ND								
Magnetite		601.93	629.89												
Hematite		366.34	639.62												
Chromite		0.00	0.00												
Garnet		0.00	0.00												
Pyroxene		313.41	121.60												
Amphibole		104.47	121.60												
Tourmaline		0.00	0.00												
Pyrone oxide		0.00	0.00												
Schneelite		0.00	0.00												
Zircon		0.00	68.40												
Apatite		0.00	0.00												
Rutile		0.00	20.27												
Chalcopyrite		0.00	0.00												
Anatasite		0.00	114.00												
Sphene		0.00	0.00												
Andalusite		0.00	0.00												
Celestite		0.00	0.00												
Epidote		1340.71	1580.53												
Leucoclore		0.00	0.00												
Sillimanite		0.00	0.00												
Titanomagnetite		0.00	0.00												
Smithsonite		0.00	0.00												
Malachite		0.00	0.00												
Staurolite		0.00	0.00												
Oligiste		0.00	0.01												
Martite		0.00	0.00												
Spinel		0.00	0.00												
Opiment		0.00	0.00												
Kyanite		0.00	0.00												
Corundum		0.00	0.00												
Azomite		0.00	0.00												
Dolopax		0.00	0.00												
Altered minerals		313.41	577.60												
Light minerals		0.00	0.00												
Chalcocite		0.00	0.00												
Calcite		0.00	0.00												

Observed Rock Types, Minerals And Fillings In Anomaly Checking :

Rock Types		Mega-Porphyritic Andesite		Andesite With Malachite Filling		Aplitic Diorite	
		Limestone	Granodiorite				
Minerals							
Malachite							
Copper Silicates							
Silicate							
Opal							
Fillings							
Silicic							
Calcedony							
Jasp							
Carbon							
Quartz Carbonate							
Carbonate							
Silic vein							
Malachite							

Geochemical Anomalies Samples				Anomaly No.: A9			
Sample No.	Anomaly	Raw Data	USR	EI	1/FN		
272	Sgt(1)	33.65	VOLC/S-VOLSAT	67.3	14.9		
272	Hg(2)	0.165	VOLC/S-VOLSAT	3.3	14.9		
533	Au(1)	0.013	VOLC/S-VOLSAT	12.38	5.34		

Heavy Mineral Samples Taken From Anomalous Area		Anomalous		Shallow Magnetic Bodies		Geoph. Faults	
No.	No.	No.	No.	No.	No.	No.	No.
Magnetite	AK-267-H	AG-272-H	AM-533-H				
Hematite	2307-69	2033-96	1515-15				
Ilmenite	260-37	0.00	423-10				
Chromite	0.00	120-86	0.00				
Garnet	113-85	0.00	0.00				
Pyroxene	0.00	0.00	0.00				
Amphibole	148-50	462-86	160-88				
Biotite	74-25	0.00	80-44				
Tourmaline	0.00	0.00	0.00				
Pyrite oxide	0.00	12-86	0.00				
Schneelite	0.00	0.00	58-50				
Zircon	0.01	0.00	43-88				
Apophite	89-10	92-57	43-88				
Rutile	0.01	0.00	0.00				
Chalcocyanite	0.00	0.00	0.00				
Banite	11-14	69-43	10-97				
Anatasite	0.00	0.00	0.00				
Sphene	8-66	0.00	0.00				
Andalusite	0.00	0.00	0.00				
Catasite	0.00	0.00	0.00				
Epidote	866-25	990-00	938-44				
Leucoxene	0.00	0.00	7-31				
Sillimanite	0.00	0.00	0.00				
Titanomagnetite	0.00	0.00	0.00				
Smithsonite	0.00	0.00	0.00				
Maschite	0.00	0.00	0.00				
Steurolite	0.00	0.00	0.00				
Oligiste	0.00	0.00	0.00				
Marlomite	0.00	0.00	0.00				
Spinel	0.00	0.00	0.00				
Orpiment	0.00	0.00	0.00				
Kyanite	0.00	0.00	0.00				
Cordumund	0.00	0.00	0.00				
Azurite	0.00	0.00	0.00				
Dioptaz	0.00	0.00	0.00				
Altered minerals	304-43	370-29	555-75				
Light minerals	4-95	5-14	48-75				
Olivine	0.00	0.00	0.00				
Calcite	0.00	0.00	0.00				

XRD Samples Taken From Anomalous Area		Description			
Sample No	AM 533-P3	Calcite + Na-Feldspar + Analcime + Clay Minerals + Hematite			
Observed Rock Types - Minerals And Fillings In Anomaly					
Rock Types					
Mega Porphyritic Andesite					
Limestone					
Andesite With Malachite Filling					
Apophite					
Diopside					
Malachite					
Copper Silicates					
Minerals					
Minerals					
Malachite					
Copper					
Silic					
Fillings					
Quartz Carbonate					
Carbonate					
Fillings					
Silic vein					
Malachite					

Geochemical Anomal Sample:

Heavy Mineral Samples taken from Anomalous Area:		No.	No.	No.	No.	No.	No.
Heavy Mineral		No.	No.	No.	No.	No.	No.
Magnetite							
Hematite							
Tinomite							
Chromite							
Garnet							
Fayalite							
Pyroxene							
Amphibole							
Biotite							
Tourmaline							
Pyrite oxide							
Schoenite							
Zircon							
Apatite							
Rutile							
Chalcocyanite							
Banite							
Anorthite							
Sphene							
Andalusite							
Celastite							
Epidote							
Leucoceno							
Sillimanite							
Titanomagnetite							
Smitsomite							
Macchite							
Staurolite							
Oligiste							
Martite							
Spinel							
Orpiment							
Kyanite							
Corundum							
Azomite							
Dolplaz							
Altered minerals							
Light minerals							
Oliven							
Calcite							

Mineralized Samples Taken from Anomalous Areas		Other	
Variables	No.	No.	No.
AM648P			
Au (ppb)	1.2		
As (ppm)	1.54		
Sb (ppm)	0.5		
Bi (ppm)	0.1		
Hg (ppm)	0.05		
W (ppm)	0		
Mn (ppm)	0		
Cu (ppm)	25		
Pb (ppm)	2		
Ag (ppm)	0		
Zn (ppm)	51		
	-		

Geochemical Abnormal Samples:		Anomaly Raw Data:		USRT:		Ei	1/PN
Sample No.	Anomaly	No.	Raw Data				
271	M01)	2.74		VOLCLS-VOLSAT		4.81	14.9
271	Sb(1)	85.56		VOLCLS-VOLSAT		171.12	14.9
	Hg(1)	0.32		VOLCLS-VOLSAT		6.44	14.9

Heavy Mineral Samples Taken From Anomalous Areas:							
Heavy Mineral	No.	No.	No.	No.	No.	No.	No.
Magnetite	AG-271-H	AM-602-H	AM-603-H				
Hematite	1805.91	1658.12	1730.54				
Ilmenite	280.16	340.15	765.33				
Chromite	0.00	0.00	0.00				
Garnet	0.00	59.49	0.00				
Pyroxene	319.58	51.17	0.00				
Amphiphile	159.79	77.60	109.13				
Biotite	0.00	38.80	0.00				
Tourmaline	0.00	0.00	0.00				
Pyrite oxide	0.00	0.00	181.88				
Scheelite	0.00	0.00	0.00				
Zircon	0.00	43.65	1.31				
Apatite	36.32	19.40	0.73				
Rutile	19.37	6.47	0.39				
Chalcocyanite	0.00	0.00	0.00				
Anatase	98.05	29.10	0.44				
Sphene	0.01	0.00	0.17				
Andradite	0.00	0.00	0.00				
Celestite	0.00	0.00	0.00				
Epidote	745.68	407.40	763.88				
Leucoxene	0.00	0.00	0.00				
Silmannite	0.00	0.00	0.00				
Titanomagnetite	0.00	0.00	0.00				
Smithsonite	0.00	0.00	0.00				
Malschite	0.00	0.00	0.00				
Stauroite	0.00	0.00	0.00				
Oligiste	0.00	0.00	189.15				
Mantle	0.00	0.00	0.00				
Spinel	0.00	0.00	127.31				
Orpinment	0.00	0.00	0.00				
Kyanite	0.00	0.00	0.00				
Corundum	0.00	0.00	0.00				
Axonite	0.00	0.00	0.00				
Dioptaz	0.00	0.01	0.00				
Altered minerals	443.05	116.40	582.29				
Light minerals	14.53	6.47	22.35				
Quartz	0.00	0.00	0.00				
Calcite	0.00	4.38	0.13				

Observed Rock Types, Minerals And Fillings In Anomaly Checking:							
Mega Porphyritic Andesite		Rock Types		Andesite With Malachite Filling			
Limestone		Granodiorite		Apophyllite		Diorite	
Malachite		Copper Silicates		Sulfate	Cinnabar	Green Augite	
		Silic		Calcedony	Jasp	Carbon	
Quartz Carbonate		Carbonate		Filling	Sulf vein	Malachite	

Geochemical Anomalous Samples:		Mandasht		Anomaly No.: A.11						
Sample No.	Anomaly Raw Data	USR	EI	IPN						
546	Au(1)	0.095	O	10.11	1.95					
547	Au(1)	0.013	SLM-VOLCS	18.84	14.9					
Heavy Mineral Samples Taken From Anomalous Area:										
Heavy Mineral	No.	No.	No.	No.	No.					
Magnetite	AM-546-DH	AM-546-H	AM-547-DH	AM-547-H	AM-578-H					
Hematite	2834.50	2148.02	1232.10	1936.28	1657.60					
Ilmenite	599.64	420.93	542.16	749.02	231.44					
Chromite	0.00	0.00	0.00	0.00	549.67					
Garnet	0.00	245.41	0.00	16.38	202.40					
Pyroxeine	228.00	240.08	721.50	106.80	66.00					
Amphibole	114.00	0.00	0.00	106.80	104.50					
Biotite	0.00	0.00	0.00	0.00	0.00					
Tourmaline	0.00	0.00	0.00	0.00	0.00					
Pyrite oxide	0.01	0.01	17.18	0.00	0.00					
Scheelite	0.01	0.00	0.00	0.00	0.00					
Zircon	34.20	54.59	35.59	106.80	45.00					
Apophyllite	912.0	36.38	95.14	53.40	71.25					
Rutile	30.40	9.70	0.00	11.87	64.38					
Chalcocyanite	0.00	0.00	0.00	0.01	57.00					
Banite	68.40	54.56	23.79	0.00	16.00					
Anatasite	0.00	0.00	0.00	0.00	12.67					
Sphene	0.00	0.01	0.00	10.38	18.00					
Andalusite	0.00	0.00	0.00	0.00	28.50					
Celestite	0.00	9.70	0.00	0.00	11.08					
Epidote	1197.00	1026.99	1082.25	872.20	1001.00					
Leucoxene	0.00	0.00	8.90	0.00	1341.08					
Sillimanite	0.00	0.00	0.00	0.00	1562.40					
Thortemagmite	0.00	0.00	0.00	0.00	680.40					
Smithsonite	0.00	0.00	0.00	0.00	0.00					
Makalachite	0.00	0.00	0.00	0.00	0.00					
Staurodolite	0.00	0.00	0.00	0.00	0.00					
Oligistite	0.00	0.00	0.00	0.00	0.00					
Martite	0.00	0.00	370.24	0.00	0.00					
Spinel	0.00	0.00	184.41	0.00	0.00					
Opimite	0.00	0.00	124.50	0.00	0.00					
Kyanite	0.00	0.00	0.00	0.00	113.40					
Conodontium	0.00	0.00	0.00	0.00	0.00					
Azomite	0.00	0.00	0.00	0.00	0.00					
Dioptaz	980.40	160.05	269.57	391.60	144.00					
Altered minerals	30.40	4.85	63.43	47.47	8.00					
Quartz	0.00	8.80	0.00	0.00	12.67					
Diabase	0.00	0.00	0.00	0.00	5.45					
Calcite	0.00	0.00	0.00	0.00	0.00					
Autotome Geoph.: Shallow Magnetic Bodies: <input type="checkbox"/> Geoph. Faults: <input type="checkbox"/>										
Alteration: <input checked="" type="checkbox"/> Wg/ <input type="checkbox"/> O <input type="checkbox"/> Silicification <input checked="" type="checkbox"/> Propylitic <input type="checkbox"/> Argillic <input type="checkbox"/> Qz-Carbonate <input type="checkbox"/> Listv. <input type="checkbox"/> Chloritization <input type="checkbox"/> Potasic <input type="checkbox"/> Phyllic										
Faults: <input type="checkbox"/> Fracture: <input checked="" type="checkbox"/> Limonite <input checked="" type="checkbox"/> Hematite <input type="checkbox"/> Goetite <input type="checkbox"/> Siderite <input type="checkbox"/> Grazien <input type="checkbox"/> Semicarbazone <input type="checkbox"/>										
Weathering: <input type="checkbox"/> Gossan: <input type="checkbox"/> Other: <input type="checkbox"/>										
Mineralized Samples Taken from Anomalous Area:										
Variables	No.	No.	No.	No.	No.					
AM546M1	AM546M2	AM547M1	AM547M2	AM578M	No.					
2.2	1.3	2.2	57	1						
As (ppm)		6.14	24.1		2.33					
Sb (ppm)				1.31	0.5					
Bi (ppm)		0.13		0.25	0.1					
HS (ppm)		0.05	0.27		0.05					
W (ppm)		0	1.15		0.5					
Mn (ppm)			1.43		3.78					
Cu (ppm)		14.5		2.5	6.2					
Pb (ppm)		3.3		4.5	5.9					
Ag (ppm)		0	0.1		0.11					
Zn (ppm)	2.5		100		47					
XRD Samples Taken From Anomalous Area:										
Sample No.	(Na,K)Feldspar + Analcime + Hematite									
AM 547 A										
Observed Rock Types, Minerals And Fillings In Anomalous Checking:										
Rock Types: <input type="checkbox"/> Megaporphitic Andesite <input type="checkbox"/> Andesite With Malachite Filling <input type="checkbox"/> Apite <input type="checkbox"/> Diorite										
Minerals: <input type="checkbox"/> Limestone <input type="checkbox"/> Granodiorite <input type="checkbox"/> Malachite <input type="checkbox"/> Upper Silicates <input type="checkbox"/> Subsilicate <input type="checkbox"/> Cinnabar <input type="checkbox"/> Green Augite <input type="checkbox"/> Calc-silicate <input type="checkbox"/> Jasper <input type="checkbox"/> Carbon <input type="checkbox"/> Silicic <input type="checkbox"/> Opal <input type="checkbox"/> Calc-silicate <input type="checkbox"/> Malachite <input type="checkbox"/> Quartz Carbonate <input type="checkbox"/> Carbonate <input type="checkbox"/> Calc-silicate <input type="checkbox"/> Filling <input type="checkbox"/> Silic vein <input type="checkbox"/> Malachite										

Geochemical Abnormal Samples: Mandashi							A11
Sample No.	Abnormality	Raw Data	USR1	EI	IPN	Abnormality	Notes
Heavy Mineral Samples Taken From Abnormal Area :							
Heavy Mineral	No.	No.	No.	No.	No.	No.	No.
Magnetite	AM-576-H3	AM-576-H4	AM-576-H5	AM-576-H6	AM-576-H7	AM-576-H8	AM-576-H9
Hematite	732.89	746.32	338.48	0.00	0.00	0.00	0.00
Ilmenite	0.00	0.00	0.00	0.00	0.00	0.00	0.00
Chromite	160.23	0.00	58.67	0.00	0.00	0.00	0.00
Garnet	13.93	0.00	0.00	0.00	0.00	0.00	0.00
Pyroxene	104.50	319.24	193.05	0.00	0.00	0.00	0.00
Amphibole	0.00	0.00	0.00	0.00	0.00	0.00	0.00
Biotite	0.00	0.00	0.00	0.00	0.00	0.00	0.00
Tourmaline	0.00	0.00	0.00	0.00	0.00	0.00	0.00
Pyrite oxide	0.00	0.00	0.00	0.00	0.00	0.00	0.00
Scheelite	-	-	-	-	-	-	-
Zircon	-	57.00	73.67	35.10	0.00	0.00	0.00
Apabite	66.50	49.11	46.80	0.00	0.00	0.00	0.00
Rutile	12.67	21.83	7.80	0.00	0.00	0.00	0.00
Chalcocite	0.00	0.00	0.00	0.00	0.00	0.00	0.00
Barite	57.00	57.00	35.10	0.00	0.00	0.00	0.00
Anatase	0.00	0.00	0.00	0.00	0.00	0.00	0.00
Sphene	-	-	28.65	0.00	0.00	0.00	0.00
Andalusite	0.00	0.00	0.00	0.00	0.00	0.00	0.00
Celestite	0.00	0.00	7.80	0.00	0.00	0.00	0.00
Epidote	1219.17	1365.85	750.75	0.00	0.00	0.00	0.00
Leucoxene	0.00	0.00	0.00	0.00	0.00	0.00	0.00
Sillimanite	0.00	0.00	0.00	0.00	0.00	0.00	0.00
Titanomagnetite	0.00	0.00	0.00	0.00	0.00	0.00	0.00
Smilisomomite	0.00	0.00	0.00	0.00	0.00	0.00	0.00
Malachite	0.00	0.00	0.00	0.00	0.00	0.00	0.00
Staurolite	0.00	0.00	0.00	0.00	0.00	0.00	0.00
Oligistite	181.13	0.00	0.00	0.00	0.00	0.00	0.00
Martite	0.00	0.00	0.00	0.00	0.00	0.00	0.00
Spinel	0.00	0.00	0.00	0.00	0.00	0.00	0.00
Orpiment	0.00	0.00	0.00	0.00	0.00	0.00	0.00
Kyanite	0.00	0.00	0.00	0.00	0.00	0.00	0.00
Corundum	0.00	0.00	0.00	0.00	0.00	0.00	0.00
Azomite	0.00	0.00	0.00	0.00	0.00	0.00	0.00
Dioptaz	0.00	0.00	0.00	0.00	0.00	0.00	0.00
Altered minerals	494.00	622.11	198.90	183.37	3.90	0.00	0.00
Other minerals	6.33	0.00	0.00	0.00	0.00	0.00	0.00
Cancite	11.50	0.00	7.08	0.00	0.00	0.00	0.00

Mineralized Samples Taken from Anomalous Areas:		Weathering Gossans:		Other:	
Variables	No.	Variables	No.	Variables	No.
As (ppm)		Propylitic		Argillic	
Sb (ppm)		Ox Carbonate		Oxide	
Bi (ppm)				Leaching	
Hg (ppm)				Chloritization	
W (ppm)				Silicification	
Mo (ppm)				Propylitic	
Cu (ppm)				Argillic	
Pb (ppm)				Ox Carbonate	
As (ppm)					
Zn (ppm)					

Sheet 1/50,000

Miandasht

100

Heavy Mineral Samples Taken From Anomalous Area:		No.	No.	No.	No.	No.	No.
Heavy Mineral	No.	AM-581-H	AM-589-H	No.	No.	No.	No.
Magnetite	1161.80	7855.63					
Hematite	165.16	2735.52					
Ilmenite	0.00	0.01					
Chromite	288.88	0.01					
Garnet	0.00	0.00					
Pyroxene	282.60	39.00					
Amphibole	0.00	39.00					
Bronite	0.00	0.00					
Tourmaline	0.00	0.00					
Pyrite oxide	0.01	0.00					
Schoelite	0.00	0.00					
Zircon	40.37	34.13					
Apatite	16.25						
Rutile	8.97	17.33					
Chalcocite							
Barite	60.56	9.75					
Anatase	0.00	0.01					
Sphene	7.85						
Anatasite	0.00	0.00					
Celescite	0.00	0.00					
Epidote	1099.00	4550.00					
Leucoxene	0.00	3.25					
Sillimanite	0.00	0.00					
Titanomagnetite	0.00	0.00					
Smithsonite	0.00	0.00					
Malachite	0.00	0.00					
Staurolite	0.00	0.91					
Oligistite	16.33	0.00					
Marlomite	162.65	0.01					
Spinel	0.00	0.00					
Orpinerite	0.00	0.00					
Kyanite	0.00	0.00					
Corundum	0.00	0.00					
Azomite	0.00	0.00					
Dioptaz	0.00	0.00					
Altered minerals	289.33	159.25					
Light minerals	4.49	0.00					
Olivine	10.36	0.00					
Calcite	0.00	0.00					

Observed Rock Types, Minerals And Fillings In Anomaly Checking

Geochemical Anomalies Samples:		Mandasht			
Sample No.	Anomaly Raw Data	USRT	EL	1/PN	
331	Mod(1)	1.66	SS-VOLC-S	3.32	14.9
331	As(1)	22.79	SS-VOLC-VOLCS	4.38	14.9
337	W(2)	0.7	SS-VOLC-VOLCS-VOLSAT	1.4	14.9
337	As(1)	21.72	SS-VOLC-VOLCS-VOLSAT	3.63	14.9
338	W(1)	0.9	SS-VOLC-VOLCS-VOLSAT	1.8	14.9

Heavy Mineral Samples Taken From Anomalous Area:					
No.	No.	No.	No.	No.	No.
Magnetite	AM-331-H	AA-333-H	AA-334-H	AM-337-H	AM-338-H
Hematite	281.32	1005.13	2054.73	1143.74	2307.59
Ilmenite	0.00	0.00	420.80	177.44	473.40
Chromite	6.369	0.00	552.00	79.27	189.20
Garnet	55.38	0.00	16.00	67.47	0.01
Pyroxene	41.54	0.01	240.00	151.80	108.00
Amphibole	0.00	0.01	0.00	0.00	54.00
Biotite	0.00	0.00	0.00	0.00	91.93
Tourmaline	41.54	0.00	0.00	0.00	0.00
Pyrite oxide	138.46	0.01	20.00	253.00	180.00
Schneidelite	0.00	0.01	0.00	0.00	0.00
Zircon	12.46	41.58	30.00	27.60	20.25
Apatite	4.15	27.72	20.00	4.60	74.25
Rutile	5.54	6.16	26.67	6.13	18.00
Chalcocyprite	0.00	0.01	0.00	0.00	18.95
Banite	68.54	34.85	120.00	62.10	30.38
Anatasite	0.00	0.00	0.00	0.00	63.64
Sphene	0.01	0.00	0.00	0.01	0.00
Andalusite	0.01	0.01	0.00	0.01	8.25
Celsianite	0.00	0.00	0.00	0.00	0.00
Epidote	193.85	646.80	1400.00	305.90	315.00
Leucoxene	0.00	0.00	0.01	0.00	0.01
Sillimanite	0.00	0.00	0.00	0.00	0.00
Titanomagnetite	0.00	111.68	0.00	0.00	0.00
Smithsonite	0.00	0.00	0.00	0.00	0.00
Makuchite	0.00	0.00	0.00	0.00	0.00
Straussite	0.01	0.00	0.00	0.00	0.00
Oligistite	0.00	0.00	0.00	0.00	0.00
Martita	0.00	95.73	0.01	0.00	0.00
Spiral	48.46	194.04	0.00	177.10	214.50
Opiment	0.00	0.00	0.00	6.30	0.00
Kyanite	0.00	0.00	0.00	0.01	0.00
Corundum	0.00	0.00	0.00	0.00	0.00
Azotite	0.00	0.00	0.00	0.00	0.00
Diopatze	0.00	0.00	0.00	0.00	0.00
Altered minerals	265.85	9.24	400.00	56.60	270.00
Light minerals	30.46	73.33	21.60	0.00	233.36
Cherts	0.01	0.00	12.00	0.01	33.00
Calcite	0.00	0.00	0.00	0.00	6.39

Airborne Geophysics : Shallow Magnetic Bodies: Geoph. Faults:					
Atration:		Wugj. O		Silification	
Fault:		Fracture:		Limonite	
F:		Hematite		Goetite	
W:		Siderite		Graizien	
Weathering:		Gossan:		Other:	

Mineralized Samples Taken from Anomalous Area:					
Variables	No.	No.	No.	No.	No.
AM1331MT1	AM1331M2	AM1331M3	AM1338M1	AM1338M2	AM1338M3
Au (ppm)	1.3	5.8	1.4	46	100
As (ppm)	4.46	1.88	3.21	8.91	7.66
Sb (ppm)	4.21	17.2	5.48	1.87	3.83
Bi (ppm)	0.5	1.49	1.39	0.19	2.08
Ir (ppm)	0.05	0.05	0.05	0.09	0.45
W (ppm)	0	0	0	0	0
Mo (ppm)	0	0	0	0	0
Cu (ppm)	50	24.5	20	11	4.7
Pb (ppm)	7.3	13	16	4.45	2
Ag (ppm)	0	0	0	0	0
Zn (ppm)	54	69	20	110	140
					72

Observed Rock Types , Minerals And Fillings In Anomaly Checking:					
Rock Types			Minerals		
Mega Porphyritic Andesite			Andesite With Malachite Filling		
Limestone			Aptite		
Epidote			Diorite		
Leucoxene			Granodiorite		
Sillimanite			Malachite		
Titanomagnetite			Copper-Silicates		
Smithsonite			Sulfate		
Makuchite			Cinnabar		
Straussite			Green Augite		
Oligistite			Jasp		
Martita			Carbon		
Spiral			Filling		
Opiment			Silic vein		
Kyanite			Malachite		
Corundum					
Azotite					
Diopatze					
Altered minerals					
Light minerals					
Cherts					
Calcite					

Sample No.	Anomaly	Raw Data	USR/T	EI	1IPN
338	As(1)	23.93	SS-VOLACD-VOLCLS-VOLSAT	4	14.9
339	W(2)	0.64	SS-VOLACD-VOLCLS-VOLSAT	1.26	14.9
339	As(1)	22.03	SS-VOLACD-VOLCLS-VOLSAT	3.68	14.9

Geochemical Anomalies:

Sample No.	Anomaly Raw Data	USR	EI	T/PN
22	Mn(1)	4300	VOLCS-VOLSAT	6.32
				14.9

Atmospheric Geoph.	Shallow Magnetic Bodies:	Geoph. Faults:

Weathering:	Gossan:	<input type="checkbox"/>	<input type="checkbox"/>	Other:	<input type="checkbox"/>
Mineralized Samples Taken from Anomalous Area:	No.	No.	No.	No.	No.
Variables	AA-20A3	AA-21A1	AA-21M1	AA-21P1	No.
Au (ppb)	40	41	29	1	
As (ppm)	3.57	5.16			1
Sb (ppm)	0.5	0.5			0.5
Bi (ppm)	0.1	0.27			0.15
Hg (ppm)	0.05	0.05			0.11
W (ppm)	0.5	0.5			0
Mo (ppm)	2.13	0.9			0
Cu (ppm)	16.5	18.5			8.7
Pb (ppm)	4.6	8.3			2
Ag (ppm)	0.13	0.084			0
Zn (ppm)	97	42			81

Heavy Mineral Samples Taken From Anomalous Area:		Abundance:		Anomaly NO :	
Heavy Mineral	No.	No.	No.	No.	No.
Magnetite					
Hematite					
Ilmenite					
Chromite					
Garnet					
Pyroxene					
Amphibole					
Biotite					
Tourmaline					
Fayalite Oxide					
Schreibersite					
Zircon					
Apophite					
Rutile					
Chalcocite					
Banite					
Anatase					
Sphene					
Andalusite					
Celestite					
Epidote					
Leucoxene					
Sillimanite					
Titanomagnetite					
Smithsonite					
Malachite					
Staurolite					
Oligistite					
Martite					
Spinel					
Opaline					
Kyanite					
Corundum					
Azomite					
Dioptaz					
Altered minerals					
Light minerals					
Olivine					
Calcite					

Geochemical Anomalies Samples:

Anomaly No :

A.15

Sample No.	ANOMALY Raw Data	USR	E _i	1/PN
254	Bal(1)	600	VOLCL-VOLSAT	1.7 / 0.07

Airborne Geoph. :	Shallow Magnetic Bodies	Geoph. Faults:
Fault:	wig O	Silicification
Fracture:	Fracture	Propylitic
Limonite	Limonite	Argilic
Hematite	Hematite	Ox. Carbonate
Goethite	Goethite	listv.
Siderite	Siderite	Chloritization
Gaizzen	Gaizzen	Potassic
		Sodicitization
		Phalic

Heavy Mineral Samples Taken From Anomalous Areas:

Weathering: Goetzan: Other:

Heavy Mineral	No.	AK-254-D-H	AK-254-H	No.							
Magnetite	2181.92	2486.40									
Hematite	71.80	168.32									
Ilmenite	0.00	0.00									
Chromite	198.37	0.00									
Garnet	0.00										
Pyroxene											
Amphibole	81.90	24.00									
Biotite	0.00	0.00									
Tourmaline	0.00	0.00									
Pyrite oxide	6.83	0.00									
Schonellite											
Zircon	35.10	63.00									
Apasite	58.50	48.00									
Rutile											
Chalcocyprite	0.00	16.00									
Banite	28.33	9.00									
Anatase											
Sphene	0.00	0.00									
Andalusite	0.00	0.00									
Celselite	0.00										
Epidotite	477.75	280.00									
Leucoxene	0.00	0.00									
Sillimanite	0.00										
Titanomagnetite	0.00	0.00									
Smithsonite	0.00	0.00									
Malachite	0.00										
Siderite	0.00	0.00									
Staurolite	0.00	0.00									
Oligistite	70.98	0.00									
Martita	0.00	0.00									
Spinel	0.00	0.00									
Opiomine	0.00	0.00									
Kyanite	0.00	0.00									
Corundum	0.00	0.00									
Azorite	0.00	0.00									
Dioptaz	0.00	0.00									
Altered minerals	198.90	456.00									
Light minerals	3.90	0.00									
Chalc.	4.50	0.00									
Calcite	0.00	0.00									

Observed Rock Types, Minerals And Fillings In Anomaly Checking:

Mega Porphyritic Andesite	Rock Types	Andesite With Malachite Filling	Apites
Limestone	Limestone	Granodiorite	Diorite
Minerals			
Malachite	Copper Sulfates	Subelite	Cinnabar
Silicate	Silicate	Calcedony	Green Augite
	Opal	Jasp	Carbon
		Malachite	
Quartz Carbonate	Carbonate	Silic vein	
			Malachite

Sheet 1/50,000:

Miandasht

Anomaly NO.

Airborne Geoph.		Shallow Magnetic Bodies		Geoph. Faults	
Alteration:	vug, Q	Silicification	Propylitic	Argilic	Oz. Carbonate
Fault:	Fracture:	Limonite	Hematite	Goeite	Siderite
					Graetite
					Sericitization
					Phitic

Mineralized Samples Taken from Anomalous Areas:					
Variables	No.	No.	No.	No.	No.
AM439M1	AM439M2				
Au (ppb)	2	2.8			
As (ppm)	3.81	7.74			
Sb (ppm)	0.5	0.5			
Bi (ppm)	0.1	0.1			
Hg (ppm)	0.05	0.05			
W (ppm)	0.5	0.79			
Mo (ppm)	2.3	10.7			
Cu (ppm)	92	16324			
Pb (ppm)	16	35			
Ag (ppm)	0.23	7			
Zn (ppm)	84	72.5			

XRD Samples Taken From Anomalous Area:	Description
Sample No	

Sample No	Description
A m 439 A1	Analcime + (Na, K) Feldspar
A m 439 M1	Analcime + (Na, K) Feldspar + Hematite

Observed Rock Types, Minerals And Fillings In Anomaly Checking :

Mega Porphyritic Andesite		Andesite With Malachite Filling		Aptite Diorite	
Limestone	[]	Granodiorite	[]	Diorite	[]
Malachite	Copper Silicates	Sphalerite	Cinnabar	Green Augite	[]
Silicic	Opal	Cassiterite	Jasp	Carbon	[]
Quartz Carbonate	Carbonate	Pillings	Silic vein	Malachite	[]